

การออกแบบและสร้างตัวคอนโทรลเลอร์ uP 8085 สำหรับระบบควบคุมตำแหน่ง
DESIGN AND IMPLEMENTATION OF CONTROLLER BY Up 8085 FOR POSITION CONTROL SYSTEM



วิทยานิพนธ์นี้เป็นส่วนหนึ่งของการศึกษาตามหลักสูตรปริญญาวิศวกรรมศาสตรมหาบัณฑิต
สาขาวิศวกรรมไฟฟ้า
บัณฑิตวิทยาลัย
สถาบันเทคโนโลยีพระจอมเกล้าเจ้าคุณทหารลาดกระบัง
พ.ศ. 2535

การออกแบบและสร้างตัวคอนโทรลเลอร์ด้วย μP 8085 สำหรับระบบควบคุมตำแหน่ง
DESIGN AND IMPLEMENTATION OF CONTROLLER BY μP 8085 FOR POSITION CONTROL SYSTEM



วิทยานิพนธ์นี้เป็นส่วนหนึ่งของการศึกษาตามหลักสูตรปริญญาวิศวกรรมศาสตรมหาบัณฑิต
สาขาวิศวกรรมไฟฟ้า

บัณฑิตวิทยาลัย

สถาบันเทคโนโลยีพระจอมเกล้าเจ้าคุณทหารลาดกระบัง

พ.ศ. 2535

เอกสารนี้เป็นเอกสารที่สงวนไว้สำหรับการใช้งานเพื่อการศึกษาเท่านั้น ไม่อนุญาตให้นำไปใช้ประโยชน์ด้านการค้า
'ไม่ว่ากรณีใดๆ ทั้งสิ้น อีกทั้งห้ามมิให้ดัดแปลงเนื้อหา และต้องอ้างอิงถึงเจ้าของเอกสารทุกครั้งที่มีการนำไปใช้

DESIGN AND IMPLEMENTATION OF CONTROLLER BY μP 8085 FOR POSITION CONTROL SYSTEM



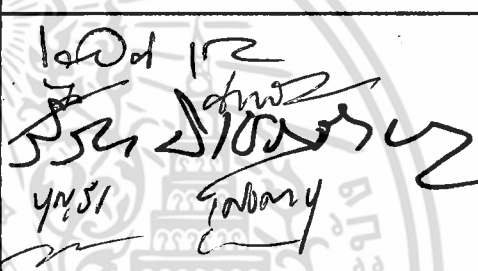
A THESIS SUBMITTED IN PARTIAL FULFILLMENT
OF THE REQUIREMENTS FOR THE DEGREE
MASTER OF ENGINEER IN ELECTRICAL ENGINEERING
GRADUATE SCHOOL
KING MONGKUT'S INSTITUTE OF TECHNOLOGY LADKRABANG
1992

เอกสารนี้เป็นเอกสารที่สงวนไว้สำหรับการใช้งานเพื่อการศึกษาเท่านั้น ไม่อนุญาตให้นำไปใช้ประโยชน์ด้านการค้า
ไม่ว่ากรณีใดๆ ทั้งสิ้น อีกทั้งห้ามมิให้ดัดแปลงเนื้อหา และต้องอ้างอิงถึงเจ้าของเอกสารทุกครั้งที่มีการนำไปใช้

โสตศึกษาวิทยาลัย
สถาบันเทคโนโลยีพระจอมเกล้าเจ้าคุณทหารลาดกระบัง
ใบรับรองวิทยานิพนธ์

หัวข้อวิทยานิพนธ์ การออกแบบและสร้างตัวคอนโทรลเลอร์ด้วย μP 8085 สำหรับระบบควบคุมตำแหน่ง
DESIGN AND IMPLEMENTATION OF CONTROLLER BY μP 8085 FOR POSITION CONTROL SYSTEM

ชื่อนักศึกษา นายอชิชาติ มุจนะมลทิล รหัสประจำตัว 32620034
 หลักสูตร วิศวกรรมศาสตรมหาบัณฑิต สาขาวิชา วิศวกรรมไฟฟ้า
 ภาควิชา วิศวกรรมระบบควบคุม
 อาจารย์ผู้ควบคุมวิทยานิพนธ์ รศ.ดร.โยธิน เปรมปราณีรัชต์

คณะกรรมการสอบวิทยานิพนธ์	ลายมือชื่อ
รศ.ดร.โยธิน เปรมปราณีรัชต์ ผศ.ดร.จกมล งามวิวิทย์ รศ.ดร.วิริยะ นิเชษฐจำเริญ ดร.บุญธีร์ เครือตราชู ผศ.พิพัฒน์ เลาทสงคราม	

ค่าระดับคะแนนที่เป็นเอกฉันท์จากคณะกรรมการสอบ **GOOD**
 วัน/เดือน/ปี ที่สอบ 26 เมษายน 2536 เวลา 10.00 น. ถึงเวลา 11.00 น.
 สถานที่สอบ ห้อง (A-307) คณะวิศวกรรมศาสตร์



วันที่ 31 เดือน กรกฎาคม พ.ศ. 2536

หมายเหตุ การวัดผลวิทยานิพนธ์ให้ใช้ค่าระดับคะแนนดังนี้

ค่าระดับคะแนน	ผลการศึกษา
O	Outstanding (ดีเยี่ยม)
G	Good (ดี)
P	Pass (ผ่าน)
F	Fail (ไม่ผ่าน)

เอกสารนี้เป็นเอกสารที่สงวนไว้สำหรับการใช้งานเพื่อการศึกษาเท่านั้น ไม่อนุญาตให้นำไปใช้ประโยชน์ด้านการค้า ไม่ว่าจะกรณีใดๆ ทั้งสิ้น อีกทั้งห้ามมิให้ตัดแปลงเนื้อหา และต้องอ้างอิงถึงเจ้าของเอกสารทุกครั้งที่มีการนำไปใช้

หัวข้อวิทยานิพนธ์

การออกแบบและสร้างตัวคอนโทรลเลอร์ด้วย

uP 8085 สำหรับระบบควบคุมตำแหน่ง

DESIGN AND IMPLEMENTATION OF CONTROLLER

BY uP 8085 FOR POSITION CONTROL SYSTEM

นักศึกษา

นาย อธิชาติ มุจนะมลทิล

อาจารย์ผู้ควบคุมวิทยานิพนธ์

รศ.ดร.โยธิน เปรมปราณีรัชต์

ระดับการศึกษา

วิศวกรรมศาสตรมหาบัณฑิต สาขาวิชาวิศวกรรมไฟฟ้า

ภาควิชา

วิศวกรรมไฟฟ้า สถาบันเทคโนโลยีพระจอมเกล้า

พ.ศ.

เจ้าคุณทหารลาดกระบัง

2536

บทคัดย่อ

วิทยานิพนธ์เป็นการศึกษาการออกแบบและสร้างตัวควบคุมด้วยไมโครโปรเซสเซอร์ 8085 เพื่อใช้ควบคุมตำแหน่งของมอเตอร์กระแสตรง การออกแบบตัวควบคุมกระทำด้วยเทคนิคของผลตอบสนองทางความถี่โบลโดอะแกรมเพื่อใช้เป็นพื้นฐาน สำหรับหาค่าพารามิเตอร์ที่เหมาะสมของตัวควบคุมแบบ PID และ PD แล้วนำค่าพารามิเตอร์เหล่านั้นมาใช้ในการจำลองระบบการควบคุมตำแหน่งของมอเตอร์กระแสตรงด้วยไมโครคอมพิวเตอร์ เพื่อเปรียบเทียบการทำงานของตัวควบคุมแบบ PID และ PD และเพื่อยืนยันเสถียรภาพของระบบ จากนั้นจึงสร้างตัวควบคุมดังกล่าวด้วยไมโครโปรเซสเซอร์ 8085 และพัฒนาซอฟต์แวร์ด้วยภาษาแอสเซมบลีที่สามารถเลือกโหมดตัวควบคุมเป็น PID หรือ PD ได้ จากนั้นเราทำการปรับแต่งตัวควบคุมด้วยวิธีของไซเกอร์-นิโคลอีกครั้งหนึ่ง เพื่อให้ระบบทำงานได้ดีทั้งในสภาวะมีโหลดและไม่มีโหลด

เอกสารนี้เป็นเอกสารที่สงวนไว้สำหรับการใช้งานเพื่อการศึกษาเท่านั้น ไม่อนุญาตให้นำไปใช้ประโยชน์ด้านการค้า ไม่ว่ากรณีใดๆ ทั้งสิ้น อีกทั้งห้ามมิให้ดัดแปลงเนื้อหา และต้องอ้างอิงถึงเจ้าของเอกสารทุกครั้งที่มีการนำไปใช้

THESIS TITLE DESIGN AND IMPLEMENTATION OF CONTROLLER
BY μ P 8085 FOR POSITION CONTROL SYSTEM

STUDY MR. ATICHARD MUJANAMONTIN

THESIS ADVISOR ASSOC. PROF. DR. YOTHIN PREMPRANEERACH

LEVEL OF STUDY MASTER OF ENGINEER IN ELECTRICAL ENGINEERING

DEPARTMENT ENGINEER KING MONGKUT'S INSTITUTE OF TECHNOLOGY
LADKRABANG

ACADEMIC 1993

Abstract

This thesis is to study of the design and implementation of controller by microprocessor 8085 for position control of dc motors. The controller is designed with based on the frequency response techniques. Bode diagram for primarinary finding the appropriated parameters of the PID and PD controller. Then the detained parameters were used for computer simulation of position control of DC motors. By using computer simulation the performance of PID and PD controller can be compared and can be comfirmed the stability of their system. Then the controller is implemented by microprocessor 8085 and the software assembly is developed for PID and PD control mode which can be optionally selected. For good operation of the position control system with load or no load,the controller is find turned by Ziegler-Nichols techniques.

เอกสารนี้เป็นเอกสารที่สงวนไว้สำหรับการใช้งานเพื่อการศึกษาเท่านั้น ไม่อนุญาตให้นำไปใช้ประโยชน์ด้านการค้า
ไม่ว่ากรณีใดๆ ทั้งสิ้น อีกทั้งห้ามมิให้ดัดแปลงเนื้อหา และต้องอ้างอิงถึงเจ้าของเอกสารทุกครั้งที่มีการนำไปใช้

สารบัญ

บทคัดย่อภาษาไทย	(III)
บทคัดย่อภาษาอังกฤษ	(IV)
สารบัญ	(V)
สารบัญรูป	(VII)
สารบัญตาราง	(IX)
บทที่ 1 บทนำ	(1)
1.1 คำนำ	(1)
1.2 วัตถุประสงค์ในการทำวิจัย	(1)
1.3 ขอบเขตรายละเอียดของวิทยานิพนธ์	(2)
บทที่ 2 คุณสมบัติของดีซีเซอร์ไวมอเตอร์	(4)
2.1 บทนำ	(4)
2.2 การคำนวณคุณสมบัติสแตติก	(5)
2.3 การแปลงค่าฟังก์ชันดีซีมอเตอร์จากวงจรทางไดนามิกส์	(12)
บทที่ 3 การวิเคราะห์ทฤษฎีการควบคุมตำแหน่งดีซีมอเตอร์	(19)
3.1 บทนำ	(19)
3.2 การวิเคราะห์หาตำแหน่งหยุดดีซีมอเตอร์	(19)
3.3 การวิเคราะห์หาตัวควบคุม	(23)
3.3.1 โหมดควบคุมป้อนพอร์ซันนัล	(24)
3.3.2 โหมดควบคุมอินติกรัล	(25)
3.3.3 โหมดควบคุมดิริเวทีฟ	(27)
3.3.4 โหมดในส่วนการควบคุมความเร็วมอเตอร์	(29)
3.3.5 โหมดในส่วนการควบคุมตำแหน่งมอเตอร์	(30)

เอกสารนี้เป็นเอกสารที่สงวนไว้สำหรับการใช้งานเพื่อการศึกษาเท่านั้น ไม่อนุญาตให้นำไปใช้ประโยชน์ด้านการค้า
ไม่ว่ากรณีใดๆ ทั้งสิ้น อีกทั้งห้ามมิให้ดัดแปลงเนื้อหา และต้องอ้างอิงถึงเจ้าของเอกสารทุกครั้งที่มีการนำไปใช้

3.4	การวิเคราะห์หาส่วนเฟาเวอร์แอมป์ลิไฟล์	(32)
3.5	การวิเคราะห์ในส่วนของดีซีเซอร์ไวมอเตอร์	(33)
3.6	การวิเคราะห์ตัววัดความเร็วรอบ	(35)
3.7	การวิเคราะห์วงจรการป้องกันกลับกระแส	(35)
3.8	การวิเคราะห์ระบบการควบคุมเซอร์ไวมอเตอร์ที่สมบูรณ์	(37)
3.8.1	การวิเคราะห์ระบบการควบคุมตำแหน่งมอเตอร์	(37)
3.9	การจำลองรูปแบบระบบการควบคุมตำแหน่งมอเตอร์	(40)
3.9.1	การจำลองแบบข้อมูลที่ใช้ในระบบตัวควบคุม	(42)
3.9.2	การจำลองแบบข้อมูลที่ใช้ในการควบคุมความเร็วมอเตอร์	(46)
3.9.3	การจำลองแบบข้อมูลที่ใช้ในการควบคุมตำแหน่งมอเตอร์	(50)
3.9.3.1	ตัวควบคุมรีโอพอร์ชั่นนัลอินทิกรัลดิริเวทีฟ (PID)	(50)
3.9.3.2	ตัวควบคุมรีโอพอร์ชั่นนัลดิริเวทีฟ (PD)	(54)
บทที่ 4	ระบบชุดควบคุมตำแหน่งดีซีมอเตอร์	(59)
4.1	บทนำ	(59)
4.2	ส่วนประกอบของชุดควบคุมความเร็วดีซีมอเตอร์	(59)
4.3	การออกแบบวงจรการแปลงดิจิทัลเป็นอนาลอก	(60)
4.4	การออกแบบวงจรระบบควบคุมความเร็วดีซีมอเตอร์	(61)
4.5	การออกแบบวงจรสร้างสัญญาณความถี่	(62)
4.6	การออกแบบวงจรชุดขับเซอร์ไวมอเตอร์	(65)
4.7	การออกแบบวงจรสวิทซ์ซิงเซอร์ไวแอมป์ลิไฟล์	(67)
4.8	การออกแบบวงจรควบคุมทิศทางการป้องกันกลับ	(67)
4.8.1	ทิศทางการป้องกันกลับกระแสเซอร์ไวมอเตอร์	(68)
4.8.2	ทิศทางการป้องกันกลับทาโคเจนเนอเรเตอร์	(68)
4.8.3	ทิศทางการป้องกันกลับพัลส์เจนเนอเรเตอร์	(70)
4.9	การออกแบบวงจรการวัดตำแหน่งมอเตอร์	(70)

เอกสารนี้เป็นเอกสารที่สงวนไว้สำหรับการใช้งานเพื่อการศึกษาเท่านั้น ไม่อนุญาตให้นำไปใช้ประโยชน์ด้านการค้า
ไม่ว่ากรณีใดๆ ทั้งสิ้น อีกทั้งห้ามมิให้ดัดแปลงเนื้อหา และต้องอ้างอิงถึงเจ้าของเอกสารทุกครั้งที่มีการนำไปใช้

บทที่ 5	โปรแกรมชุดควบคุมการทำงาน	(73)
5.1	บทนำ	(73)
5.2	การออกแบบชุดควบคุมตำแหน่งมอเตอร์ในส่วนของไมโครโปรเซสเซอร์	(76)
5.3	โปรแกรมที่ใช้ในการควบคุมตำแหน่งมอเตอร์	(76)
5.4	โปรแกรมที่ใช้ในการควบคุมทิศทางมอเตอร์	(77)
5.5	โปรแกรมการควบคุมภายในระบบรีอปอร์ชั่นัลอินติกรัลดิริเวทิฟ	(79)
5.5.1	โหมคปรืออปอร์ชั่นัล	(79)
5.5.2	โหมคอินติกรัล	(82)
5.5.3	โหมคปรืออปอร์ชั่นัลอินติกรัล	(83)
5.5.4	โหมคดิริเวทิฟ	(83)
5.5.5	โหมคปรืออปอร์ชั่นัลอินติกรัลดิริเวทิฟ	(84)
บทที่ 6	ผลการทดลอง	(86)
6.1	บทนำ	(86)
6.2	ผลการทดลองที่ได้จากการควบคุมตำแหน่งมอเตอร์แบบ PID และ PD	(87)
6.2.1	ผลตอบสนองการควบคุมตำแหน่งมอเตอร์ PID แบบที่ 1	(89)
6.2.2	ผลตอบสนองการควบคุมตำแหน่งมอเตอร์ PID แบบที่ 2	(95)
6.2.3	ผลตอบสนองการควบคุมตำแหน่งมอเตอร์ PD	(101)
6.5	บทสรุป	(108)

เอกสารนี้เป็นเอกสารที่สงวนไว้สำหรับการใช้งานเพื่อการศึกษาเท่านั้น ไม่อนุญาตให้นำไปใช้ประโยชน์ด้านการค้า
ไม่ว่ากรณีใดๆ ทั้งสิ้น อีกทั้งห้ามมิให้ดัดแปลงเนื้อหา และต้องอ้างอิงถึงเจ้าของเอกสารทุกครั้งที่มีการนำไปใช้

สารบัญรูป

รูปที่ 2.1	วงจรมุมมูลย์ของดีซีมอเตอร์ในลักษณะสแตติก	(5)
รูปที่ 2.2	วงจรมุมมูลย์สำหรับการวิเคราะห์คุณสมบัติทางไดนามิกส์	(13)
รูปที่ 2.3	ความสัมพันธ์ที่เกี่ยวกับการแปลงฟังก์ชันมอเตอร์และวงจรไฟฟ้า	(16)
รูปที่ 2.4	ผลตอบสนองต่อแรงดันสเตปที่อัตราการดั้มพ์ที่ค่าต่างๆ	(18)
รูปที่ 3.1	โพรไฟล์ความเร็วในการควบคุมตำแหน่ง	(20)
รูปที่ 3.2	ความสัมพันธ์ระหว่างความเร็ว ω อัตราการลดความเร็ว β ตำแหน่งค่าผิดพลาด θ	(21)
รูปที่ 3.3	ตัวควบคุมโหมดปรีอพออร์ชั่นนัล	(24)
รูปที่ 3.4	การเปลี่ยนแปลงเอาท์พุทของตัวควบคุมแบบปรีอพออร์ชั่นนัล	(25)
รูปที่ 3.5	ตัวควบคุมโหมดอินติกรัล	(26)
รูปที่ 3.6	การเปลี่ยนแปลงเอาท์พุทของตัวควบคุมแบบอินติกรัล	(27)
รูปที่ 3.7	ตัวควบคุมโหมดดิริเวทีฟ	(28)
รูปที่ 3.8	การเปลี่ยนแปลงเอาท์พุทของตัวควบคุมแบบดิริเวทีฟ	(28)
รูปที่ 3.9	ตัวควบคุมโหมดปรีอพออร์ชั่นนัลอินติกรัล	(29)
รูปที่ 3.10	ผลตอบสนองของระบบควบคุมความเร็วเมื่อตัวควบคุมเป็น PI	(30)
รูปที่ 3.11	ตัวควบคุมโหมดปรีอพออร์ชั่นนัลอินติกรัลดิริเวทีฟ	(31)
รูปที่ 3.12	ผลตอบสนองของระบบควบคุมตำแหน่งเมื่อตัวควบคุมเป็น PID	(31)
รูปที่ 3.13	สัญญาณการควบคุมรูปคลื่นพัลส์วิดโมดูล์ในช่วงการสวิตช์	(32)
รูปที่ 3.14	วงจรมุมมูลย์ของดีซี เซอร์โวมอเตอร์	(33)
รูปที่ 3.15	บล็อกไดอะแกรมของลูปการป้อนกลับกระแส	(36)
รูปที่ 3.16	บล็อกไดอะแกรมของระบบ เซอร์โว เพื่อการควบคุมตำแหน่งหมุนมอเตอร์	(38)
รูปที่ 3.17	บล็อกไดอะแกรมของระบบ เซอร์โว ที่ประกอบด้วยลูปการป้อนกลับของตำแหน่ง ลูปการป้อนกลับของความเร็วและลูปการป้อนกลับของกระแส	(41)
รูปที่ 3.18	โบทนล๊อต (เกน) ของระบบจากสมการที่ 3.40	(44)
รูปที่ 3.19	โบทนล๊อต (เฟส) ของระบบจากสมการที่ 3.40	(44)

เอกสารนี้เป็นเอกสารที่สงวนไว้สำหรับการใช้งานเพื่อการศึกษาเท่านั้น ไม่อนุญาตให้นำไปใช้ประโยชน์ด้านการค้า
ไม่ว่ากรณีใดๆ ทั้งสิ้น อีกทั้งห้ามมิให้ดัดแปลงเนื้อหา และต้องอ้างอิงถึงเจ้าของเอกสารทุกครั้งที่มีการนำไปใช้

รูปที่ 3.20	ผลตอบสนองการจำลองระบบภายในส่วนของมอเตอร์ จากสมการที่ 3.41	(45)
รูปที่ 3.21	โบทพล็อต (เกน) ของระบบเมื่อมีตัวควบคุมเป็นแบบ PI จากสมการที่ 3.43	(48)
รูปที่ 3.22	โบทพล็อต (เฟส) ของระบบเมื่อมีตัวควบคุมเป็นแบบ PI จากสมการที่ 3.43	(48)
รูปที่ 3.23	ผลตอบสนองการจำลองระบบการควบคุมความเร็วติชโมเตอร์ ที่มีตัวควบคุมเป็นแบบ PI จากสมการที่ 3.44	(49)
รูปที่ 3.24	โบทพล็อต (เกน) ของระบบเมื่อมีตัวควบคุมเป็นแบบ PID จากสมการที่ 3.46	(52)
รูปที่ 3.25	โบทพล็อต (เฟส) ของระบบเมื่อมีตัวควบคุมเป็นแบบ PID จากสมการที่ 3.46	(52)
รูปที่ 3.26	ผลตอบสนองการจำลองระบบการควบคุมตำแหน่งติชโมเตอร์ ที่มีตัวควบคุมเป็นแบบ PID จากสมการที่ 3.47	(54)
รูปที่ 3.27	โบทพล็อต (เกน) ของระบบเมื่อมีตัวควบคุมเป็นแบบ PD จากสมการที่ 3.49	(56)
รูปที่ 3.28	โบทพล็อต (เฟส) ของระบบเมื่อมีตัวควบคุมเป็นแบบ PD จากสมการที่ 3.49	(56)
รูปที่ 3.29	ผลตอบสนองการจำลองระบบการควบคุมตำแหน่งติชโมเตอร์ ที่มีตัวควบคุมเป็นแบบ PD จากสมการที่ 3.50	(58)
รูปที่ 4.1	บล็อกไดอะแกรมของระบบควบคุมตำแหน่งของติชโมเตอร์ซึ่งมี u_P เป็นตัวควบคุม	(60)
รูปที่ 4.2	การแปลงสัญญาณดิจิทัลเป็นแอนะล็อกที่ให้เอาต์พุตเป็นได้ทั้งโวลต์เดจววกและลบ	(61)
รูปที่ 4.3	วงจรตัวควบคุมความเร็วติชโมเตอร์แบบ PI	(63)
รูปที่ 4.4	วงจรสร้างลูกคลื่นสามเหลี่ยมเพื่อใช้สร้างสัญญาณ PWM	(64)
รูปที่ 4.5	วงจรชุดขับติชเซอร์ไวมอเตอร์	(66)
รูปที่ 4.6	วงจรสวิทช์ชิ่งเซอร์ไวแอมป์ลิไฟล์	(67)
รูปที่ 4.7	วงจรแรงดันการป้อนกลับทาโคเจนเนอเรเตอร์	(68)
รูปที่ 4.8	วงจรการป้อนกลับทิศทางของกระแสติชโมเตอร์	(69)
รูปที่ 4.9	วงจรสร้างสัญญาณพัลส์เจนเนอเรเตอร์	(70)
รูปที่ 4.10	วงจรวัดตำแหน่งการเคลื่อนที่ของมอเตอร์เมื่อมีสัญญาณอินพุตเป็นความถี่มาจาก สัญญาณพัลส์เจนเนอเรเตอร์	(72)

เอกสารนี้เป็นเอกสารที่สงวนไว้สำหรับการใช้งานเพื่อการศึกษาเท่านั้น ไม่อนุญาตให้นำไปใช้ประโยชน์ด้านการค้า
ไม่ว่ากรณีใดๆ ทั้งสิ้น อีกทั้งห้ามมิให้ดัดแปลงเนื้อหา และต้องอ้างอิงถึงเจ้าของเอกสารทุกครั้งที่มีการนำไปใช้

รูปที่ 5.1	วงจรมอเตอร์โปรเซสเซอร์ที่ใช้ในการควบคุมตำแหน่งมอเตอร์แบบ PID และ PD	(74)
รูปที่ 5.2	โปรแกรมการควบคุมตำแหน่งมอเตอร์	(77)
รูปที่ 5.3	โปรแกรมการควบคุมทิศทางมอเตอร์	(78)
รูปที่ 5.4	โปรแกรมการควบคุมตำแหน่งแบบป้อนพอร์ซันอนติกรัลดิวิเวท	(81)
รูปที่ 6.1	วงจรร่างสัญญาณการนับขั้วมัลติที่ใช้ในการคำนวณหาตำแหน่งมอเตอร์	(87)
รูปที่ 6.2	การควบคุมตำแหน่ง $\theta_1 = 240^\circ$ ไม่ต่อโหลด $K_p = 32.5$ $K_i = 99$ $K_d = 1$	(90)
รูปที่ 6.3	การควบคุมตำแหน่ง $\theta_1 = 240^\circ$ ต่อโหลด Open $K_p = 32.5$ $K_i = 99$ $K_d = 1$	(90)
รูปที่ 6.4	การควบคุมตำแหน่ง $\theta_1 = 240^\circ$ ต่อโหลด Close $K_p = 32.5$ $K_i = 99$ $K_d = 1$	(91)
รูปที่ 6.5	การควบคุมตำแหน่ง $\theta_2 = 360^\circ$ ไม่ต่อโหลด $K_p = 32.5$ $K_i = 99$ $K_d = 1$	(92)
รูปที่ 6.6	การควบคุมตำแหน่ง $\theta_2 = 360^\circ$ ต่อโหลด Open $K_p = 32.5$ $K_i = 99$ $K_d = 1$	(92)
รูปที่ 6.7	การควบคุมตำแหน่ง $\theta_2 = 360^\circ$ ต่อโหลด Close $K_p = 32.5$ $K_i = 99$ $K_d = 1$	(93)
รูปที่ 6.8	การควบคุมตำแหน่ง $\theta_3 = 450^\circ$ ไม่ต่อโหลด $K_p = 32.5$ $K_i = 99$ $K_d = 1$	(94)
รูปที่ 6.9	การควบคุมตำแหน่ง $\theta_3 = 450^\circ$ ต่อโหลด Open $K_p = 32.5$ $K_i = 99$ $K_d = 1$	(94)
รูปที่ 6.10	การควบคุมตำแหน่ง $\theta_3 = 450^\circ$ ต่อโหลด Close $K_p = 32.5$ $K_i = 99$ $K_d = 1$	(95)
รูปที่ 6.11	การควบคุมตำแหน่ง $\theta_4 = 210^\circ$ ไม่ต่อโหลด $K_p = 125$ $K_i = 124.5$ $K_d = 2.5$	(96)
รูปที่ 6.12	การควบคุมตำแหน่ง $\theta_4 = 210^\circ$ ต่อโหลด Open $K_p = 125$ $K_i = 124.5$ $K_d = 2.5$	(96)
รูปที่ 6.13	การควบคุมตำแหน่ง $\theta_4 = 210^\circ$ ต่อโหลด Close $K_p = 125$ $K_i = 124.5$ $K_d = 2.5$	(97)
รูปที่ 6.14	การควบคุมตำแหน่ง $\theta_5 = 320^\circ$ ไม่ต่อโหลด $K_p = 125$ $K_i = 124.5$ $K_d = 2.5$	(98)
รูปที่ 6.15	การควบคุมตำแหน่ง $\theta_5 = 320^\circ$ ต่อโหลด Open $K_p = 125$ $K_i = 124.5$ $K_d = 2.5$	(98)
รูปที่ 6.16	การควบคุมตำแหน่ง $\theta_5 = 320^\circ$ ต่อโหลด Close $K_p = 125$ $K_i = 124.5$ $K_d = 2.5$	(99)
รูปที่ 6.17	การควบคุมตำแหน่ง $\theta_6 = 460^\circ$ ไม่ต่อโหลด $K_p = 125$ $K_i = 124.5$ $K_d = 2.5$	(100)
รูปที่ 6.18	การควบคุมตำแหน่ง $\theta_6 = 460^\circ$ ต่อโหลด Open $K_p = 125$ $K_i = 124.5$ $K_d = 2.5$	(100)
รูปที่ 6.19	การควบคุมตำแหน่ง $\theta_6 = 460^\circ$ ต่อโหลด Close $K_p = 125$ $K_i = 124.5$ $K_d = 2.5$	(101)
รูปที่ 6.20	การควบคุมตำแหน่ง $\theta_7 = 410^\circ$ ไม่ต่อโหลด $K_p = 125$ $K_d = 2.5$	(102)
รูปที่ 6.21	การควบคุมตำแหน่ง $\theta_7 = 410^\circ$ ต่อโหลดแบบ Open $K_p = 125$ $K_d = 2.5$	(102)
รูปที่ 6.22	การควบคุมตำแหน่ง $\theta_7 = 410^\circ$ ต่อโหลดแบบ Close $K_p = 125$ $K_d = 2.5$	(103)

เอกสารนี้เป็นเอกสารที่สงวนไว้สำหรับการใช้งานเพื่อการศึกษาเท่านั้น ไม่อนุญาตให้นำไปใช้ประโยชน์ด้านการค้า
ไม่ว่ากรณีใดๆ ทั้งสิ้น อีกทั้งห้ามมิให้ดัดแปลงเนื้อหา และต้องอ้างอิงถึงเจ้าของเอกสารทุกครั้งที่มีการนำไปใช้

สารบัญตาราง

ตารางที่ 2.1	สรุปผลลัพท์ทางเพาเวอร์อินพุตและเอาต์พุต	(12)
ตารางที่ 2.2	ตารางตัวตามทานคอยล์และคานาซีเตอร์	(15)
ตารางที่ 6.1	แสดงการเปรียบเทียบการควบคุมตำแหน่ง PID แบบที่ 1	(105)
ตารางที่ 6.2	แสดงการเปรียบเทียบการควบคุมตำแหน่ง PID แบบที่ 2	(106)
ตารางที่ 6.3	แสดงการเปรียบเทียบการควบคุมตำแหน่ง PID แบบที่ 1 และ PD ที่มี θ_u	(107)



เอกสารนี้เป็นเอกสารที่สงวนไว้สำหรับการใช้งานเพื่อการศึกษาเท่านั้น ไม่อนุญาตให้นำไปใช้ประโยชน์ด้านการค้า
ไม่ว่ากรณีใดๆ ทั้งสิ้น อีกทั้งห้ามมิให้ดัดแปลงเนื้อหา และต้องอ้างอิงถึงเจ้าของเอกสารทุกครั้งที่มีการนำไปใช้

กิตติกรรมประกาศ	(115)
เอกสารอ้างอิง	(116)
ภาคผนวก ก ตัวอย่างการคำนวณหาค่าเกนปรีอพออร์ชันนัลอินทิกรัลดิรีเวทีฟ	(118)
ภาคผนวก ข วิธีการปรับแต่งค่าพารามิเตอร์ที่ใช้ในการควบคุมตำแหน่งแบบ PID และ PD โดยวิธี การของ Ziegler-Nichols	(139)
ภาคผนวก ค โปรแกรมของระบบควบคุมตำแหน่งมอเตอร์	(147)
ภาคผนวก ง ขนาดพิกัดมอเตอร์	(212)
ภาคผนวก จ ผลงานวิจัยในระหว่างการศึกษาปริญญาโท ที่ได้รับการเผยแพร่ในการประชุมวิชาการ ทางวิศวกรรมไฟฟ้า 9 สถาบัน ครั้งที่ 12 พ.ศ. 2533 ณ มหาวิทยาลัย เชียงใหม่	(215)

เอกสารนี้เป็นเอกสารที่สงวนไว้สำหรับการใช้งานเพื่อการศึกษาเท่านั้น ไม่อนุญาตให้นำไปใช้ประโยชน์ด้านการค้า
ไม่ว่ากรณีใดๆ ทั้งสิ้น อีกทั้งห้ามมิให้ดัดแปลงเนื้อหา และต้องอ้างอิงถึงเจ้าของเอกสารทุกครั้งที่มีการนำไปใช้

บทที่ 1

บทนำ

1.1 คำนำ

ปัจจุบันมอเตอร์กระแสตรงเป็นที่นิยมใช้อย่างกว้างขวาง ทั้งในระบบขับเคลื่อนต่างๆ ในวงการอุตสาหกรรมสมัยใหม่อย่างกว้างขวาง ส่วนมากดีซีมอเตอร์เป็นพลังงานกลที่สำคัญในระบบการควบคุมเคลื่อนทุกชนิดในปัจจุบันจากเครื่องใช้ไฟฟ้าภายในบ้าน ภายในรถยนต์ในเครื่องคอมพิวเตอร์ หุ่นยนต์ เครื่องวัดคุมต่างๆ ตลอดจนถึงเครื่องจักรกลที่ทำงานโดยอัตโนมัติแทบทุกชนิด มากกว่าครึ่งหนึ่งของพลังงานที่ไฟฟ้าที่ผลิตได้ในประเทศอุตสาหกรรมถูกนำไปใช้ให้กับระบบการขับเคลื่อนทางไฟฟ้า (Electrical drive) เพื่อแปลงเป็นพลังงานกล และเป็นที่นิยมในการใช้ระบบการขับเคลื่อนที่สามารถควบคุมได้กับโหลดทางกลที่แปรเปลี่ยนได้ ที่มีทั้งระบบการขับเคลื่อนที่เป็นทั้งดีซี และ เอซี อย่างไรก็ตามเพื่อศึกษาค้นคว้าและวิจัยทางด้านเทคโนโลยีระบบการขับเคลื่อนทางไฟฟ้า ในประเทศไทยยังมีอยู่น้อยไม่ว่าทั้งทางด้านเอซี หรือ ดีซีสำหรับระบบการควบคุมตำแหน่งมอเตอร์ไฟฟ้ากระแสสลับแบบทำงานได้สี่ควอเตอร์ โดยในวิทยานิพนธ์เล่มนี้ได้เลือกศึกษาวิจัยและทดลองสร้างระบบควบคุมตำแหน่งที่ใช้กับดีซีมอเตอร์ขนาด 20 V : 3.4 A : 68 W ที่ความเร็ว 3000 รอบ โดยเราจะกล่าวถึงระบบที่ส่วนควบคุมการทำงานทั้งเป็นแบบดิจิทัลและแบบอนาลอก และรวมทั้งโครงสร้างวงจรอิเล็กทรอนิกส์กำลังของระบบที่ใช้ในการวิจัยทดลองนี้ให้สมรรถนะความคล่องตัวที่ดี อีกทั้งระบบที่ยังมีความเหมาะสมพร้อมที่จะได้รับการพัฒนาใช้กับระบบควบคุมตำแหน่งของมอเตอร์ชนิดอื่นต่อไปได้โดยง่าย เช่นระบบเซอร์โวทั่ว ๆ ไป

1.2 วัตถุประสงค์ในการวิจัย

จุดมุ่งหมายของวิทยานิพนธ์เล่มนี้เป็นการอธิบายถึงวิธีการควบคุมดีซีมอเตอร์แบบต่างๆ ที่ใช้ในระบบควบคุมความเร็ว, ตำแหน่ง, แรงบิดของโหลด และการนำมาประยุกต์ใช้งานต่างๆ ที่ได้รวบรวมขึ้นทั้งในระบบควบคุมความเร็วและการควบคุมตำแหน่ง โดยการควบคุมแบบที่ใช้กันอยู่ในปัจจุบันนี้มิได้ด้วยกันหลายแบบ คือ การควบคุมแบบ PI, PD หรือ PID ก็เป็นอีกแบบหนึ่งที่มีการนิยมใช้กันอย่างกว้าง

เอกสารนี้เป็นเอกสารที่สงวนไว้สำหรับการใช้งานเพื่อการศึกษาเท่านั้น ไม่อนุญาตให้นำไปใช้ประโยชน์ด้านการค้าไม่ว่ากรณีใดๆ ทั้งสิ้น อีกทั้งห้ามมิให้ดัดแปลงเนื้อหา และต้องอ้างอิงถึงเจ้าของเอกสารทุกครั้งที่มีการนำไปใช้

ขวางในงานอุตสาหกรรมในวิทยานิพนธ์เล่มนี้เรามีการนำเสนอวิธีการควบคุมตำแหน่งมอเตอร์ โดยใช้ตัวควบคุมแบบ PID โดยใช้ไมโครโปรเซสเซอร์ พร้อมทั้งในส่วนที่มีการควบคุมความเร็วของมอเตอร์ที่จะใช้ตัวควบคุมอนุโลกแบบ PI ร่วมกับส่วนขับเคลื่อนเป็นแบบ PWM เพื่อศึกษา

- 1) ศึกษาวิธีการออกแบบตัวควบคุมระบบการควบคุมความเร็วและตำแหน่งด้วยวิธีโบลโดอะแกรม
- 2) ศึกษากระบวนการควบคุมความเร็วโดยวิธีการจำลองระบบเปรียบเทียบกับระบบจริง
- 3) ศึกษากระบวนการควบคุมตำแหน่งโดยวิธีการจำลองระบบเปรียบเทียบกับระบบจริง
- 4) ศึกษาตัวติจิตอลตัวควบคุมแบบ PD และ PID
- 5) เปรียบเทียบการทำงานของระบบควบคุมตำแหน่งเป็นตัวควบคุมเป็น PD และ PID
- 6) ศึกษาตัวอนุโลกตัวควบคุมแบบ PI

1.3 ขอบเขตรายละเอียดของวิทยานิพนธ์

ในบทที่ 1 เป็นบทนำจะอธิบายถึงวัตถุประสงค์ของวิทยานิพนธ์นี้และเนื้อหาคร่าว ๆ ของแต่ละบทในวิทยานิพนธ์เล่มนี้

ในบทที่ 2 เป็นการกล่าวถึงคุณสมบัติของ เซอร์โวมอเตอร์ ในทอมลักษณะทางสถิตและไดนามิกส์ โดยที่ลักษณะในทางสถิตได้แสดงค่าในทอมของทอร์ค ประสิทธิภาพ กระแส ฯลฯ ส่วนในลักษณะทางไดนามิกส์ เป็นความสัมพันธ์ต่อการเปลี่ยนแปลงค่าเหล่านี้ในทางปฏิบัติ พร้อมทั้งนำค่าเหล่านี้ที่ได้มาแปลงค่าฟังก์ชันจากการประมาณค่าของตัวแปรที่รวมเอาคุณสมบัติไดนามิกส์ และสุดท้ายเราจะดูปัญหาที่เกี่ยวข้องกับโพลของมอเตอร์

ในบทที่ 3 เป็นการกล่าวถึงระบบที่ใช้ในสมการดิฟเฟอเรนเชียล ในส่วนที่เป็นพื้นฐานภายในระบบการควบคุมทางคณิตศาสตร์ ทั้งในระบบควบคุมตำแหน่งและระบบ PID โดยในแต่ละระบบนั้นๆ จะถูกแยกนำมาพิจารณาทั้งในส่วนประกอบของรีออปอร์ชันนัลอินทิกรัล และในส่วนประกอบดิริเวทีฟโดยตอบสนองกับอัตราการเปลี่ยนแปลงค่าผิดพลาด จากนั้นเราจะนำเข้าไปสู่ในส่วนของการคำนวณหาตำแหน่งสัญญาณ PWM อัตราการขยายเกนพร้อมทั้งค่าตัวแปรทางคณิตศาสตร์ต่างๆ ที่เราจะนำค่าเหล่านี้เพื่อนำมาใช้ในการจำลองระบบที่ได้จากการคำนวณทางคณิตศาสตร์ มาทำการจำลองทางซอฟต์แวร์จากโปรแกรมการซิมูเลท

เอกสารนี้เป็นเอกสารที่สงวนไว้สำหรับการใช้งานเพื่อการศึกษาเท่านั้น ไม่อนุญาตให้นำไปใช้ประโยชน์ด้านการค้า ไม่ว่าจะกรณีใดๆ ทั้งสิ้น อีกทั้งห้ามมิให้ตัดแปลงเนื้อหา และต้องอ้างอิงถึงเจ้าของเอกสารทุกครั้งที่มีการนำไปใช้

ในบทที่ 4 บทนี้เราจะขอก้าวถึงส่วนผลการทดลองในส่วนการควบคุมความเร็วดีซีมอเตอร์ ที่มี การพัฒนาการควบคุมความเร็วมอเตอร์แบบ PI ที่ใช้วงจรสัญญาณการควบคุมแบบ PWM คอนเวอร์เตอร์ (Pulse Width Modulation Converter) รวมทั้งในส่วนของการใช้สร้างวงจรคอมพิวเตอร์ ที่จะนำเข้าไปสู่วงจรชุดขับเบสที่ใช้ในการสร้างชุดเซอร์โวแอมป์แบบ full-bridge ที่ใช้ควบคุมได้ ทั้งตำแหน่งและทิศทางแบบสี่ควอดแรนต์ รวมทั้งในวงจรที่มีการป้อนกลับทั้ง 3 ส่วน ทั้งในวงจรการ ป้อนกลับกระแส วงจรการป้อนกลับความเร็ว วงจรการป้อนกลับในส่วนของตำแหน่ง และในส่วนสุดท้าย จะเป็นการสร้างวงจรถ้าตำแหน่งมอเตอร์ โดยเรานำสัญญาณที่ได้จากส่วนของพัลส์เจเนอเรเตอร์ ผ่านวงจรการนับเข้าสู่วงจร D/A ขนาด 16 บิตที่สร้างขึ้นมาเอง เป็นการวัดค่าที่ได้จากจากตำแหน่ง ต่างๆที่มอเตอร์หยุดในช่วงตำแหน่งต่างๆ ซึ่งความสำเร็จในการพัฒนาการควบคุมตำแหน่งนี้ขึ้นอยู่กับ การออกแบบซอฟต์แวร์ระบบ PID ที่เราใช้ไมโครโปรเซสเซอร์ในการตั้งค่าเกณฑ์ จะให้ตำแหน่งหยุดได้ อย่างเที่ยงตรงและทิศทางของดีซีมอเตอร์ได้อย่างแม่นยำยิ่งขึ้น (รายละเอียดจะขอก้าวไว้ใบบทที่ 5)

ในบทที่ 5 เป็นการกล่าวถึงการออกแบบระบบไมโครโปรเซสเซอร์ มีประโยชน์มากในการพัฒนา ระบบต่างๆ ในบทนี้เราจะขอก้าวถึงคุณสมบัติของไมโครโปรเซสเซอร์ เรานำมาใช้ในการควบคุม ตำแหน่งดีซีมอเตอร์ภายในระบบ PID ที่มีความอ่อนตัวง่ายต่อการแก้ไขระบบต่างๆ ที่เกี่ยวข้องกับทาง ด้านไมโครโปรเซสเซอร์โดยที่เราไม่ต้องไปยุ่งเกี่ยวกับระบบโครงสร้างภายในฮาร์ดแวร์แต่อย่างใด

บทที่ 6 เป็นการกล่าวถึงผลที่ได้จากการทดลองจริง โดยเราจะมีการปรับค่าเกณฑ์ต่างๆ ภายในระบบ ที่ได้จากการทดลองจริง โดยเรานำสัญญาณที่ได้จากส่วนของพัลส์เจเนอเรเตอร์ผ่านวงจรการนับ เข้าสู่วงจร D/A ขนาด 16 บิตที่สร้างขึ้นมาเอง เป็นการวัดค่าที่ได้จากจากตำแหน่งต่างๆที่มอเตอร์ หยุดในช่วงตำแหน่งต่างๆ

ส่วนสุดท้ายของวิทยานิพนธ์ฉบับนี้เป็นภาคผนวกอันประกอบด้วยขนาดนิทัศน์ของมอเตอร์ที่ใช้ จาก นั้นก็เป็นบทสรุปของการออกแบบซอฟต์แวร์ PID ที่ใช้ในการออกแบบนี้ และแสดงผลของซอฟต์แวร์ที่ใช้ทั้ง การควบคุมตำแหน่งแบบ PID และทิศทางของมอเตอร์

บทที่ 2

คุณสมบัติของดีซี เซอร์โวมอเตอร์

2.1 บทนำ

ปกติ เซอร์โวมอเตอร์สามารถนำคุณสมบัตินำมาแสดงในทอมลักษณะสแตติกและไดนามิกส์ ลักษณะในทางสแตติกได้แสดงค่าในทอมของทอร์ค ประสิทธิภาพ กระแส ฯลฯ ส่วนในลักษณะทางไดนามิกส์เป็นความสัมพันธ์ต่อการเปลี่ยนแปลงของค่าเหล่านี้ในทางปฏิบัติ ในบทนี้ได้อธิบายวิธีสำหรับแก้ปัญหาลักษณะสแตติกโดยให้วงจรสมมุติสำหรับดีซี เซอร์โวมอเตอร์ การประมาณค่าตามคุณสมบัติทางไดนามิกส์ของมอเตอร์ที่จะตอบสนอง เพื่อทำให้เกิดค่าตามที่ต้องการ นิยามคุณสมบัติทางไดนามิกส์ที่มีผลต่อการแทนค่ามอเตอร์ที่ได้มาจากสมการวงจรมอเตอร์ จากนั้นนำค่าเหล่านี้ที่ได้นำมาแปลงค่าฟังก์ชันพร้อมทั้งการประมาณค่าของตัวแปรที่รวมเอาคุณสมบัติไดนามิกส์ที่จะนำมาอธิบาย และสุดท้ายเราจะดูปัญหาที่เกี่ยวข้องกับสมการไหลของมอเตอร์ การแปลงฟังก์ชันที่นำมาใช้ตามค่าคุณลักษณะของมอเตอร์เป็นการประยุกต์ ในส่วนของผลลัพธ์ที่มีเงื่อนไขต่อการแปลงอย่างรวดเร็วในส่วนนี้จะ เริ่มอธิบายแนวคิดของการแปลงฟังก์ชันและเมื่ออธิบายในรายละเอียดการแปลงฟังก์ชันของมอเตอร์

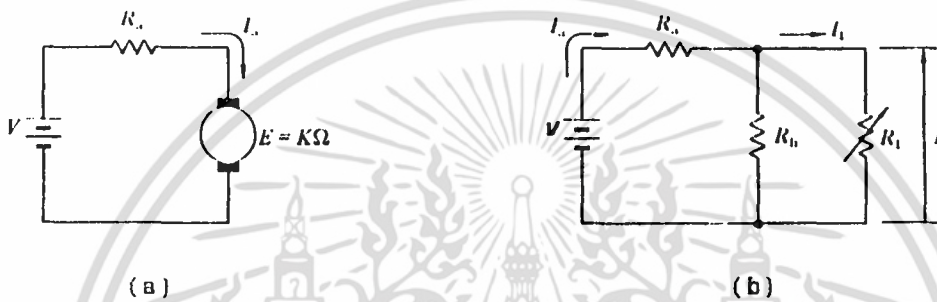
ระบบเซอร์โวที่ใช้สำหรับการควบคุมตำแหน่งหมุนของเพลาคีมอเตอร์ ซึ่งอาจนำไปใช้งานสำหรับการควบคุมตำแหน่งแขนของหุ่นยนต์ก็ได้ ระบบเซอร์โวที่ได้อธิบายต่อไปนี้มีไดอะแกรมเป็นระบบเซอร์โวที่ประกอบด้วยอุปกรณ์ควบคุมตำแหน่ง อุปกรณ์ควบคุมความเร็วรอบและอุปกรณ์ควบคุมทอร์ค รวมถึงการวิเคราะห์ระบบเซอร์โวที่ใช้ในการควบคุมเครื่องจักรกลที่นำไปขับโหลดให้มีการเคลื่อนไหว ในลักษณะทางไดนามิกส์ของตำแหน่งความเร็วรอบและแรงบิด(ทอร์ค) ระบบเซอร์โวจะต้องตอบสนองต่อการเปลี่ยนแปลงของตัวแปรอินพุต $r(t)$ ต่อการเปลี่ยนแปลงของโหลดมอเตอร์ ดังนั้นการวิเคราะห์ระบบเซอร์โวโดยทั่วไป จะต้องนิยามคุณสมบัติการทำงานจากระบบอยู่ 2 ประการ คือ คุณสมบัติทางไดนามิกส์และคุณสมบัติสแตติก (คงที่) ของระบบ

2.2 การคำนวณคุณสมบัติทางสแตติก ^(2.2)

คุณสมบัติของระบบเมื่อผลตอบสนองของระบบเข้าสู่สถานะคงที่ ซึ่งแสดงอยู่ในรูปของค่าผิดพลาดที่

เอกสารนี้เป็นเอกสารที่สงวนไว้สำหรับการใช้งานเพื่อการศึกษาเท่านั้น ไม่อนุญาตให้นำไปใช้ประโยชน์ด้านการค้าไม่ว่ากรณีใดๆ ทั้งสิ้น อีกทั้งห้ามมิให้ดัดแปลงเนื้อหา และต้องอ้างอิงถึงเจ้าของเอกสารทุกครั้งที่มีการนำไปใช้

สถานะคงที่หรือความแตกต่างระหว่างตัวแปรอินพุต $r(t)$ และตัวแปรเอาต์พุต $c(t)$ เมื่อเวลาเข้าใกล้อนันต์นี้ตีความถึงความเที่ยงตรงของระบบ โดยที่แพลตฟอร์มเป็นตัวกำหนดค่าผิดพลาดที่สถานะคงที่ได้แก่อัตราขยายของลูปเมื่อมีค่าสูงค่าผิดพลาดมีค่าน้อย (ระบบมีความเที่ยงตรงที่ดี) ค่าปานกลางค่าผิดพลาดมีค่าปานกลาง (ระบบมีความเที่ยงตรงพอใช้ได้) แต่ถ้าค่าค่าผิดพลาดมีค่ามาก (ระบบมีความเที่ยงตรงไม่ดี)



<p>(a)</p> <p>เพาเวอร์อินพุต = $V I_L$</p> <p>เพาเวอร์เอาต์พุต = $I_L E$</p> <p>การสูญเสียเพาเวอร์ในแผ่นทองแดง = $I_L^2 R_s$</p> <p>การสูญเสียเพาเวอร์ในส่วนอื่น = ตัดทิ้ง</p>	<p>(b)</p> <p>เพาเวอร์อินพุต = $V I_L$</p> <p>เพาเวอร์เอาต์พุต = $I_L^2 R_n = I_L E$</p> <p>การสูญเสียเพาเวอร์ในแผ่นทองแดง = $I_L^2 R_s$</p> <p>การสูญเสียเพาเวอร์ในส่วนอื่น = E^2 / R_n</p>
---	--

รูปที่ 2.1 วงจรสมมูลย์ของดีซีมอเตอร์ในลักษณะสถิต

ในลักษณะสถิตของดีซีมอเตอร์สามารถนำมาคำนวณโดยใช้วงจรสมมูลย์ และตัวแปรที่ได้รับโดยการประมาณค่าที่นำมาแสดงเป็นพื้นฐานการกำหนดค่าคงที่ M

$$M = \sqrt{\frac{(R_s + R_n)}{R_n}} \quad (2.1)$$

เราควรจะนิสจน์สมการ (2.1) เป็นสมการทางคณิตศาสตร์ เมื่อนำโหลดมาประยุกต์ใช้กับความเร็วกระแสที่ได้โดย

เอกสารนี้เป็นเอกสารที่สงวนไว้สำหรับการใช้งานเพื่อการศึกษาเท่านั้น ไม่อนุญาตให้นำไปใช้ประโยชน์ด้านการค้า ไม่ว่าจะกรณีใดๆ ทั้งสิ้น อีกทั้งห้ามมิให้ดัดแปลงเนื้อหา และต้องอ้างอิงถึงเจ้าของเอกสารทุกครั้งที่มีการนำไปใช้

$$I_{\bullet} = \frac{(V - E)}{R_{\bullet}} = \frac{(V - K\Omega)}{R_{\bullet}} \quad (2.2)$$

K เป็นค่าคงที่มอเตอร์ที่แตกต่างกันในมอเตอร์แต่ละตัว

ดังนั้นกระแสที่ไม่มีโหลดเป็น

$$I_{\circ} = \frac{(V - K\Omega_{\circ})}{R_{\bullet}} \quad (2.3)$$

จากสมการ (2.2) และ (2.3) นำมาลบกันเราจะได้รับ

$$I_{\bullet} - I_{\circ} = K * \left[\frac{(\Omega_{\circ} - \Omega)}{R_{\bullet}} \right] \quad (2.4)$$

ดังนั้นเรานำมาจัดสมการเสียใหม่

$$\frac{\Delta I}{\Delta \Omega} = \frac{I_{\bullet} - I_{\circ}}{\Omega_{\circ} - \Omega} = \frac{K}{R_{\bullet}} \quad (2.5)$$

ดังนั้น $K = \infty$ ที่กระแสที่ไม่มีโหลดตามความสัมพันธ์

$$(\text{กระแสที่ไม่มีโหลด}) I_{\circ} = \frac{V}{(R_{\bullet} + R_{\text{h}})} \quad (2.6)$$

แรงดัน E_{\circ} นั้นปรากฏว่าบน R_{h} เป็น

เอกสารนี้เป็นเอกสารที่สงวนไว้สำหรับการใช้งานเพื่อการศึกษาเท่านั้น ไม่อนุญาตให้นำไปใช้ประโยชน์ด้านการค้าไม่ว่ากรณีใดๆ ทั้งสิ้น อีกทั้งห้ามมิให้ดัดแปลงเนื้อหา และต้องอ้างอิงถึงเจ้าของเอกสารทุกครั้งที่มีการนำไปใช้

$$E_o = R_n I_o = V * \left[\frac{R_n}{(R_m + R_n)} \right] \quad (2.7)$$

ดังนั้นความเร็วไมมีโพลด Ω_o เป็น

$$\Omega_o = \frac{E_o}{K} = \frac{V * \left[\frac{R_n}{(R_m + R_n)} \right]}{K} \quad (2.8)$$

ดังนั้น

$$\frac{\Omega_o}{I_o} = \frac{R_n}{K} \quad (2.9)$$

นำสมการ (2.5) และ (2.9) แทนที่เข้าไปในสมการ (2.1) เพื่อนำมาหาค่าสมการ (2.10) เป็น
ทฤษฎีตามสมการได้รับค่าของ M จากประมาณค่า

$$M = \sqrt{\left[\begin{matrix} \left(\frac{\Omega_o}{I_o} \right) \left(\frac{\Delta I}{\Delta \Omega} \right) + 1 \end{matrix} \right]} \quad (2.10)$$

สำหรับประสิทธิภาพสูงสุด โดยแสดงตามสมการวงจรถั่วไปเราสามารถได้รับตามสมการ

$$(\text{การสูญเสีย}) = \frac{(V - E)^2}{R_m} + \frac{E^2}{R_n} \quad (2.11)$$

$$(\text{เพาเวอร์เอาต์พุต}) = (\text{back e.m.f.} \times \text{กระแสอินพุต} - \text{การสูญเสียเพาเวอร์ใน } R_n)$$

เอกสารนี้เป็นเอกสารที่สงวนไว้สำหรับการใช้งานเพื่อการศึกษาเท่านั้น ไม่อนุญาตให้นำไปใช้ประโยชน์ด้านการค้า
ไม่ว่ากรณีใดๆ ทั้งสิ้น อีกทั้งห้ามมิให้ดัดแปลงเนื้อหา และต้องอ้างอิงถึงเจ้าของเอกสารทุกครั้งที่มีการนำไปใช้

$$= E * \left[\frac{(V - E)}{R_u} \right] - \frac{E^2}{R_h} \quad (2.12)$$

(เพาเวอร์อินพุต) = (การสูญเสีย + เพาเวอร์เอาต์พุต)

= (แรงดันที่ปลายแรงดันมอเตอร์ x กระแสอินพุต)

$$= V * \left[\frac{(V - E)}{R_u} \right] \quad (2.13)$$

ดังนั้นผลลัพธ์ η เป็นเพาเวอร์เอาต์พุตต่อเพาเวอร์อินพุต

$$\eta = \frac{\text{เพาเวอร์เอาต์พุต}}{\text{เพาเวอร์อินพุต}} = \frac{E(V - E) - \left(\frac{E^2}{R_h} \right) * \left(\frac{R_u}{V(V - E)} \right)}{\frac{E - \left(\frac{R_u}{R_h} \right) * \left(\frac{E^2}{V(V - E)} \right)}{V}} \quad (2.14)$$

พบว่าค่าสูงสุดเรตไฟเพอร์เรทเซี่ยล η กับส่วนของ E มีค่าเท่ากับศูนย์

$$\frac{\partial \eta}{\partial E} = 1 * \left[\left[\left(1 - \frac{R_u}{R_h} \right) * \left(\frac{2EV - E^2}{(V - E)^2} \right) \right] \right] = 0 \quad (2.15)$$

จากสมการ (2.15) จัดเข้าสู่สมการควอดราติกส์ในเทอมของ E เราได้รับตามค่า

$$\left[\left(1 + \frac{R_u}{R_h} \right) * E^2 - 2V \left(1 + \frac{R_u}{R_h} \right) * E + \left(\frac{R_u}{R_h} \right) * V^2 \right] = 0 \quad (2.16)$$

เอกสารนี้เป็นเอกสารที่สงวนไว้สำหรับการใช้งานเพื่อการศึกษาเท่านั้น ไม่อนุญาตให้นำไปใช้ประโยชน์ด้านการค้า
ไม่ว่ากรณีใดๆ ทั้งสิ้น อีกทั้งห้ามมิให้ดัดแปลงเนื้อหา และต้องอ้างอิงถึงเจ้าของเอกสารทุกครั้งที่มีการนำไปใช้

โดยใช้ความสัมพันธ์ของสมการ (2.1) คำนี้นำมาแปลงกับสมการ E ตามค่า

$$M^2 E^2 - 2VM^2 E + (M^2 - 1)V^2 = 0 \tag{2.17}$$

ตั้งนั้น back e.m.f. E ค่าสูงสุด E* ค่าสูงสุด η_{max} เป็น

$$E^* = \frac{VM^2 \pm \sqrt{[M^2 V^2 - M^2(M^2 - 1)V^2]}}{M^2}$$

$$= \left[\frac{M^2 + M}{M^2} \right] * V = \left[\frac{M + 1}{M} \right] * V \tag{2.18}$$

ตั้งนั้นแรงดัน V เป็นค่าที่มากกว่า E* เป็นเครื่องจักรกลกระแสตรงเป็นประสิทธิภาพสูงสุดมอเตอร์

$$E^* = \left[\frac{(M - 1)}{M} \right] * V \tag{2.19}$$

เข้าแทนที่สมการ (2.19) เข้าไปในสมการ (2.14) เราจะได้รับ

$$\eta_{max} = \left[\frac{M - 1}{M} \right] - \left[\frac{R_a}{R_n} \right] * \left[\frac{(M - 1)^2}{M} \right] \tag{2.20}$$

แต่จากสมการ(2.1)

$$\frac{R_n}{R_a} = M^2 - 1 = (M - 1)(M + 1) \tag{2.21}$$

เอกสารนี้เป็นเอกสารที่สงวนไว้สำหรับการใช้งานเพื่อการศึกษาเท่านั้น ไม่อนุญาตให้นำไปใช้ประโยชน์ด้านการค้า ไม่ว่ากรณีใดๆ ทั้งสิ้น อีกทั้งห้ามมิให้ดัดแปลงเนื้อหา และต้องอ้างอิงถึงเจ้าของเอกสารทุกครั้งที่มีการนำไปใช้

แทนค่านี้เข้าไปในสมการที่ (2.20) สังเกตค่าที่ทั้งหมดของตัวแปร ด้านบนที่ได้แสดงการประมาณค่าประสิทธิภาพสูงสุดหรืออัตราส่วนของเนาเวอร์เอาท์นุทแมคคานิกส์กับเนาเวอร์ทางไฟฟ้าอินพุทในเทอมของ M ค่านี้ได้โดย

$$\text{(ประสิทธิภาพสูงสุด) } \eta_{max} = \frac{(M - 1)}{(M + 1)} \quad (2.22)$$

กระแสที่จุดนี้นำมาคำนวณโดยใช้ $I_a = \frac{(V - E_a)}{R_a}$ ของสมการ (2.2)

$$\frac{I_a^*}{I_o} = \frac{(V - E_a^*)/R_a}{(V - E_o)/R_o} = \frac{V - E_a^*}{V - E_o} \quad (2.23)$$

จากสมการ (2.1) และ (2.7)

$$E_o = \frac{V(R_n/R_a)}{(R_n/R_a) + 1} = \frac{(M^2 - 1) * V}{M^2} \quad (2.24)$$

นำสมการ (2.19) และ (2.24) แทนค่าเข้าไปในสมการ (2.23)

$$\frac{I_a^*}{I_o} = \frac{1 - (M - 1)/M}{1 - (M^2 - 1)/M^2} = M \quad (2.25)$$

ดังนั้นสมการ (2.26) นำค่าที่ได้เมื่อมอเตอร์จัดการกับผลล้นที่กระแสสูงสุดและความเร็วที่ได้โดยตามลำดับ

$$\text{(กระแสที่ประสิทธิภาพสูงสุด) } I_a^* = M I_o \quad (2.26)$$

เอกสารนี้เป็นเอกสารที่สงวนไว้สำหรับการใช้งานเพื่อการศึกษาเท่านั้น ไม่อนุญาตให้นำไปใช้ประโยชน์ด้านการค้าไม่ว่ากรณีใดๆ ทั้งสิ้น อีกทั้งห้ามมิให้ดัดแปลงเนื้อหา และต้องอ้างอิงถึงเจ้าของเอกสารทุกครั้งที่มีการนำไปใช้

การหมุนความเร็วที่ประสิทธิภาพสูงสุดที่ได้รับตามค่าตามสมการ เมื่อเราเริ่มต้นจากตามค่าความสัมพันธ์

$$\frac{\Omega^*}{\Omega_0} = \frac{E^*}{E_0} \quad (2.27)$$

นำสมการ (2.24) และ (2.19) แทนที่เข้าไปในสมการ (2.27)

$$\text{(ความเร็วที่จุดนี้) } \Omega^* = \left[\frac{V(M-1)/M}{V(M^2-1)/M} \right] * \Omega_0 = \left[\frac{M}{M+1} \right] * \Omega_0 \quad (2.28)$$

สุดท้ายทอร์ค T ที่ประสิทธิภาพสูงสุดโดยนำสมการ (2.22), (2.26) และ (2.28) แทนค่าเข้าไปในสมการ (2.29) สามารถนำค่าได้มาจากเช่นตามค่า

$$T = (\text{เพาเวอร์อินพุต} \times \eta_{max} / \Omega^*)$$

$$T = (VI^* \eta_{max} / \Omega^*)$$

$$T = \left[\frac{VM I_0}{\Omega_0} \frac{(M-1)}{(M+1)} * \frac{(M+1)}{M} \right]$$

$$T = \frac{(M-1)VI_0}{\Omega_0} \quad (2.29)$$

ตาราง 2.1 สรุปผลลัพท์ทางเพาเวอร์อินพุทและเอาท์พุท

ลัมประสิทธิ์ M	$\sqrt{(\omega_0/\omega_0)(\omega_1/\omega_0)+1}$
ประสิทธิภานสูงสุด η_{max}	$(M - 1)/(M + 1)$
ค่าต่อไปนี้คำนวณได้ที่ประสิทธิภานสูงสุด	
กระแส I^*	$M I_0$
อัตราความเร็วในการหมุน n^*	$(M/(M + 1))$
เพาเวอร์อินพุท P_{in}^*	$M V I_0$
เพาเวอร์เอาท์พุท P_{out}^*	$(M(M - 1)/(M + 1)) * V I_0$
ทอร์ค T^*	$(M - 1) V I_0 / \omega_0 (Nm)$

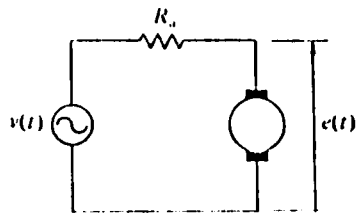
ω_0 = ความเร็วไม่มีโหลดปกติจะแสดงใน r.p.m. (รอบต่อวินาที) แต่ค่าใน rad⁻¹ ควรจะนำมาใช้สำหรับคำนวณ

I_0 = กระแสไม่มีโหลด

2.3 การแปลงค่าฟังก์ชันดิซิมอเตอร์จากวงจรทางไดนามิกส์ ^{๔๒}

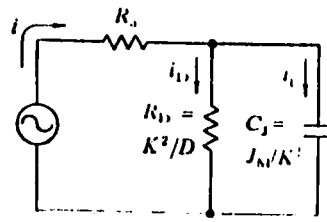
แพลตฟอร์มที่เป็นตัวกำหนดคุณสมบัติไดนามิกส์ของระบบดิซิมอเตอร์ เซอร์โวมอเตอร์ ได้แก่ อัตราขยายลูปจะเป็นผลให้ผลตอบสนองของระบบไซเกิลลดลง ค่าปานกลางจะเป็นผลให้ตอบสนองของระบบลดลงเป็นวิกฤตต่ำจะเป็นผลให้ตอบสนองของระบบลดลงอย่างช้าๆ ในส่วนของอัตราขยายของลูปป้อนกลับค่าสูงจะเป็นผลให้ตอบสนองของระบบลดลงอย่างช้าๆ ความเร็วค่าปานกลางจะเป็นผลให้ผลตอบสนองของระบบลดลงเป็นวิกฤต และถ้าค่าต่ำมากๆ จะเป็นผลให้ผลตอบสนองของระบบลดลงเป็นไซเกิลในส่วนของฟรีดชั่นและแรงเฉื่อย ค่าที่สูงๆ จะเป็นผลให้ผลตอบสนองของระบบลดลงอย่างช้าๆ ค่าปานกลางจะเป็นผลให้ผลตอบสนองของระบบลดลงเป็นวิกฤต ส่วนในค่าที่ต่ำๆจะเป็นผลให้ผลตอบสนองของระบบลดลงเป็นไซเกิล ในส่วนสุดท้ายเราจะมากล่าวถึงผลการป้อนกลับทอร์คจะทำให้ผลตอบสนองของระบบเป็นอิสระต่อโหลดทอร์ค

เอกสารนี้เป็นเอกสารที่สงวนไว้สำหรับการใช้งานเพื่อการศึกษาเท่านั้น ไม่อนุญาตให้นำไปใช้ประโยชน์ด้านการค้าไม่ว่ากรณีใดๆ ทั้งสิ้น อีกทั้งห้ามมิให้ดัดแปลงเนื้อหา และต้องอ้างอิงถึงเจ้าของเอกสารทุกครั้งที่มีการนำไปใช้



(a)

สมการสมมูลย์สถิตินำมาต่ออนุกรมของตัวต้านทานอาร์เมเจอร์ R_a และค่า back emf จากอาร์เมเจอร์

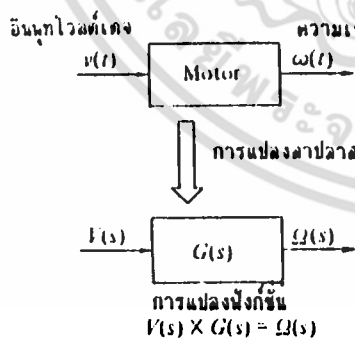


(b)

วงจรสมมูลย์ไดนามิกส์ที่นำเอาความเฉื่อยโรเตอร์เข้ามาพิจารณา

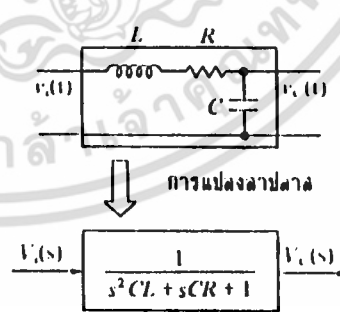
รูปที่ 2.2 วงจรสมมูลย์สำหรับการวิเคราะห์คุณสมบัติทางไดนามิกส์

การแปลงฟังก์ชันนำมากำหนดอัตราส่วนของการเปลี่ยนรูปลาปลาซของสัญญาณเอาต์พุตของสัญญาณอินพุตกับค่าที่นำมาประยุกต์ใช้กับการควบคุมตัวแปร จากนี้การควบคุมตัวแปรที่แสดงกับมอเตอร์โดยมากกำหนดให้ได้เหมาะสมกับแสดงค่ามอเตอร์ไฟฟ้าโดยสมการวงจรในรูป 2.3 (b) มอเตอร์นำมาเปรียบเทียบกับวงจร R-L-C จากมอเตอร์สัญญาณอินพุตเป็น $v_a(t)$ และสัญญาณเอาต์พุตเป็นส่วนคล่อมแรงดันคาปาซิเตอร์ $v_c(t)$



(a)

มอเตอร์



(b)

วงจรทางไฟฟ้า

รูปที่ 2.3 ความสัมพันธ์ที่เกี่ยวกับการแปลงฟังก์ชันมอเตอร์และวงจรไฟฟ้า

เอกสารนี้เป็นเอกสารที่สงวนไว้สำหรับการใช้งานเพื่อการศึกษาเท่านั้น ไม่อนุญาตให้นำไปใช้ประโยชน์ด้านการค้าไม่ว่ากรณีใดๆ ทั้งสิ้น อีกทั้งห้ามมิให้ดัดแปลงเนื้อหา และต้องอ้างอิงถึงเจ้าของเอกสารทุกครั้งที่มีการนำไปใช้

เราต้องรู้ว่าสัญญาณเอาท์พุทการเปลี่ยนแปลงเวลาตามเงื่อนไขสัญญาณอินพุท อย่างไรก็ตามมีหลายวิธีที่นำมาคำนวณในเทอมของเวลา t ที่ซับซ้อน และดังนั้นฟังก์ชันของ t โดยทั่วไปจะแปลงรูปเข้าไปในฟังก์ชันของตัวแปรเชิงซ้อน s การแปลงลาปลาซจากสมการแรงดันสำหรับวงจรในรูป 2.3(b) จะได้รับตามวงจร

$$v(t) = L \frac{di}{dt} + Ri + \frac{1}{(C_M + C_L)} \int i dt \quad (2.30)$$

จะรู้ได้ตามค่าสมการที่ได้รับหลังจากขนาดทั้งสองของด้านบนที่นำมาแปลงลาปลาซ

$$\begin{aligned} v(s) &= sLI(s) + RI(s) + \frac{1}{s(C_M + C_L)} I(s) \\ &= \left[sL + R + \frac{1}{s(C_M + C_L)} \right] * I(s) \end{aligned} \quad (2.31)$$

$v_L(s)$ เป็นการแปลงลาปลาซของ $v(t)$

$I(s)$ เป็นการเปลี่ยนรูปลาปลาซของกระแส $i(t)$

จากสมการ (2.31) อัตราส่วนของ $v_L(s)$ กับ $I(s)$ กลายเป็น

$$Z(s) = \frac{v_L(s)}{I(s)} = sL + R + \frac{1}{s(C_M + C_L)} \quad (2.32)$$

ค่าของอิมพีแดนซ์ตั้งต้นในค่าโดยทั่วไปอิมพีแดนซ์ที่แสดงในเทอมของการเปลี่ยนรูปลาปลาซ แสดงความสัมพันธ์ระหว่างแรงดันอินพุท v_L และแรงดันคาพาซิเตอร์ v_C โดยการเปลี่ยนรูปลาปลาซ $v_C(s)$ ต้องเริ่มต้นนำมาคำนวณตามค่า

เอกสารนี้เป็นเอกสารที่สงวนไว้สำหรับการใช้งานเพื่อการศึกษาเท่านั้น ไม่อนุญาตให้นำไปใช้ประโยชน์ด้านการค้า ไม่ว่าจะกรณีใดๆ ทั้งสิ้น อีกทั้งห้ามมิให้ดัดแปลงเนื้อหา และต้องอ้างอิงถึงเจ้าของเอกสารทุกครั้งที่มีการนำไปใช้

$$V_c(s) = \frac{\text{อิมพีแดนซ์คาปาซิเตอร์} \times \text{แรงดันอินพุต}}{\text{อิมพีแดนซ์ทั้งหมด}} \quad (2.33)$$

คำนวณเป็น

$$V(s) = \frac{\frac{1}{s(C_M + C_L)}}{sL + R + \frac{1}{s(C_M + C_L)}} V_i(s) \quad (2.34)$$

ตาราง 2.2 ตารางของตัวต้านทานคอยล์และคาปาซิเตอร์

(1) อิมพีแดนซ์ในเทอมของการเปลี่ยนรูปลาสลาซ (2) อิมพีแดนซ์ AC และ (3) อิมพีแดนซ์ DC

สัญลักษณ์	ความหมาย	หน่วยระบบ SI
ตัวแปร		
$i(t), I(s), I$	กระแส	A
$m(t), T(s), T$	ทอร์ค	Nm
$\omega(t), (s),$	ความเร็วในการหมุน	rads ⁻¹
t	เวลา	s
$v(t), V(s), V$	แรงดันขั้วไฟฟ้า	V
$e(t), E(s), E$	back e.m.f. จากขดลวดไดนาโม หรือความเร็วคูณด้วย K	V
ผลลัพธ์	s	d/dt

เอกสารนี้เป็นเอกสารที่สงวนไว้สำหรับการใช้งานเพื่อการศึกษาเท่านั้น ไม่อนุญาตให้นำไปใช้ประโยชน์ด้านการค้า
ไม่ว่ากรณีใดๆ ทั้งสิ้น อีกทั้งห้ามมิให้ดัดแปลงเนื้อหา และต้องอ้างอิงถึงเจ้าของเอกสารทุกครั้งที่มีการนำไปใช้

จากสมการที่ (2.34) นำมาแปลงฟังก์ชันจะกลายเป็น

$$G(s) = \frac{V_c(s)}{V_i(s)} = \frac{1}{s^2(C_M + C_L)L + s(C_M + C_L)R + 1} \quad (2.35)$$

ในส่วนบนนำมาแสดงเป็นอันดับที่สองกับส่วนของ s และจำนวนเต็มที่เรียกว่าการแปลงฟังก์ชันอันดับที่สอง วงจรสมมูลย์ของมอเตอร์จะรู้ได้ที่ง่ายต่อการคำนวณการแปลงฟังก์ชันของมอเตอร์ ในวงจรสมมูลย์รูป 2.3 (b) การหมุนความเร็วของมอเตอร์เป็นแรงต้นคาพาซิเตอร์ ถูกแยกออกโดยค่าคงที่ของมอเตอร์ K ดังนั้นการแปลงฟังก์ชันของมอเตอร์ $G(s)$ ที่ได้โดยการคำนวณตามรูปแบบที่ใช้การแปลงลาปลาซอิมพีแดนซ์

$$G(s) = \frac{\text{การเปลี่ยนแปลงความเร็วในการหมุน}}{\text{การเปลี่ยนแปลงในส่วนหัวของแรงต้น}} = \frac{\text{แรงต้นคาพาซิเตอร์}/K}{\text{แรงต้นที่ขั้ว}} \quad (2.36)$$

เมื่อเราได้รายละเอียดกับการแปลงฟังก์ชันมีการนำส่วนเริ่มต้นของความเร็วมอเตอร์เข้าไปคำนวณค่าที่ได้จริงของความเร็วไม่นำมาพิจารณา เฉพาะการเปลี่ยนแปลงในส่วนที่นำมาพิจารณาในการแปลงฟังก์ชันเมื่ออินตักแต้นซ์ของอาร์เมอร์เจอร์ถูกนำเข้าไปคำนวณ วงจรสมมูลย์แสดงในรูปที่ 2.3 (b) ดังนั้นจากสมการ (2.33) และ (2.36) เราสามารถนำเข้าไปในกรณีนี้การแปลงฟังก์ชันของอันดับที่สอง

$$G(s) = \frac{\Omega(s)}{V(s)} = \frac{\left(\frac{K^2}{s(J_M + J_L)} \right) \left(\frac{1}{K} \right)}{R_M + sL_M + \frac{K^2}{s(J_M + J_L)}} \quad (2.37)$$

เอกสารนี้เป็นเอกสารที่สงวนไว้สำหรับการใช้งานเพื่อการศึกษาเท่านั้น ไม่อนุญาตให้นำไปใช้ประโยชน์ด้านการค้าไม่ว่ากรณีใดๆ ทั้งสิ้น อีกทั้งห้ามมิให้ดัดแปลงเนื้อหา และต้องอ้างอิงถึงเจ้าของเอกสารทุกครั้งที่มีการนำไปใช้

ค่านี้สามารถนำมาเขียนได้ใหม่เช่น

$$G(s) = \frac{\omega_n^2 / K}{s^2 + 2\zeta\omega_n s + \omega_n^2} \quad (2.38)$$

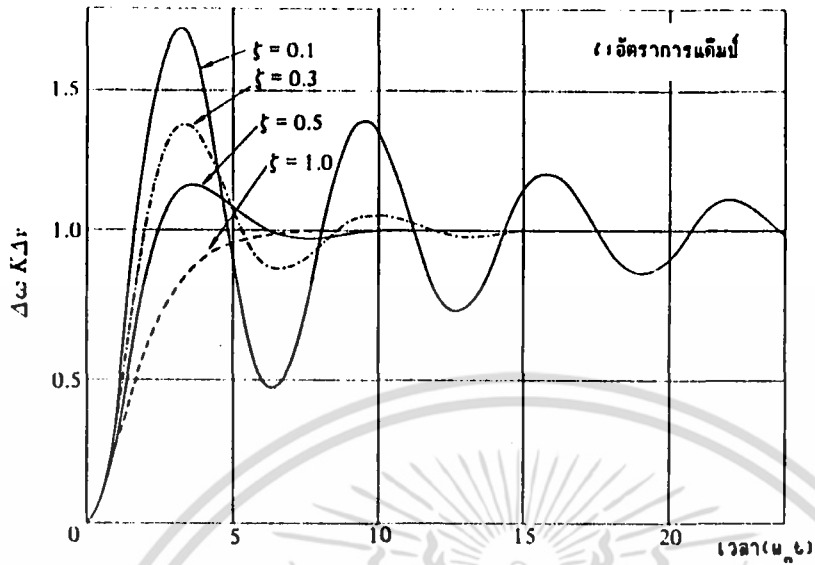
$$\omega_n \text{ (ความถี่เชิงมุม)} = \frac{1}{\sqrt{\tau_e \tau_m}} \quad (2.39)$$

$$\zeta \text{ (อัตราส่วนแดมป์)} = \sqrt{\tau_m / \tau_e} \quad (2.40)$$

$$\tau_e \text{ (ค่าเวลาคงที่ทางไฟฟ้า)} = \frac{L_m}{R_m} \quad (2.41)$$

$$\tau_m \text{ (ค่าเวลาคงที่ทางแมคคานิกส์)} = \frac{(J_m + J_L) R_m}{K^2} \quad (2.42)$$

รูปที่ 2.4 แสดงค่าอัตราส่วนแดมป์ ζ มีผลต่อคุณสมบัติที่มีผลต่อความเร็วสำหรับสเตปแรงดันมาประยุกต์ใช้กับค่าแรงดันไฟฟ้า



รูปที่ 2.4 ผลตอบสนองต่อแรงดันเสเตปที่อัตราการแกว่งที่ค่าต่างๆ

เอกสารนี้เป็นเอกสารที่สงวนไว้สำหรับการใช้งานเพื่อการศึกษาเท่านั้น ไม่อนุญาตให้นำไปใช้ประโยชน์ด้านการค้า ไม่ว่าจะกรณีใดๆ ทั้งสิ้น อีกทั้งห้ามมิให้ดัดแปลงเนื้อหา และต้องอ้างอิงถึงเจ้าของเอกสารทุกครั้งที่มีการนำไปใช้

บทที่ 3

การวิเคราะห์ทฤษฎีการควบคุมตำแหน่งดีซีมอเตอร์

3.1 บทนำ

ในส่วนของการควบคุมที่นำมาใช้กันอย่างกว้างขวางในโรงงานอุตสาหกรรม มีในส่วนที่เป็นพื้นฐานที่ทำให้เกิดความเข้าใจในระบบการควบคุม ในระบบของส่วนประกอบนั้นๆซึ่งในแต่ละส่วนถูกแยกนำมาพิจารณาในแต่ละส่วนที่ประกอบด้วย ส่วนแรกเราจะนำเสนอการวิเคราะห์หาตัวคอนโทรลเลอร์ที่ประกอบด้วยส่วนของปรีออปพอร์ตชันนัลตรงกันกับในส่วนของคุณค่าผิดพลาด ซึ่งมีไว้สำหรับลดลงในระบบที่เกิดขึ้นตามคาบเวลา ในส่วนของอินทิกรัลที่ตรงกันกับในส่วนของคุณค่าผิดพลาดโดยมีการเพิ่มขึ้นในส่วนที่ต่ำกว่าพื้นที่ส่วนโค้งค่าผิดพลาดอินทิกรัล ในส่วนที่มีการเปลี่ยนแปลงจนค่าผิดพลาดเข้าสู่สภาวะคงที่เป็นศูนย์มักจะมีระบบโอเวอร์ชูทและเวลาสภาวะคงที่ ในส่วนประกอบดิริเวทิฟจะมีการเพิ่มขึ้นที่ค่าผิดพลาดโดยตอบสนองกับอัตราการเปลี่ยนแปลง ค่าผิดพลาดในส่วนนี้ค่าโอเวอร์ชูทและเวลาสภาวะคงที่ลดลงที่เวลาเดียวกัน ต่อไปเราจะนำมากล่าวถึงในส่วนของการวิเคราะห์ส่วนของเพาเวอร์แอมป์ลิไฟ์ซึ่งในส่วนนี้เราจะใช้ในลักษณะของวงจรมอเตอร์สวิตมอดส์ รวมถึงการวิเคราะห์ส่วนของดีซีเซอร์โวมอเตอร์ทั้งวงจรที่ใช้ในการวัดความเร็วรอบ การป้อนกลับกระแส เพื่อที่จะนำระบบที่ตั้งได้กล่าวมาแล้วนำมาวิเคราะห์หาการควบคุมความเร็วและตำแหน่งมอเตอร์ที่สมบูรณ์ในส่วนของการจำลองต่อไป

3.2 การวิเคราะห์หาตำแหน่งหยุดดีซีมอเตอร์ ^(๔.๒)

ถ้าที่มีการป้อนกลับของเซอร์โวมอเตอร์ภายในระบบดีซีมอเตอร์ กำลังบิดที่ได้จะเป็นสัดส่วนกับกระแส i_u และแสดงได้โดยสมการที่ (3.1)

$$T = K_t i_u \tag{3.1}$$

K_t = ค่าแรงบิดคงที่ของมอเตอร์

i_u = กระแสของมอเตอร์

เอกสารนี้เป็นเอกสารที่สงวนไว้สำหรับการใช้งานเพื่อการศึกษาเท่านั้น ไม่อนุญาตให้นำไปใช้ประโยชน์ด้านการค้า ไม่ว่ากรณีใดๆ ทั้งสิ้น อีกทั้งห้ามมิให้ดัดแปลงเนื้อหา และต้องอ้างอิงถึงเจ้าของเอกสารทุกครั้งที่มีการนำไปใช้

i_m = กระแสของมอเตอร์

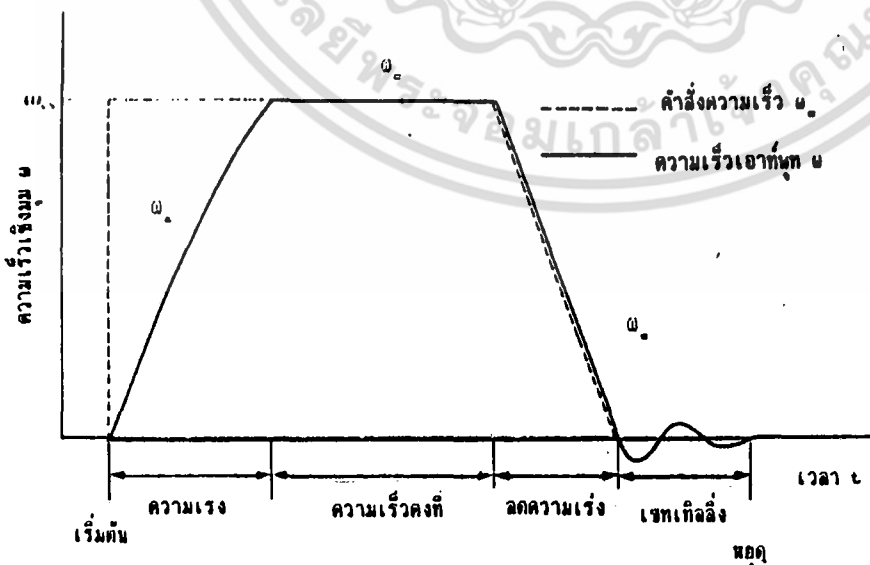
มอเตอร์ป้อนกลับให้โรเตอร์ความสัมพันธ์ระหว่างกำลังบิด T มาใช้กับโรเตอร์และความเร็วในการหมุน ω ที่ได้จากสมการไดนามิกส์

$$(J_m + J_L) \frac{d\omega}{dt} + D\omega = T_m \tag{3.2}$$

- J_m = เป็นโมเมนต์แรงเฉื่อยของโรเตอร์
- J_L = เป็นโมเมนต์แรงเฉื่อยของโหลด
- D = เป็นค่าสัมประสิทธิ์การต้านทานของแรงฝืดวิสกอส
- T_m = เป็นกำลังบิดที่เกิดขึ้นโดยมอเตอร์

จากสมการที่ (3.2) การควบคุมความเร็ว ω ในการออกตัวหรือหยุดมอเตอร์เราต้องควบคุมกำลังบิด T และเราพิจารณาในรายละเอียดดังต่อไปนี้

การออกตัว โดยการเพิ่มความเร่งของมอเตอร์จะออกตัวด้วยกำลังบิดคงที่ T ซึ่งจะเกิดขึ้นที่รับกระแสสูงสุด เราจะหาอัตราเร่งของความเร็วได้จากสมการที่ (3.2)



รูปที่ 3.1 โปรไฟล์ความเร็วในการควบคุมตำแหน่ง

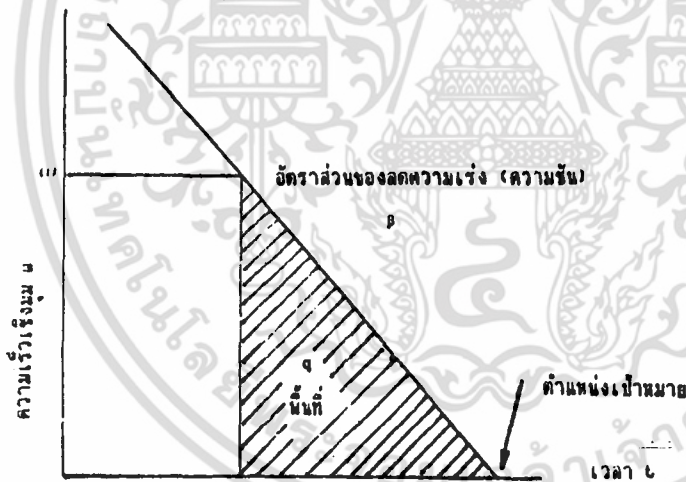
เอกสารนี้เป็นเอกสารที่สงวนไว้สำหรับการใช้งานเพื่อการศึกษาเท่านั้น ไม่อนุญาตให้นำไปใช้ประโยชน์ด้านการค้า ไม่ว่าจะกรณีใดๆ ทั้งสิ้น อีกทั้งห้ามมิให้ดัดแปลงเนื้อหา และต้องอ้างอิงถึงเจ้าของเอกสารทุกครั้งที่มีการนำไปใช้

$$\omega_c = \frac{T}{D} \left[1 - \exp \left(\frac{-D_c}{J_m + J_L} \right) \right] \quad (3.3)$$

ความเร็วคงที่ เมื่อมอเตอร์มีความเร็วคงที่เทอมของไทม์คิริเวทิจจะเป็นศูนย์ ดังนั้นเราจะหาค่าของความเร็วคงที่จากสมการที่ (3.2) ในที่เทอม $d\omega/dt$ เป็นศูนย์เนื่องจาก D มีค่าน้อยมาก

$$\omega_c = \frac{T}{D} \quad (3.4)$$

ในการประยุกต์ใช้งานทั่วไป แรงบิดในช่วงที่ความเร็วคงที่จะมีค่าน้อยมาก การหยุด ในการหยุดมอเตอร์โดยการลดความเร็วของมอเตอร์ด้วยการกลับกระแสตรงกันข้ามกับค่ากำลังบิด ที่เป็นค่าลบสูงสุดมอเตอร์ก็จะลดความเร็วลงจากสมการไดนามิกส์ เราสามารถแสดงผล



รูปที่ 3.2 ความสัมพันธ์ระหว่างความเร็ว ω อัตราการลดความเร็ว β ตำแหน่งค่าผิดพลาด q

ในส่วนที่สัมพันธ์กัน เรานำมาใช้ค่าที่เหมาะสมจากสมการที่ (3.2) เราสามารถหาอัตราการลดความเร็วที่ได้มาจากการหยุดตามตำแหน่งตามช่วงของเวลา

$$\beta = \frac{K_c \cdot i}{(J_m + J_L)} \quad (3.5)$$

เอกสารนี้เป็นเอกสารที่สงวนไว้สำหรับการใช้งานเพื่อการศึกษาเท่านั้น ไม่อนุญาตให้นำไปใช้ประโยชน์ด้านการค้า ไม่ว่าจะกรณีใดๆ ทั้งสิ้น อีกทั้งห้ามมิให้ดัดแปลงเนื้อหา และต้องอ้างอิงถึงเจ้าของเอกสารทุกครั้งที่มีการนำไปใช้

สำหรับกระแสไฟฟ้าตามอัตราการลดความเร็ว เราสามารถนำมาประมาณค่าสำหรับเก็บไว้เป็นตัวพา
เวอร์โคร์ที่ใช้ในเซอร์โวแอมป์ลิไฟ์จะไม่มีผลทำให้แม่เหล็กที่ใช้ในมอเตอร์ลดลง ดังนั้นเมื่อโรเตอร์
ถูกนำมาลดความเร็ว อัตราการหมุนความเร็ว ω ในช่วงระยะเวลาในการหยุด ($t - t_0$)

$$\omega_{\text{u}} = (t - t_0)\beta \quad (3.6)$$

t = เวลาในการกำหนดตำแหน่งหยุด

t_0 = เวลาในช่วงเริ่มต้น

จากสมการด้านบนถ้าเราลดความเร็ว ตามอัตราการหมุนความเร็ว ω เพื่อที่จะหาระยะการกำหนด
ตำแหน่งตามสมการ

$$q = \frac{1(t - t_0)\beta(t - t_0)}{2} \quad (3.7)$$

จากสมการที่ (3.7) เราจะได้ระยะการกำหนดตำแหน่งในช่วงเวลาระหว่าง ($t-t_0$) ที่มีการลด
ความเร็ว β จนกระทั่งมอเตอร์หยุดนิ่ง เราสามารถหาค่าความเร็วคงที่ของมอเตอร์ในเทอมของการ
การลดความเร็วและระยะเวลาในการกำหนดตำแหน่ง ($t-t_0$) ได้ตามสมการ

$$\omega_{\text{u}} = (2q\beta)^{1/2} \quad (3.8)$$

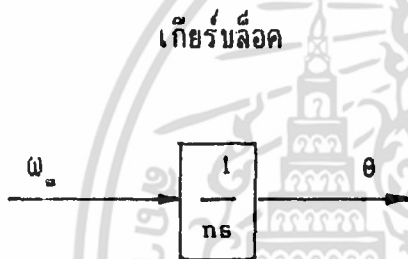
q = ค่าผิดพลาด (ระยะทางกับตำแหน่งที่กำหนดกับตำแหน่งกระแสในจำนวนสเตปโดยการนับ
พัลส์จากพัลส์เจนเนอเรเตอร์)

β = อัตราการลดความเร็ว

ในส่วนของการควบคุมตำแหน่งดีซีมอเตอร์ เราใช้ความสัมพันธ์ระหว่างมุมตำแหน่งโรเตอร์ θ และใน
ส่วนของความเร็วคงที่ ω_{u} ที่ได้จากสมการที่ (3.8) เราจะหาตำแหน่งของมอเตอร์ได้เป็น
เอกสารนี้เป็นเอกสารที่สงวนไว้สำหรับการใช้งานเพื่อการศึกษาเท่านั้น ไม่อนุญาตให้นำไปใช้ประโยชน์ด้านการค้า
ไม่ว่ากรณีใดๆ ทั้งสิ้น อีกทั้งห้ามมิให้ดัดแปลงเนื้อหา และต้องอ้างอิงถึงเจ้าของเอกสารทุกครั้งที่มีการนำไปใช้

$$\theta = \frac{1}{n} \int \omega_u dt \quad (3.9)$$

จากสมการที่ (3.9) สามารถเขียนบล็อกไดอะแกรมของเกียร์บล็อกที่กำหนดค่าความเร็วเพลมอเตอร์ด้วยอัตราส่วนคงที่ ดังนั้นเกียร์บล็อกทำหน้าที่เหมือนกับการอินทิกรัลความเร็วรอบทำการอินทิกรัลโดยการควบคุมความเร็ว ω_u กับเวลาของมุมในการหมุนมอเตอร์



สำหรับการควบคุมตำแหน่งโรเตอร์ θ โดยการควบคุมความเร็วคงที่ ω_u และจากสมการที่ (3.9) เราสามารถนำมาหาเส้นทางที่กำหนดการเคลื่อนที่ตำแหน่งมอเตอร์ในส่วนที่กำหนดขึ้น กับแนวเส้นทางตำแหน่งที่มอเตอร์เคลื่อนที่ได้จริงโดยมีค่าความผิดพลาดน้อยที่สุด

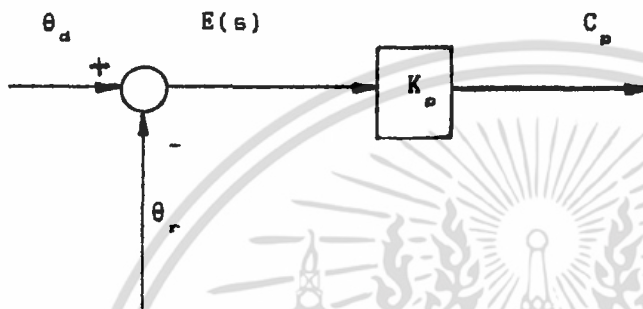
$$E(s) = \theta_u - \theta_r \quad (3.10)$$

3.3 การวิเคราะห์หาตัวควบคุม

ตัวควบคุมที่ใช้ในระบบเซอร์โวนี้เป็นตัวควบคุมที่ใช้ทั้งในระบบควบคุมความเร็วมอเตอร์ ที่ถูกออกแบบจากวงจรถอดแอมป์หรือพอร์ซันลอินทิกรัล และตัวควบคุมที่ใช้ในระบบที่ควบคุมตำแหน่งมอเตอร์ถูกออกแบบโดยวงจรถักิจิตอลที่ สร้างขึ้นจากซีออนแวร์แบบปรีออปพอร์ซันลอินทิกรัลดิริเวทีฟ โดยเราจะให้สัญญาณเอาต์พุต $E(s)$ เป็นสัดส่วนสัญญาณค่าผิดพลาดแสดงได้สมการที่ (3.10)

เอกสารนี้เป็นเอกสารที่สงวนไว้สำหรับการใช้งานเพื่อการศึกษาเท่านั้น ไม่อนุญาตให้นำไปใช้ประโยชน์ด้านการค้า ไม่ว่ากรณีใดๆ ทั้งสิ้น อีกทั้งห้ามมิให้ดัดแปลงเนื้อหา และต้องอ้างอิงถึงเจ้าของเอกสารทุกครั้งที่มีการนำไปใช้

3.3.1 โหมดควบคุมปรีอพออร์ซันนัล “๓” เป็นระบบควบคุมที่ทำงานในโหมดเอาท์พุทของตัวควบคุมปรีอพออร์ซันนัล ตามค่าผิดพลาดของมันเองถ้าค่าผิดพลาดมากค่าการป้อนกลับในโหมดเอาท์พุทจะมีค่ามาก แต่ถ้าค่าผิดพลาดมีค่าน้อยมากค่าการป้อนกลับในโหมดเอาท์พุทจะมีค่าน้อยในความสัมพันธ์ระหว่างค่าคงที่เรียกว่าเกนปรีอพออร์ซันนัลในระบบสมการ



รูปที่ 3.3 ตัวควบคุมโหมดปรีอพออร์ซันนัล

จากสมการที่ (3.10) เราสามารถนำสัญญาณค่าผิดพลาดที่ได้นำมาแทนค่าลงไปเพื่อที่นำมาหาโหมดการควบคุมปรีอพออร์ซันนัลดังรูปที่ 3.3 ได้ตามสมการ

$$C_p = K_p E(s) \tag{3.11}$$

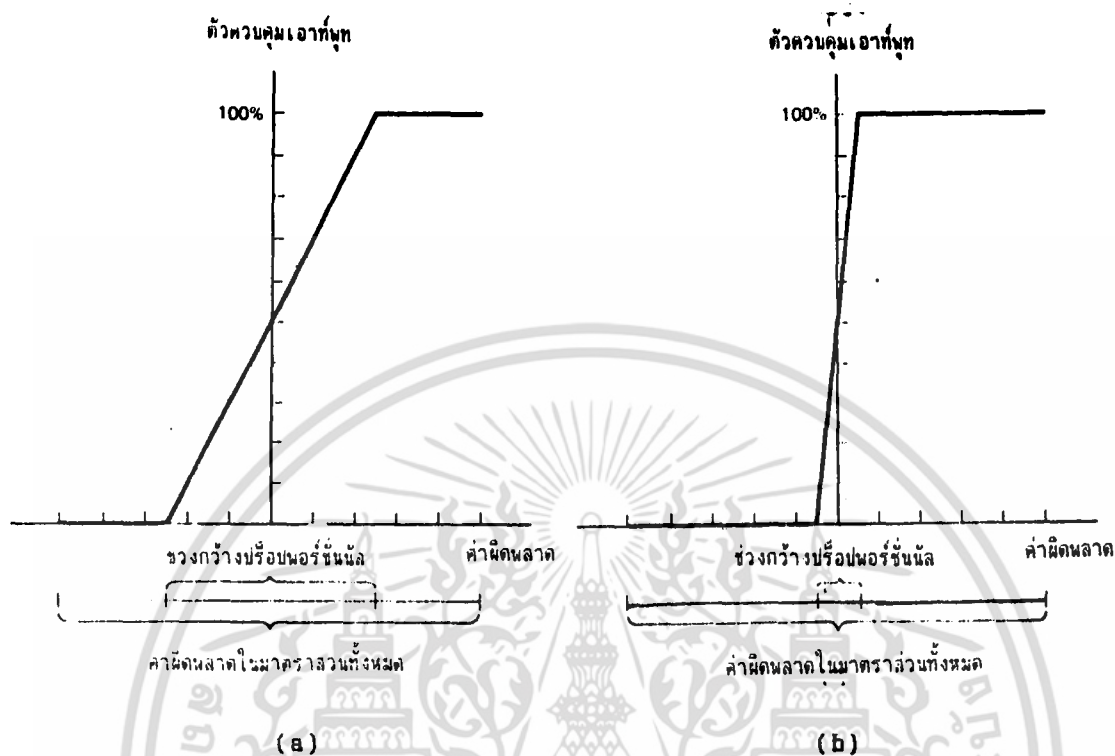
C_p = เอาท์พุทตัวควบคุมของปรีอพออร์ซันนัล

K_p = เกนของตัวควบคุมแบบปรีอพออร์ซันนัล

$E(s)$ = ค่าผิดพลาดในตำแหน่งมอเตอร์

ค่าออปเซ็คผิดพลาดตามค่าตัวแปรทรานเซียน กรณีการควบคุมตัวแปรที่เปลี่ยนแปลงตามค่า c ตามค่าสมการโหมดปรีอพออร์ซันนัลในรูปแบบปรีอพออร์ซันนัล ตัวควบคุมระบบของการตอบสนองง่าย ๆ โดยการคูณค่าผิดพลาดของระบบกับค่าคงที่ K_p ของระบบการแปลงฟังก์ชันที่ได้โดยระบบความถี่ธรรมชาติที่ไม่แด้มพ์ (ω) มีค่าเพิ่มขึ้นขณะเดียวกันอัตราส่วนระบบการแด้มพ์ (δ) จะมีค่าลดลงพร้อมกับการเพิ่มขึ้นในเกนปรีอพออร์ซันนัลระบบความเร็วที่เพิ่มขึ้นมักจะเกิดการโอเวอร์ชูท

เอกสารนี้เป็นเอกสารที่สงวนไว้สำหรับการใช้งานเพื่อการศึกษาเท่านั้น ไม่อนุญาตให้นำไปใช้ประโยชน์ด้านการค้าไม่ว่ากรณีใดๆ ทั้งสิ้น อีกทั้งห้ามมิให้ดัดแปลงเนื้อหา และต้องอ้างอิงถึงเจ้าของเอกสารทุกครั้งที่มีการนำไปใช้



รูปที่ 3.4 การเปลี่ยนแปลงเอาต์พุตของตัวควบคุมแบบปรีอพออร์ชันนัล

3.3.2 โหมดควบคุมอินติกรัล^{๔๓} เป็นการใช้ในระบควบคุมบนสัญญาณของค่าผิดพลาดที่เกิดขึ้นในการควบคุมตัวแปรที่เรียกว่าการรีเซ็ต ภายในโหมดปรีอพออร์ชันนัลนั้นนำค่าผิดพลาดมากำหนดการป้อนกลับ พร้อมทั้งนำส่วนค่าคงที่ภายในโหมดอินติกรัลกำหนดการป้อนกลับในส่วนการอินติกรัลค่าผิดพลาด ดังนั้นเป็นไปได้ค่าผิดพลาดอาจจะ เป็นศูนย์ที่ค่าคงที่บางค่า เป็นผลให้ตัวควบคุมการป้อนกลับไปเลือกค่าผิดพลาดในการดำเนินการจากสมการที่ (3.10)

$$C_t = K_i \int E(s) dt + C(o) \quad (3.12)$$

C_t = เอาต์พุตตัวควบคุมของอินติกรัล

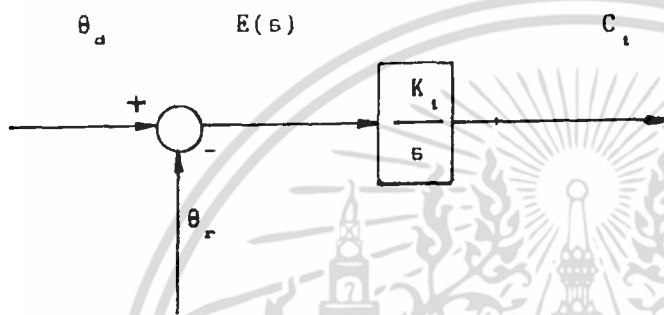
K_i = เกนของตัวควบคุมแบบเกนอินติกรัล

$E(s)$ = ค่าผิดพลาดในตำแหน่งมอเตอร์

$C(0)$ = ค่าเอาต์พุตผิดพลาดศูนย์

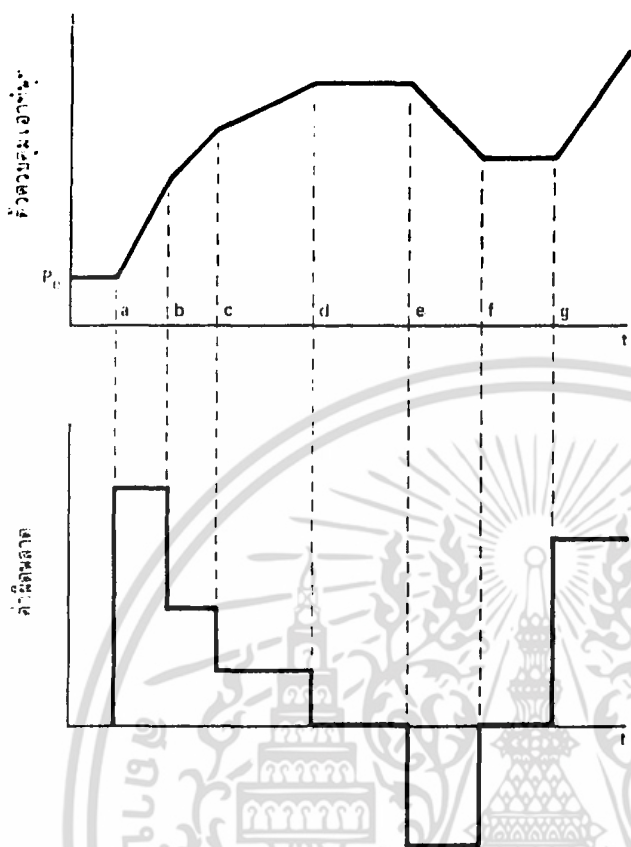
เอกสารนี้เป็นเอกสารที่สงวนไว้สำหรับการใช้งานเพื่อการศึกษาเท่านั้น ไม่อนุญาตให้นำไปใช้ประโยชน์ด้านการค้า ไม่ว่ากรณีใดๆ ทั้งสิ้น อีกทั้งห้ามมิให้ดัดแปลงเนื้อหา และต้องอ้างอิงถึงเจ้าของเอกสารทุกครั้งที่มีการนำไปใช้

การทำการรีเซ็ตในส่วนที่ทำการอินทิกรัลจัดการกับตัวควบคุมเอาต์พุตเป็นค่าฟังก์ชันในช่วงของค่าผิดพลาด ดังนั้นค่าของตัวควบคุมเอาต์พุตกับค่าผิดพลาดศูนย์ขึ้นอยู่กับบนเนื้อหาของค่าผิดพลาดในความหมายนี้ โหมดอินทิกรัลสามารถจัดการสำหรับการรีเซ็ตแบบอัตโนมัติของตัวควบคุมเอาต์พุตค่าผิดพลาดศูนย์ คำวนการเปลี่ยนแปลงดำเนินการเปลี่ยนแปลงโพลการรีเซ็ตที่เลือกมาปัญหาของออปเซ็ทค่าผิดพลาดเมื่อใช้เฉพาะโหมดปรีอพรชันนัล



รูปที่ 3.5 ตัวควบคุมโหมดอินทิกรัล

ระบบการตอบสนองอินทิกรัลที่ได้รับในรูปที่ 3.5 รูปแบบนี้ของการตอบสนองที่มีการเพิ่มขึ้นในพื้นที่ส่วนโค้งค่าผิดพลาด สำหรับรูปแบบการควบคุมต่อไปจงจรรยาคุณได้อีกโดยค่าคงที่เกน K_i การแปลงระบบฟังก์ชันที่ได้โดยปรากฏว่าระบบของเรามีการเพิ่มค่าขึ้นหนึ่งอันดับโดยการกำหนดตามการตอบสนองกับระบบของเราถ้าเรากำหนดให้ระบบแสดงได้ว่าเป็นจำนวนเดียวกัน ถ้าในส่วนกรณีการเพิ่มค่า K_i ค่าของ s ต้องนำมาเพิ่มขึ้นได้อีกถ้าเรารู้ที่ระบบเราจะแสดงการแค้มพ์ต่ำๆ และจะเกิดกรณีที่เสถียรภาพเราสามารถลดการควบคุมอินทิกรัลจากการเลื่อนตำแหน่งโพลเวอร์ชูท เช่น การควบคุมดิริเวทีฟ



รูปที่ 3.6 การเปลี่ยนแปลงเอาท์พุทของตัวควบคุมแบบอินทิกรัล

3.3.3 โหมดควบคุมตรีเวทไฟ การพิจารณาในตัวควบคุมผลบนพื้นฐานอัตราการเปลี่ยนแปลงเวลา มีผลต่อการเปลี่ยนแปลงค่าของค่าผิดพลาด ตามสมการที่ (3.10)

$$C_u = \frac{K_u * dE(s)}{dt} \tag{3.13}$$

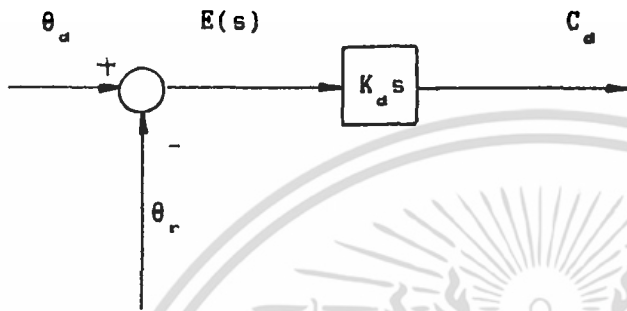
C_u = เอาท์พุทตัวควบคุมของตรีเวทไฟ

K_u = เกนของตัวควบคุมแบบเกนตรีเวทไฟ

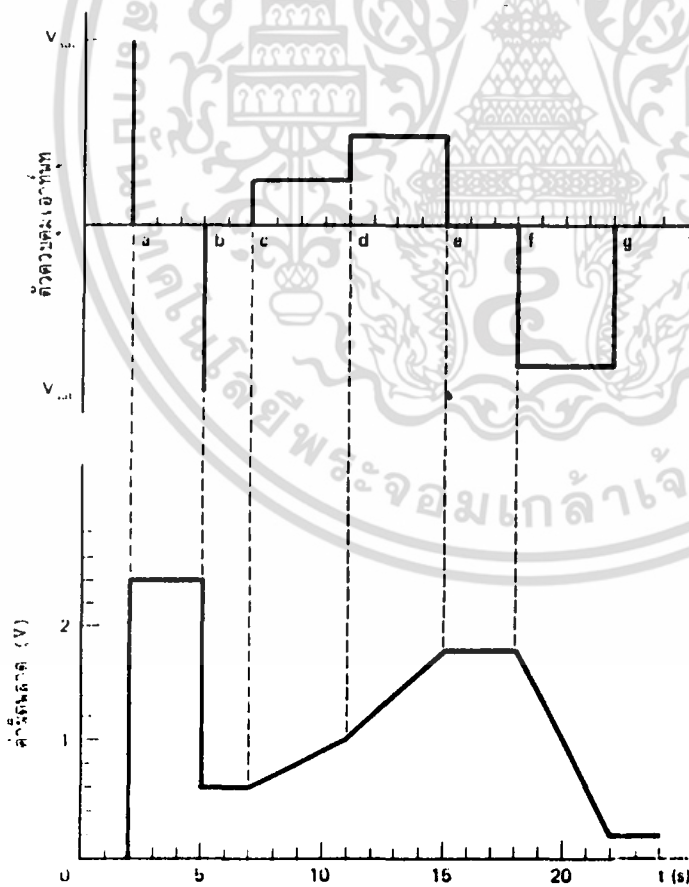
$E(s)$ = ค่าผิดพลาดในตำแหน่งมอเตอร์

ในกรณีการรวบรวมโครงสร้างการควบคุมที่มีอัตราการเปลี่ยนแปลงค่าผิดพลาดนำมาคูณค่าเกน K_u ที่มีผลต่อไปในการควบคุมระบบการแปลงฟังก์ชันที่ได้โดย การควบคุมระบบการแปลงฟังก์ชันเราสามารถเอกสารนี้เป็นเอกสารที่สงวนไว้สำหรับการใช้งานเพื่อการศึกษาเท่านั้น ไม่อนุญาตให้นำไปใช้ประโยชน์ด้านการค้าไม่ว่ากรณีใดๆ ทั้งสิ้น อีกทั้งห้ามมิให้ดัดแปลงเนื้อหา และต้องอ้างอิงถึงเจ้าของเอกสารทุกครั้งที่มีการนำไปใช้

ตรวจสอบระบบความถี่ธรรมชาติที่ไม่แด้มพ์ (ω_n) เช่นเดียวกับระบบความถี่ธรรมชาติที่ไม่แด้มพ์ (ω_n) ที่มีการเพิ่มอัตราการแด้มพ์ (ω_n) โดยการเพิ่มเกนตรีเวทไฟ (K_d) แสดงว่ามีเรอามีการควบคุมระบบโอเวอร์ชุตต่อการควบคุมตรีเวทไฟ โดยที่การควบคุมในส่วนนี้มีผลต่อการรบกวนได้เร็วมาก



รูปที่ 3.7 ตัวควบคุมโหมดตรีเวทไฟ



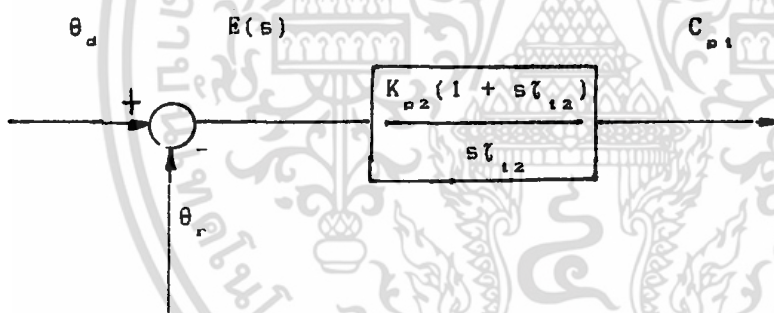
รูปที่ 3.8 การเปลี่ยนแปลงเอาท์พุทของตัวควบคุมแบบตรีเวทไฟ

เอกสารนี้เป็นเอกสารที่สงวนไว้สำหรับการใช้งานเพื่อการศึกษาเท่านั้น ไม่อนุญาตให้นำไปใช้ประโยชน์ด้านการค้า ไม่ว่าจะกรณีใดๆ ทั้งสิ้น อีกทั้งห้ามมิให้ดัดแปลงเนื้อหา และต้องอ้างอิงถึงเจ้าของเอกสารทุกครั้งที่มีการนำไปใช้

3.3.4 โหมดในส่วนการควบคุมความเร็วมอเตอร์ ในส่วนการควบคุมความเร็วที่เราใช้ในการ วิทยานิพนธ์นี้เราสร้างขึ้นจากวงจรถอดแบบปรีอพอร์ชั้นนัลอินติกรัลที่ทำหน้าที่เป็นตัวคอนโทรลเลอร์ โดยนำรวมระหว่างระบบควบคุมแบบตัวควบคุมปรีอพอร์ชั้นนัลอินติกรัล ที่เราสามารถดูได้

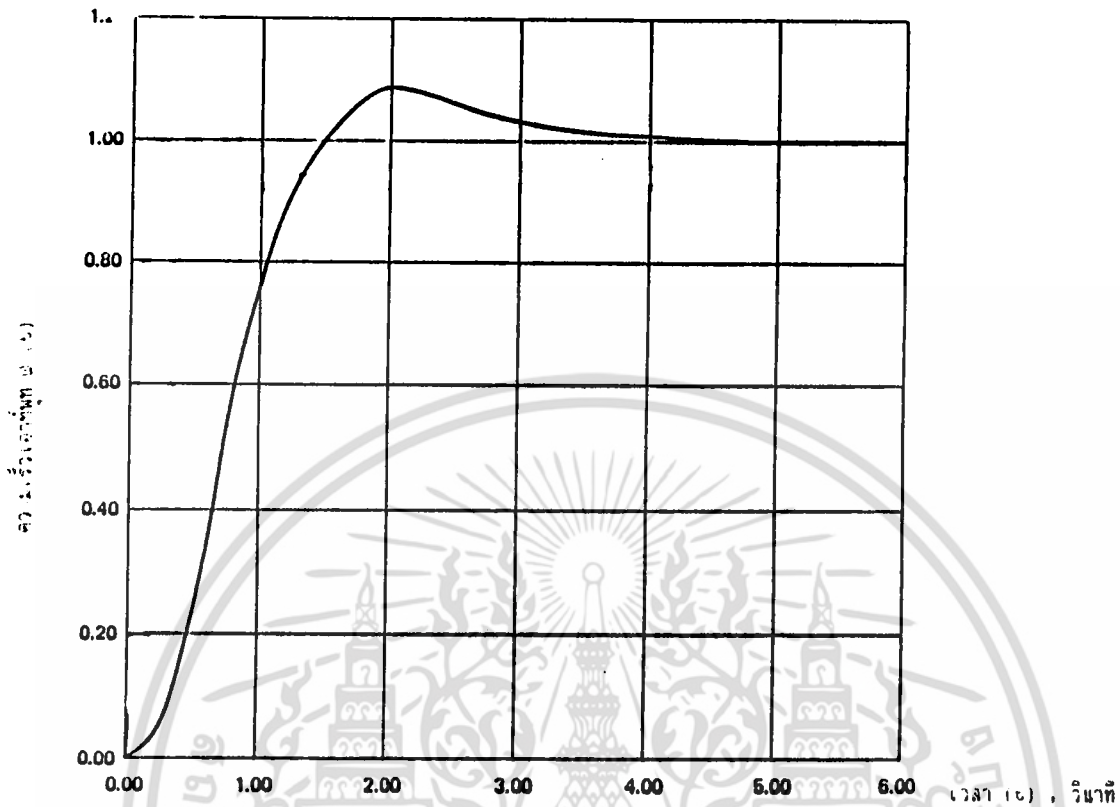
$$C_{p1} = \frac{K_{p2}(1 + \tau_{i2})}{s\tau_{i2}} \quad (3.14)$$

จากสมการที่ (3.14) เราสามารถเขียนบล็อกไดอะแกรมของตัวควบคุมได้ดังนี้เมื่อ K_{p2} คือปรีอพอร์ ชั้นนัลและ $K_{p2}/s\tau_{i2}$ คือส่วนของอินติกรัลหรืออัตราขยายของตัวควบคุมและจากส่วนของสัญญาณค่าผิดพลาดที่มีการป้อนกลับจากส่วนสัญญาณทาคิเจนเนอเรเตอร์ ที่เราสามารถสร้างขึ้นได้จากบล็อกไดอะ แกรมด้านล่างเราเขียนทำให้ง่ายขึ้นอีกดังแสดงในรูปที่ 3.9



รูปที่ 3.9 ตัวควบคุมโหมดปรีอพอร์ชั้นนัลอินติกรัล

ภายในระบบเกนปรีอพอร์ชั้นนัลอินติกรัล เป็นการตอบสนองต่อรูปแบบที่นำมาแสดงในรูปแบบที่นำมา เติมนไว้ก่อนหน้านี้ ในการควบคุมจากองค์ประกอบในแต่ละโหมดการตอบสนองต่อตัวควบคุมที่นำค่าเกน แต่ละส่วนของปรีอพอร์ชั้นนัลอินติกรัลนำมารวมกันภายในระบบควบคุมความเร็ว

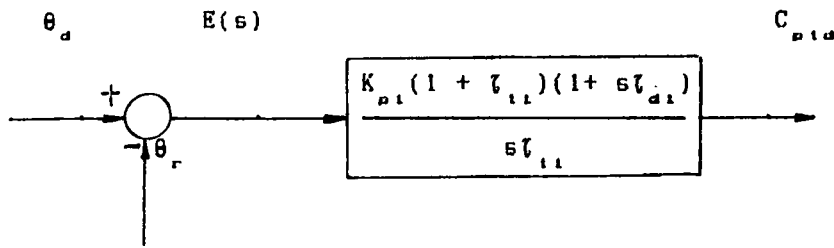


รูปที่ 3.10 ผลตอบสนองของระบบควบคุมความเร็วเมื่อตัวควบคุมเป็น PI

3.3.5 โหมดนี้ในส่วนการควบคุมตำแหน่งมอเตอร์ ในส่วนนี้เราจะใช้ส่วนดีจิตอลเป็นตัวออกแบบตำแหน่งที่มอเตอร์ได้หยุดลงตามส่วนตัวควบคุม สร้างขึ้นจากการควบคุมร็อบฟอร์ซันัลอินทรีเกรเตอร์ ดิริเวทิฟ โดยการรวมกันระหว่างระบบควบคุมแบบการควบคุมร็อบฟอร์ซันัลอินติเกรัลและดิริเวทิฟเข้าด้วยกัน โดยดูได้จากสมการที่ (3.15)

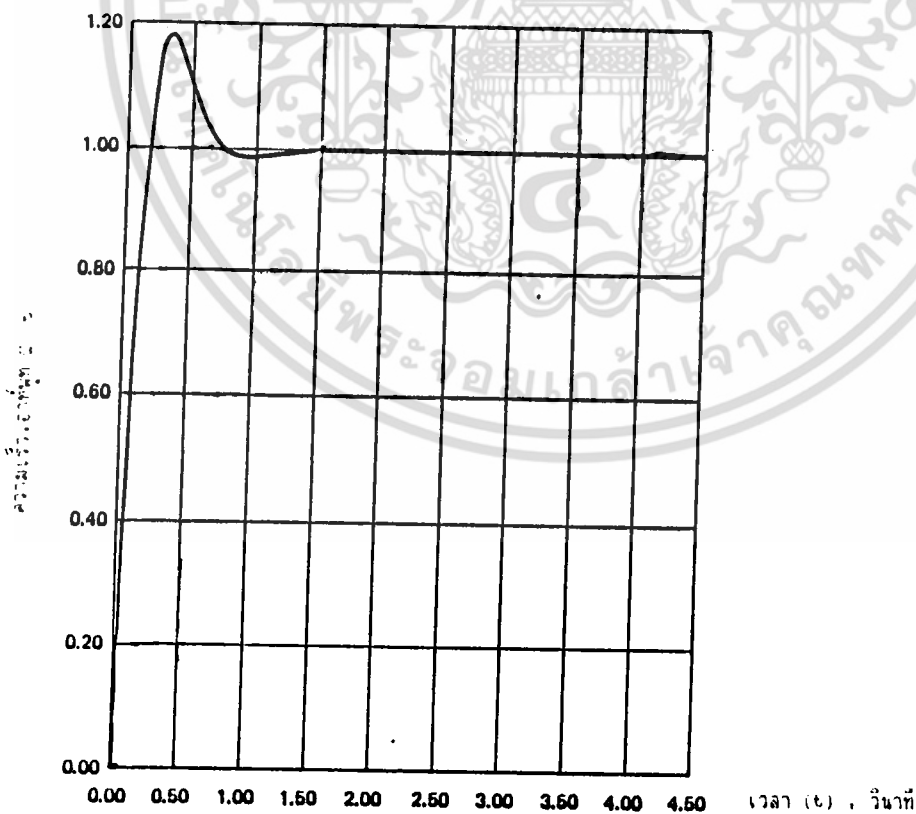
$$C_{p, i, d} = \frac{K_{p, i} (1 + sT_{i, i}) (1 + sT_{d, i})}{sT_{i, i}} \quad (3.15)$$

จากสมการที่ (3.15) เราสามารถเขียนบล็อกไดอะแกรมของตัวควบคุมได้ดังนี้เมื่อ $K_{p, i}$ คือร็อบฟอร์ซันัล $K_{i, i}$ คือส่วนของอินติเกรัล $K_{d, i}$ คือส่วนของดิริเวทิฟหรืออัตราขยายของตัวควบคุมและจากส่วนของสัญญาณค่าผิดพลาดที่มีการป้อนกลับ จากส่วนสัญญาณพัลส์เจนเนอเรเตอร์ดังสมการที่ (3.10) เราสามารถสร้างมันได้จากบล็อกไดอะแกรมด้านล่างเราเขียนทำให้ง่ายขึ้นอีกดังแสดงในรูปที่ 3.11 เอกสารนี้เป็นเอกสารที่สงวนไว้สำหรับการใช้งานเพื่อการศึกษาเท่านั้น ไม่นอนุญาตให้นำไปใช้ประโยชน์ด้านการค้า ไม่ว่ากรณีใดๆ ทั้งสิ้น อีกทั้งห้ามมิให้ดัดแปลงเนื้อหา และต้องอ้างอิงถึงเจ้าของเอกสารทุกครั้งที่มีการนำไปใช้



รูปที่ 3.11 ตัวควบคุมโหมดปรับพอร์ซันอินทิกรัลดิริเวทีฟ

การควบคุมปรับพอร์ซันอินทิกรัลดิริเวทีฟ เราสามารถแก้ออฟเซ็ทของการควบคุมปรับพอร์ซันและลดโอเวอร์ชูทที่จะทำให้เกิดการออสซิลเลชัน เนื่องจากการควบคุมแบบอินทิกรัลจะทำให้ผลตอบสนองได้รวดเร็วตามคุณสมบัติของการควบคุมดิริเวทีฟ ภายในระบบเกนปรับพอร์ซันอินทิกรัลดิริเวทีฟเป็นการตอบสนองต่อรูปแบบที่นำมาแสดงในรูปแบบที่นำมาเติมไว้ก่อนหน้านี้ ในการควบคุมจากองค์ประกอบในแต่ละโหมดการตอบสนองต่อตัวควบคุม นำค่าเกนแต่ละส่วนของปรับพอร์ซันอินทิกรัลดิริเวทีฟนำมารวมกัน

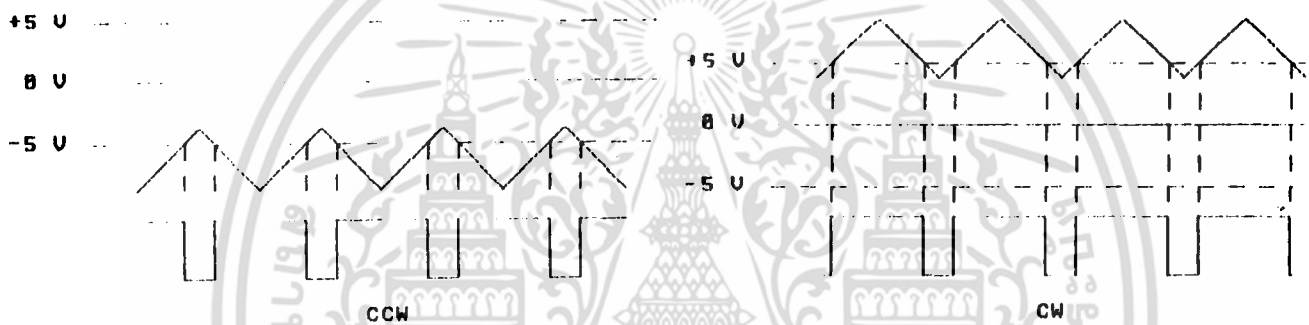


รูปที่ 3.12 ผลตอบสนองของระบบควบคุมตำแหน่งเมื่อตัวควบคุมเป็น PID

เอกสารนี้เป็นเอกสารที่สงวนไว้สำหรับการใช้งานเพื่อการศึกษาเท่านั้น ไม่อนุญาตให้นำไปใช้ประโยชน์ด้านการค้า ไม่ว่าจะกรณีใดๆ ทั้งสิ้น อีกทั้งห้ามมิให้ดัดแปลงเนื้อหา และต้องอ้างอิงถึงเจ้าของเอกสารทุกครั้งที่มีการนำไปใช้

3.4 การวิเคราะห์หาส่วนของเพาเวอร์แอมป์ป्लीไฟล์ ^{๕.๑๖}

เพาเวอร์แอมป์ป्लीไฟล์หรือเซอร์โวแอมป์ป्लीไฟล์ในที่นี้เป็นแอมป์ป्लीไฟล์เออร์แบบไบโพล่า หมายถึงแอมป์ป्लीไฟล์เออร์ที่ต้องใช้เพาเวอร์ซัพพลายทั้งขั้วบวกและขั้วลบ โดยที่เราสามารถหาค่าในส่วนของอัตราขยายเกน K_u ได้จากอัตราส่วนของรูปคลื่นพัลส์วิดมอดส์ดังแสดงในรูปที่ 3.13 เราสามารถคิดค่าอัตราขยายเกน K_u ได้จากอัตราส่วนค่า T_{on} ต่ออัตราส่วน T_{off} เราสามารถกำหนดค่า T_{on} เป็นส่วนของแรงดันที่สัญญาณพัลส์วิดมอดส์ทำงานสำหรับในส่วนของ T_{off} เป็นส่วนของแรงดันที่สัญญาณพัลส์วิดมอดส์ไม่ทำงาน



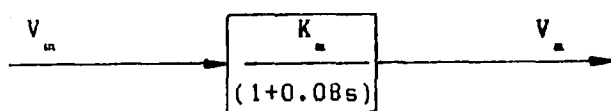
รูปที่ 3.13 สัญญาณการควบคุมรูปคลื่นพัลส์วิดมอดส์ในช่วงการสวิตช์

สมการเรานำมาสร้างอัตราขยายเกนได้ดังนี้

$$V_o = V_u * \left[\frac{T_{on}}{T_{on} + T_{off}} \right] \quad (3.16)$$

จากสมการที่ (3.16) เราสามารถนำมาเขียนเป็นบล็อกไดอะแกรมของชุดเซอร์โวแอมป์ได้ดังนี้

เซอร์โวแอมป์



เอกสารนี้เป็นเอกสารที่สงวนไว้สำหรับการใช้งานเพื่อการศึกษาเท่านั้น ไม่อนุญาตให้นำไปใช้ประโยชน์ด้านการค้า ไม่ว่าจะกรณีใดๆ ทั้งสิ้น อีกทั้งห้ามมิให้ดัดแปลงเนื้อหา และต้องอ้างอิงถึงเจ้าของเอกสารทุกครั้งที่มีการนำไปใช้

เรากำหนดให้ส่วนเซอร์โวแอมป์นี้ มีอัตราขยายเท่ากับ K_u ดังนั้นเราสามารถเขียนบล็อกไดอะแกรมของเซอร์โวแอมป์นี้ได้ดังนี้

$$V_u = \frac{K_u}{(1+0.08s)} * V_m \tag{3.17}$$

K_u เป็นโวลต์เตจเกนของเซอร์โวแอมป์มีหน่วยเป็น V/V

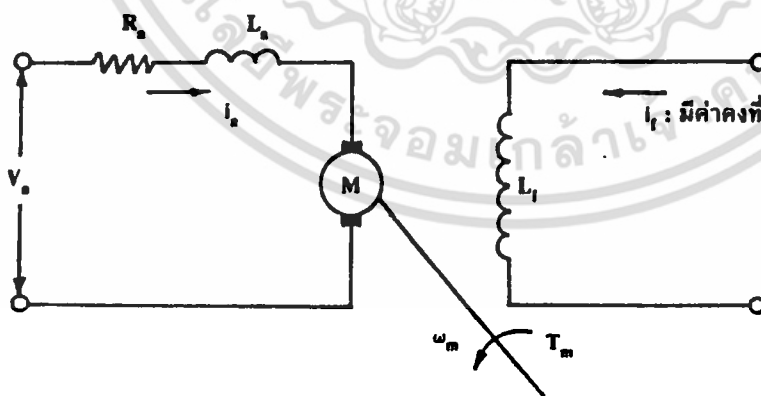
V_u แรงดันในส่วนเอาต์พุทของชุดขับในส่วนแรงดัน

V_m แรงดันในส่วนอินพุทของชุดขับในส่วนแรงดัน

โดยที่เราสามารถหาค่าในส่วนของอัตราขยายเกน K_u ได้จากอัตราส่วนของรูปคลื่นพัลส์วิดโมดส์

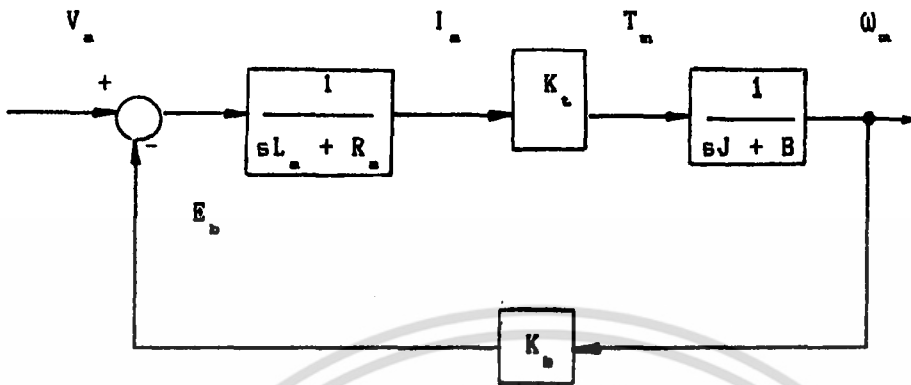
3.5 การวิเคราะห์ในส่วนของดีซีเซอร์โวมอเตอร์

ดีซีเซอร์โวมอเตอร์ที่ใช้ในระบบนี้เป็นแบบการควบคุมอาร์มาเจอร์ดังแสดงในรูปที่ 3.14



รูปที่ 3.14 วงจรสมมุติของดีซีเซอร์โวมอเตอร์

จากรูปที่ 3.14 เราสามารถเขียนบล็อกไดอะแกรมของดีซีเซอร์โวแบบการควบคุมอาร์มาเจอร์ได้ดังนี้ เอกสารนี้เป็นเอกสารที่สงวนไว้สำหรับการใช้งานเพื่อการศึกษาเท่านั้น ไม่อนุญาตให้นำไปใช้ประโยชน์ด้านการค้า ไม่ว่าจะกรณีใดๆ ทั้งสิ้น อีกทั้งห้ามมิให้ดัดแปลงเนื้อหา และต้องอ้างอิงถึงเจ้าของเอกสารทุกครั้งที่มีการนำไปใช้



จากบล็อกไดอะแกรมเราสามารถหาความสัมพันธ์ระหว่าง ω_m / V_m ได้ดังนี้

$$G = \frac{\omega_m}{V_m} = \frac{K_t / (BR_m + K_t K_b)}{1 + s[R_m J / (BR_m + K_t K_b)]} \quad (3.18)$$

$$G = \frac{\omega_m}{V_m} = \frac{K_m}{(1 + s\tau_m)} \quad (3.19)$$

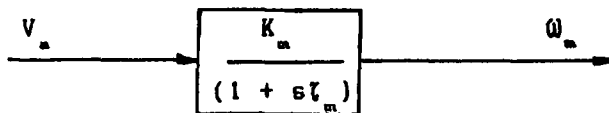
$$K_m = K_t / (BR_m + K_t K_b)$$

$$\tau_m = R_m J / (BR_m + K_t K_b)$$

K_b = ค่าคงที่ของ back emf มอเตอร์

จากสมการที่ (3.19) เราสามารถเขียนเป็นบล็อกไดอะแกรมของดีซีเซอร์โวมอเตอร์ได้ดังนี้

ดีซีเซอร์โวมอเตอร์



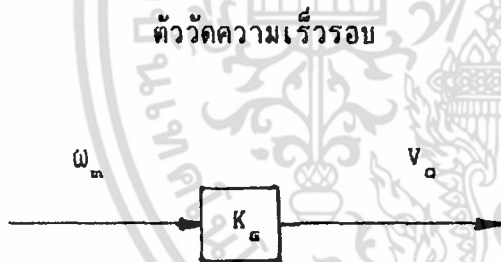
เอกสารนี้เป็นเอกสารที่สงวนไว้สำหรับการใช้งานเพื่อการศึกษาเท่านั้น ไม่อนุญาตให้นำไปใช้ประโยชน์ด้านการค้า ไม่ว่าจะกรณีใดๆ ทั้งสิ้น อีกทั้งห้ามมิให้ดัดแปลงเนื้อหา และต้องอ้างอิงถึงเจ้าของเอกสารทุกครั้งที่มีการนำไปใช้

3.6 การวิเคราะห์ตัววัดความเร็วรอบ

ภายในตัววัดความเร็วรอบที่เราได้พิจารณาการทรานสเฟอ์ฟังก์ชันของส่วนประกอบเหล่านี้ ในตอนการวิเคราะห์ความเร็วรอบเราสามารถพิจารณาทรานสเฟอ์ฟังก์ชัน ได้จากส่วนของการป้อนกลับของทาโคเจนเนอเรเตอร์โดยที่เราจะหาค่าเกน K_v ได้จากวงจรที่ได้จากการทดลองจริงๆ โดยเราจะเริ่มต้นจากการวัดแรงดันการป้อนกลับในส่วนของทาโคเจนเนอเรเตอร์ นำมาผ่านเข้าไปในส่วนของออปแอมป์พร้อมทั้งตั้งค่าอัตราขยายเกน K_v ให้อยู่ในรูปของโวลท์ ซึ่งเราสามารถหาค่าได้จากเกนทาโคเจนเนอเรเตอร์ = 0.067 V/rad/sec

$$V_o = K_v \omega_m \quad (3.20)$$

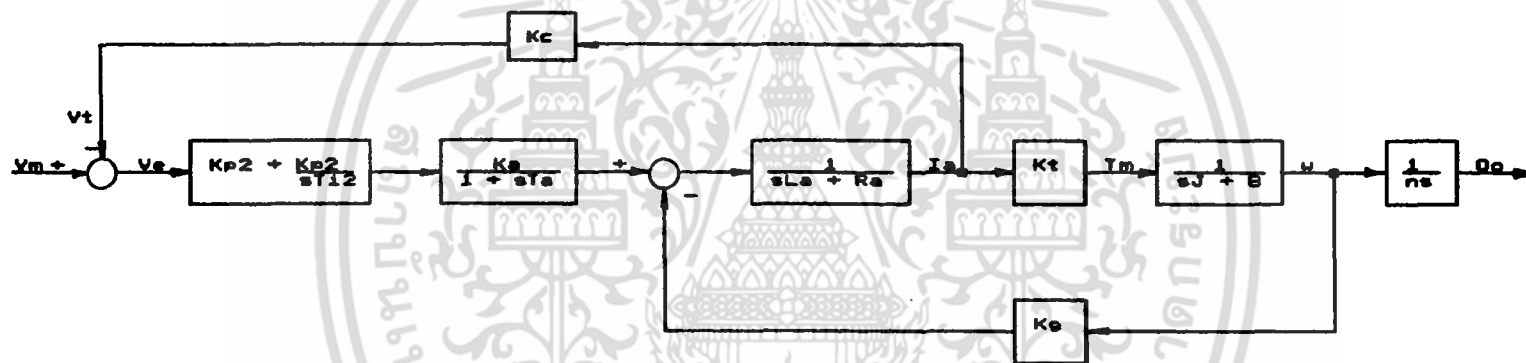
ดังนั้นจากสมการที่ (3.20) เราสามารถเขียนบล็อกไดอะแกรมของตัววัดความเร็วรอบได้ดังนี้



3.7 การวิเคราะห์วงจรการป้อนกลับกระแส

เราสามารถแยกเขียนบล็อกไดอะแกรมของลูการป้อนกลับกระแสได้ดังรูปที่ 3.15 โดยที่เราพิจารณาจากการโดยที่เราจะหาค่าเกน K_v ได้จากวงจรที่ได้จากการทดลองจริงๆ โดยเราจะเริ่มต้นจากการนำส่วนของตัวต้านทานของวงจร $R_{\dots} = 0.2 \text{ } \Omega/5\omega$ ที่เป็นตัวการป้อนกลับของค่ากระแสมอเตอร์ที่ถูกต่อมาจากในส่วนของวงจรเซอร์โวแอมป์ป्लीไฟล์ พร้อมทั้งตั้งค่าอัตราการขยายเกน K_v ให้อยู่ในรูปของตัวต้านทานบล็อกไดอะแกรมของตัวประกอบการป้อนกลับกระแส จากรูปที่ 3.15 เราหาทอร์คของมอเตอร์ T_m ได้เป็น

เอกสารนี้เป็นเอกสารที่สงวนไว้สำหรับการใช้งานเพื่อการศึกษาเท่านั้น ไม่อนุญาตให้นำไปใช้ประโยชน์ด้านการค้า ไม่ว่ากรณีใดๆ ทั้งสิ้น อีกทั้งห้ามมิให้ดัดแปลงเนื้อหา และต้องอ้างอิงถึงเจ้าของเอกสารทุกครั้งที่มีการนำไปใช้



รูปที่ 3.15 บล็อกไดอะแกรมของลูปการป้อนกลับกระแส

$$T_m = K_c I_m \quad (3.21)$$

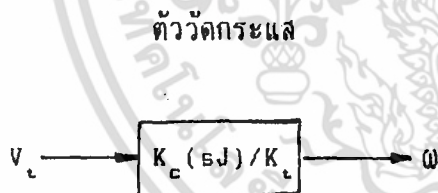
$$\omega = \frac{T}{sJ} \quad (3.22)$$

$$\omega = \frac{K_c I_m}{sJ} \quad (3.23)$$

$$V_c = K_c I_m \quad (3.24)$$

$$V_c = K_c (sJ) / K_c \quad (3.25)$$

จากสมการที่ (3.25) เราสามารถเขียนบล็อกไดอะแกรม

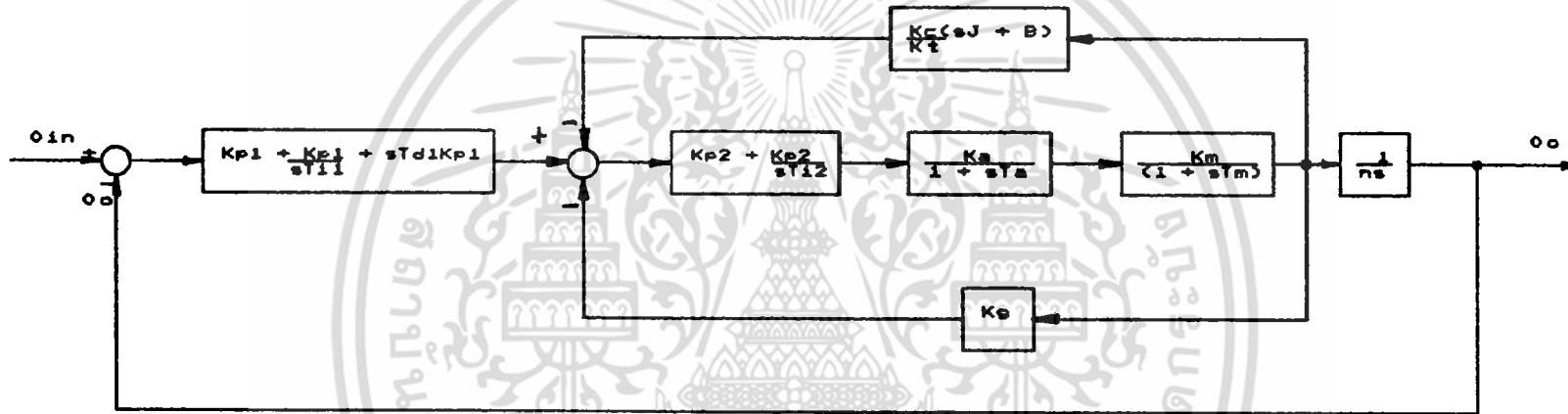


3.8 การวิเคราะห์ระบบการควบคุมเซอร์โวมอเตอร์ที่สมบูรณ์

3.8.1 การวิเคราะห์ระบบการควบคุมตำแหน่งมอเตอร์

ระบบเซอร์โวที่ได้รับการออกแบบเป็นระบบการควบคุมตำแหน่งหมุน ที่ประกอบด้วยอุปกรณ์ควบคุมความเร็วรอบ และอุปกรณ์ควบคุมทอร์ค เราสามารถที่จะหาทรานสเฟอร์ฟังก์ชันของระบบจากสมการที่ (3.10), (3.14), (3.15), (3.17), (3.19), (3.20) และ (3.25) ได้เป็นดังแสดงในรูปที่ 3.16

เอกสารนี้เป็นเอกสารที่สงวนไว้สำหรับการใช้งานเพื่อการศึกษาเท่านั้น ไม่อนุญาตให้นำไปใช้ประโยชน์ด้านการค้า ไม่ว่ากรณีใดๆ ทั้งสิ้น อีกทั้งห้ามมิให้ดัดแปลงเนื้อหา และต้องอ้างอิงถึงเจ้าของเอกสารทุกครั้งที่มีการนำไปใช้



รูปที่ 3.16 บล็อกไดอะแกรมของระบบเซอร์โวเพื่อการควบคุมตำแหน่งมอเตอร์

$$\theta_x = \theta_{in} - \theta_o \quad (3.26)$$

$$V_m = K_{z1} \theta_x \quad (3.27)$$

$$V_t = K_c \omega \quad (3.28)$$

$$V_o = K_g \omega \quad (3.29)$$

$$V_E = V_m - V_t - V_o \quad (3.30)$$

$$V_E = V_m - \left[\frac{K_c (sJ+B) + Kg}{K_t} \right] * \omega \quad (3.31)$$

$$V_E = V_m - s * \left[\frac{K_c (sJ+B) + Kg}{K_t} \right] \theta_o \quad (3.32)$$

$$\theta_o = \left[\frac{K_{z2} K_m K_n}{s(1+s\tau_m)} \right] * V_E \quad (3.33)$$

$$\frac{K_{z2} K_m K_n}{s(1+s\tau_m)} * \left[V_m - s * \left[\frac{K_c (sJ+B) + Kg}{K_t} \right] \theta_o \right] \quad (3.34)$$

$$\theta_o = \frac{K_{z2} K_m K_n}{s(1+s\tau_m)} * \left[K_{z1} (\theta_{in} - \theta_o) - s \left[\frac{K_c (sJ+B) + Kg}{K_t} \right] \theta_o \right] \quad (3.35)$$

$$\theta_o = \frac{K_{z1} K_{z2} K_m K_n K_{in}}{s(1+s\tau_m)} - \frac{K_{z1} K_{z2} K_m K_n K_{in}}{s(1+s\tau_m)} - \frac{K_{z2} K_m K_n}{(1+s\tau_m)} \left[\frac{K_c (sJ+B) + Kg}{K_t} \right] \theta_o \quad (3.36)$$

เอกสารนี้เป็นเอกสารที่สงวนไว้สำหรับการใช้งานเพื่อการศึกษาเท่านั้น ไม่อนุญาตให้นำไปใช้ประโยชน์ด้านการค้า
ไม่ว่ากรณีใดๆ ทั้งสิ้น อีกทั้งห้ามมิให้ดัดแปลงเนื้อหา และต้องอ้างอิงถึงเจ้าของเอกสารทุกครั้งที่มีการนำไปใช้

$$\left[\frac{1 + K_{x1} K_{x2} K_a K_m + K_{x2} K_a K_m}{s(1+s\tau_m)} \frac{K_c (sJ+B) + Kg}{K_t} \right] \theta_o = \frac{K_{x1} K_{x2} K_a K_m \theta_{in}}{s(1+s\tau_m)} \quad (3.37)$$

$$\frac{\theta_o}{\theta_{in}} = \frac{K_{x1} K_{x2} K_a K_m}{s(1+s\tau_m) + K_{x1} K_{x2} K_a K_m + sK_{x2} K_a K_m \left[\frac{K_c (sJ+B) + Kg}{K_t} \right]} \quad (3.38)$$

$$\frac{\theta_o}{\theta_{in}} = \frac{K_{x1} K_{x2} K_a K_m}{s^2 * (JK_{x2} K_a K_m \frac{K_c}{K_t} (sJ+B) + \tau_m) + s(K_{x2} K_a K_m Kg + 1) + K_{x1} K_{x2} K_a K_m} \quad (3.39)$$

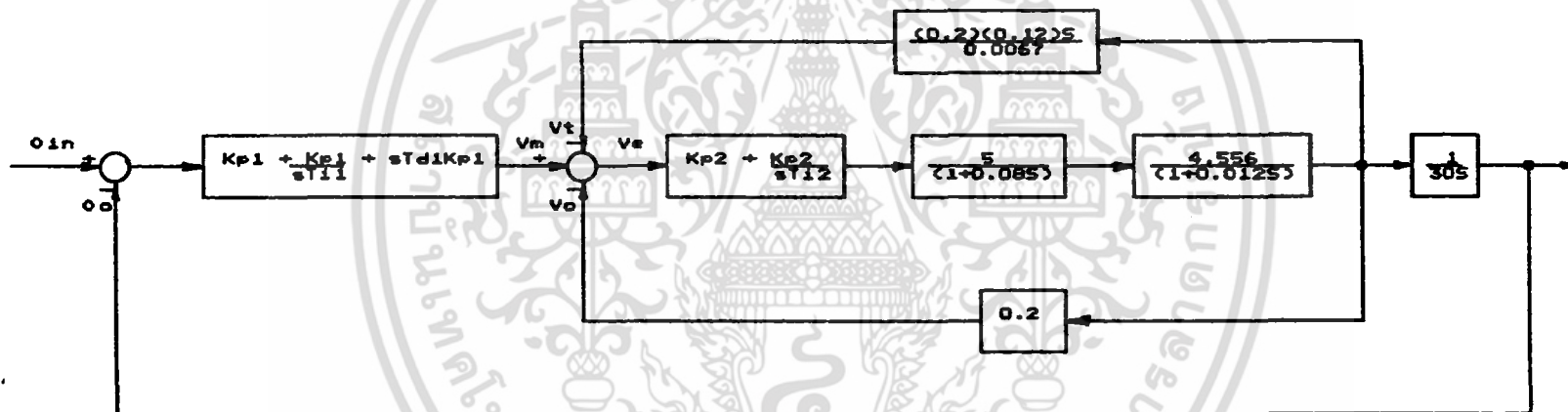
จากสมการที่ (3.39) เราสามารถหาพารามิเตอร์ K_{x1} และ K_{x2} ได้ดังนี้

$$K_{x1} = \left[\frac{K_{p1} (1 + s\tau_{d1}) (1 + s\tau_{d1})}{s\tau_{i1}} \right]$$

$$K_{x2} = \left[\frac{K_{p2} (1 + s\tau_{i2})}{s\tau_{i2}} \right]$$

3.9 การจำลองรูปแบบระบบการควบคุมตำแหน่งมอเตอร์

ในตอนท้ายนี้เราจะนำมาเสนอข้อมูลที่ได้จากการจำลองระบบที่ใช้ในการควบคุมตำแหน่งมอเตอร์ โดยที่เราได้นำข้อมูลที่ได้จากค่าเกณฑ์ต่างๆ ที่สามารถหาค่าได้จากสเปคภายในมอเตอร์ในแต่ละตัวนำเข้าไปแทนค่าโดยการจำลองทั้งภายในในระบบการควบคุมความเร็วมอเตอร์ และระบบการควบคุมตำแหน่งมอเตอร์ ที่สามารถนำค่ามาจำลองได้จากรูปที่ 3.17 ที่ใช้เป็นการจำลองส่วนการควบคุมความเร็วมอเตอร์ที่ใช้ระบบปรีอพลอร์ชั้นนัลอินติกรัล ที่นำมาใช้เป็นตัวควบคุมและจากส่วนแยกแสรนี้ เป็นเอกสารที่สงวนไว้สำหรับการใช้งานเพื่อการศึกษาเท่านั้น ไม่อนุญาตให้นำไปใช้ประโยชน์ด้านการค้า ไม่ว่าจะกรณีใดๆ ทั้งสิ้น อีกทั้งห้ามมิให้ดัดแปลงเนื้อหา และต้องอ้างอิงถึงเจ้าของเอกสารทุกครั้งที่มีการนำไปใช้



รูปที่ 3.17 บล็อกไดอะแกรมของระบบเซอร์โวที่ประกอบด้วยลูปการป้อนกลับของตำแหน่งลูปการป้อนกลับของความเร็ว และลูปการป้อนกลับของกระแส

ในระบบที่ใช้ในการจำลองส่วนการควบคุมตำแหน่งมอเตอร์ เราจะใช้ระบบป้อนฟอร์ซันอนติกรัลดิริเวทินท์มาใช้เป็นตัวควบคุม นำมาควบคุมตัวแปรเอาท์พุทให้เข้าสู่ระบบนำกำหนดไว้เพื่อที่จะรักษาระบบให้มีค่าที่เป็นไปได้ในวิถีทางที่เหมาะสมด้วยการควบคุมระบบให้ได้ตามข้อกำหนด สัญญาณความแตกต่างจะต้องมีค่าน้อยที่สุดเท่าที่จะทำได้และเพื่อให้มีคุณสมบัติของทรานเซียนท์ดี ระบบควบคุมตำแหน่งซึ่งมีคุณสมบัติตามต้องการวิธีหนึ่งซึ่งสามารถทำได้ โดยทำการวิเคราะห์ที่จะให้คุณสมบัติของระบบตามต้องการได้แล้ว ก็จะหาค่าพารามิเตอร์ของตัวควบคุมชนิดต่างๆ ได้ก็จะสามารถเลือกตัวควบคุมที่เหมาะสมที่สุดกับระบบนั้นๆได้ โดยในการออกแบบตัวควบคุมที่มีการหาค่าพารามิเตอร์ของตัวควบคุมที่เหมาะสมกับระบบที่ต้องการจะควบคุมนั่นเอง โดยเราจะทำการหาตัวควบคุมที่จะกล่าวถึงของระบบดังนี้

3.9.1 การจำลองแบบข้อมูลที่ใช้ในระบบตัวควบคุม

ในส่วนนี้เป็นการเสนอการจำลองระบบตัวควบคุมภายในส่วนของมอเตอร์ โดยเราจะนำค่าของพารามิเตอร์ที่ได้มาจากรูปที่ 3.17 ที่มีการนำมาคำนวณค่าต่างๆ ที่ได้มาจากในส่วนตัวแปรของสเปคมอเตอร์ที่เราสามารถหาได้ภายในมอเตอร์ในแต่ละตัว จากนั้นเราจะได้ทำการจำลองข้อมูลภายในซีออนแวร์โดยวิธีการคำนวณหาค่าพารามิเตอร์ที่เหมาะสมจากภายในระบบ

$$K_u = \text{เกนของไคร์เวอร์} = 5$$

$$K_c = \text{การป้อนกลับกระแส} = 0.067 \text{ V/A}$$

$$K_v = \text{เกนของทาโคเจนเนอเรเตอร์} = 7\text{V/Krpm} = 2.24 \times 10^3 \text{ V/rad/sec.}$$

$$K_b = \text{ค่าคงที่ back emf ของมอเตอร์} = 12 \text{ msec} = 0.012 \text{ sec}$$

$$K_e = \text{ไหลตัวต้านทานการป้อนกลับกระแส} = 0.2 \text{ n/5W}$$

$$T_m = \text{ค่าเวลาคงที่ในส่วนมอเตอร์} = 12 \text{ msec} = 0.012 \text{ sec}$$

เอกสารนี้เป็นเอกสารที่สงวนไว้สำหรับการใช้งานเพื่อการศึกษาเท่านั้น ไม่อนุญาตให้นำไปใช้ประโยชน์ด้านการค้าไม่ว่ากรณีใดๆ ทั้งสิ้น อีกทั้งห้ามมิให้ดัดแปลงเนื้อหา และต้องอ้างอิงถึงเจ้าของเอกสารทุกครั้งที่มีการนำไปใช้

$$\tau = \text{ค่าคงที่เวลาการป้อนกลับกระแส} = 0.08 \text{ sec}$$

$$J = \text{ค่าความเฉื่อยโรเตอร์} = 0.12 \text{ g/cm/sec}^2$$

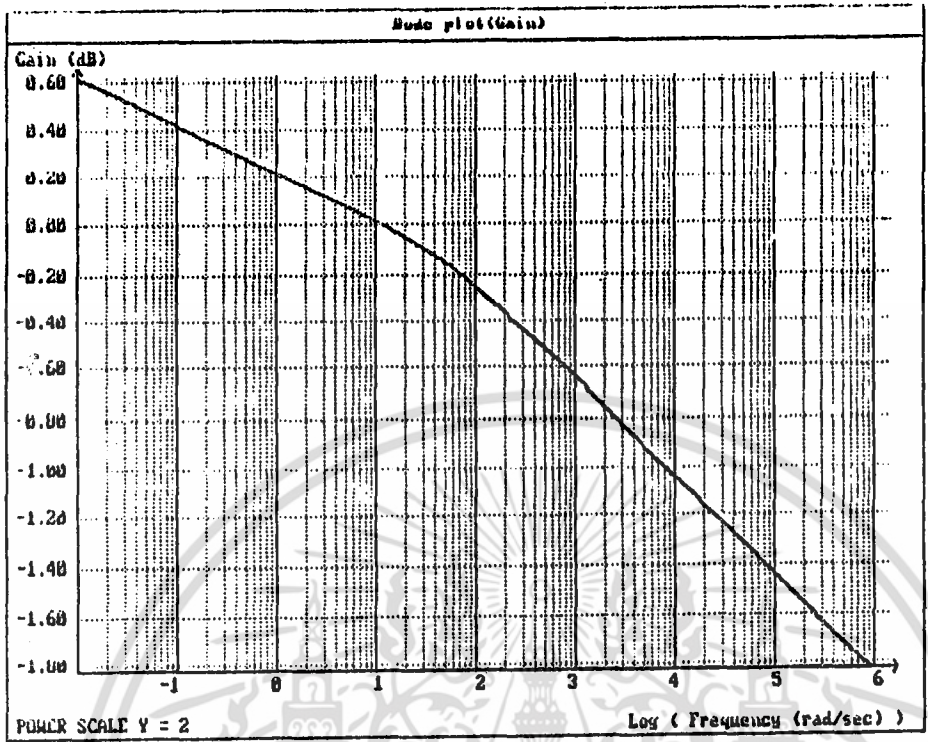
$$B = \text{โหลดความฝืด} = 0$$

$$n = \text{ค่าทศรอบของเกียร์นล้อค} = 30$$

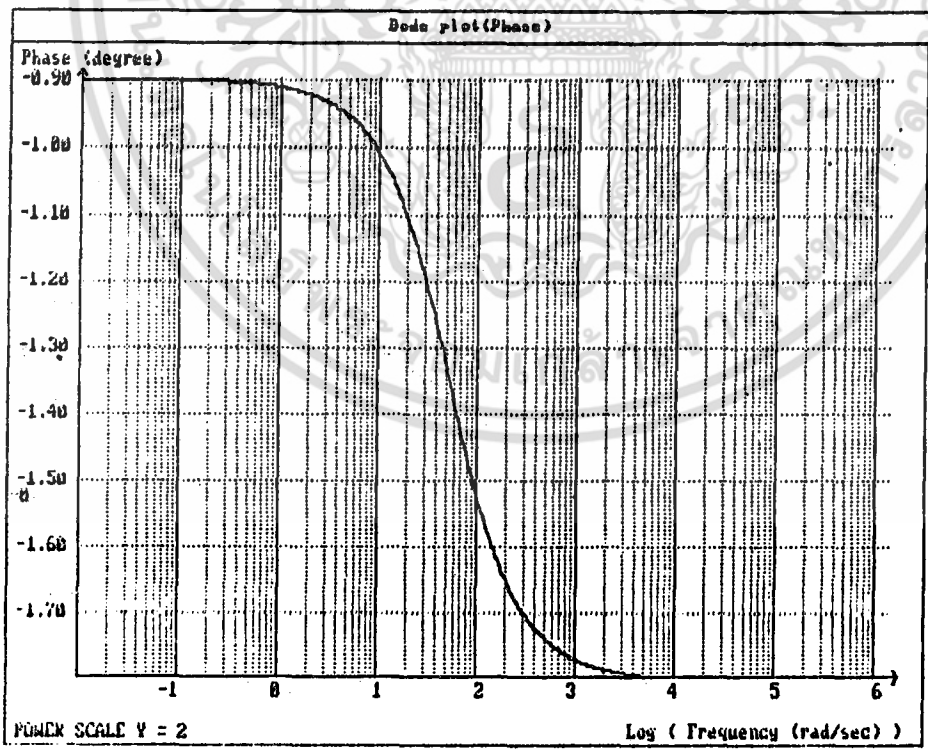
จากรูปที่ 3.17 เราสามารถนำค่าพารามิเตอร์ที่ได้มาทำการจำลองระบบที่มีการนำมามีค่าต่าง ๆ ที่ได้ มาจากในส่วนตัวแปรของสเปคโมเตอร์ที่เราสามารถหาได้ภายในมอเตอร์ดังนี้

$$G(s)H(s) = \left[\frac{(0.2)(0.12)s + 0.2}{0.0067} \right] \left[\frac{(5)(4.556)}{(1+0.08s)(1+0.012s)} \right]$$
$$= \frac{8499.689s + 47.45}{s^2 + 9.583s + 104.166} \quad (3.40)$$

จากสมการที่ (3.40) ที่เราสามารถนำมาใช้ในการคำนวณหาค่าพารามิเตอร์ต่างๆ ภายในระบบการควบคุมความเร็วจากวิธีการของโพลล้อย (แกน) และโพลล้อย (เฟส) ของระบบได้ดังรูปที่ 3.18 และ 3.19 ตามลำดับ เพื่อที่จะนำมาใช้ในการคำนวณหาค่าเกณฑ์ต่างๆ เพื่อที่จะนำมาใช้เช็คค่าภายในระบบการควบคุมความเร็วและตำแหน่งมอเตอร์ เพื่อที่เราสามารถนำมาใช้ในการตั้งค่าตัวควบคุมแบบป้อนกลับขั้นอินทิกรัล (PI) ในการควบคุมความเร็วและแบบป้อนกลับขั้นอินทิกรัลดิวิเวท (PID) ที่ใช้ในการควบคุมตำแหน่ง



รูปที่ 3.18 โบนพล็อต (เกน) ของระบบจากสมการที่ 3.40



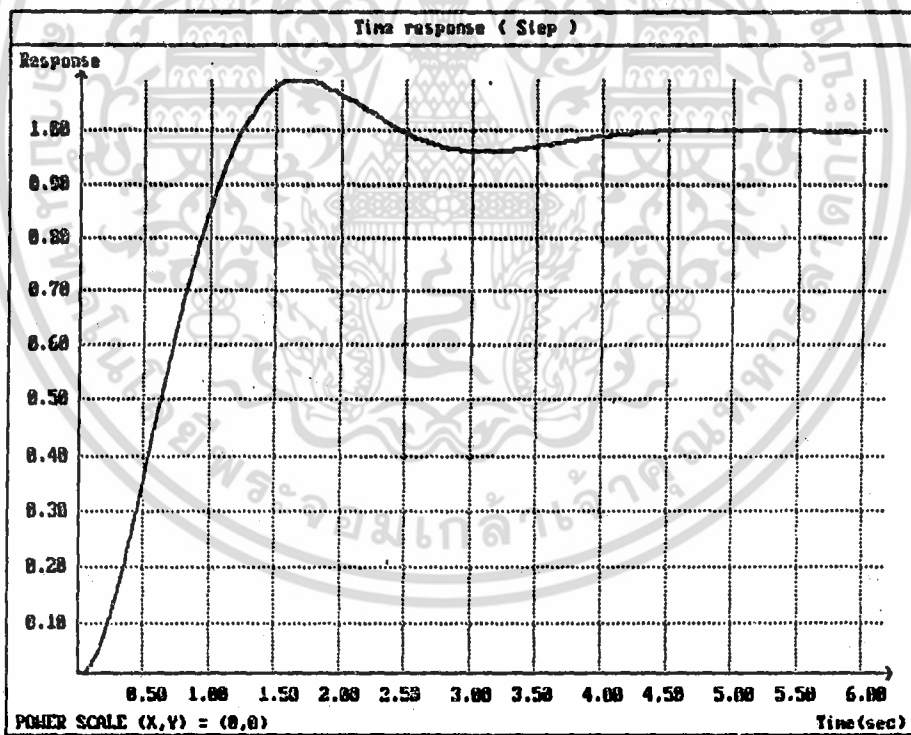
รูปที่ 3.19 โบนพล็อต (เฟส) ของระบบจากสมการที่ 3.40

เอกสารนี้เป็นเอกสารที่สงวนไว้สำหรับการใช้งานเพื่อการศึกษาเท่านั้น ไม่อนุญาตให้นำไปใช้ประโยชน์ด้านการค้า ไม่ว่าจะกรณีใดๆ ทั้งสิ้น อีกทั้งห้ามมิให้ดัดแปลงเนื้อหา และต้องอ้างอิงถึงเจ้าของเอกสารทุกครั้งที่มีการนำไปใช้

การออกแบบเริ่มต้นด้วยการกำหนดเฟสแมริจินของระบบที่ต้องการให้ค่าเท่ากับ 60 องศา แล้วใช้โพล
พล็อตของระบบนิจาราณาหาความถี่ที่เหมาะสม (ω_c) ของระบบจากนั้นหาค่าพารามิเตอร์ปรีอพออร์ชัน
นัล (K_p) รีเซทไทม์ (τ_r) และค่าดีริเวทีฟคอนสแตนท์ (τ_d) ที่เหมาะสมต่อไป

ต่อไปเราจะนำสมการที่ (3.40) ของระบบที่อยู่ภายในรูปแบบ $G(s)H(s)$ ที่ใช้ในการสร้าง
โพลพล็อต(เกน) และโพลพล็อต(เฟส) ที่นำมาใช้ในส่วนของการออกแบบมอเตอร์ พร้อมทั้งนำระบบมาแปลง
ให้อยู่ภายในรูปแบบตามสมการที่ (3.41) ดังแสดงได้ดังรูปที่ 3.20 เป็นการแสดงค่ากราฟภายใน
ระบบที่ยังไม่มีการเซ็ค่าตัวแปรภายในการควบคุมที่อยู่ภายในระบบ

$$\frac{G(s)}{1 + G(s)H(s)} = \frac{8499.6895s + 47.450}{s^2 + 8509.2725s + 151.617} \quad (3.41)$$



รูปที่ 3.20 ผลตอบสนองการจำลองระบบภายในส่วนของดีซีมอเตอร์ จากสมการที่ 3.41

3.9.2 การจำลองแบบข้อมูลที่ใช้ในการควบคุมความเร็วมอเตอร์

เราสามารถนำค่าพารามิเตอร์ที่ได้มาจากสมการที่ (3.41) ที่นำมาใช้คำนวณหาค่าพารามิเตอร์ที่เหมาะสมจากวิธีการของโบนลือตตัวควบคุมที่ออกแบบเป็นชนิดปรีอพรชันนัลอินติกรัล (PI) ที่ใช้ในการควบคุมความเร็วมอเตอร์ในส่วนของการจำลองข้อมูลต่างๆ ที่เราจะนำมาทำการจำลองในส่วนที่มีการควบคุมความเร็วของมอเตอร์ของการออกแบบตัวควบคุมความเร็ว เราต้องการที่จะนำวิธีการคำนวณหาค่าพารามิเตอร์ที่เหมาะสมของตัวควบคุมความเร็ว โดยอาศัยวิธีการของโบนลือตตัวควบคุมที่ออกแบบเป็นชนิดปรีอพรชันนัลอินติกรัล (PI) ในการควบคุมความเร็วการออกแบบเริ่มต้นด้วยการกำหนดเฟลมาร์จิน ของระบบถ้าเรากำหนดให้เฟลมาร์จินของระบบที่ต้องการเท่ากับ 60 องศา แล้วใช้โบนลือตของระบบนิจาราณาหาความถี่ที่เหมาะสม (ω_c) ของระบบโดยทำการเพิ่มหรือลดค่าอัตราขยายสูงสุดได้ โดยค่าความแตกต่างของเกนของระบบ K_u ที่ต่างไปจากเดิม 0 dB จะเป็นค่าอัตราขยายสูงสุดของระบบ $K_{u2} = -K_u$ ต่อไปเลือกความถี่ของการอินทิเกรเตอร์ ω_i ให้ค่าประมาณ 10% ของ ω_c เพื่อให้ผลไปเพิ่มที่เฟลลือตความถี่ ω_c จากค่า ω_i จะหาค่าพารามิเตอร์รีเซทไทม์ (τ_{i2}) ได้เท่ากับ $1/\omega_i$ ดังนั้นอัตราขยายตัวควบคุมแบบ PI จะได้เป็น $K_{i2} (1 + 1/s\tau_{i2})$ ในส่วนที่มีการควบคุมความเร็วมอเตอร์โดยจะทำการเลือกค่า ω_c จากโบนลือต(เฟล) ของระบบที่มีค่าการเลื่อนเฟล -120 องศา จะได้ค่า ω_c ประมาณ 30.524 rad/sec ที่ความถี่นี้เกนของระบบมีค่า 9.1338 dB หรือจะได้ $K_{u2} = 2.862$ ต่อไปให้ $\omega_i = 10\% \omega_c$ ดังนั้นเราสามารถหาค่า $\omega_i = 3.0524$ rad/sec เนื่องจากเรานำเอาไปหา $\tau_{i2} = 1/\omega_i$ ที่เรานำมาใช้ในการหา $\tau_{i2} = 0.3276$ เพื่อนำมาใช้หาค่า $K_{i2} = K_{u2}/\tau_{i2}$ จะได้เป็น $K_{i2} = 8.736$ ตามลำดับ

$$\text{ตัวควบคุม PI} = \underline{2.862S + 8.736} \tag{3.42}$$

S

นำสมการที่ (3.41) เป็นส่วนที่เรานำมาใช้ภายในระบบของมอเตอร์ เพื่อที่จะนำส่วนนี้มาวิเคราะห์หาค่าเกนระบบที่ใช้ในส่วนของการควบคุมความเร็วมอเตอร์ดังสมการที่ (3.43)

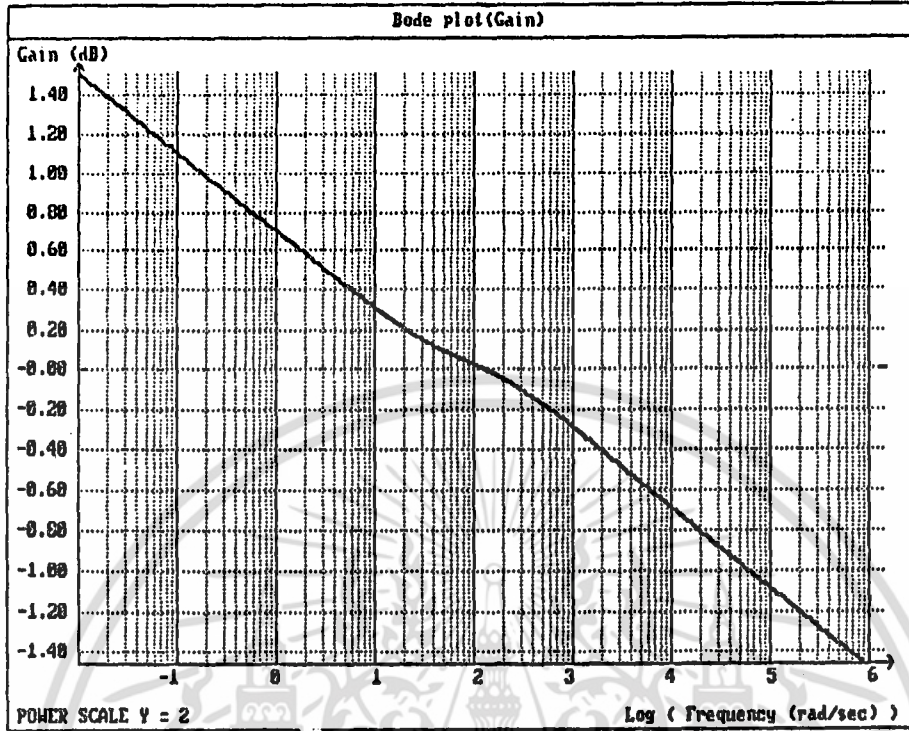
เอกสารนี้เป็นเอกสารที่สงวนไว้สำหรับการใช้งานเพื่อการศึกษาเท่านั้น ไม่อนุญาตให้นำไปใช้ประโยชน์ด้านการค้าไม่ว่ากรณีใดๆ ทั้งสิ้น อีกทั้งห้ามมิให้ดัดแปลงเนื้อหา และต้องอ้างอิงถึงเจ้าของเอกสารทุกครั้งที่มีการนำไปใช้

$$\begin{aligned} G(s)H(s) \text{ (ตัวควบคุม PI)} &= \left[\frac{2.8625s+8.736}{s} \right] \left[\frac{8499.689s+47.450}{s^2+8509.272s+151.617} \right] \\ &= \frac{24326.110s^2+74389.087s+414.5249}{s(s^2+8509.272s+151.617)} \quad (3.43) \end{aligned}$$

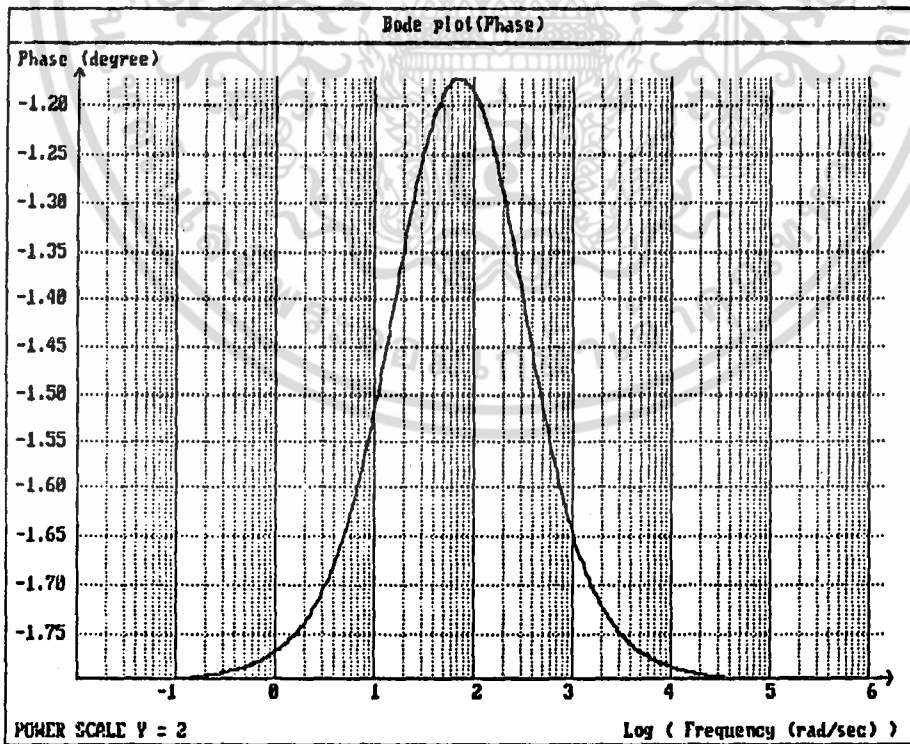
ระบบจากสมการที่ (3.43) เราสามารถนำมาสร้างโบคพล็อต (เกน) และโบคพล็อต (เฟส) ที่จะนำมาแสดงได้ดังรูปที่ 3.21 และ 3.22



เอกสารนี้เป็นเอกสารที่สงวนไว้สำหรับการใช้งานเพื่อการศึกษาเท่านั้น ไม่อนุญาตให้นำไปใช้ประโยชน์ด้านการค้า ไม่ว่าจะกรณีใดๆ ทั้งสิ้น อีกทั้งห้ามมิให้ดัดแปลงเนื้อหา และต้องอ้างอิงถึงเจ้าของเอกสารทุกครั้งที่มีการนำไปใช้



รูปที่ 3.21 โบนล๊อต (เกน) ของระบบเมื่อมีตัวควบคุมเป็นแบบ PI จากสมการที่ 3.43

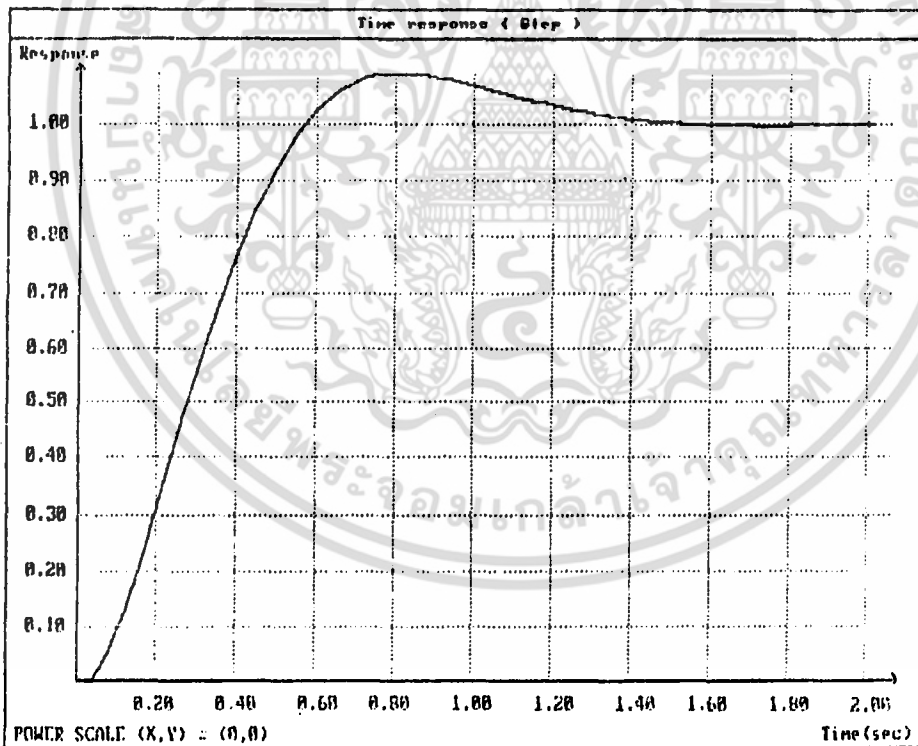


รูปที่ 3.22 โบนล๊อต (เฟส) ของระบบเมื่อมีตัวควบคุมเป็นแบบ PI จากสมการที่ 3.43

เอกสารนี้เป็นเอกสารที่สงวนไว้สำหรับการใช้งานเพื่อการศึกษาเท่านั้น ไม่อนุญาตให้นำไปใช้ประโยชน์ด้านการค้า ไม่ว่าจะกรณีใดๆ ทั้งสิ้น อีกทั้งห้ามมิให้ดัดแปลงเนื้อหา และต้องอ้างอิงถึงเจ้าของเอกสารทุกครั้งที่มีการนำไปใช้

จากสมการที่ (3.43) เราสามารถนำระบบในส่วนของการควบคุมความเร็วมอเตอร์แบบ PI ที่ อยู่ภายในรูป $G(s)H(s)$ ที่ใช้ในการสร้างโพลลีด (เกน) และโพลลีด (เฟส) นำมาใช้ในการ สร้างระบบที่ใช้ในส่วนที่มีการควบคุมความเร็วมอเตอร์ โดยเรานำระบบมาแปลงให้อยู่ภายในรูปแบบ ตามสมการที่ (3.44) เพื่อที่เราสามารถนำมาใช้ในการแปลงระบบการควบคุมความเร็วมอเตอร์แบบ PI ดังที่เราสามารถแปลงค่าได้ดังสมการที่ (3.44) ที่ความถี่ 170 rad/sec ของระบบจะมีเกน 0 dB และเฟส -120 องศา ตามต้องการซึ่งเราสามารถนำไปสร้างผลตอบสนองของระบบ PI ที่ สมบูรณ์ได้ดังรูปที่ 3.23

$$\frac{G(s)}{1+G(s)H(s)} = \frac{24326.110s^2 + 74386.086s + 414.525}{s^3 + 32835.383s^2 + 74540.703s + 414.525} \quad (3.44)$$



รูปที่ 3.23 ผลตอบสนองการจำลองระบบการควบคุมความเร็วที่ซีมอเตอร์ ที่มีตัวควบคุมเป็นแบบ PI จากสมการที่ 3.44

3.9.3 การจำลองแบบข้อมูลที่ใช้ในการควบคุมตำแหน่งมอเตอร์ ^{๑๑}

ในส่วนของการจำลองข้อมูลในส่วนนี้เราจะนำมาทำการจำลอง ในส่วนที่มีการควบคุมตำแหน่งของมอเตอร์ ในส่วนของการออกแบบตัวควบคุมให้ดีที่สุด เราต้องคำนึงถึงวิธีการคำนวณหาค่าพารามิเตอร์ที่เหมาะสม ของตัวควบคุมตำแหน่งโดยอาศัยวิธีการของโบทพล็อตตัวควบคุมที่ออกแบบได้ 2 ชนิด

3.9.3.1 ตัวควบคุมปรับรอบรชันนัลอินทิกรัลดีริเวทีฟ (PID)

ขั้นตอนของการออกแบบตัวควบคุม PID ในการควบคุมตำแหน่งมอเตอร์ โดยเราจะพิจารณาจากระบบจะหาค่าความถี่ที่ค่าเกนเป็นหนึ่ง (ω_u) ได้จากค่าความถี่ที่เฟสเดิมมีค่าเท่ากับ -120 องศา แต่สำหรับในส่วนการควบคุม PID ที่มีค่าของเฟสลีด ω_u อยู่ 45 องศา ดังนั้นจากโบทพล็อตของระบบถ้าเรากำหนดให้เฟสมาร์จินของระบบที่ต้องการเท่ากับ 15 องศา แล้วใช้โบทพล็อตของระบบพิจารณาค่าความถี่ที่เหมาะสม ω_c ของระบบโดยทำการเพิ่มหรือลดค่าอัตราขยายสูงสุดได้โดยค่าความแตกต่างของเกนของระบบ K_u ที่ต่างไปจากเดิม 0 dB จะเป็นค่าอัตราขยายสูงสุดของระบบ $K_{cu} = -K_u$ โดยเรากำหนดค่าความถี่การอินทิกรัลเตอร์ ω_i ให้ค่าประมาณ 10% ของ ω_u เพื่อไม่ให้ผลไปเพิ่มที่เฟสลีดค่าความถี่ ω_u จากค่า ω_c จะหาค่าพารามิเตอร์รีเซทไทม์ (τ_{ri}) ได้เท่ากับ $1/\omega_i$ พร้อมทั้งกำหนดในส่วนของ $\omega_d = \omega_c$ ดังนั้นค่าพารามิเตอร์เดอริเวทีฟไทม์คอนสแตนท์ (τ_{rd}) เท่ากับ τ_{ri} ดังนั้นอัตราการขยายตัวควบคุมแบบ PID จะได้เป็น $K_{cu}(1+e\tau_{ri})(1+e\tau_{rd})/e\tau_{ri}$ ในส่วนที่มีการควบคุมตำแหน่งมอเตอร์โดยมีการกำหนดค่าเฟสลีดของระบบอยู่ 42.372 องศา จะทำการเลือกค่า ω_u จากโบทพล็อตเฟสของระบบที่มีค่าการเลื่อนเฟส -162.372 องศา จะได้ค่า ω_u ประมาณ 34.262 rad/sec ที่ความถี่นี้เกนของระบบมีค่า -30.285 dB หรือจะได้ $K_{cu} = 32.677$ ต่อไปให้ $\omega_i = -3.028$ ($\omega_i = 10\% \omega_u$) และเราจะกำหนดให้ $\omega_d = \omega_u$ จะได้ $\omega_d = 30.285$ เพื่อที่จะนำมาหาค่าพารามิเตอร์ปรับรอบรชันนัลรีเซทไทม์ (τ_{ri}) จะได้เป็น $\tau_{ri} = 0.33$ rad/sec ($\tau_{ri} = 1/\omega_i$) และหาค่าพารามิเตอร์เดอริเวทีฟคอนสแตนท์ (τ_{rd}) จะได้เป็น $\tau_{rd} = 0.033$ rad/sec ($\tau_{rd} = 1/\omega_d$) เพื่อที่จะนำมาใช้ในการออกแบบ $K_{cu} = 99.021$ ($K_{cu} = K_{cu}/\tau_{ri}$) และ $K_{cu} = 1.078$ ตามลำดับ

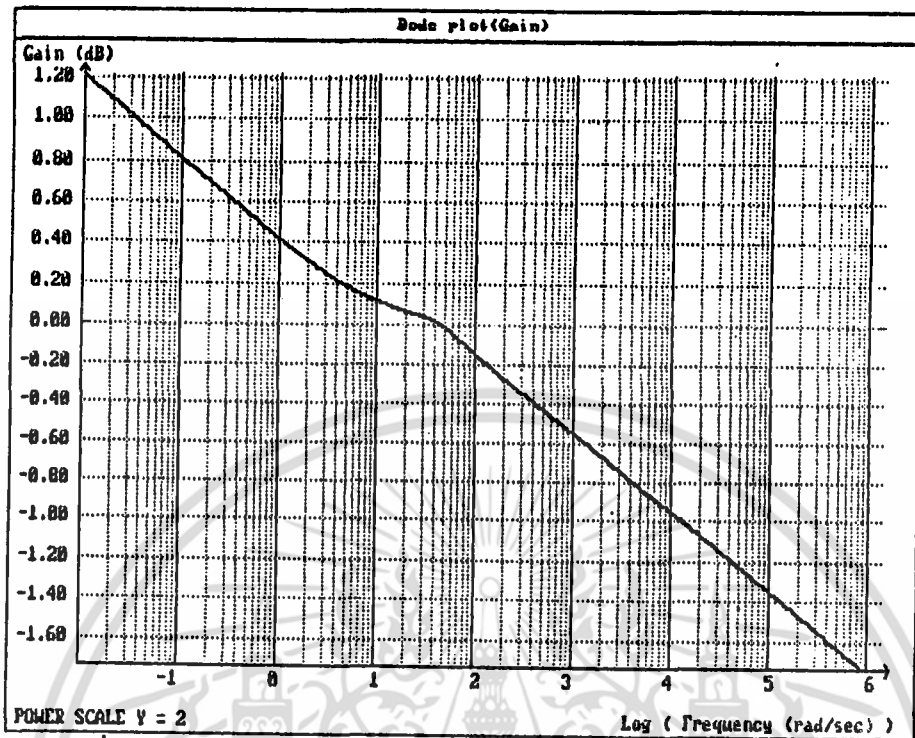
เอกสารนี้เป็นเอกสารที่สงวนไว้สำหรับการใช้งานเพื่อการศึกษาเท่านั้น ไม่อนุญาตให้นำไปใช้ประโยชน์ด้านการค้า ไม่ว่าจะกรณีใดๆ ทั้งสิ้น อีกทั้งห้ามมิให้ดัดแปลงเนื้อหา และต้องอ้างอิงถึงเจ้าของเอกสารทุกครั้งที่มีการนำไปใช้

$$\text{ตัวควบคุม PID} = \frac{32.6775+99.021+1.078s^2}{s} \quad (3.45)$$

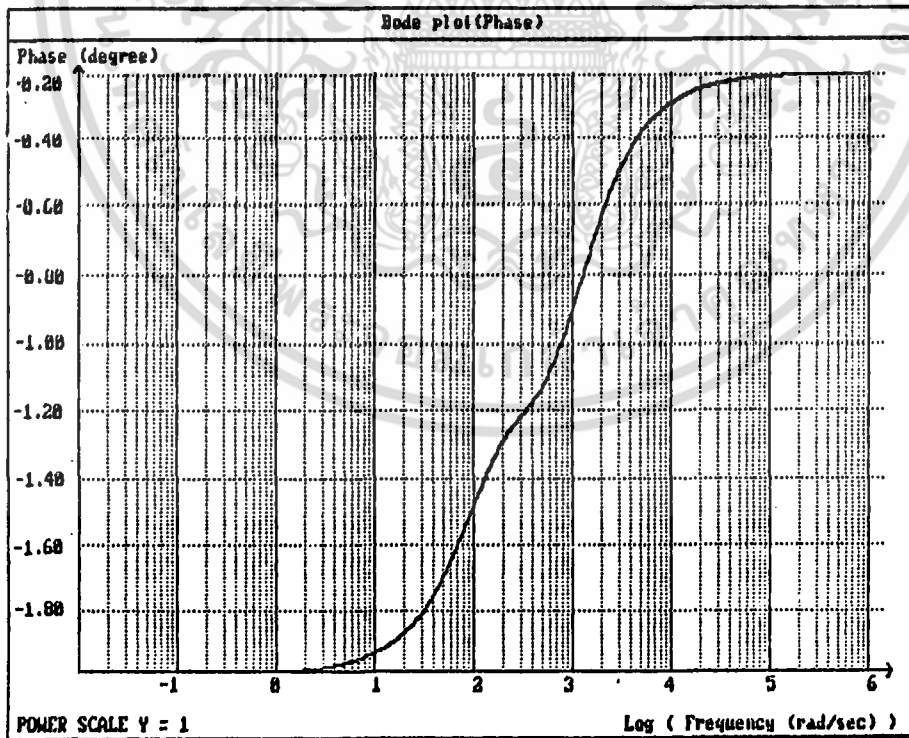
นำสมการที่ (3.45) ภายในระบบการควบคุมในส่วนของการควบคุมความเร็วมอเตอร์เราสามารถนำมาใช้ในการสร้างค่าในส่วนของการควบคุมตำแหน่งมอเตอร์จากสมการที่ (3.46) เพื่อที่เราจะนำมาวิเคราะห์ระบบการควบคุมตั้งค่าเกินตัวควบคุมแบบ PID ดังนั้นระบบการควบคุมตำแหน่งมอเตอร์ PID จะเป็นดังต่อไปนี้

$$\begin{aligned} G(s)H(s) & (\text{ตัวควบคุม PID}) \\ &= \frac{(1.078s^2+32.6775+99.021)}{30s^2} \frac{(24326.110s^2+74389.086s+414.625)}{s^2+32835.383s^2+74540.703s+414.525} \\ &= \frac{874.118s^4+29169.857s^3+161335.159s^2+245987.572s+1368.223}{s^2(s^2+32835.383s^2+74540.703s+414.525)} \quad (3.46) \end{aligned}$$

จากสมการที่ (3.46) เราสามารถนำมาสร้างโพลล์ล็อต (แกน) และโพลล์ล็อต (เฟส) ที่จะได้ดังรูปที่ 3.24 และ 3.25



รูปที่ 3.24 โบทพล็อต (เกน) ของระบบเมื่อมีตัวควบคุมเป็นแบบ PID จากสมการที่ 3.46

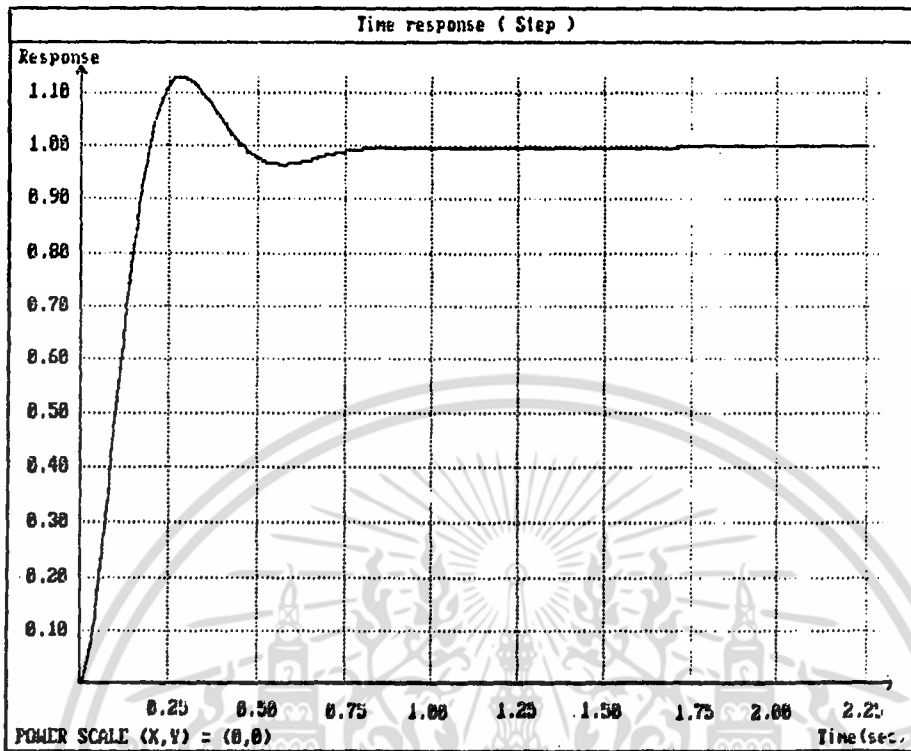


รูปที่ 3.25 โบทพล็อต (เฟส) ของระบบเมื่อมีตัวควบคุมเป็นแบบ PID จากสมการที่ 3.46

เอกสารนี้เป็นเอกสารที่สงวนไว้สำหรับการใช้งานเพื่อการศึกษาเท่านั้น ไม่อนุญาตให้นำไปใช้ประโยชน์ด้านการค้า ไม่ว่าจะกรณีใดๆ ทั้งสิ้น อีกทั้งห้ามมิให้ดัดแปลงเนื้อหา และต้องอ้างอิงถึงเจ้าของเอกสารทุกครั้งที่มีการนำไปใช้

การจำลองข้อมูลเราจะมีค่าปรับค่าเกน PID ค่าใหม่เพื่อให้ระบบที่ได้ออกมาเหมาะสมยิ่งขึ้นโดยเราจะทำการจำลองปรับค่าตัวเลข ที่เราสามารถแยกการจำลองข้อมูลได้จากค่าสมการที่ (3.46) นำมาหาค่าหาค่าความถี่ 170 rad/sec ของระบบจะมีเกน 0 dB และเฟส -162.372 องศา ตามต้องการจากรูปที่ 3.24 และ 3.25 ซึ่งเราสามารถนำไปสร้างผลตอบสนองของระบบ PID ได้ดังรูปที่ 3.26 โดยจะมีการหาค่าเกน PID ในช่วงที่ใช้การควบคุมตำแหน่งของมอเตอร์ จะเป็นส่วนของการจำลองค่าเกน $K_{p,u} = 32.677$ $K_{i,u} = 99.021$ และ $K_{d,u} = 1.078$ โดยการนำสมการที่ (3.45) เราสามารถนำระบบที่ใช้ในส่วนของการควบคุมตำแหน่งมอเตอร์แบบ PID ที่อยู่ภายในรูปสมการ $G(s)H(s)$ ที่ใช้ในการสร้างโบดพล็อต (เกน) และโบดพล็อต (เฟส) นำมาใช้ในการสร้างระบบที่ใช้ในส่วนที่มีการควบคุมตำแหน่งมอเตอร์ โดยเรานำระบบมาแปลงให้อยู่ภายในรูปแบบตามสมการที่ (3.47) เพื่อที่เราสามารถนำมาใช้ในการแปลงระบบการควบคุมตำแหน่งมอเตอร์แบบ PID ดังที่เราสามารถแปลงค่าได้ดังสมการที่ (3.47) ความถี่ 170 rad/sec ของระบบจะมีเกน 0 dB และเฟส -120 องศา ตามต้องการซึ่งเราสามารถนำไปสร้างผลตอบสนองของระบบ PID ที่สมบูรณ์ได้ดังรูปที่ 3.26

$$\frac{G(s)}{1+G(s)H(s)} = \frac{874.118s^4 + 29169.857s^3 + 161335.159s^2 + 245987.572s + 1368.223}{s^5 + 33709.501s^4 + 103710.565s^3 + 161749.684s^2 + 245987.572s + 1368.223} \quad (3.47)$$



รูปที่ 3.26 ผลตอบสนองการจำลองระบบการควบคุมตำแหน่งดีซีมอเตอร์ ที่มีตัวควบคุมเป็นแบบ PID จากสมการที่ 3.47

3.9.3.2 ตัวควบคุมปรับพอร์ซันัลติริเวทึฟ (PD)

ขั้นตอนของการออกแบบตัวควบคุม PD ในการควบคุมตำแหน่งมอเตอร์ โดยเราจะพิจารณาจากระบบจะหาค่าความถี่ที่ค่าเกินเป็นหนึ่ง ω_u ได้จากค่าความถี่ที่เฟสเดิมมีค่าเท่ากับ -120 องศา สำหรับในส่วนการควบคุม PD ที่มีค่าของเฟสลีด ω_d อยู่ 45 องศา เราควรกำหนดเฟสมาร์จินของระบบที่ต้องการเท่ากับ 15 องศา แล้วใช้โบดพล็อตของระบบพิจารณาความถี่ที่เหมาะสม (ω_u) ของระบบ โดยทำการเพิ่มหรือลดค่าอัตราขยายสูงสุดได้โดยค่าความแตกต่างของเกนของระบบ K_u ที่ต่างไปจากเดิม 0 dB จะเป็นค่าอัตราขยายสูงสุดของระบบ $K_{u,1} = -K_u$ โดยเรากำหนดค่าความถี่ในส่วนของ $\omega_u = \omega_d$ ดังนั้นค่าพารามิเตอร์เดอริเวทึฟใหม่คอนสแตนท์ ($\tau_{d,1}$) ดังนั้นอัตราขยายตัวควบคุมแบบ PD จะได้เป็น $K_{u,1}(1+s\tau_{d,1})$ ในส่วนที่มีการควบคุมตำแหน่งมอเตอร์โดยมีการกำหนดค่าเฟสลีดของระบบอยู่ 42.372 องศา จะทำการเลือกค่า ω_u จากโบดพล็อตเฟสของระบบที่มีค่าการเลื่อนเฟส

เอกสารนี้เป็นเอกสารที่สงวนไว้สำหรับการใช้งานเพื่อการศึกษาเท่านั้น ไม่อนุญาตให้นำไปใช้ประโยชน์ด้านการค้า ไม่ว่าจะกรณีใดๆ ทั้งสิ้น อีกทั้งห้ามมิให้ดัดแปลงเนื้อหา และต้องอ้างอิงถึงเจ้าของเอกสารทุกครั้งที่มีการนำไปใช้

-162.372 องศา จะได้ค่า ω_c ประมาณ 34.262 rad/sec ที่ความถี่นี้เกนของระบบมีค่า -30.285 dB หรือจะได้ $K_{p1} = 32.677$ ต่อไปให้ $\omega_c = \omega_u$ จะได้ $\omega_u = 30.285$ เพื่อที่จะนำมาหาค่าพารามิเตอร์เดอริเวทีฟคอนสแตนท์ (τ_{d1}) จะได้เป็น $\tau_{d1} = 0.033$ rad/sec ($\tau_{d1} = 1/\omega_u$) เพื่อที่จะนำมาใช้ในการออกแบบ และ $K_{d1} = 1.078$ ตามลำดับ

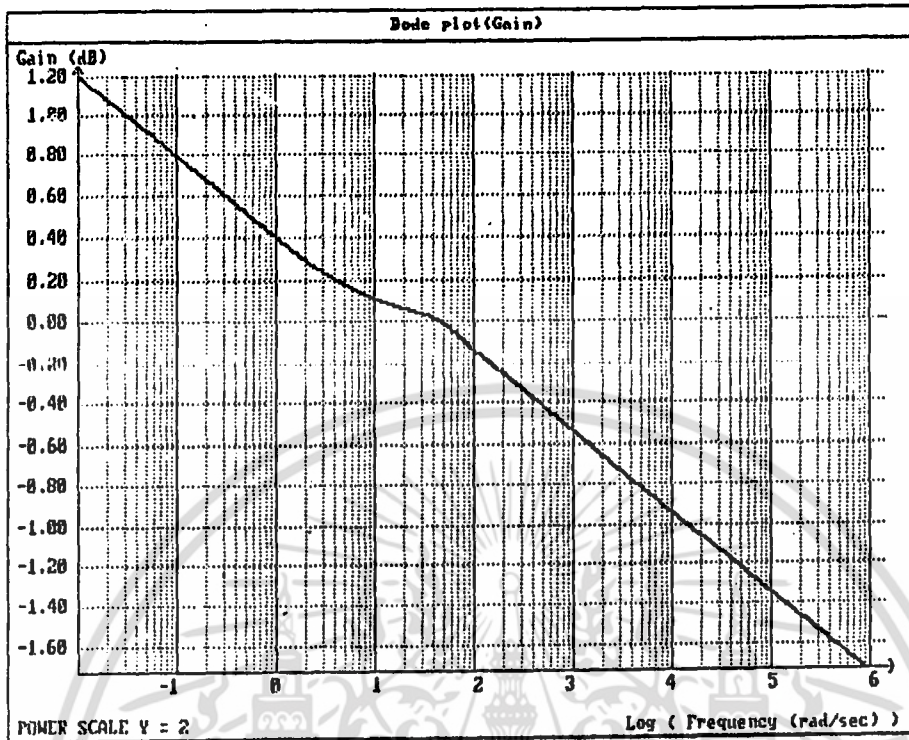
$$\text{ตัวควบคุม PD} = 32.677 + 1.078s \quad (3.48)$$

นำสมการที่ (3.48) ภายในระบบการควบคุมในส่วนของการควบคุมความเร็วมอเตอร์เราสามารถนำมาใช้ในการสร้างค่าในส่วนของการควบคุมตำแหน่งมอเตอร์จากสมการที่ (3.49) เพื่อที่เราจะนำมาวิเคราะห์ระบบการควบคุมตั้งค่าเกนตัวควบคุมแบบ PD ดังนั้นระบบการควบคุมตำแหน่งมอเตอร์ PD จะเป็นดังต่อไปนี้

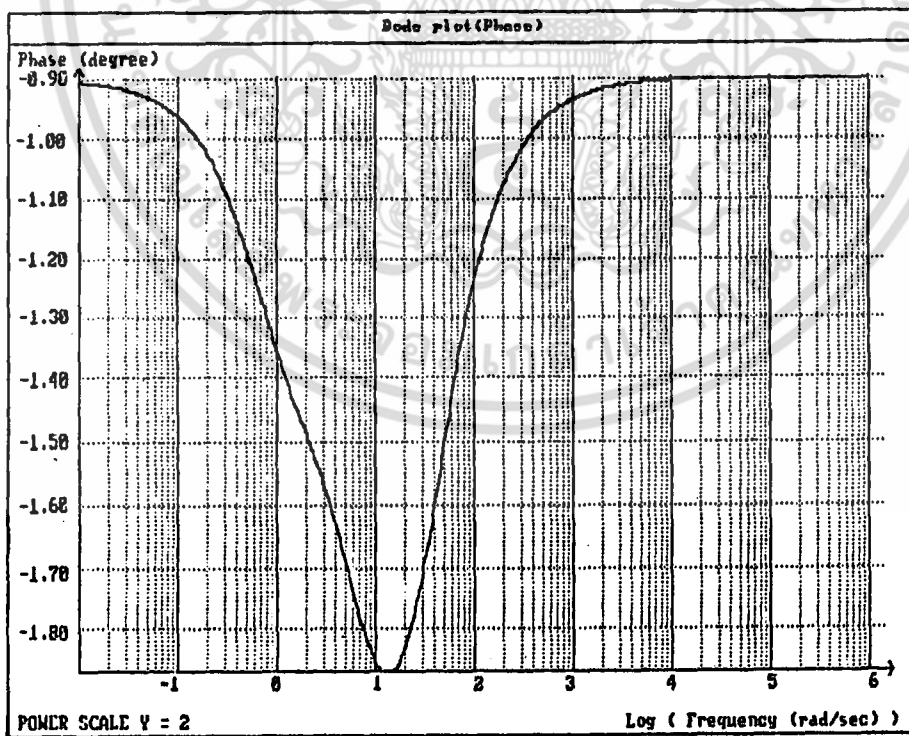
$$G(s)H(s) (\text{ตัวควบคุม PD}) = \frac{(1.078s + 32.677)(24326.110s^2 + 74389.086s + 414.525)}{30s^3 + 32835.383s^2 + 74540.703s + 414.525}$$

$$= \frac{874.118s^3 + 29169.857s^2 + 81041.967s + 451.514}{s(s^3 + 32835.383s^2 + 74540.703s + 414.525)} \quad (3.49)$$

จากสมการที่ (3.49) เราสามารถนำมาสร้างโพลล้อย (เกน) และโพลล้อย (เฟส) ที่จะได้ดังรูปที่ 3.27 และ 3.28



รูปที่ 3.27 โพลพล็อต (เกน) ของระบบเมื่อมีตัวควบคุมเป็นแบบ PD จากสมการที่ 3.49

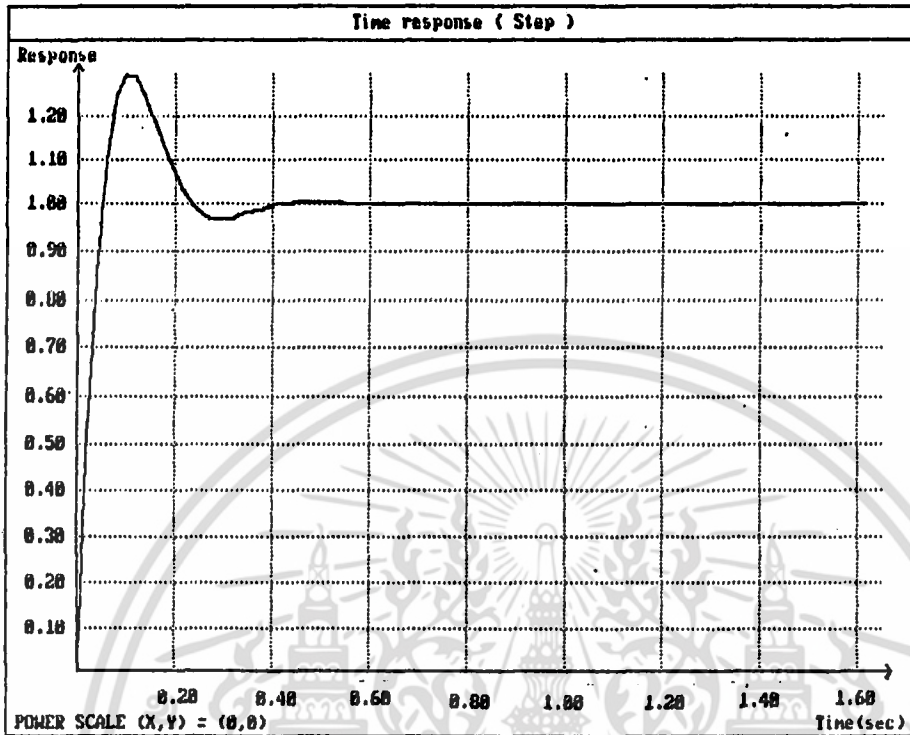


รูปที่ 3.28 โพลพล็อต (เฟส) ของระบบเมื่อมีตัวควบคุมเป็นแบบ PD จากสมการที่ 3.49

เอกสารนี้เป็นเอกสารที่สงวนไว้สำหรับการใช้งานเพื่อการศึกษาเท่านั้น ไม่อนุญาตให้นำไปใช้ประโยชน์ด้านการค้า ไม่ว่าจะกรณีใดๆ ทั้งสิ้น อีกทั้งห้ามมิให้ดัดแปลงเนื้อหา และต้องอ้างอิงถึงเจ้าของเอกสารทุกครั้งที่มีการนำไปใช้

การจำลองข้อมูลเราจะมีการปรับค่าเกน PD ค่าใหม่เพื่อให้ระบบที่ได้ออกมาเหมาะสมยิ่งขึ้นโดยเรา จะทำการจำลองปรับค่าตัวเลข ที่เราสามารถแยกการจำลองข้อมูลได้จากค่าสมการที่ (3.49) นำมา เชื่หาค่าหาค่าความถี่ 170 rad/sec ของระบบจะมีเกน 0 dB และเฟส -162.372 องศา ตาม ต้องการจากรูปที่ 3.27 และ 3.28 ซึ่งเราสามารถนำไปสร้างผลตอบสนองของระบบ PD ได้ดังรูป ที่ 3.29 โดยจะมีการเชื่หาค่าเกน PD ในช่วงที่ใช้การควบคุมตำแหน่งของมอเตอร์ จะเป็นส่วนของ การจำลองค่าเกน $K_{p1} = 32.677$ $K_{p2} = 1.078$ โดยการนำสมการที่ (3.49) เราสามารถนำ ระบบที่ใช้ในส่วนของการควบคุมตำแหน่งมอเตอร์แบบ PD ที่อยู่ภายในรูปสมการ $G(s)H(s)$ ที่ใช้ในการ สร้างโบคพล็อต (เกน) และโบคพล็อต (เฟส) นำมาใช้ในการสร้างระบบที่ใช้ในส่วนที่มีการควบคุม ตำแหน่งมอเตอร์ โดยเรานำระบบมาแปลงให้อยู่ภายในรูปแบบตามสมการที่ (3.50) เพื่อที่เรา สามารถนำมาใช้ในการแปลงระบบการควบคุมตำแหน่งมอเตอร์แบบ PD ดังที่เราสามารถแปลงค่าได้ ดังสมการที่ (3.50) ความถี่ 170 rad/sec ของระบบจะมีเกน 0 dB และเฟส -120 องศา ตาม ต้องการซึ่งเราสามารถนำไปสร้างผลตอบสนองของระบบ PD ที่สมบูรณ์ได้ดังรูปที่ 3.29

$$\frac{G(s)}{1+G(s)H(s)} = \frac{874.118S^3 + 29169.8575S^2 + 81041.9675S + 451.514}{S^4 + 33709.5015S^3 + 103710.565S^2 + 81456.4925S + 451.514} \quad (3.50)$$



รูปที่ 3.29 ผลตอบสนองการจำลองระบบการควบคุมตำแหน่งดีซีมอเตอร์ ที่มีตัวควบคุมเป็นแบบ PD จากสมการที่ 3.50

จากการวิเคราะห์ของระบบเซอร์โวมอเตอร์ที่ใช้สำหรับการควบคุมตำแหน่ง เรานอกที่จะสรุปได้ว่า ระบบที่มีการป้อนกลับความเร็วรอบ และเทอร์คจะมีผลทำให้ความเร็วในการตอบสนองของระบบจะดีขึ้น รวมทั้งเสถียรภาพของระบบจะดีขึ้นอย่างมาก โดยในการทำวิทยานิพนธ์เราได้ใช้ตัวควบคุมที่เป็นการควบคุมความเร็วแบบ PI และควบคุมตำแหน่งแบบ PID และ PD ที่ช่วยในการแก้ปัญหาค่าออฟเซ็ทของระบบลงได้ ในขณะที่เราจะมีการจำลองระบบต่างๆที่ได้จากระบบของมอเตอร์ ทั้งส่วนที่มีการจำลองระบบการควบคุมความเร็ว และระบบการควบคุมตำแหน่งมอเตอร์

บทที่ 4

ระบบควบคุมตำแหน่งติซึมอเตอร์

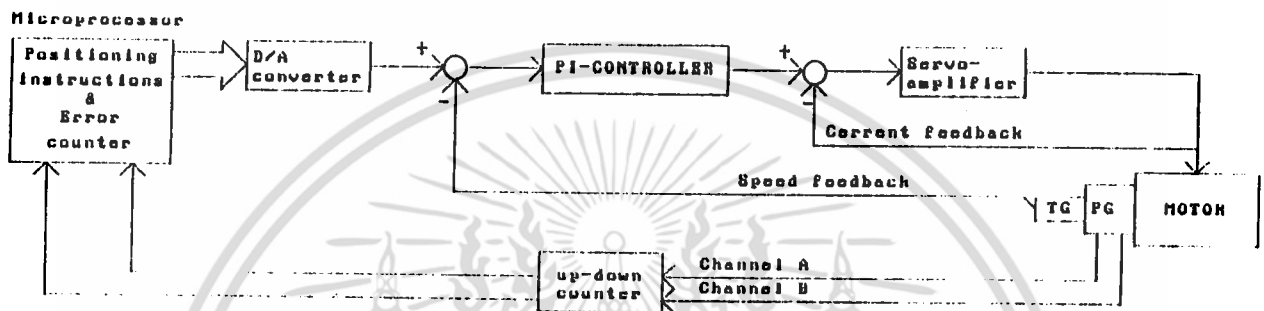
4.1 บทนำ

ในบทนี้เราจะกล่าวถึงการออกแบบประยุกต์ใช้กับการควบคุมความเร็วติซึมอเตอร์แบบกระแสตรงที่ใช้ในขณะนี้มีอยู่ด้วยกันหลายวิธี แต่ที่จะนำมากล่าวในการทำวิทยานิพนธ์นี้เราจะขอกกล่าวถึงการพัฒนาระบบการควบคุมความเร็วมอเตอร์แบบ PI โดยในส่วนนี้เราจะแสดงการสร้างและการวิเคราะห์วงจรที่ใช้ทางเทคนิคทางอานาลอก ที่แสดงผลจากสมการตัวควบคุมที่นำมาใช้ในระบบควบคุมโรงงาน พร้อมทั้งแสดงถึงการออกแบบระบบควบคุมตัวแปรโดยที่ตัวควบคุมมีอยู่ 2 อินพุตที่เรียกว่าจุดตั้ง (SP) และตัวแปรสัญญาณอินพุตอีกตัวเรียกว่าค่าที่ได้จริงจากการออกแบบซีอนแวร์์ของตัวแปรที่เรียกว่าตัวแปรกระบวนการ (PV) เพื่อนำมาสร้างสัญญาณค่าผิดพลาด (E) เพื่อที่ใช้ในการควบคุมตัวแปรแบบ PI ต่อไปถ้าเรามีการเปลี่ยนแปลงตัวควบคุมในจุดตั้ง (SP) ตัวแปรตัวแปรกระบวนการ (PV) หรือค่าโหลดก็จะมีการเปลี่ยนแปลงในเอาท์พุทของตัวควบคุมที่ใช้วงจรขั้วแบบพัลส์ว้ดท์โมดูละชั่น (PWM) คอนเวอร์เตอร์ ที่ถูกสร้างขึ้นจากออปแอมป์ที่ทำหน้าสร้างสัญญาณพัลส์ขึ้นมาที่ควบคุมได้ทั้งตำแหน่งและทิศทางแบบสี่ควอเตอร์ ในส่วนของวงจรกำลังในที่นี้เราจะขอกกล่าวถึงการออกแบบในวงจรสวิทช์แบบบริดจ์สมบรูณ์ ที่ทำงานด้วยทรานซิสเตอร์จะใช้ในระบบการควบคุมที่มีประสิทธิภาพสูงภายในระบบเซอร์โว ที่มีลักษณะการทำงานแบบไบโพลาร์โหมดพร้อมทั้งมีการออกแบบวงจรการป้อนกลับในลักษณะต่างๆ ทั้งแบบการป้อนกลับกระแส ทาโคเจนเนอเรเตอร์ที่นำมาใช้ในการสร้างสัญญาณค่าผิดพลาดที่ใช้ในการควบคุมความเร็วที่ถูกสร้างขึ้นภายในวงจรอานาลอกและพัลส์ เจเนอเรเตอร์ที่นำมาประยุกต์ใช้งานในส่วนที่ใช้ควบคุมตำแหน่งภายในไมโครโปรเซสเซอร์ในแต่ละลักษณะต่อไป

4.2 ส่วนประกอบของชุดควบคุมความเร็วติซึมอเตอร์

จากรูปที่ 4.1 เราจะแสดงส่วนของบล็อกไดอะแกรมของระบบควบคุมตำแหน่งที่ใช้ติซึมอเตอร์ที่นำมาใช้สำหรับศึกษาทางปฏิบัตินำมาประยุกต์ใช้ทางด้านไมโครโปรเซสเซอร์ ที่นำมาใช้ในการควบคุมตำแหน่ง PID ในส่วนของวงจรชุดควบคุมความเร็วที่เรานำมาประยุกต์แบบวงจรอานาลอกที่ใช้แบบ PI เอกสารนี้เป็นเอกสารที่สงวนไว้สำหรับการใช้งานเพื่อการศึกษาเท่านั้น ไม่อนุญาตให้นำไปใช้ประโยชน์ด้านการค้า ไม่ว่าจะกรณีใดๆ ทั้งสิ้น อีกทั้งห้ามมิให้ดัดแปลงเนื้อหา และต้องอ้างอิงถึงเจ้าของเอกสารทุกครั้งที่มีการนำไปใช้

ตัวควบคุม นำมาควบคุมแบบใช้สัญญาณแบบ PWM เป็นตัวควบคุมชุดขับเซอร์โวมอเตอร์เพื่อที่จะนำไปเข้าสู่จอร์สวิทซึ่งเซอร์โวแอมป์ที่นำไปใช้ในการควบคุมทั้งทิศทางและความเร็วติซึมอเตอร์ จากนั้นจะนำสัญญาณการป้อนกลับจากพัลส์เจนเนอเรเตอร์ ที่ถูกป้อนกลับเข้ามายังส่วนไมโครโปรเซสเซอร์ เพื่อที่นำมาสร้างสัญญาณค่าผิดพลาด ที่นำมาใช้เข้าสู่ระบบควบคุมตำแหน่ง PID และนำสัญญาณที่ได้มา



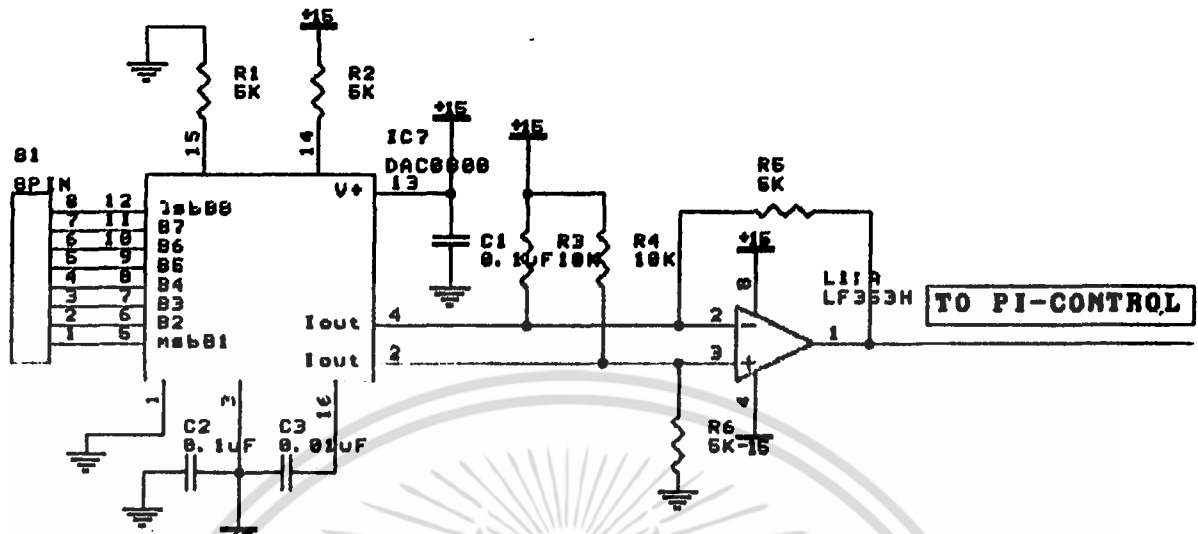
รูปที่ 4.1 บล็อกไดอะแกรมของระบบควบคุมตำแหน่งของติซึมอเตอร์ซึ่งมี uP เป็นตัวควบคุม

มาทำการอินเทอร์รัพท์ ที่ใช้ในการกำหนดทิศทางของมอเตอร์ที่ถูกเขียนขึ้นโดยไมโครโปรเซสเซอร์ หรือนั่นจะมีการนำสัญญาณการป้อนกลับมาจากสัญญาณทาคิเจนเนอเรเตอร์ นำมาสร้างสัญญาณค่าผิดพลาดในส่วนของชุดควบคุมความเร็วแบบ PI พร้อมกับนำสัญญาณจากการป้อนกลับกระแสที่เข้าสู่ชุดควบคุมมอเตอร์ต้องการทำให้ระบบมีเสถียรภาพยิ่งขึ้น

4.3 การออกแบบวงจรการแปลงดิจิตอลเป็นอนาลอก

วงจรที่เปลี่ยนข้อมูลดิจิตอลเป็นสัญญาณอนาลอก พร้อมทั้งมีการนำมาข้อมูลแปลงเข้าสู่อปแอมป์ที่ทำหน้าที่แปลงออกมาเป็นโวลต์เตจดังรูปที่ 4.2 โดยลักษณะการต่อดังรูปจะสามารถมีแรงดันออกมาได้ทั้งแรงดันบวก ($+V_{ref}$) และแรงดันลบ ($-V_{ref}$) โดยที่เราจะนำข้อมูลดิจิตอลผ่านมาทางเอาต์พุตพอร์ต A ของ 8255 ที่ให้สัญญาณเป็นอนาลอก ซึ่งขนาดของสัญญาณดิจิตอลเป็นตัวบอกระดับความเร็วของมอเตอร์ที่ได้ ซึ่งสัญญาณอนาลอกที่บิตบนสุด (MSB) เป็นตัวกำหนดทิศทางของมอเตอร์ นำแรงดันที่ได้จากส่วนของอปแอมป์ L1 ผ่านเข้าไปสู่ในชุดควบคุม PI ที่ใช้ในการควบคุมมอเตอร์ต่อไป

เอกสารนี้เป็นเอกสารที่สงวนไว้สำหรับการใช้งานเพื่อการศึกษาเท่านั้น ไม่อนุญาตให้นำไปใช้ประโยชน์ด้านการค้า ไม่ว่ากรณีใดๆ ทั้งสิ้น อีกทั้งห้ามมิให้ดัดแปลงเนื้อหา และต้องอ้างอิงถึงเจ้าของเอกสารทุกครั้งที่มีการนำไปใช้



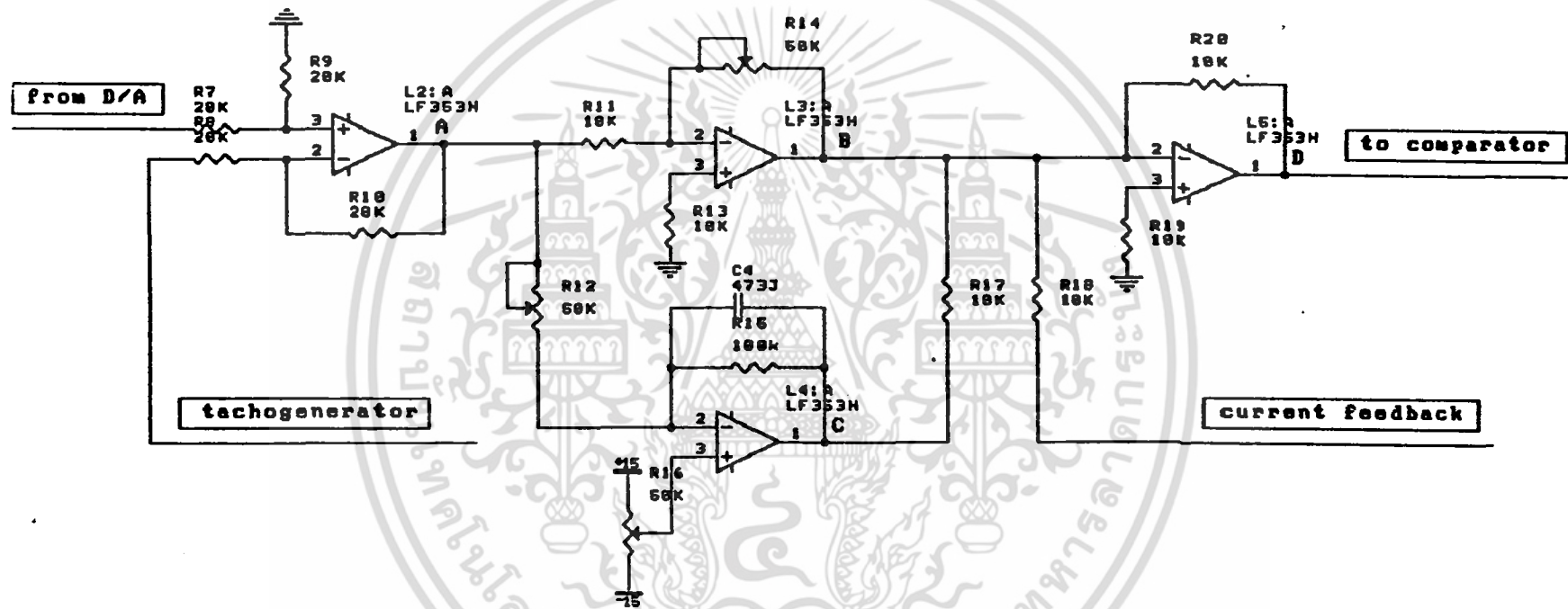
รูปที่ 4.2 การแปลงสัญญาณดิจิทัลเป็นอนาลอกที่ให้เอาต์พุตเป็นได้ทั้งโวลต์เตจบวกและลบ

4.4 การออกแบบวงจรระบบควบคุมความเร็วดีซีมอเตอร์

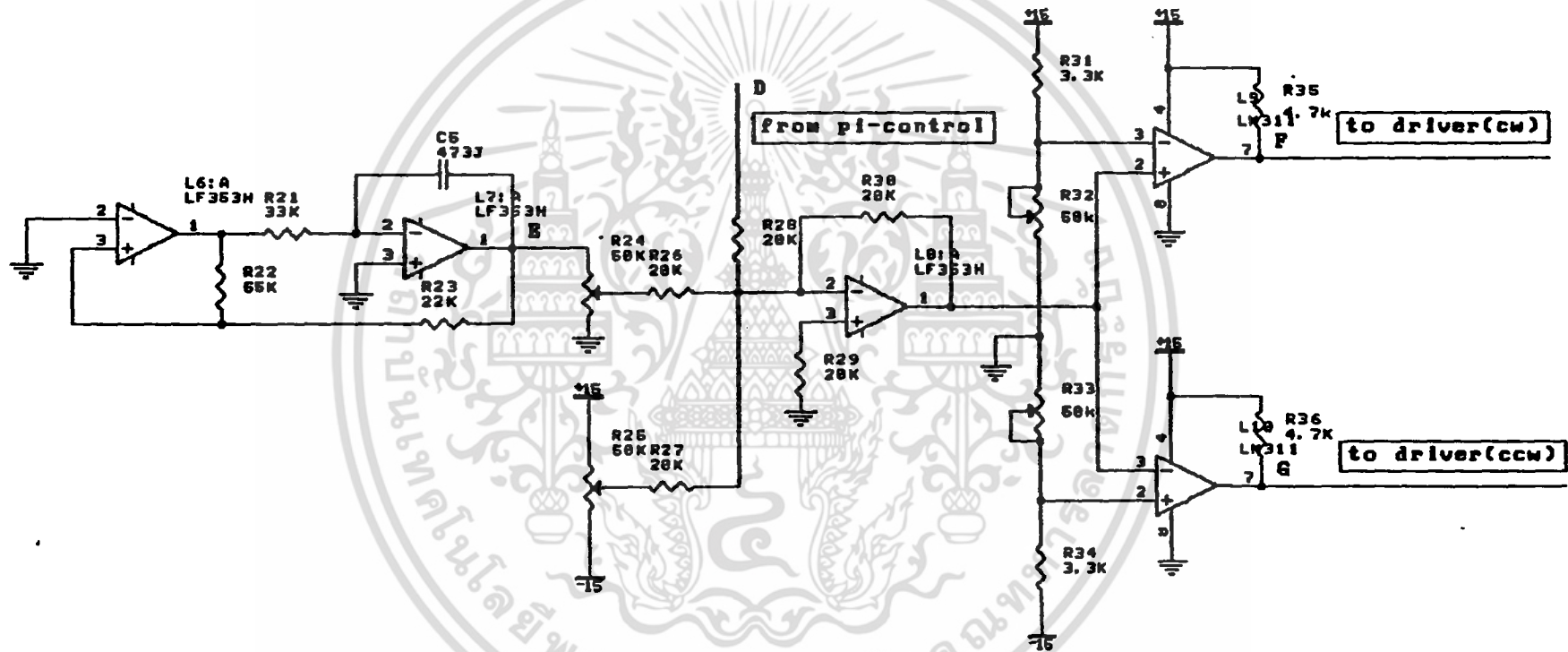
ในการออกแบบวงจรการควบคุมมอเตอร์แต่ละตัวจะมีจุดมุ่งหมายที่แตกต่างกัน โดยที่ออปแอมป์ตัวแรกจะทำหน้าที่เป็นดิฟเฟอเรนซ์แอมป์ปรีไฟล์ โดยจะได้รับสัญญาณมาจากแรงดันที่ได้จากการแปลงสัญญาณดิจิทัลเป็นอนาลอก (D/A) V_o พร้อมทั้งรับสัญญาณการป้อนกลับแรงดัน V_- มาจากทาคิเจนเนอเรเตอร์ผ่านเข้าสู่ออปแอมป์ L2 จะปรากฏว่าแรงดันที่จุด A เป็น $(V_o - V_-)$ จากนั้นจะนำแรงดันที่จุด A ผ่านเข้าสู่ออปแอมป์ L2 และ L3 โดยจะนำไปทำหน้าที่เป็นปรีออปฟอ์ซันแนลและอินทิกรัลตามลำดับ ดังรูปที่ 4.3 แรงดันที่จุด B เป็น $K_u (V_o - V_-)$ และแรงดันที่จุด C เป็น $K_{\int} (V_o - V_-) dt$ จากนั้นจะนำสัญญาณแรงดันที่ได้เข้าสู่ออปแอมป์ L5 ที่ทำหน้าที่เป็นดิฟเฟอเรนซ์แอมป์ปรีไฟล์ โดยทำหน้าที่รับแรงดันที่จุด B และ จุด C พร้อมทั้งรับแรงดันการป้อนกลับจากกระแสย้อนกลับ V_c ผ่านเข้าสู่ออปแอมป์ L5 ที่ทำหน้าที่เป็นดิฟเฟอเรนซ์แอมป์ปรีไฟล์ เราจะได้รับแรงดันที่จุด D เป็น $K_u (V_o - V_-) + K_{\int} (V_o - V_-) + V_c$ โดยที่จะนำแรงดันที่จุดนี้ไปใช้ในการควบคุมมอเตอร์ต่อไป

4.5 การออกแบบวงจรสร้างสัญญาณความถี่

ในส่วนของการออกแบบในวงจรสร้างสัญญาณความถี่ดังรูปที่ 4.4 จากในส่วนของวงจรมัน เราได้รับแรงดันที่จุด D จากรูปที่ 4.3 พร้อมทั้งรับแรงดันที่ได้จากโครงสร้างการสร้างสัญญาณพัลส์-วิด-มอดดูเลต (PWM) เป็นวงจรสร้างสัญญาณความถี่ทำหน้าที่สร้างสัญญาณสามเหลี่ยมที่สามารถเปลี่ยนแปลงความกว้างพัลส์ตามระดับแรงดันโวลต์เต็มที่จุด E โดยเราสามารถปรับแรงดันโดยจากการตัวต้านทาน R24 และ R25 เพื่อให้ได้แรงดันที่จุด E อย่างเหมาะสมเพื่อที่ใช้ควบคุมร่วมกับสัญญาณควบคุมจากแรงดันที่จุด D เพื่อที่จะนำไปขับวงจรลิทซ์ซึ่ง เซอร์โวแอมป์ที่ประกอบด้วยวงจรที่ใช้ในการออกแบบวงจรเปรียบเทียบดังแสดงในรูปที่ 4.4 เราสามารถดูได้ว่าออปแอมป์ L8 จะทำหน้าที่ดีเฟอว์เรนท์แอมป์ป्लीไฟล์ โดยเราจะนำสัญญาณจากวงจรควบคุม PI และวงจรสร้างสัญญาณความถี่นำมารวมกันผ่านเข้าสู่ออปแอมป์ L8 ไปยังออปแอมป์ L9 และ L10 ที่ใช้ทำหน้าที่เป็นวงจรคอมพาราเตอร์ที่มีหน้าที่สร้างพัลส์ โดยที่ตัวต้านทาน R32 และ R33 มีหน้าที่ในการปรับระดับแรงดันเพื่อทำหน้าที่สร้างขอบบนและขอบล่างของรูปคลื่น PWM เมื่อแรงดัน V_c มีค่าเป็นบวกจะทำให้แรงดันที่จุด F สร้างสัญญาณพัลส์ที่ได้ออกมาทาง P_{cpw} มีผลทำให้มอเตอร์หมุนในทิศทางทวนเข็มนาฬิกา ในทางตรงกันข้ามเมื่อแรงดัน V_c มีค่าเป็นลบจะทำให้แรงดันที่จุด G สร้างสัญญาณพัลส์ออกมาทาง P_{cpw} ทำให้มอเตอร์หมุนกลับทิศทางไปในทิศทางตามเข็มนาฬิกา โดยความกว้างของพัลส์ทั้งสองเป็นสัดส่วนโดยตรงกับค่าสัมบูรณ์ของแรงดันที่จุด E



รูปที่ 4.3 วงจรตัวควบคุมความเร็วที่เชื่อมเตอร์แบบ PI



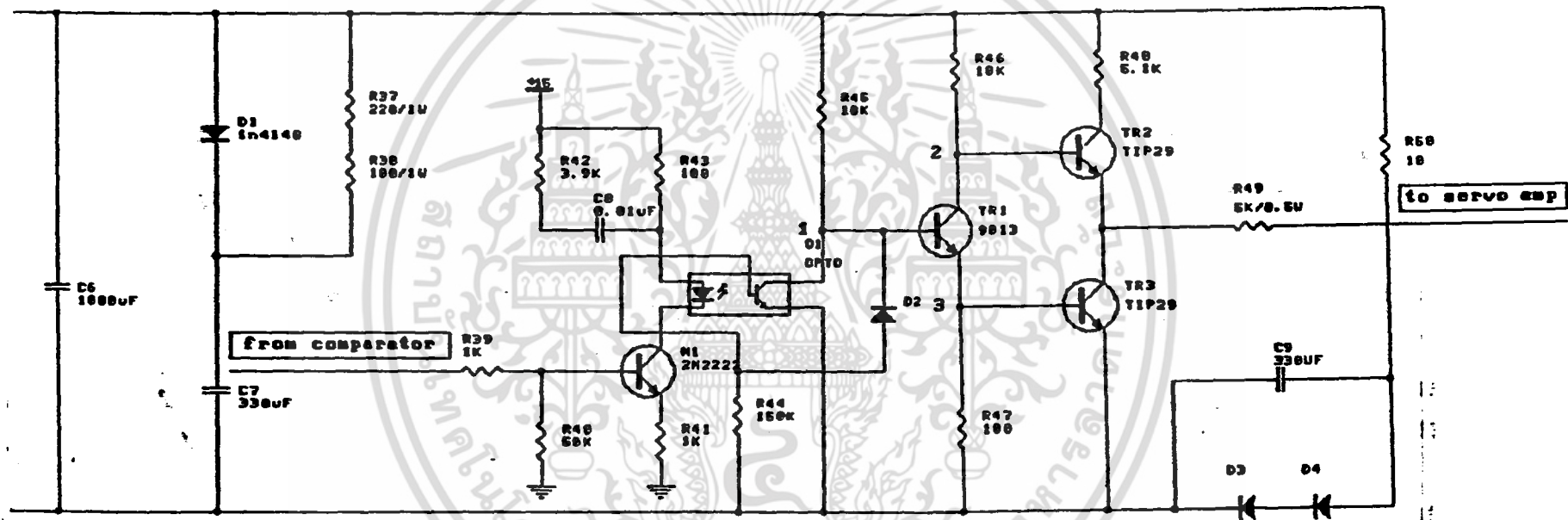
รูปที่ 4.4 วงจรสร้างลูกคลื่นสามเหลี่ยมเพื่อใช้สร้างสัญญาณ PWM

4.6 การออกแบบวงจรชุดขับเซอร์โวมอเตอร์

การอินเตอร์เฟสสัญญาณการควบคุมสำหรับโครงสร้างความถี่สัญญาณ PWM ความถี่กับโครงสร้างที่ใช้กับทรานซิสเตอร์ NPN นี้จะใช้ฮอปโตไดโอดไอซีเรลที่ทำหน้าที่เป็นตัวแยกแรงดันไฟฟ้าระหว่างวงจรรวมและวงจรถูกขับเซอร์โวมอเตอร์จากกันดังแสดงในรูปที่ 4.5 สิ่งจำเป็นที่ทำให้เกิดแรงดันสำหรับสภาวะการอินเตอร์เฟสวงจรถูกขับเซอร์โวมอเตอร์ จากการนำค่าสัญญาณที่ได้จากเอาต์พุตของแรงดันวงจรถือเปรียบเทียบ นำเข้ามาสู่ส่วนของชุดฮอปโตไดโอดไอซีเรลที่ขา 1 ถ้าแรงดันที่เข้ามามีค่าเป็น 1 จะมีผลทำให้แรงดันที่ขาเบสของทรานซิสเตอร์ PT มีค่าเป็น 1 ซึ่งคุณสมบัติของทรานซิสเตอร์ NPN จะทำงานที่ลอจิก 1 จากรูปที่ 4.5 แรงดันที่จุด 1 จะมีแรงดันเป็น 0 มีผลทำให้ขาเบสของทรานซิสเตอร์ Tr1 ไม่ทำงานที่ลอจิก 0 จะทำให้แรงดันที่จุด 2 มีค่าเป็น 1 มีผลทำให้ทรานซิสเตอร์ Tr2 ทำงานที่ลอจิก 1 และแรงดันที่จุด 3 มีค่าเป็น 0 ทำให้ทรานซิสเตอร์ Tr3 ไม่ทำงานที่ลอจิก 0 แรงดันเอาต์พุตของชุดขับเซอร์โวมอเตอร์ที่จุด 4 มีลอจิกเป็น 1 ที่จะนำไปใช้และในทางกลับกันถ้าเราให้สัญญาณที่ได้จากเอาต์พุตของแรงดันวงจรถือเปรียบเทียบเข้ามาสู่ส่วนของชุดฮอปโตไดโอดไอซีเรลที่ขา 1 แรงดันที่เข้ามามีค่าลอจิกเป็น 0 จะมีผลทำให้แรงดันที่ขาเบสของทรานซิสเตอร์ PT มีค่าเป็น 0 ตามคุณสมบัติของทรานซิสเตอร์ NPN ที่ได้กล่าวมาแล้วว่าจะทำงานที่ลอจิก 1 แต่จะไม่ทำงานที่ลอจิก 0 ดังนั้นแรงดันที่จุด 1 จะมีแรงดันเป็น 1 มีผลทำให้ขาเบสของทรานซิสเตอร์ Tr1 ทำงานที่ลอจิก 1 จะทำให้แรงดันที่จุด 2 มีค่าเป็น 0 มีผลทำให้ทรานซิสเตอร์ Tr2 ไม่ทำงานที่ลอจิก 0 และแรงดันที่จุด 3 มีค่าเป็น 1 ทำให้ทรานซิสเตอร์ Tr3 ทำงานที่ลอจิก 1 แรงดันเอาต์พุตของชุดขับเซอร์โวมอเตอร์ที่จุด 4 มีลอจิกเป็น 0 ที่จะนำไปใช้งานต่อไป

จากการสังเกตวงจรมีการรวมกันของคาปาซิเตอร์ C และไดโอด ๒ ตัว ดูจากรูปที่ 4.5 สำหรับเตรียมไว้ที่อาจจะเกิดกรณี negative สำหรับการเปลี่ยนค่าอย่างรวดเร็วของประจุที่มากเกินไปจากขาเบสจากเพาเวอร์ทรานซิสเตอร์ ทำให้ลดค่าเวลาในการ turning-off (ดังรูป) เมื่อ photodiode (ทรานซิสเตอร์) PT เป็น on Tr3 เป็น close มาส่งให้กระแสเบสส่งไปยัง เพาเวอร์ทรานซิสเตอร์ ที่เวลาเดียวกัน Tr1 เป็น on เมื่อนำมาสร้าง photo เป็น off ที่เวลาเดียวกันการทำงานของ Tr3 มีผลต่อการเคลื่อนที่ของประจุมากเกินไปจากเพาเวอร์ทรานซิสเตอร์ เพราะว่าแรงดันไฟฟ้าอิมิตเตอร์ของ Tr3 ต่ำกว่าแรงดันไฟฟ้าที่จุด a กับค่าอิมิตเตอร์ของเพาเวอร์ทรานซิสเตอร์นำมาต่อกันกับวงจรวจรสวิทช์ซึ่งเซอร์โวมอเตอร์

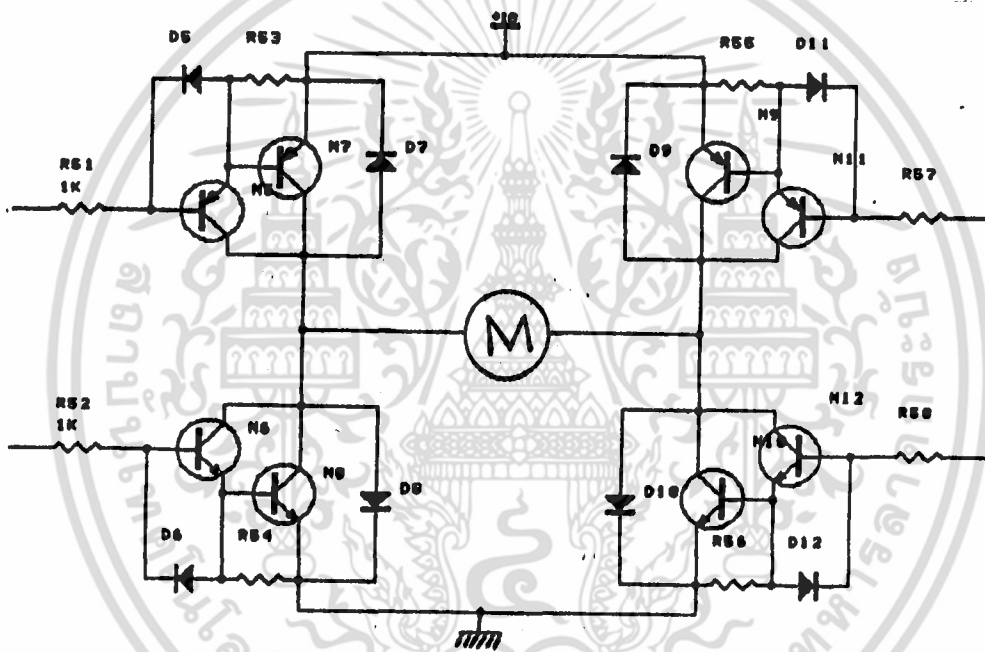
เอกสารนี้เป็นเอกสารที่สงวนไว้สำหรับการใช้งานเพื่อการศึกษาเท่านั้น ไม่อนุญาตให้นำไปใช้ประโยชน์ด้านการค้า ไม่ว่าจะกรณีใดๆ ทั้งสิ้น อีกทั้งห้ามมิให้ดัดแปลงเนื้อหา และต้องอ้างอิงถึงเจ้าของเอกสารทุกครั้งที่มีการนำไปใช้



รูปที่ 4.5 วงจรชุดขับคัตติเซอร์โวมอเตอร์

4.7 การออกแบบวงจรสวิตช์ซึ่งเซอร์โวแอมป์ลิไฟล์

วงจรสวิตช์ซึ่งเซอร์โวแอมป์ลิไฟล์มีหน้าที่ขยายสัญญาณอินพุต สำหรับการสวิตช์ซึ่งก็มีกระแสสูงๆ แต่กลับใช้กระแสอินพุตน้อยๆจะเรียกการต่อกันแบบนี้ว่าวงจร Darlington ที่นำทรานซิสเตอร์ มาใช้ ดังรูปที่ 4.6 กระแสอินพุตในทรานซิสเตอร์ MPN ทั้ง ๒ ตัว จะสังเกตได้ว่าโครงสร้าง Darlington จะมีการเพิ่มแรงดัน Saturation ใน Tr5 เพื่อที่จะนำไปใช้ในการควบคุมดิชมอเตอร์รายละเอียดของวงจรดูได้จากรูปที่ 4.6



รูปที่ 4.6 วงจรสวิตช์ซึ่งเซอร์โวแอมป์ลิไฟล์

4.8 การออกแบบวงจรควบคุมทิศทางการป้อนกลับ

การป้อนกลับของกระแสมอเตอร์ที่มีการใช้กันอยู่ในปัจจุบันนี้ มีทั้งแบบการป้อนทิศทางการป้อนกลับของกระแสเซอร์โวมอเตอร์ การป้อนกลับของสัญญาณทาโคเจนเนอร์เตอร์และการป้อนกลับของสัญญาณพัลส์เจนเนอเรเตอร์ อย่างไรก็ตามหนึ่งหรือเราอาจจะใช้การป้อนกลับทั้ง ๓ แบบก็ได้อย่างที่เรากำลังใช้ในการทำวิทยานินทรีย์อยู่ในตอนนี้ โดยที่มอเตอร์ที่ถูกใช้อยู่นี้จะมีโรเตอร์ทั้งในระบบทาโคเจนเนอร์เรเตอร์และพัลส์เจนเนอเรเตอร์โดยที่ทั้งคู่จะมีทิศทางไปในทาง shaft

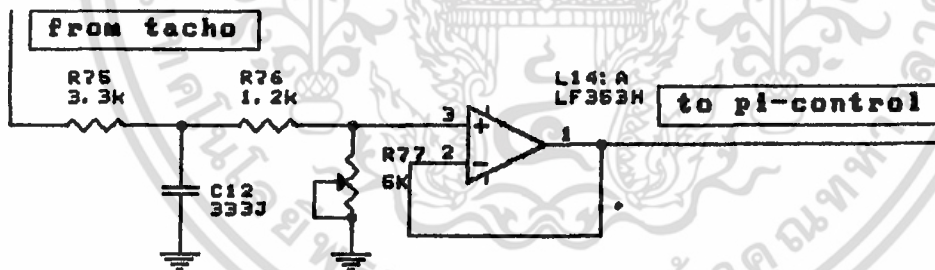
เอกสารนี้เป็นเอกสารที่สงวนไว้สำหรับการใช้งานเพื่อการศึกษาเท่านั้น ไม่อนุญาตให้นำไปใช้ประโยชน์ด้านการค้า ไม่ว่าจะกรณีใดๆ ทั้งสิ้น อีกทั้งห้ามมิให้ดัดแปลงเนื้อหา และต้องอ้างอิงถึงเจ้าของเอกสารทุกครั้งที่มีการนำไปใช้

4.8.1 ทิศทางการป้องกันกระแสเซอร์โวมอเตอร์

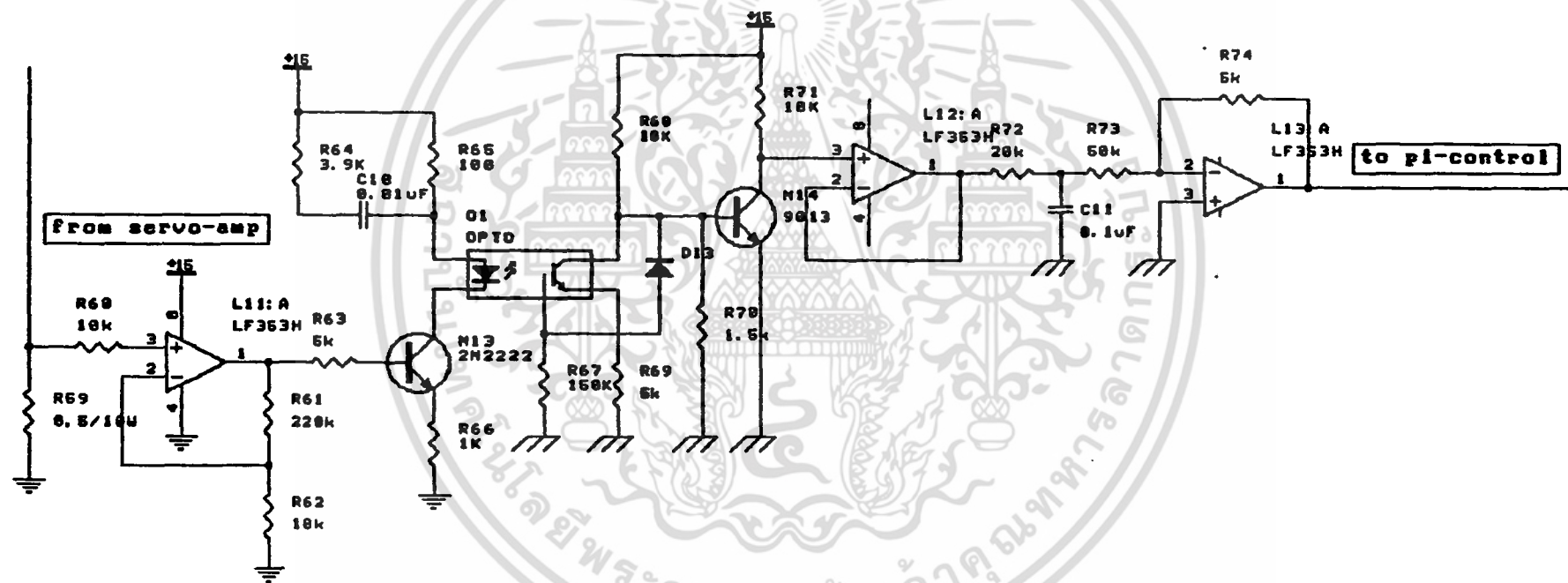
มอเตอร์ที่ถูกใช้ภายในระบบการป้องกันกระแส จากรูปที่ 4.8 โดยเรานำกระแสการป้องกันจากมอเตอร์เข้ามาสู่ออปแอมป์ L11 ที่ทำหน้าที่เป็นขั้วเฟ้อร์ จากนั้นเรานำกระแสที่ได้ผ่านเข้ามาสู่ optoisolate ซึ่งทำหน้าที่เป็นตัวแยกแรงดันและกราวส์ออกจากกัน เพื่อนำแรงดันที่ได้จากการป้องกันกระแสเข้ามาสู่ชุดควบคุมภายในระบบ PI โดยที่เราจะทราบได้จากคุณสมบัติของ optoisolate ถ้ามีการป้องกันของกระแสมอเตอร์ optoisolate ก็จะทำงานที่ตอนนี้

4.8.2 ทิศทางการป้องกันทาโคเจนเนอเรเตอร์

ทาโคเจนเนอเรเตอร์เป็นเครื่องกำเนิดไฟฟ้าที่ขึ้นแปลงค่าการหมุนความเร็วเข้าไปในแรงดันดีซีจากรูปที่ 4.8 เป็นการนำสัญญาณการป้องกันจากทาโคโรเจนเนอเรเตอร์ เข้าสู่วงจรวจรนิวเตอร์อย่างง่ายๆ ที่จะนำแรงดันจากทาโคโรเจนเนอเรเตอร์เข้าสู่ออปแอมป์ L14 ที่ทำหน้าที่เป็นขั้วเฟ้อร์ก่อนที่จะนำสัญญาณกลับเข้าไปสู่ชุดควบคุมดังที่ได้กล่าวมาแล้วข้างต้น



รูปที่ 4.7 วงจรแรงดันการป้องกันทาโคเจนเนอเรเตอร์

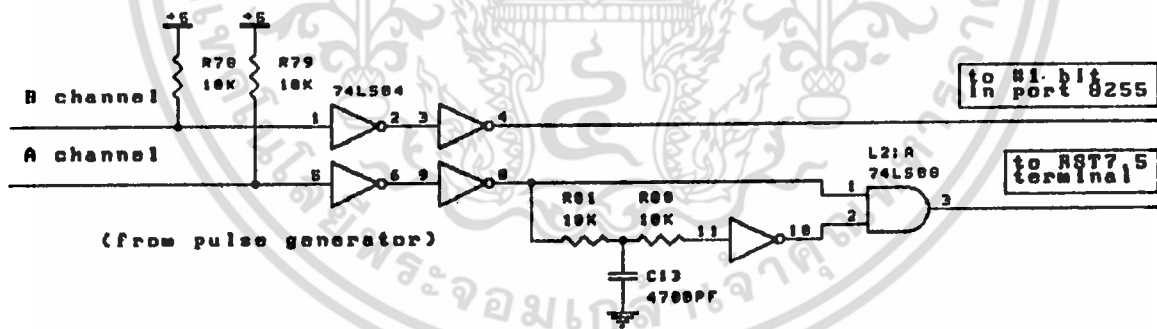


รูปที่ 4.8 วงจรการป้อนกลับทิศทางของกระแสขโมเตอร์

4.8.3 ทิศทางการป้อนกลับพัลส์เจนเนอเรเตอร์

พัลส์เจนเนอเรเตอร์ใช้ในการตรวจสอบการเคลื่อนที่โรเตอร์ของมอเตอร์ที่มีเฟสแตกต่างกัน 90° ระยะสัญญาณจากแชนแนล A และ B ทิศทางการเคลื่อนที่ที่สามารถนำมาตรวจสอบ ในวิธีการควบคุมตำแหน่งที่ถูกสร้างในสัญญาณ encoder ถูกกำหนดโดยไมโครโปรเซสเซอร์ มีการอินเตอร์รัพท์ความถี่ได้สูงสุด (สมมุติว่าเป็น 10 KHz) เพื่อใช้ในการกำหนดตำแหน่งของดีซีมอเตอร์ โดยมีความสัมพันธ์กับค่าเวลาจากการเริ่มต้นของ subroutine การนับค่าผิดพลาดในช่วงการอินเตอร์รัพท์ (ใช้เวลา 40 ms สำหรับ ความถี่ clock 2.5 MHz) ค่าความถี่อินเตอร์รัพท์สูงสุด 25 kHz

สัญญาณจากพัลส์เจนเนอเรเตอร์บนมอเตอร์ที่นำมาป้อนให้กับวงจรดังแสดงในรูปที่ 4.10 ก่อนที่จะนำมาส่งไปยังอินพุตพอร์ต 8255 และเข้าสู่ขาอินเตอร์รัพท์ INT ของไมโครโปรเซสเซอร์ โดยที่เราต้องนำมาผ่านอินเวอร์เตอร์ 2 ลอจิก สัญญาณจากแชนแนล B ไปยังบิตที่ 1 ของพอร์ตอินพุตแอกแคเรส ในส่วนของสัญญาณแชนแนล A การอินเตอร์รัพท์มีผลต่อการสร้างสัญญาณขอบขึ้นของสัญญาณแชนแนล A โดยใช้วงจรตัวเลข KC และ AND เกทพัลส์ที่ต่อเนื่องได้มาจากสัญญาณแชนแนล A และส่งต่อไปถึง INT



รูปที่ 4.9 วงจรสร้างสัญญาณพัลส์เจนเนอเรเตอร์

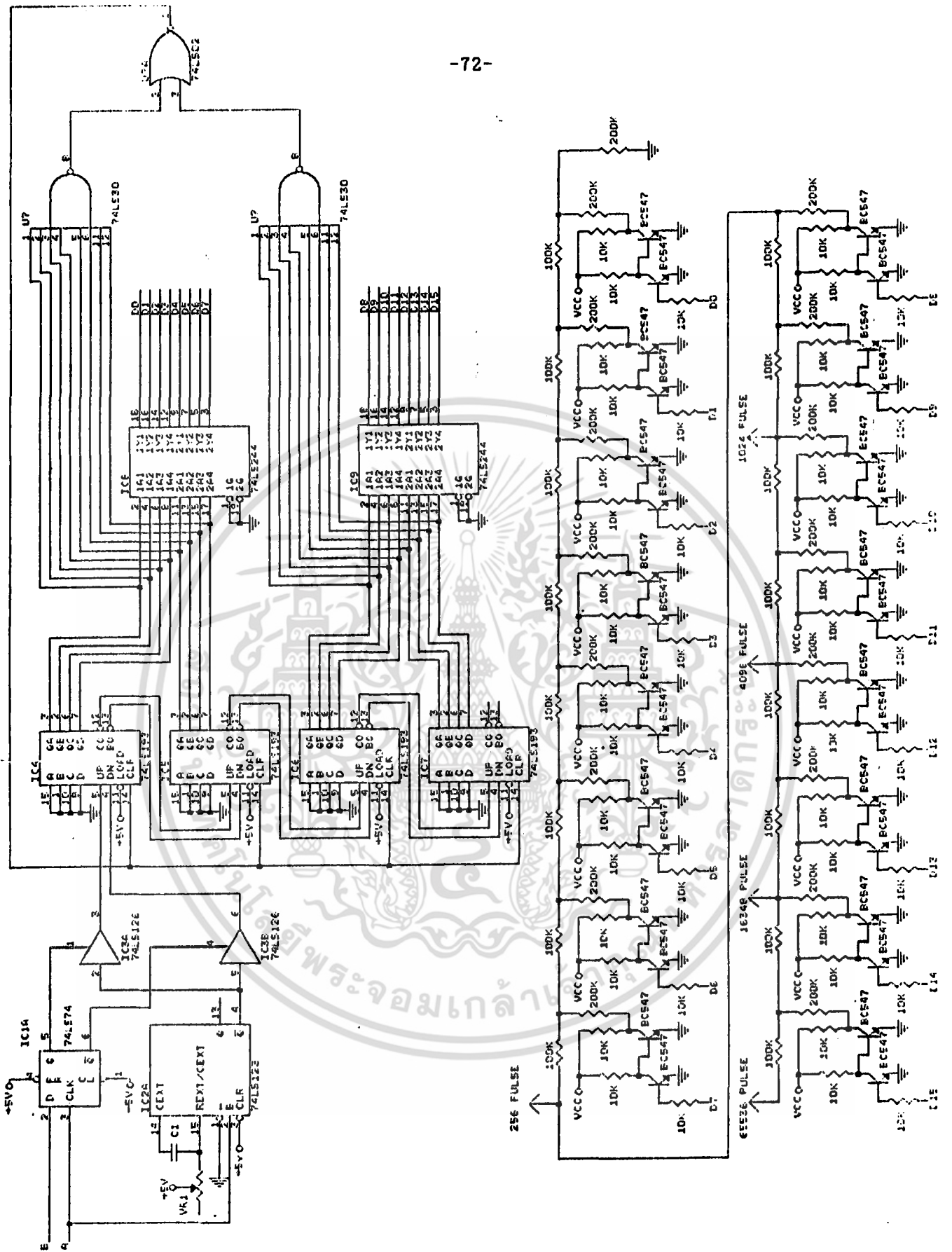
4.9 การออกแบบวงจรการวัดตำแหน่งมอเตอร์

ในการวัดตำแหน่งการหยุดของมอเตอร์ในการกำหนดตำแหน่งและทิศทางของมอเตอร์ ในการทดลองที่ใช้อยู่นี้เราได้ใช้วงจรการนับขึ้น-ลง (up-down counter) เป็นตัวที่ใช้ในการชี้ โดยเราจะเอกสารนี้เป็นเอกสารที่สงวนไว้สำหรับการใช้งานเพื่อการศึกษาเท่านั้น ไม่อนุญาตให้นำไปใช้ประโยชน์ด้านการค้า ไม่ว่าจะกรณีใดๆ ทั้งสิ้น อีกทั้งห้ามมิให้ดัดแปลงเนื้อหา และต้องอ้างอิงถึงเจ้าของเอกสารทุกครั้งที่มีการนำไปใช้

นำสัญญาณที่ได้จากสัญญาณพัลส์เจนเนอเรเตอร์ผ่านเข้าสู่วงจรนับ โดยในการทดลองอยู่ที่เราได้ใช้วงจรการนับขนาด 16 บิต ที่มีความละเอียดต่อการนับโดยเราจะ IC 74LS193 เป็นตัวที่ใช้ในการนับขนาด 4 บิต จำนวน 4 ตัว จากนั้นนำมาผ่าน IC 74LS244 ที่จะรับข้อมูลครั้งละ 4 บิต จำนวน 2 ตัว โดยตัวแรกจะรับข้อมูล 4 บิตบน และตัวที่สองจะรับข้อมูล 4 บิตล่าง ในขั้นตอนสุดท้ายเราจะนำข้อมูลที่ได้ทั้ง 16 บิต ผ่านเข้าไปสู่วงจร D/A ขนาด 16 บิต ที่ได้จากการสร้างขึ้นมาจากทรานซิสเตอร์ NPN ขนาด 2 ตัว โดยนำมาใช้ในการต่อแบบอนุกรมทั้ง 16 บิต ดังที่แสดงในรูปที่ 4.10



เอกสารนี้เป็นเอกสารที่สงวนไว้สำหรับการใช้งานเพื่อการศึกษาเท่านั้น ไม่นอนุญาตให้นำไปใช้ประโยชน์ด้านการค้า ไม่ว่าจะกรณีใดๆ ทั้งสิ้น อีกทั้งห้ามมิให้ดัดแปลงเนื้อหา และต้องอ้างอิงถึงเจ้าของเอกสารทุกครั้งที่มีการนำไปใช้



รูปที่ 4.10 วงจรวัดตำแหน่งการเคลื่อนที่ของมอเตอร์เมื่อมีสัญญาณอินพุตเป็นความถี่มาจาก สัญญาณพัลส์เจนเนอเรเตอร์

เอกสารนี้เป็นเอกสารที่สงวนไว้สำหรับการใช้งานเพื่อการศึกษาเท่านั้น ไม่อนุญาตให้นำไปใช้ประโยชน์ด้านการค้า
ไม่ว่ากรณีใดๆ ทั้งสิ้น อีกทั้งห้ามมิให้ดัดแปลงเนื้อหา และต้องอ้างอิงถึงเจ้าของเอกสารทุกครั้งที่มีการนำไปใช้

บทที่ 5

โปรแกรมควบคุมการทำงาน

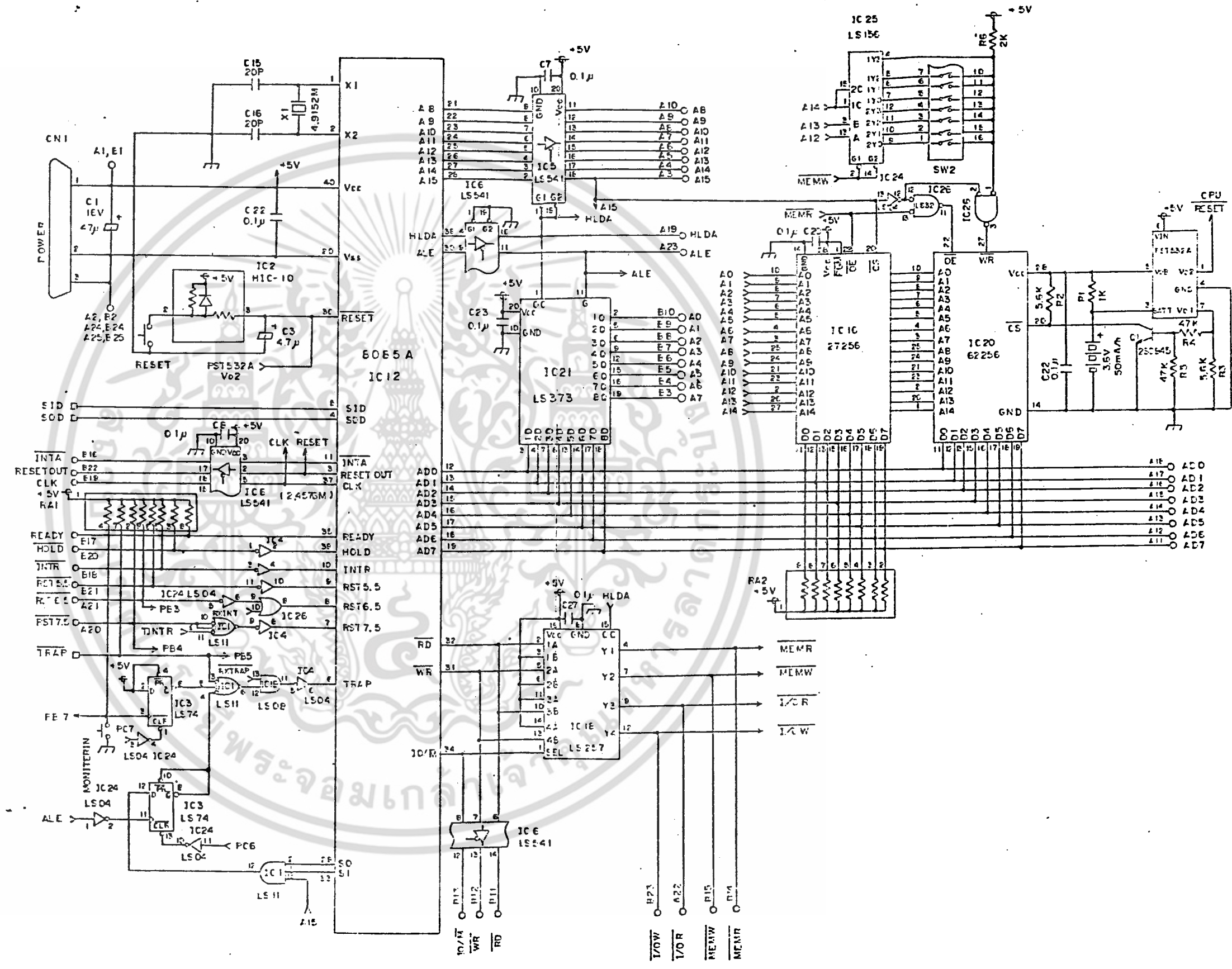
5.1 บทนำ

ปัจจุบันเราจะพบว่าไมโครโพรเซสเซอร์มีประโยชน์มากในการพัฒนาระบบต่างๆ ทั้งในชีวิตประจำวันและในโรงงานอุตสาหกรรม ในบทนี้เราจะขอกล่าวถึงคุณสมบัติของไมโครโพรเซสเซอร์ที่เรานำมาใช้ในการควบคุมตำแหน่งดีซีมอเตอร์ภายในระบบ PID และ PD ที่ควบคุมได้ทั้งตำแหน่งและทิศทางแบบสี่ควอดแรนต์ ซึ่งความสำเร็จในการควบคุมตำแหน่งนี้ขึ้นอยู่กับวิธีการออกแบบการตั้งค่าเกณฑ์ต่างๆ ที่อยู่ในระบบ PID และ PD จะได้ตำแหน่งหยุดได้อย่างเที่ยงตรงและแม่นยำยิ่งขึ้น เราทราบกันดีอยู่แล้วว่าซีพียูมีความอ่อนตัวง่ายต่อการแก้ไขภายในระบบต่างๆ ที่เกี่ยวข้องกับทางด้านระบบไมโครโพรเซสเซอร์โดยที่เราไม่ต้องไปยุ่งเกี่ยวกับระบบโครงสร้างภายในฮาร์ดแวร์แต่อย่างใด

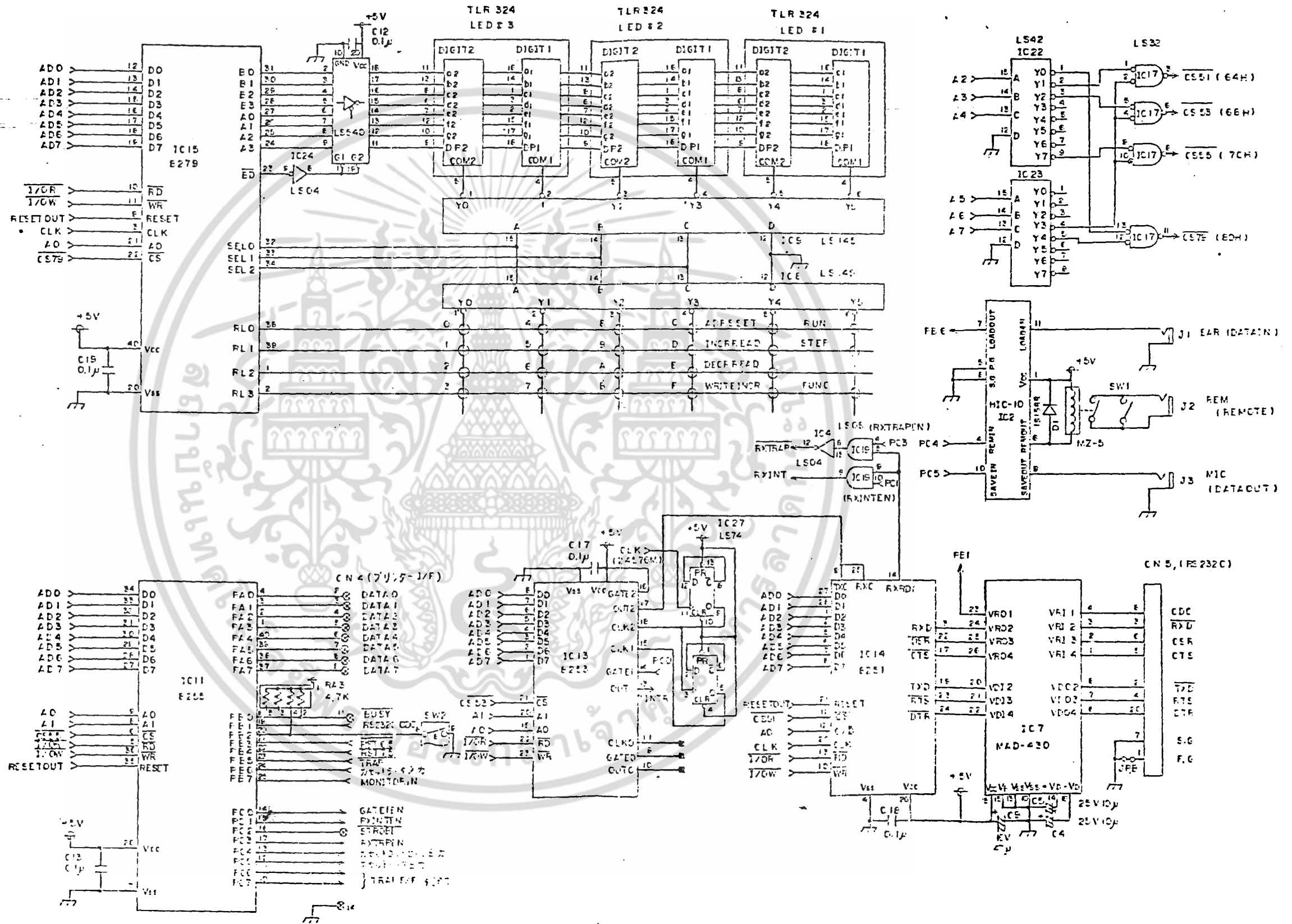
ระบบการควบคุมการเคลื่อนที่ส่วนมากมักต้องการหมุนโหลดให้ไปหยุดในตำแหน่งที่กำหนด และยึดตำแหน่งนั้นไว้จนกว่าจะได้รับคำสั่งการควบคุมการหมุนใหม่ การเคลื่อนที่อีกแบบหนึ่งของระบบนี้คือในบางครั้งต้องการให้โหลดเคลื่อนที่ไปตามระยะตำแหน่งที่กำหนดให้ ข้อกำหนดการเคลื่อนที่ทั้งสองแบบดังกล่าวสามารถกระทำได้โดยอาศัยระบบการควบคุมตำแหน่ง ตัวเซ็นเซอร์ตำแหน่งอาจเป็นพวกที่ให้สัญญาณเอาท์พุทได้ต่อเนื่องซึ่งระบบการควบคุมแบบนี้จะเป็นไปอย่างต่อเนื่อง เป็นระบบการควบคุมแบบอนาลอกระบบตัวควบคุมตำแหน่งแบบอนาลอกมีความละเอียดในการควบคุมตำแหน่งได้ดีเยี่ยม ซึ่งเป็นคุณสมบัติที่เหมาะสมในการควบคุมตำแหน่ง อย่างไรก็ตามสัญญาณของตำแหน่งที่มีการแปรอย่างต่อเนื่องจะถูกจำกัดอยู่ในช่วงตำแหน่งช่วงหนึ่งเท่านั้น และการลิมิตนี้จะเป็นตัวจำกัดการเคลื่อนที่ตัวเซ็นเซอร์ตำแหน่งแบบอื่นได้แก่เซ็นเซอร์แบบดิจิตอลคือ มวกเอนโคเดอร์สำหรับตำแหน่งของเพลลา มวกเซ็นเซอร์แบบนี้มีช่วงการทำงานของตำแหน่งไม่มีขีดจำกัด อย่างไรก็ตามเซ็นเซอร์พวกนี้มีข้อเสียในเรื่องความละเอียดของแอมพลิจูดของตำแหน่งอยู่ภายในค่าที่จำกัด นอกจากนั้นสัญญาณของตำแหน่งจะอยู่ในลักษณะของสัญญาณดิจิตอลซึ่งสัญญาณนี้จะต้องป้อนเข้า D-A คอนเวอร์เตอร์ก่อนเพื่อแปลงเป็นสัญญาณของตำแหน่งแบบอนาลอก

มีหลักความจริงอยู่ที่ว่า เราไม่สามารถจะการควบคุมตำแหน่งเอาท์พุทของระบบให้เที่ยงตรงได้มากไปกว่าความเที่ยงตรงที่วัดได้จากตัวเซ็นเซอร์ ปัญหาหลักในการออกแบบระบบการควบคุมตำแหน่ง

เอกสารนี้เป็นเอกสารที่สงวนไว้สำหรับการใช้งานเพื่อการศึกษาเท่านั้น ไม่อนุญาตให้นำไปใช้ประโยชน์ด้านการค้าไม่ว่ากรณีใดๆ ทั้งสิ้น อีกทั้งห้ามมิให้ดัดแปลงเนื้อหา และต้องอ้างอิงถึงเจ้าของเอกสารทุกครั้งที่มีการนำไปใช้



เอกสารนี้เป็นเอกสารที่รวบรวมไว้สำหรับใช้ภายในหน่วยงานเท่านั้น ไม่สามารถให้ไปใช้ประโยชน์ด้านการศึกษา
 รูปที่ 5.1 วงจรไมโครโปรเซสเซอร์ที่ใช้เป็นตัวคอนโทรลเลอร์แบบ PID และ PD
 ไม่ว่าการมีใดๆ ทั้งสิ้น อีกทั้งห้ามมิให้ดัดแปลงเนื้อหา และต้องอ้างอิงถึงเจ้าของเอกสารทุกครั้งที่มีการนำไปใช้



รูปที่ 5.1 วงจรไมโครโปรเซสเซอร์ที่ใช้เป็นตัวคอนโทรลเลอร์แบบ PID และ PD (ส่วนที่ 2)
ไม่ว่ากรณีใดๆ ทั้งสิ้น อีกทั้งห้ามมิให้ดัดแปลงเนื้อหา และต้องอ้างอิงถึงเจ้าของเอกสารทุกครั้งที่มีการนำไปใช้

คือการทำให้ระบบมีเสถียรภาพภายใต้อัตราขยายที่เหมาะสม และมีแบนด์วิดท์ของลูปอย่างพอเพียง ดังนั้นเราจะได้นับถึงปัญหาของเสถียรภาพและหลักการออกแบบต่อไป ระบบการควบคุมแบบป้อนกลับโดยทั่วไปจุดมุ่งหมายหลักคือ ต้องการให้ระบบมีความเที่ยงตรงสภาวะคงที่เป็นที่น่าพอใจ ดังนั้นระบบจึงไม่นิยมจะให้มีการลดอัตราขยายลงเพื่อทำให้ระบบมีเสถียรภาพ ถ้าอัตราการขยายต้องการเพื่อกำหนดความเที่ยงตรงทำให้ระบบไม่มีเสถียรภาพหรือผลตอบสนองมีการแกว่งที่เร็ว เมื่อนั้นระบบจะต้องได้รับการเปลี่ยนแปลง (มีการชดเชย) ในวิถีทางที่จะให้ได้ผลตอบสนองตามที่ต้องการโดยไม่ทำให้ความเที่ยงตรงด้อยลงไป

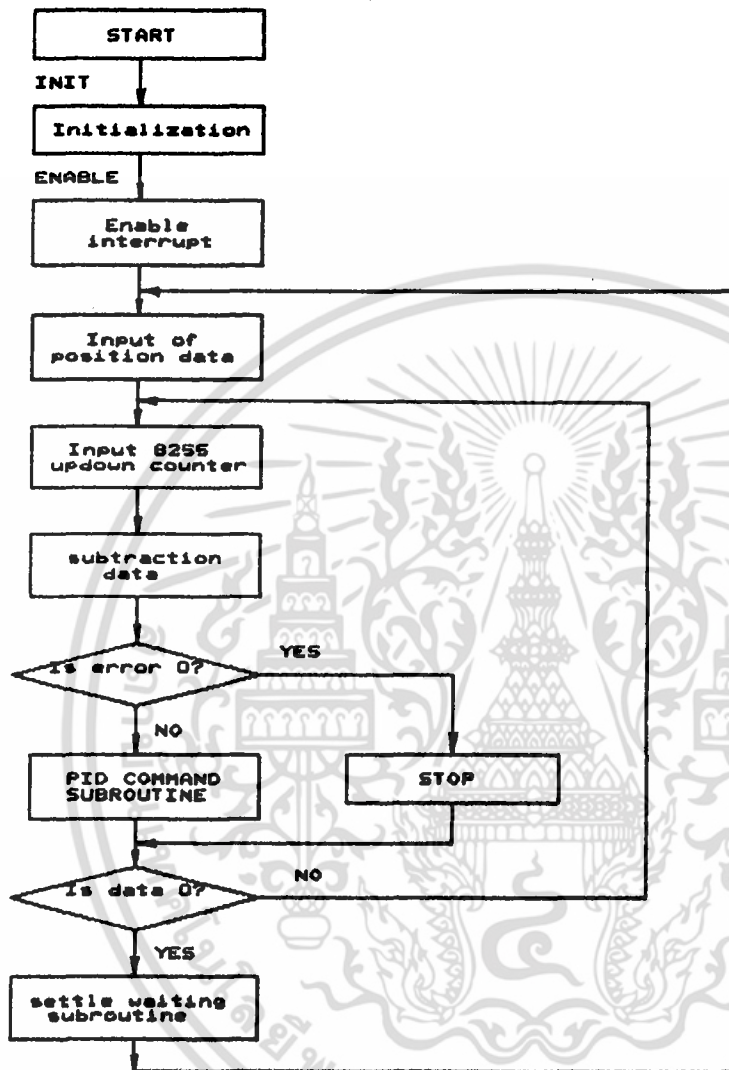
5.2 การออกแบบชุดควบคุมตำแหน่งมอเตอร์ในส่วนของไมโครโปรเซสเซอร์

การออกแบบชุดควบคุมตำแหน่งมอเตอร์ในระบบ PID ที่ถูกสร้างขึ้นในส่วนของไมโครโปรเซสเซอร์ ดังแสดงในรูป 5.1 เราแบ่งออกเป็น 2 ส่วนใหญ่ๆ คือส่วนที่ใช้ในการควบคุมตำแหน่งที่จะประกอบด้วยไมโครโปรเซสเซอร์ 8085 ที่ผ่านวงจรการแปลงดิจิทัลเป็นสัญญาณอนาล็อกโดยใช้ DAC0800 ผ่านออกไปโดยที่มีการเพิ่มลดแรงดันต่างๆ จากการออกแบบภายในไมโครโปรเซสเซอร์โดยเราจะมากล่าวรายละเอียดต่อไป ในส่วนที่สองเราจะนำมาใช้ในการควบคุมทิศทางของมอเตอร์โดยเราได้นำสัญญาณจากพัลส์เจนเนอเรเตอร์ที่นำมาเข้าขาอินเทอร์รัพท์และขาพอร์ต 8255 ของไมโครโปรเซสเซอร์ดังที่เราได้กล่าวมาแล้ว

5.3 โปรแกรมที่ใช้ในการควบคุมตำแหน่งมอเตอร์

ในส่วนเริ่มต้นของโปรแกรมหลักที่ใช้ในการควบคุมตำแหน่งมอเตอร์ โดยเราจะนำสัญญาณที่ได้นำมาทำการอินเทอร์รัพท์ที่ใช้การกำหนดทิศทางของมอเตอร์ ดูได้จากไฟร์ชาร์ตที่ 5.2 ในส่วนโปรแกรมต่อไปที่ใช้ในการกำหนดตำแหน่งมอเตอร์ เราสามารถนำมาสร้างขึ้นได้จากการตั้งค่าตำแหน่งต่างๆ ที่ถูกสร้างขึ้นภายในโปรแกรม พร้อมทั้งนำข้อมูลจากสัญญาณพัลส์เจนเนอเรเตอร์ผ่านเข้าสู่วงจรนับเพื่อจะนำเข้ามาสู่พอร์ต 8255 ที่ใช้มาสร้างสัญญาณค่าผิดพลาดโดยนำสัญญาณที่ได้นำมาลบออกจากส่วนของโปรแกรมที่ถูกสร้างขึ้นจากโปรแกรม ในส่วนต่อไปเราจะนำสัญญาณที่ได้จากการสร้างสัญญาณค่าผิดพลาดจากโปรแกรมที่ถูกสร้างขึ้น เราจะนำเข้ามาสู่วงจรระบบ PID ที่นำมาใช้ในการควบคุมตำแหน่ง

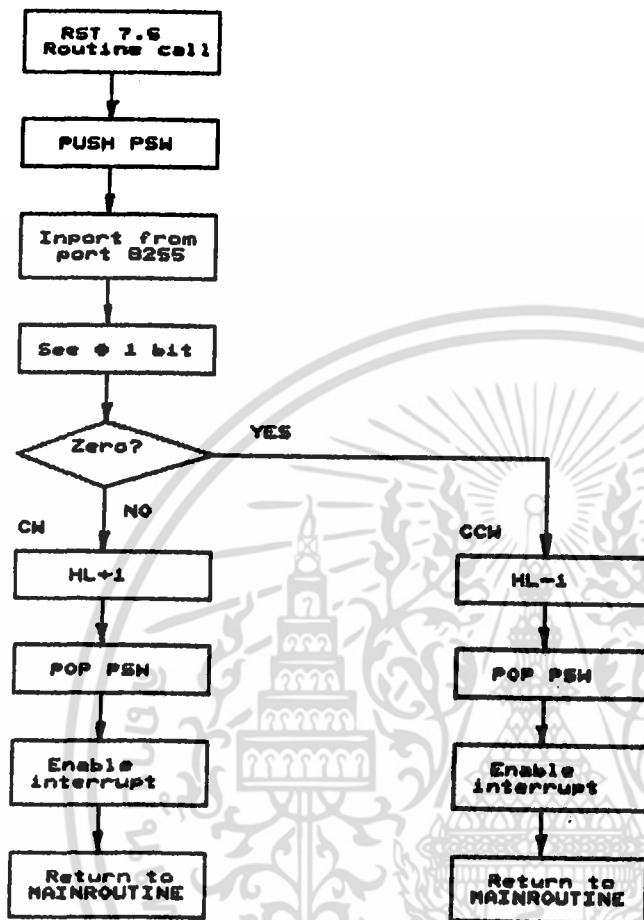
เอกสารนี้เป็นเอกสารที่สงวนไว้สำหรับการใช้งานเพื่อการศึกษาเท่านั้น ไม่อนุญาตให้นำไปใช้ประโยชน์ด้านการค้า ไม่ว่าจะกรณีใดๆ ทั้งสิ้น อีกทั้งห้ามมิให้ดัดแปลงเนื้อหา และต้องอ้างอิงถึงเจ้าของเอกสารทุกครั้งที่มีการนำไปใช้



รูปที่ 5.2 โปรแกรมการควบคุมตำแหน่งมอเตอร์

5.4) โปรแกรมที่ใช้ในการควบคุมทิศทางมอเตอร์ ^{๕๑}

ในส่วนเริ่มต้นของโปรแกรมหลักที่ใช้ในการควบคุมตำแหน่งมอเตอร์ โดยเริ่มต้นเข้าโปรแกรมหลัก กำหนดค่าแอดเดรสและค่าผิดพลาดเป็นศูนย์ เริ่มต้นของการอินเทอร์รัท วัที่โปรแกรมหลักจากนั้นเราจะทำการเรียกโปรแกรมย่อยอินเทอร์รัทที่ได้รับสัญญาณจากพัลส์เจเนเรเตอร์ ในส่วนของแชลแนลเอกสารนี้เป็นเอกสารที่สงวนไว้สำหรับการใช้งานเพื่อการศึกษาเท่านั้น ไม่อนุญาตให้นำไปใช้ประโยชน์ด้านการค้า ไม่ว่าจะกรณีใดๆ ทั้งสิ้น อีกทั้งห้ามมิให้ดัดแปลงเนื้อหา และต้องอ้างอิงถึงเจ้าของเอกสารทุกครั้งที่มีการนำไปใช้



รูปที่ 5.3 โปรแกรมการควบคุมทิศทางมอเตอร์

A จะเข้าสู่ขาอินเทอร์รัพท์ บน CPU-8085 และ แชลแนล B จะผ่านทางอัปดาว์เคาเตอร์เข้าสู่พอร์ต C บิตที่ 1 ของ IC-8255 จากไฟร์ซาร์ตที่ 1 โปรแกรมจะนำสัญญาณบิตที่ 1 เพื่อทำการตรวจสอบทิศทางและการหมุนของมอเตอร์โดยการทดสอบค่าศูนย์ฟลักซ์ จากไฟร์ซาร์ตที่ 1 ถ้าค่าฟลักซ์เป็นศูนย์ เราจะพิจารณาเฉพาะค่าบวก พร้อมกับมีการเพิ่มค่าตำแหน่งค่าผิดพลาด 1 สเตปสำหรับการเคลื่อนที่ในทิศทาง CCW แต่ถ้าฟลักซ์เป็นหนึ่งเราจะพิจารณาเฉพาะค่าลบพร้อมกับมีการลดค่าตำแหน่งค่าผิดพลาด 1 สเตป สำหรับการเคลื่อนที่ในทิศทาง CW จากนั้นโปรแกรมจะไปทำการ "Enable interrupt" ก่อนที่โปรแกรมจะกลับไปโปรแกรมจากนั้นโปรแกรมคำสั่ง "Disable interrupt" นำมาเช็คอัตโนมัติเมื่อนำสัญญาณอินเทอร์รัพท์ INT มาใช้การนำมาเรียกใช้ในโปรแกรมน้อย A/D โดยนำมาจากสัญญาณพัลส์เจนเนอเรเตอร์จากแชลแนล B ของมอเตอร์

เอกสารนี้เป็นเอกสารที่สงวนไว้สำหรับการใช้งานเพื่อการศึกษาเท่านั้น ไม่อนุญาตให้นำไปใช้ประโยชน์ด้านการค้า ไม่ว่าจะกรณีใดๆ ทั้งสิ้น อีกทั้งห้ามมิให้ดัดแปลงเนื้อหา และต้องอ้างอิงถึงเจ้าของเอกสารทุกครั้งที่มีการนำไปใช้

5.5) โปรแกรมการควบคุมภายในระบบรีโอปอร์ชันนัลอินทิกรัลดิริเวทีฟ ^{๕๖}

จากโฟร์ซาร์ตเป็นการควบคุมตัวแปรอินพุตตารางตำแหน่ง(DV) รับข้อมูลจากการกำหนดค่าตัวแปรภายในซีพแรวร์ ตัวแปรอินพุตจะถูกควบคุมโดยอัลกอริทึมของไมโครโปรเซสเซอร์ 8085 ขนาด 8 บิต โดยจะมีค่าจาก 00H ถึง FFH (ประมาณ 256 ค่า) ส่วนตัวแปรเซ็ตพอยต์ที่สร้างสัญญาณค่าผิดพลาดจะได้มาจากสัญญาณ DSP เป็นสัญญาณการป้อนกลับที่ป้อนกลับมาจากส่วนของฟิลส์เจเนอเรเตอร์ของดิซีมอเตอร์ผ่าน A/D เข้าสู่ ไมโครโปรเซสเซอร์ 8085

$$DE = DV - DSP \quad (5.1)$$

สัญญาณ DE เป็นสัญญาณค่าผิดพลาดได้จากการกำหนดค่าความแตกต่างกันระหว่างตัวแปรอินพุต DV ลบออกจากสัญญาณ DSP ค่าสัญญาณค่าผิดพลาดจากสมการที่ 1 สามารถนำมาตรวจสอบเครื่องหมายของค่า DE ได้จากค่าแครี่บิทถ้าค่าของแปรอินพุต $DV > DSP$ จะมีเครื่องหมายเป็นบวกเราจะเซ็ตบิทเครื่องหมายเป็นศูนย์ (SGN=0) จะมีการทเซ็ตแครี่บิทค่าเป็น 1 แต่ถ้าตัวแปรอินพุต $DV < DSP$ จะมีเครื่องหมายออกมาเป็นลบเราจะเซ็ตบิทเครื่องหมายเป็นหนึ่ง (SGN=1) จะไม่มีการทเซ็ตแครี่บิทค่าเป็น 0 พร้อมกลับทำการแปลงผลลัพท์ให้อยู่ภายใต้ค่า 2 complement ในส่วนนี้จะเป็นการแสดงอัลกอริทึมของการคำนวณทั้ง 3 โหมดรีโอปอร์ชันนัลอินทิกรัล (reset) และดิฟเฟอเรนเทียล (rate) เราสามารถบรรยายโฟร์ซาร์ต

5.5.1) โหมดรีโอปอร์ชันนัล

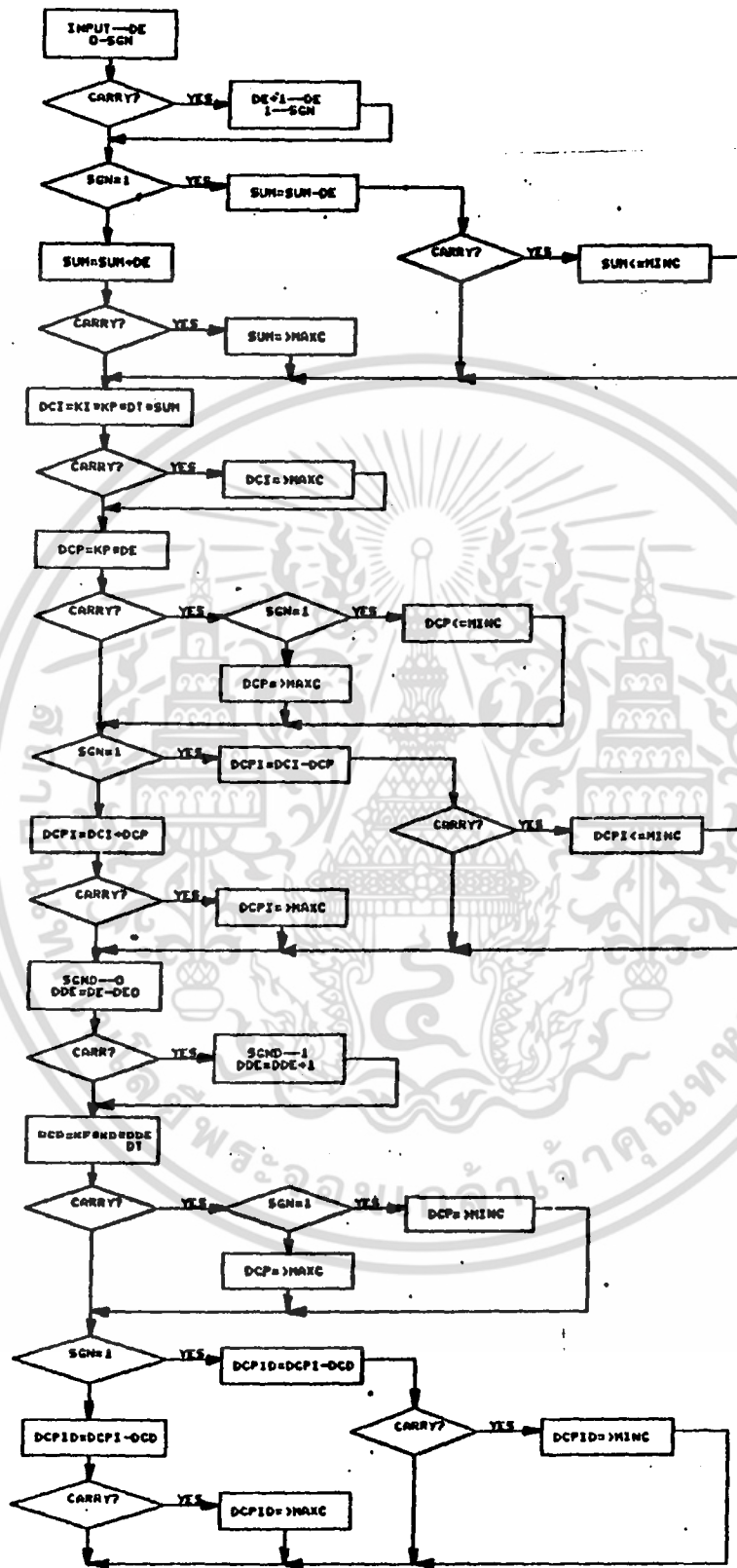
สมการเอาท์พุทโหมดรีโอปอร์ชันนัลค่าที่ได้จากสมการสำหรับโหมดนี้ จะได้อค่าสมการอัลกอริทึมสำหรับใช้สมการควบคุมไมโครโปรเซสเซอร์ 8085 รูปแบบที่ได้ถ้าตัวควบคุมตัวแปรอินพุตจากตารางตำแหน่ง (DV) เท่ากันกับสัญญาณอินพุตฟิลส์เจเนอเรเตอร์ (DSP) จากดิซีมอเตอร์สัญญาณค่าผิดพลาด (DE) จะเท่ากับศูนย์ตัวควบคุมเอาท์พุทจะมีค่าเป็นศูนย์ (จากสมการที่ 2) แต่ถ้าตัวควบคุมตัวแปรอินพุตตำแหน่ง (DV) มีค่าไม่เท่ากับสัญญาณอินพุตจากฟิลส์เจเนอเรเตอร์ (DSP) จากดิซีมอเตอร์สัญญาณค่าผิดพลาด (DE) จะไม่เท่ากับศูนย์ KP จะเป็นเกนของโหมด

เอกสารนี้เป็นเอกสารที่สงวนไว้สำหรับการใช้งานเพื่อการศึกษาเท่านั้น ไม่อนุญาตให้นำไปใช้ประโยชน์ด้านการค้า ไม่ว่าจะกรณีใดๆ ทั้งสิ้น อีกทั้งห้ามมิให้ดัดแปลงเนื้อหา และต้องอ้างอิงถึงเจ้าของเอกสารทุกครั้งที่มีการนำไปใช้

$$DCP = KP * DE \quad (5.2)$$

- DCP = ตัวควบคุมดิจิทัลเอาต์พุตรีเฟรชชัณล์
KP = เกนดิจิทัลรีเฟรชชัณล์
DE = สัญญาณค่าผิดพลาด

รีเฟรชชัณล์โดยนำเกน KP ที่ได้คูณกับสัญญาณค่าผิดพลาด (DE) ผลลัพธ์ที่ได้จาก $KP * DE$ อาจจะเกิดการโอเวอร์ไฟร์หรืออันเดอร์ไฟร์ เกิดขึ้นโดยเราใช้แคร์ริบเป็นตัวตรวจสอบเกน KP จะเป็นตัวกำหนดทิศทางการควบคุมว่าเป็นแบบทิศทางตามเข็มนาฬิกาหรือทวนเข็มนาฬิกาโดยที่มีทิศทางตามเข็มนาฬิกามีค่าสัญญาณค่าผิดพลาด ที่ได้มีค่าเป็นบวกจะเพิ่มค่าการควบคุมตัวแปรเอาต์พุตและสำหรับทิศทางทวนเข็มนาฬิกาจะเป็นทิศทางตรงกันข้ามกับทิศทางตามเข็มนาฬิกากับค่าสัญญาณค่าผิดพลาด (DE) ที่ได้มีค่าเป็นลบจะลดค่าการควบคุมตัวแปรเอาต์พุตโดยเราตรวจสอบจากบิตเครื่องหมาย (SGN) เมื่อผลลัพธ์เกิดการโอเวอร์ไฟร์หรืออันเดอร์ไฟร์ เกิดขึ้นกรณีเราใช้ไมโครโปรเซสเซอร์ 8085 ที่แปรค่าจาก 00H ถึง FFH จากไฟร์ชาร์ตพบว่า DCP เกิดการโอเวอร์ไฟร์ ผลลัพธ์ที่ได้มีค่าสูงสุดไม่เกิน FFH ส่วนกรณีที่ DCP เกิดการอันเดอร์ไฟร์ผลลัพธ์ที่ได้มีค่าไม่น้อยกว่า 00H



รูปที่ 5.4 โปรแกรมการควบคุมตำแหน่งแบบรีอปรออร์ชันัลอินดิทรีเวทีฟ

เอกสารนี้เป็นเอกสารที่สงวนไว้สำหรับการใช้งานเพื่อการศึกษาเท่านั้น ไม่อนุญาตให้นำไปใช้ประโยชน์ด้านการค้า ไม่ว่ากรณีใดๆ ทั้งสิ้น อีกทั้งห้ามมิให้ดัดแปลงเนื้อหา และต้องอ้างอิงถึงเจ้าของเอกสารทุกครั้งที่มีการนำไปใช้

5.5.2) โหมดอินติกรัล (RESET)

โหมดอินติกรัลเป็นตัวควบคุมการตอบสนองค่าผิดพลาดในสมการอินติกรัลของค่าผิดพลาดจะถูกนำมาเลือกใช้โหมดรีเซ็ตขึ้นนัลโดยการ "reset" อยู่ในเทอมค่าผิดพลาดศูนย์สมการคำนวณค่าของโหมดอินติกรัลตัวควบคุมเอาต์พุต

$$DCI = KI * KP * DT * SUM \quad (5.3)$$

DCI = ตัวควบคุมดิจิทัลเอาต์พุตอินติกรัล

KI = เกนดิจิทัลอินติกรัล

DT = เวลาในการดำเนินการ

SUM = ค่าผิดพลาดของการอินติกรัล

การกำหนดค่าตัวแปรใหม่ที่แสดงผลลันซ์ในเทอม SUM ในส่วนของค่าผิดพลาดทั้งหมดโดยเราจะต้องทำการตรวจสอบบิตเครื่องหมาย (SGN) ของสัญญาณค่าผิดพลาด (DE) ถ้าสัญญาณค่าผิดพลาดมีค่าเป็นบวกเราจะมี การเพิ่มค่าบริเวณหน่วยความจำที่ SUM โดยนำมาบวกกับสัญญาณค่าผิดพลาด (DE) และแต่ถ้าสำหรับสัญญาณค่าผิดพลาดมีค่าเป็นลบเราจะมี การลดค่าบริเวณหน่วยความจำที่ SUM โดยนำมาลบออกจากสัญญาณค่าผิดพลาด (DE) ผลลันซ์ที่ได้ อาจเกิดการโอเวอร์โฟลว์หรือแอนเดอร์โฟลว์ โดยทำการตรวจสอบแคร์รี่บิต เพราะถ้าค่า SUM ที่ได้มีการโอเวอร์โฟลว์ เกิดขึ้นผลลันซ์ที่ได้เราจะเซตค่าบริเวณหน่วยความจำสูงสุดได้ไม่เกิน FFFFH แต่ถ้าค่า SUM ที่ได้มีการแอนเดอร์โฟลว์เกิดขึ้นผลลันซ์ที่ได้เราจะเซตค่าบริเวณหน่วยความจำต่ำสุดไม่น้อยกว่า 0000H จากนั้นเราจะนำเกนของโหมดรีเซ็ตขึ้นนัล KP มาคูณกับเกนของโหมดอินติกรัล (reset) KI ซึ่งใช้ในการลดค่ารชบอนุภาคและค่าผิดพลาดที่อยู่ภายในบริเวณหน่วยความจำในเทอม SUM ที่แปรตามค่าเวลา DT มีหน่วยเป็นวินาทีผลลันซ์ DCI ที่ได้เราจะนำมาตรวจสอบกรณีการเกิดการโอเวอร์โฟลว์ โดยการตรวจสอบแคร์รี่บิตของผลลันซ์ที่ได้มีการโอเวอร์โฟลว์เกิดขึ้น เราจะเซตค่า DCI สูงสุดได้ไม่เกิน FFFH

5.5.3) โหมดรีโอฟอร์ซันัลอินติกรัล

การนำโหมดรีโอฟอร์ซันัลและอินติกรัล นำมารวมเข้าด้วยกันสามารถนำระบบของโปรแกรมมาปรับปรุงเพื่อให้ได้เกนที่เสถียรภาพยิ่งขึ้น โดยการนำเกนโหมดรีโอฟอร์ซันัล KP มาคูณเข้ากับทั้ง 2 เทอมของสัญญาณค่าผิดพลาด (DE) ทั้งโหมดอินติกรัล (reset) ที่อยู่ภายในบริเวณหน่วยความจำ บริเวณค่า SUM ของสัญญาณค่าผิดพลาด (DE) ที่แปรค่าตามค่าเวลา DT และโหมดรีโอฟอร์ซันัลที่แปรค่าตามสัญญาณค่าผิดพลาด (DE) แต่เพียงอย่างเดียวถึงแม้ว่าสมการนี้ต้องนำมาแยกค่าตามความสัมพันธ์ที่เข้าไปอยู่ในจำนวนเต็ม

$$DCPI = (KP*DE)+(KP*KI*SUM*DT) \quad (5.4)$$

เราต้องนำสัญญาณค่าผิดพลาด (DE) ของทั้ง 2 โหมดนำมาตรวจสอบที่เครื่องหมาย (SGN) ถ้าสัญญาณค่าผิดพลาด (DE) เป็นบวกจะมีการเพิ่มค่าผลลัพธ์ DCPI โดยการนำผลลัพธ์ DCI มารวมกันกับผลลัพธ์ DCP แต่ถ้าสัญญาณค่าผิดพลาด (DE) เป็นลบจะมีการลดค่าผลลัพธ์ DCPI โดยการนำผลลัพธ์ DCI มาลบออกจากผลลัพธ์ DCP ผลลัพธ์ DCPI ที่ได้เราจะนำมาตรวจสอบกรณีโอเวอร์โฟลว์หรือแอนเดอร์โฟลว์ โดยทำการตรวจสอบแคร์รี่ที่ถ้าผลลัพธ์ที่เกิดการโอเวอร์โฟลว์เราจะเซตค่าผลลัพธ์ DCPI ที่ได้มีค่าไม่เกิน FFH แต่ถ้าผลลัพธ์ที่เกิดการแอนเดอร์โฟลว์เราจะเซตค่าผลลัพธ์ DCPI ที่ได้ไม่น้อยกว่า 00H

5.5.4) โหมดคิริเวทีฟ (RATE)

ในส่วนของโหมดคิริเวทีฟที่มีการควบคุมสัญญาณการย้อนกลับ เป็นค่าที่ขึ้นอยู่กับค่าอัตราการเปลี่ยนแปลงสัญญาณค่าผิดพลาด (DDE) ต่ออัตราการเปลี่ยนแปลงตามค่าตัวแปรเวลา DT

$$DCD = KP*KD*DDE \quad (5.5)$$

$$DCD = \text{ตัวควบคุมคิริเวทีฟเอาท์พุทคิริเวทีฟ}$$

$$KD = \text{เกนคิริเวทีฟคิริเวทีฟ}$$

เอกสารนี้เป็นเอกสารที่สงวนไว้สำหรับการใช้งานเพื่อการศึกษาเท่านั้น ไม่อนุญาตให้นำไปใช้ประโยชน์ด้านการค้า ไม่ว่าจะกรณีใดๆ ทั้งสิ้น อีกทั้งห้ามมิให้ดัดแปลงเนื้อหา และต้องอ้างอิงถึงเจ้าของเอกสารทุกครั้งที่มีการนำไปใช้

DDE = การเปลี่ยนแปลงค่าสัญญาณค่าผิดพลาด

สัญญาณค่าผิดพลาด (DDE) ของโหมตติรีเวทไฟที่ได้จากค่าความแตกต่างกันระหว่างตัวแปรอินพุตตารางตำแหน่ง (DV[N]) ลบออกจากตัวควบคุมตัวแปรอินพุตตารางตำแหน่ง (DV[N-1]) ของค่าที่แล้วผลลัพธ์ของสัญญาณค่าผิดพลาด (DDE) สามารถนำมาตรวจสอบเครื่องหมาย DDE โดยใช้แคร์ริบิทนำมาตรวจสอบ ถ้าค่าของตัวแปร $DV > DVO$ จะมีเครื่องหมายเป็นบวกเราจะเซตบิทเครื่องหมายเป็นศูนย์ (SGN=0) มันจะมีการทดแคร์ริบิทมีค่าเป็นหนึ่ง แต่ถ้าตัวแปร $DV < DVO$ จะมีเครื่องหมายเป็นลบเราจะเซตบิทเครื่องหมายเป็นหนึ่ง (SGN=1) มันจะไม่มีทดแคร์ริบิท มีค่าเป็นศูนย์พร้อมกับทำการแปลงผลลัพธ์ให้อยู่ภายในค่า 2's complement จากนั้นเรานำผลลัพธ์ที่ได้มาคูณกับเกนโหมคปรีอพอร์ชันนัล KP และเกนโหมคติรีเวทไฟ KD ซึ่งเป็นอัตราการเปลี่ยนแปลงของเกนโหมคติรีเวทไฟ KD ต่ออัตราการเปลี่ยนแปลงในขอบเขตการแปรตามค่าเวลา DT ซึ่งอยู่ในสมการ KD/DT ผลลัพธ์ DCD ที่ได้จากการคูณนำมาตรวจสอบการเกิดโอเวอร์โฟร์ หรือไม่โดยทำการตรวจสอบแคร์ริบิทถ้ามีการโอเวอร์โฟร์เกิดขึ้นเราจะทำการเซตค่าผลลัพธ์ DCD ได้ค่าสูงสุดไม่เกิน FFH

5.5.5) โหมคปรีอพอร์ชันนัลอินติกรัลติรีเวทไฟ

การนำโหมคปรีอพอร์ชันนัลอินติกรัลและติรีเวทไฟนำมารวมเข้าด้วยกัน สามารถนำระบบส่วนของโปรแกรมมาปรับปรุงเพื่อให้ได้เกนที่เสถียรภาพยิ่งขึ้น โดยการนำเกนโหมคปรีอพอร์ชันนัล KP มาคูณเข้ากับทั้ง 3 เทอมของสัญญาณค่าผิดพลาด (DE) ทั้งโหมคอินติกรัล (reset) ที่อยู่ในบริเวณหน่วยความจำบริเวณค่า SUM ของสัญญาณค่าผิดพลาด (DE) ที่แปรค่าตามค่าเวลา DT เกนโหมคติรีเวทไฟ KD ต่ออัตราการเปลี่ยนแปลงในขอบเขตแปรตามค่าเวลา DT ซึ่งอยู่ในสมการ KD/DT และโหมคปรีอพอร์ชันนัลที่แปรค่าตามสัญญาณค่าผิดพลาด (DE) แต่เพียงอย่างเดียว ถึงแม้ว่าสมการนี้ต้องนำมาแยกค่าตามความสัมพันธ์ที่เข้าไปอยู่ในจำนวนเต็ม

$$DCPID = (KP*DE + KP*KI*SUM*DT) + (KP*KD*DDE/DT) \quad (5.6)$$

เราต้องนำสัญญาณค่าผิดพลาด (DE) ของทั้ง 2 โหมคมาตรวจสอบบิทเครื่องหมาย (SGN) ถ้าสัญญาณเอกสารนี้เป็นเอกสารที่สงวนไว้สำหรับการใช้งานเพื่อการศึกษาเท่านั้น ไม่อนุญาตให้นำไปใช้ประโยชน์ด้านการค้า ไม่ว่ากรณีใดๆ ทั้งสิ้น อีกทั้งห้ามมิให้ดัดแปลงเนื้อหา และต้องอ้างอิงถึงเจ้าของเอกสารทุกครั้งที่มีการนำไปใช้

ค่าผิดพลาด (DE) เป็นบวกจะมีการเพิ่มค่าผลลัพธ์ DCPID โดยการนำส่วนของผลลัพธ์ DCP1 มารวมกันกับผลลัพธ์ DCD แต่ถ้าสัญญาณค่าผิดพลาด (DE) เป็นลบจะมีการลดค่าผลลัพธ์ DCPID โดยการนำผลลัพธ์ DCP1 มาลบออกจากผลลัพธ์ DCD ผลลัพธ์ DCPID ที่ได้เราจะนำมาตรวจสอบกรณีโอเวอร์โพรหรือแอนเดอร์โพรโดยทำการตรวจสอบแคร์ริบถ้าผลลัพธ์ที่ได้เกิดการโอเวอร์โพร เราจะขีดค่าผลลัพธ์ DCPID ที่ได้มีค่าไม่เกิน FFH แต่ถ้าผลลัพธ์ที่ได้เกิดการแอนเดอร์โพร เราจะขีดค่าผลลัพธ์ DCPID ที่ได้ไม่น้อยกว่า 00H



เอกสารนี้เป็นเอกสารที่สงวนไว้สำหรับการใช้งานเพื่อการศึกษาเท่านั้น ไม่อนุญาตให้นำไปใช้ประโยชน์ด้านการค้า ไม่ว่าจะกรณีใดๆ ทั้งสิ้น อีกทั้งห้ามมิให้ดัดแปลงเนื้อหา และต้องอ้างอิงถึงเจ้าของเอกสารทุกครั้งที่มีการนำไปใช้

บทที่ 6

ผลการทดลอง

6.1 บทนำ

ในการทำวิทยานิพนธ์เล่มนี้ได้กล่าวมาตั้งแต่ต้นจนถึงผลการทดลองภายในบทสุดท้าย นวัตกรรมที่จะสรุป โดยการนำเสนอแนวความคิดการควบคุมตำแหน่งดีซีมอเตอร์แบบ PID และ PD โดยนำไมโครโปรเซสเซอร์นำมาประยุกต์ใช้ที่มีการออกแบบโมเดลอัลกอริทึมแบบ PID และ PD ที่มีการแปลงระบบโดยการตั้งค่าพารามิเตอร์จากวิธีการจำลองข้อมูลตัวควบคุมตำแหน่งแบบ PID และ PD จากที่ได้นำมากล่าวไว้แล้วในตอนต้น (บทที่ 4) ซึ่งโดยปกติการจะหาค่าพารามิเตอร์ที่ได้จากการจำลองการควบคุมแบบ PID และ PD จะมีอยู่หลายวิธีด้วยกันแต่เราจะใช้วิธีการวิเคราะห์หาค่าพารามิเตอร์กระบวนการและจุดตามวิธีแบบโบลด์ลิต เพื่อที่จะนำค่าในโหมดปร็อบนอร์ชั้้นัลอินติกรัลติรีเวทีฟมาคำนวณหาค่าเกนของ K_p , K_i และ K_d ได้เพื่อที่จะนำมาใช้หาค่าแรงดันที่ได้จากการเคลื่อนที่ในตำแหน่งแรกเคลื่อนที่ไปยังตำแหน่งถัดไปเราจะนำค่าที่ได้มาใช้คำนวณมุม θ_1 เป็นระยะที่มอเตอร์สามารถเคลื่อนที่ได้จริงพร้อมทั้งมีการเพิ่มโพลดจากภายนอก โดยเมื่อเราทำการเพิ่มค่าในส่วนของโพลดมอเตอร์เข้าไปมุมที่มอเตอร์เคลื่อนที่ได้ไม่เปลี่ยนไปจากเดิมคือ θ_1 คงเดิมจากนั้นจะทำการเซ็ตนำค่าจากตารางภายในไมโครโปรเซสเซอร์ เพื่อที่เราจะสามารถกำหนดค่าใหม่ให้ตำแหน่งของมอเตอร์เปลี่ยนไปจากเดิมไปเป็น θ_2 โดยที่เกนของ K_p , K_i , K_d ยังคงเท่าเดิมพร้อมทั้งมีการเพิ่มโพลดของมอเตอร์โดยเราจะทำการปรับค่าตำแหน่งเช่นเดียวกับมุม θ_1 ในส่วนของมุม θ_2 ก็จะทำแบบเดียวกันกับ θ_1 พร้อมทั้งมีการเพิ่มโพลดพร้อมทั้งปรับแต่งตำแหน่งแบบเดียวกันนี้

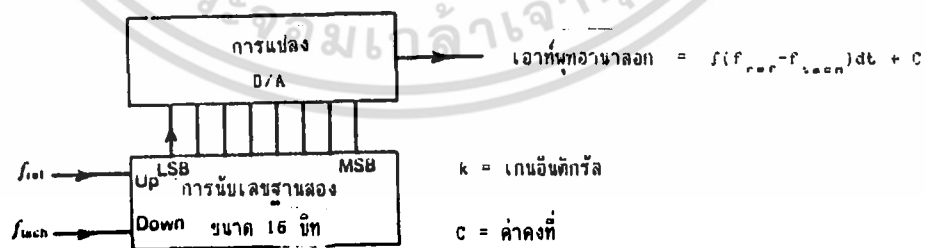
ในส่วนต่อไปเราจะทำการปรับค่าเกน K_p , K_i , K_d เพื่อที่จะปรับแต่งค่าใหม่เพื่อทำให้ผลตอบสนองของระบบดีขึ้นพร้อมทั้งหาค่าในตำแหน่งแรกเคลื่อนที่ไปยังตำแหน่งถัดไปเราจะนำค่าที่ได้มาใช้คำนวณมุม θ_1 เป็นระยะที่มอเตอร์สามารถเคลื่อนที่ได้จริงซึ่งทำในลักษณะเดียวกับค่าในมุม θ_1 ดังที่ได้กล่าวมาแล้ว จากนั้นเราจะทำการเพิ่มโพลดโดยการต่อกับมอเตอร์เช่นเดียวกัน จากนั้นเราจะนำมาสร้างค่าตารางเพิ่มขึ้นภายในไมโครโปรเซสเซอร์ เพื่อที่เราจะหาค่าตำแหน่งใหม่ของมอเตอร์ที่เปลี่ยนไปจากเดิมไปเป็น θ_2 โดยเกนของ K_p , K_i , K_d ยังคงเดิมพร้อมทั้งมีการเพิ่มโพลดของมอเตอร์ในส่วนของมุม θ_2 ก็จะทำแบบเดียวกันกับ θ_1 พร้อมทั้งมีการเพิ่มโพลดและปรับค่าเกนแบบเดียวกันนี้ จากนั้น

เอกสารนี้เป็นเอกสารที่สงวนไว้สำหรับการใช้งานเพื่อการศึกษาเท่านั้น ไม่อนุญาตให้นำไปใช้ประโยชน์ด้านการค้า ไม่ว่าจะกรณีใดๆ ทั้งสิ้น อีกทั้งห้ามมิให้ดัดแปลงเนื้อหา และต้องอ้างอิงถึงเจ้าของเอกสารทุกครั้งที่มีการนำไปใช้

เราจะนำค่าที่ได้จากการทดลองที่ได้จากการตั้งค่าเกน PID ทั้ง 2 ค่า เพื่อที่จะนำมาใช้ในการเปรียบเทียบผลการทดลองได้จากค่า rise time = T_r , overshoot และ settling time = T_s เพื่อที่จะนำมาผลที่ได้นำมาเปรียบเทียบผลที่ได้จากการตั้งค่าเกนต่างๆโดยเราจะต้องนำผลทั้ง 3 ชนิดมาใช้ในการพิจารณาความคุ้มกันไปทั้ง 3 กรณี

6.2 ผลการทดลองที่ได้จากการควบคุมตำแหน่งมอเตอร์แบบ PID และ PD

ในการทดลองภายในวิทยานิพนธ์ที่จะนำมากล่าวต่อไปนี้เป็นผลจากการวัดผลการตอบสนองของความเร็วช่วงขณะจากสัญญาณทาโครเจนเนอเรเตอร์ และทำการวัดผลของการตอบสนองช่วงขณะของตำแหน่งจากสัญญาณพัลส์เจนเนอเรเตอร์พร้อมกัน โดยมีการควบคุมในลักษณะแบบ PID และ PD ที่ได้จากการเริ่มปรับค่าเกน K_p, K_i, K_d เพื่อที่จะนำมาใช้แต่เฉพาะในส่วนการควบคุมตำแหน่งเราจะทำการวัดเวลาที่สัญญาณเข้าสู่สภาวะคงที่ ตามค่าเวลา settling time = T_s , rise time = T_r เปอร์เซ็นต์ของการเกิดค่า overshoot พร้อมทั้งวัดช่วงแรงดันจากช่วงที่มอเตอร์เคลื่อนที่ไปยังตำแหน่งแรกที่มอเตอร์หยุดไปยังตำแหน่งที่สองที่มอเตอร์หยุด เพื่อที่จะนำมาใช้ในการคำนวณหามุมการเคลื่อนที่ θ_1 ที่มอเตอร์ได้เคลื่อนออกไปต่อไปเราจะนำโพลมอเตอร์อีกตัวต่อเข้าไปโดยที่เราจะทำการต่อแบบ (open) จากนั้นเราจะนำโพลมอเตอร์ที่เราได้ต่อเข้าไปมาทำการลัดวงจรมอเตอร์ หรือที่เราเรียกว่าการต่อแบบ (close) จากนั้นเราจะทำการปรับมุม θ_2 และ θ_3 ใหม่ที่ตอนสุดท้ายนี้เราจะนำวิธีการคำนวณหาค่ามุมโดยสามารถนำมาใช้ในการได้ดังรูปที่ 6.1



รูปที่ 6.1 วงจรสร้างสัญญาณการนับข้อมูลที่ใช้ในการคำนวณหาตำแหน่งมอเตอร์

จากรูปที่ 6.1 เป็นการแสดงส่วนของอานาลอกเอาต์พุตการแปลง D/A ที่ได้ดังสมการที่ 6.1

เอกสารนี้เป็นเอกสารที่สงวนไว้สำหรับการใช้งานเพื่อการศึกษาเท่านั้น ไม่อนุญาตให้นำไปใช้ประโยชน์ด้านการค้าไม่ว่ากรณีใดๆ ทั้งสิ้น อีกทั้งห้ามมิให้ดัดแปลงเนื้อหา และต้องอ้างอิงถึงเจ้าของเอกสารทุกครั้งที่มีการนำไปใช้

$$\text{อนุภาคเอาท์พุท} = k_i \int (f_{\text{ref}} - f_{\text{act}}) dt + C \quad (6.1)$$

k_i = เกนอินติกรัล

C = ค่าคงที่

การนำขบวนการนับขึ้นของ f_{ref} และขบวนการนับลงของ f_{act} โดยถ้าขบวนการทั้งสองเกิดขึ้นพร้อมๆ กัน เอาท์พุทของตัวนับจะถูกนำมาต่อกันไปยัง D/A ขนาด 16 บิต ในส่วนความล้มพันเข้าในระหว่างแรงดัน เอาท์พุทและในส่วนของการนับเลขฐานสองสามารถนำมาแสดงได้ดังสมการต่อไปนี้

$$\Delta V_o = k_i (\Delta \text{count}) \quad (6.2)$$

Δcount = การเปลี่ยนแปลงในส่วนการนับ

ΔV_o = การเปลี่ยนแปลงในแรงดันเอาท์พุท D/A ที่ตรงกันกับ Δcount

ในส่วนต่อไปเราจะนำมาหาค่าการอินติกรัลจากส่วนของสมการของ D/A ขนาด 16 บิต เราสามารถหาได้จากค่าแรงดันสูงสุด ΔV_{max} ของ D/A เป็น 15 โวลต์ และในส่วนของการนับเลขฐานสองขนาด 16 บิต เป็น 2^{16} เพื่อที่เราจะนำมาหาค่าอินติกรัล k_i

$$k_i = \frac{\Delta V_{\text{max}}}{\Delta \text{count}_{\text{max}}} \quad (6.3)$$

ΔV_{max} = แรงดันเอาท์พุท D/A สูงสุดที่ตรงกันกับ Δcount

$\Delta \text{count}_{\text{max}}$ = การนับค่าสูงสุดในการนับค่าเลขฐานสอง

จากในส่วนของอัตราการนับของสเปคนิคโมเตอร์จะพบว่าม้อตราการนับ 256 ค่า ที่มุมมองคามอเตอร์เคลื่อนที่ไป 360 องศา โดยเราสามารถหามุมที่ม้อเตอร์เคลื่อนที่ไปได้จริงที่นำมาหาค่าได้จากแรงดันจากผลการทดลอง ΔV_o เพื่อที่จะนำมาใช้หาค่ามุมที่ตำแหน่งม้อเตอร์เคลื่อนที่ต่อไป

เอกสารนี้เป็นเอกสารที่สงวนไว้สำหรับการใช้งานเพื่อการศึกษาเท่านั้น ไม่อนุญาตให้นำไปใช้ประโยชน์ด้านการค้าไม่ว่ากรณีใดๆ ทั้งสิ้น อีกทั้งห้ามมิให้ดัดแปลงเนื้อหา และต้องอ้างอิงถึงเจ้าของเอกสารทุกครั้งที่มีการนำไปใช้

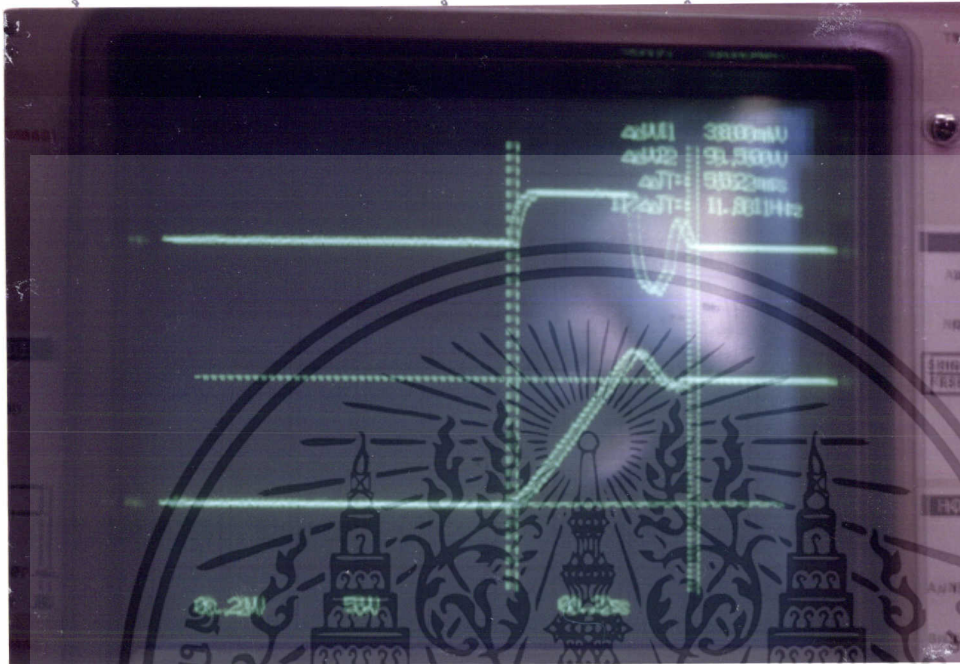
ต่อไปเราจะนำมาหาค่าในส่วนของการทดลองโดยทำการปรับค่า K_p , K_i , K_d ค่าใหม่เพื่อที่จะให้มอเตอร์เข้าสู่สภาวะคงที่ค่าใหม่ตามค่าเวลา settling time = T_s rise time = T_r และเปอร์เซ็นต์ของการ overshoot ที่เหมาะสมพร้อมทั้งนำผลที่ได้จากการทดลองในแต่ละค่านำมาเปรียบเทียบต่อไป

6.2.1 ผลตอบสนองการควบคุมตำแหน่งมอเตอร์ PID แบบที่ 1 ($K_p=32.5$ $K_i=99$ $K_d=1$)

ในส่วนของการทดลองนี้จะมีการควบคุมตำแหน่งมอเตอร์ที่เราได้นำมาใช้ในการปรับแต่งการจูนค่า PID ของระบบที่นำค่าเกณฑ์ต่างๆ ที่ได้จากการจำลองโบลโตอะแกรมจากบทที่ 3 โดยเราจะนำผลที่ได้มาทำการจำลองค่าต่างๆ ภายในซอฟต์แวร์จากบทที่ 4 ระบบที่เราได้จากการปรับแต่งนี้เราสามารถนำมาใช้ปรับแต่งค่าเกณฑ์ภายในระบบที่มีอยู่

settling time = 582 ms rise time = 268 ms overshoot = 2.6 % V = 380 mV

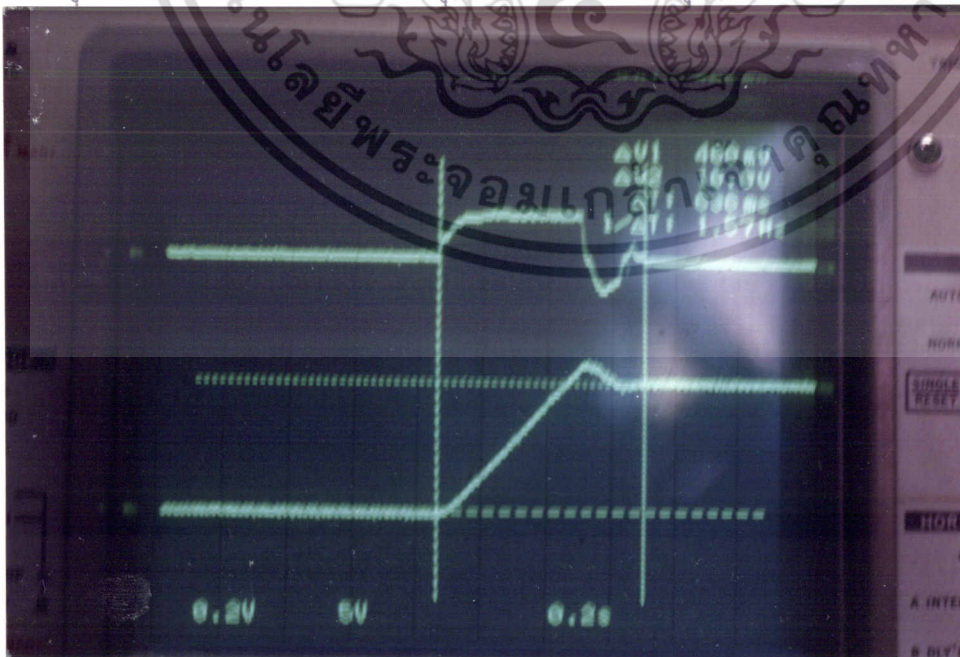
เอาที่พู่ทางด้านบนแสดงผลตอบสนองควบคุมความเร็ว เอาที่พู่ด้านล่างแสดงผลตอบสนองควบคุมตำแหน่ง



รูปที่ 6.2 การควบคุมตำแหน่งที่ $\theta_p = 240^\circ$ เมื่อไม่ต่อโหลด $K_p = 32.5$ $K_v = 99$ $K_d = 1$

settling time = 636 ms rise time = 386 ms overshoot = 1.9 % V = 400 mV

เอาที่พู่ทางด้านบนแสดงผลตอบสนองควบคุมความเร็ว เอาที่พู่ด้านล่างแสดงผลตอบสนองควบคุมตำแหน่ง



รูปที่ 6.3 การควบคุมตำแหน่ง $\theta_p = 240^\circ$ เมื่อต่อโหลดแบบ (open) $K_p = 32.5$ $K_v = 99$ $K_d = 1$
เอกสารนี้เป็นเอกสารทูลงงานวิศวกรรมเพื่อการศึกษาเท่านั้น ไม่นิยนาทไ้หาไปใช้ประโยชน์ด้านการค้า
ไม่ว่ากรณีใดๆ ทั้งสิ้น อีกทั้งห้ามมิให้ดัดแปลงเนื้อหา และต้องอ้างอิงถึงเจ้าของเอกสารทุกครั้งที่มีการนำไปใช้

settling time = 980 ms rise time = 736 ms overshoot = 1.2 % $V = 385$ mV

เอาที่พทด้านบนแสดงผลตอบสนองควบคุมความเร็ว เอาที่พทด้านล่างแสดงผลตอบสนองควบคุมตำแหน่ง

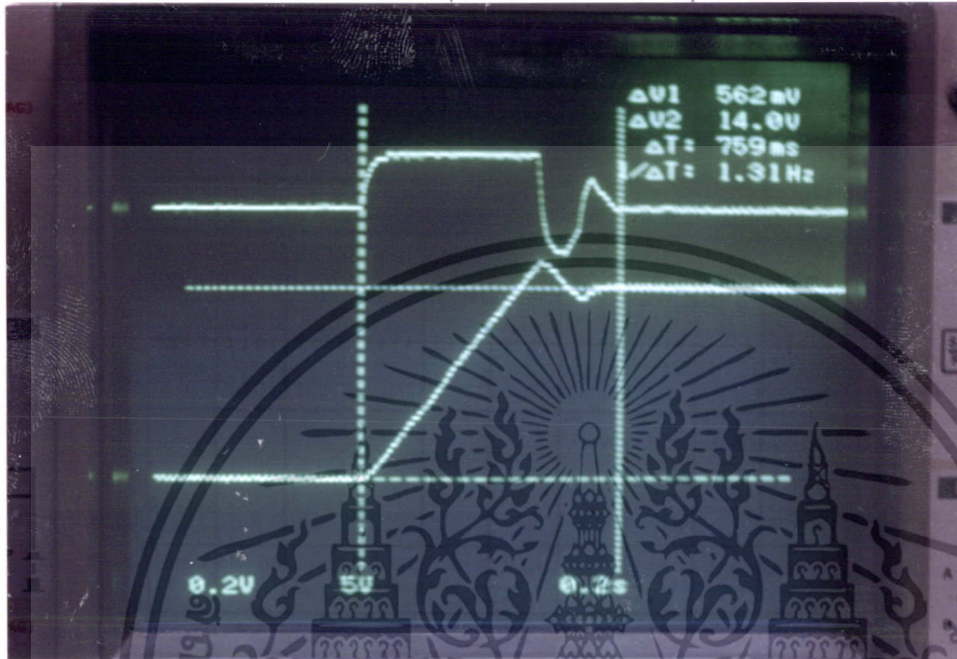


รูปที่ 6.4 การควบคุมตำแหน่ง $\theta_1 = 240^\circ$ เมื่อต่อโหมดแบบ (close) $K_p = 32.5$ $K_i = 99$ $K_d = 1$

เอกสารนี้เป็นเอกสารที่สงวนไว้สำหรับการใช้งานเพื่อการศึกษาเท่านั้น ไม่อนุญาตให้นำไปใช้ประโยชน์ด้านการค้า ไม่ว่าจะกรณีใดๆ ทั้งสิ้น อีกทั้งห้ามมิให้ดัดแปลงเนื้อหา และต้องอ้างอิงถึงเจ้าของเอกสารทุกครั้งที่มีการนำไปใช้

settling time = 759 ms rise time = 473 ms overshoot = 2.5 % V = 562 mV

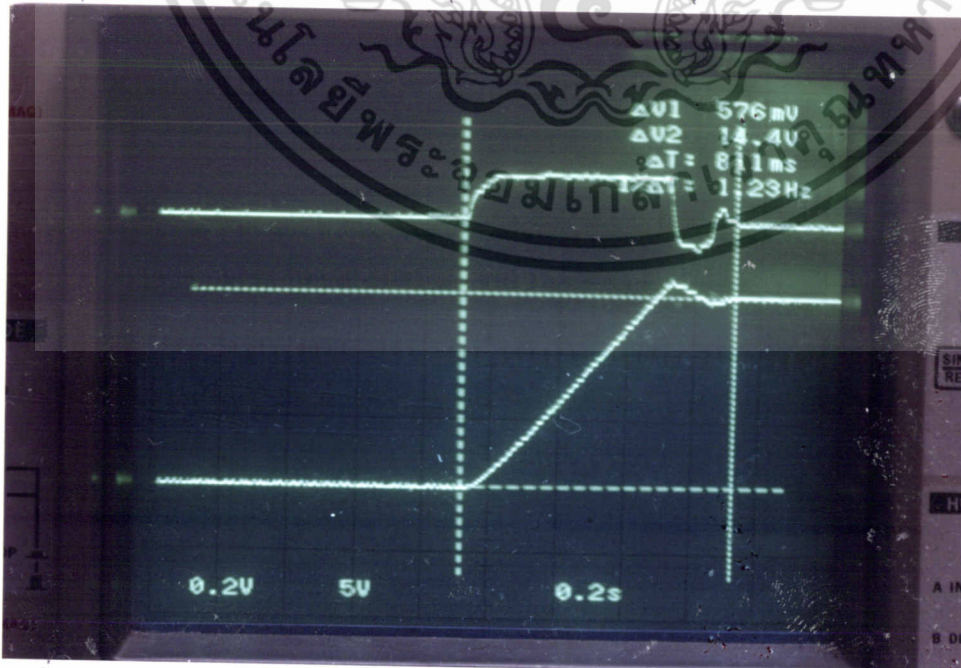
เอาที่พาด้านบนแสดงผลตอบสนองควบคุมความเร็ว เอาที่พาด้านล่างแสดงผลตอบสนองควบคุมตำแหน่ง



รูปที่ 6.5 การควบคุมตำแหน่งที่ $\theta_2 = 360^\circ$ เมื่อไม่ต่อโหลด $K_p = 32.5$ $K_i = 99$ $K_d = 1$

settling time = 811 ms rise time = 587 ms overshoot = 2.0 % V = 576 mV

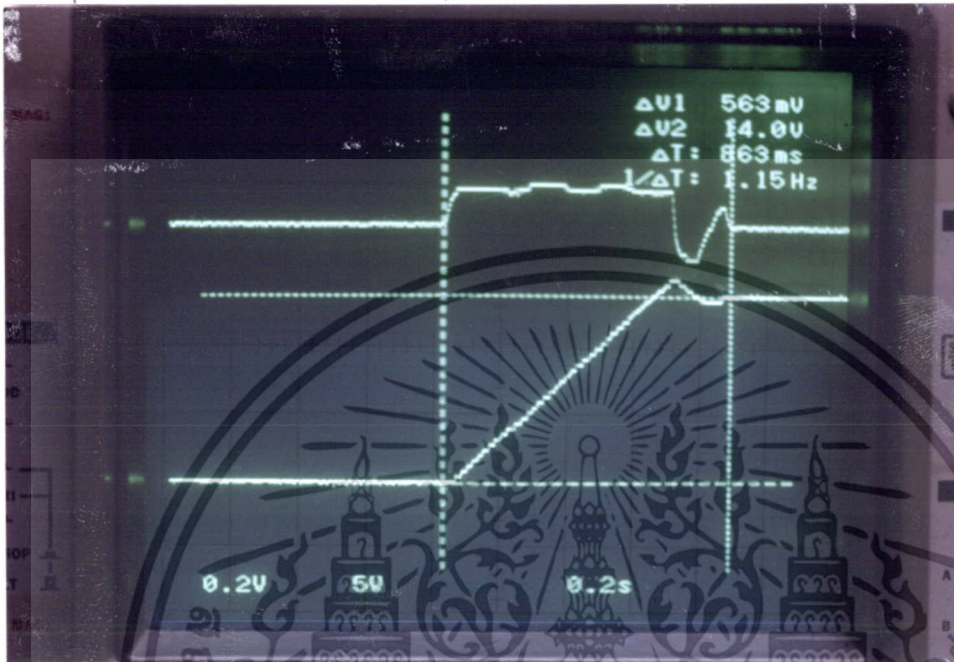
เอาที่พาด้านบนแสดงผลตอบสนองควบคุมความเร็ว เอาที่พาด้านล่างแสดงผลตอบสนองควบคุมตำแหน่ง



รูปที่ 6.6 การควบคุมตำแหน่ง $\theta = 360^\circ$ เมื่อต่อโหลดแบบ (open) $K_p = 32.5$ $K_i = 99$ $K_d = 1$
เอกสารนี้เป็นเอกสารที่สงวนไว้สำหรับการใช้งานเพื่อการศึกษาเท่านั้น ไม่นิยมนำไปใช้ประโยชน์ด้านการค้า
ไม่ว่ากรณีใดๆ ทั้งสิ้น อีกทั้งห้ามมิให้ดัดแปลงเนื้อหา และต้องอ้างอิงถึงเจ้าของเอกสารทุกครั้งที่มีการนำไปใช้

settling time = 863 ms rise time = 629 ms overshoot = 1.1 % V = 563 mV

เอาที่พิกัดบนแสดงผลตอบสนองควบคุมความเร็ว เอาที่พิกัดล่างแสดงผลตอบสนองควบคุมตำแหน่ง

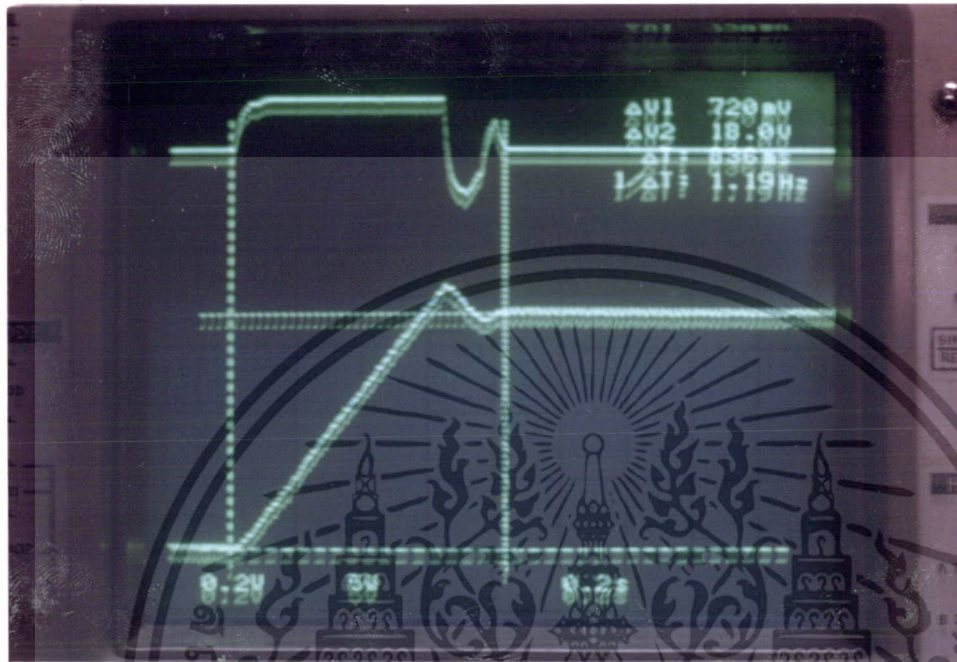


รูปที่ 6.7 การควบคุมตำแหน่ง $\theta_2 = 360^\circ$ เมื่อต่อโหลดแบบ (close) $K_p = 32.5$ $K_i = 99$ $K_d = 1$

เอกสารนี้เป็นเอกสารที่สงวนไว้สำหรับการใช้งานเพื่อการศึกษาเท่านั้น ไม่อนุญาตให้นำไปใช้ประโยชน์ด้านการค้า ไม่ว่ากรณีใดๆ ทั้งสิ้น อีกทั้งห้ามมิให้ดัดแปลงเนื้อหา และต้องอ้างอิงถึงเจ้าของเอกสารทุกครั้งที่มีการนำไปใช้

settling time = 836 ms rise time = 574 ms overshoot = 2.8 % V = 720 mV

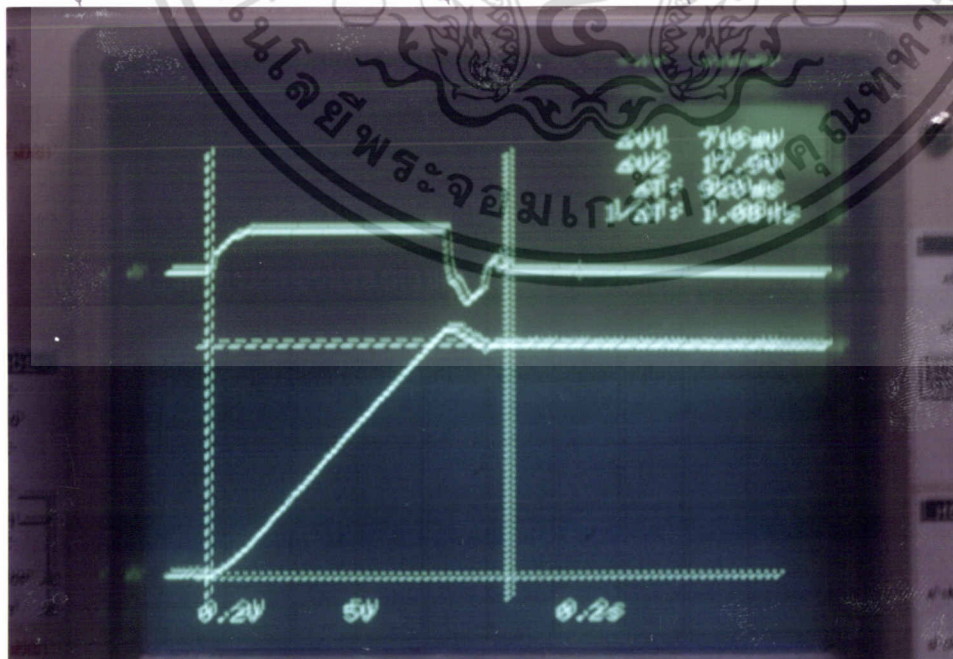
เอาที่พิกัดด้านบนแสดงผลตอบสนองควบคุมความเร็ว เอาที่พิกัดด้านล่างแสดงผลตอบสนองควบคุมตำแหน่ง



รูปที่ 6.8 การควบคุมตำแหน่งที่ $\theta_s = 450^\circ$ เมื่อไม่ต่อโหลด $K_p = 32.5$ $K_v = 99$ $K_d = 1$

settling time = 920 ms rise time = 689 ms overshoot = 2.1 % V = 716 mV

เอาที่พิกัดด้านบนแสดงผลตอบสนองควบคุมความเร็ว เอาที่พิกัดด้านล่างแสดงผลตอบสนองควบคุมตำแหน่ง

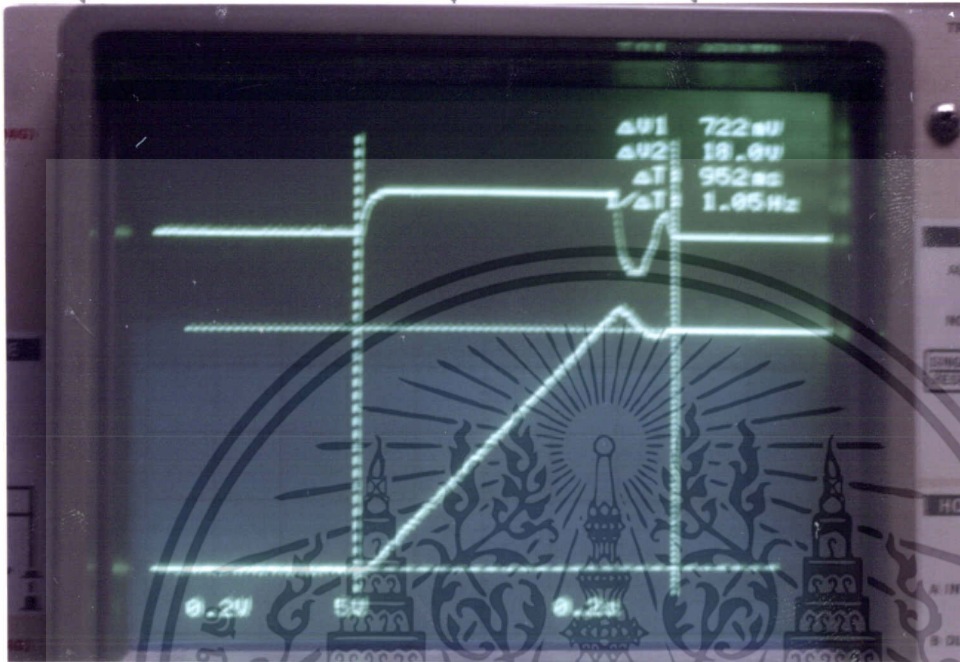


รูปที่ 6.9 การควบคุมตำแหน่ง $\theta_s = 450^\circ$ เมื่อต่อโหลดแบบ (open) $K_p = 32.5$ $K_v = 99$ $K_d = 1$

เอกสารนี้เป็นเอกสารที่สงวนไว้สำหรับการใช้งานเพื่อการศึกษาเท่านั้น ไม่นิยมนำไปใช้ประโยชน์ด้านการค้า ไม่ว่าจะกรณีใดๆ ทั้งสิ้น อีกทั้งห้ามมิให้ดัดแปลงเนื้อหา และต้องอ้างอิงถึงเจ้าของเอกสารทุกครั้งที่มีการนำไปใช้

settling time = 952 ms rise time = 738 ms overshoot = 1.4 % $V = 722$ mV

เอาที่พุด้านบนแสดงผลตอบสนองควบคุมความเร็ว เอาที่พุด้านล่างแสดงผลตอบสนองควบคุมตำแหน่ง



รูปที่ 6.10 การควบคุมตำแหน่ง $\theta_{pu} = 450^\circ$ เมื่อท้อไหลดแบบ (close) $K_p = 32.5$ $K_i = 99$ $K_d = 1$

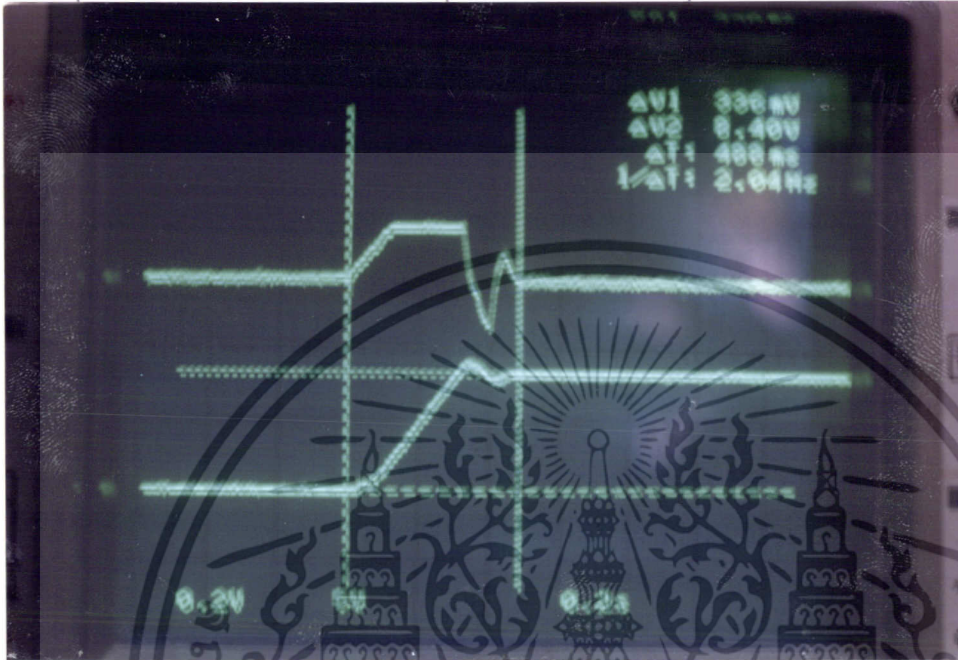
6.2.2 ผลตอบสนองการควบคุมตำแหน่งมอเตอร์ PID แบบที่ 2 ($K_p = 125$ $K_i = 124.5$ $K_d = 2.5$)

ในส่วนของการทดลองนี้จะมีการควบคุมตำแหน่งมอเตอร์ที่เราได้นำมาใช้ในการปรับแต่งการจูนค่าเกน PID ของระบบเพื่อให้ได้ผลตอบสนองของระบบที่ดีที่สุดที่นำค่าเกนต่างๆ ที่ได้โดยเราจะนำผลที่ได้จากการจำลองค่าต่างๆ ภายในซีพียูจากบทที่ 4 ระบบที่เราได้จากการปรับแต่งนี้เราสามารถนำมาใช้ปรับแต่งค่าเกนภายในระบบที่มีอยู่

เอกสารนี้เป็นเอกสารที่สงวนไว้สำหรับการใช้งานเพื่อการศึกษาเท่านั้น ไม่อนุญาตให้นำไปใช้ประโยชน์ด้านการค้าไม่ว่ากรณีใดๆ ทั้งสิ้น อีกทั้งห้ามมิให้ดัดแปลงเนื้อหา และต้องอ้างอิงถึงเจ้าของเอกสารทุกครั้งที่มีการนำไปใช้

settling time = 498 ms rise time = 319 ms overshoot = 1.5 % V = 336 mV

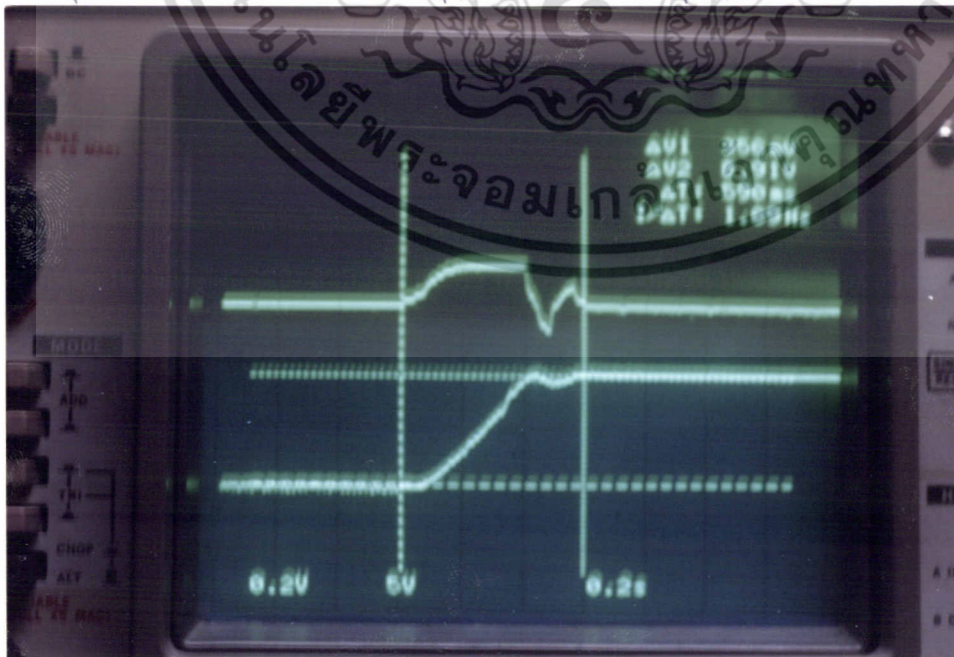
เอาที่พื้ด้านบนแสดงผลตอบสนองควบคุมความเร็ว เอาที่พื้ด้านล่างแสดงผลตอบสนองควบคุมตำแหน่ง



รูปที่ 6.11 การควบคุมตำแหน่งที่ $\theta_1 = 210^\circ$ เมื่อไม่ต่อโหลด $K_p = 125$ $K_v = 124.5$ $K_a = 2.5$

settling time = 590 ms rise time = 389 ms overshoot = 0.6 % V = 356 mV

เอาที่พื้ด้านบนแสดงผลตอบสนองควบคุมความเร็ว เอาที่พื้ด้านล่างแสดงผลตอบสนองควบคุมตำแหน่ง



รูปที่ 6.12 การควบคุมตำแหน่ง $\theta = 210^\circ$ เมื่อต่อโหลดแบบหุ่(open) $K_p = 125$ $K_v = 124.5$ $K_a = 2.5$
เอกสารนี้เป็นเอกสารที่สงวนไว้สำหรับการใช้งานเพื่อการศึกษาเท่านั้น ไม่อนุญาตให้นำไปใช้ประโยชน์อื่นการค่า

ไม่ว่ากรณีใดๆ ทั้งสิ้น อีกทั้งห้ามมิให้ดัดแปลงเนื้อหา และต้องอ้างอิงถึงเจ้าของเอกสารทุกครั้งที่มีการนำไปใช้

settling time = 826 ms rise time = 634 ms overshoot = 0.4 % V = 342 mV

เอาที่พิกัดด้านบนแสดงผลตอบสนองควบคุมความเร็ว เอาที่พิกัดด้านล่างแสดงผลตอบสนองควบคุมตำแหน่ง

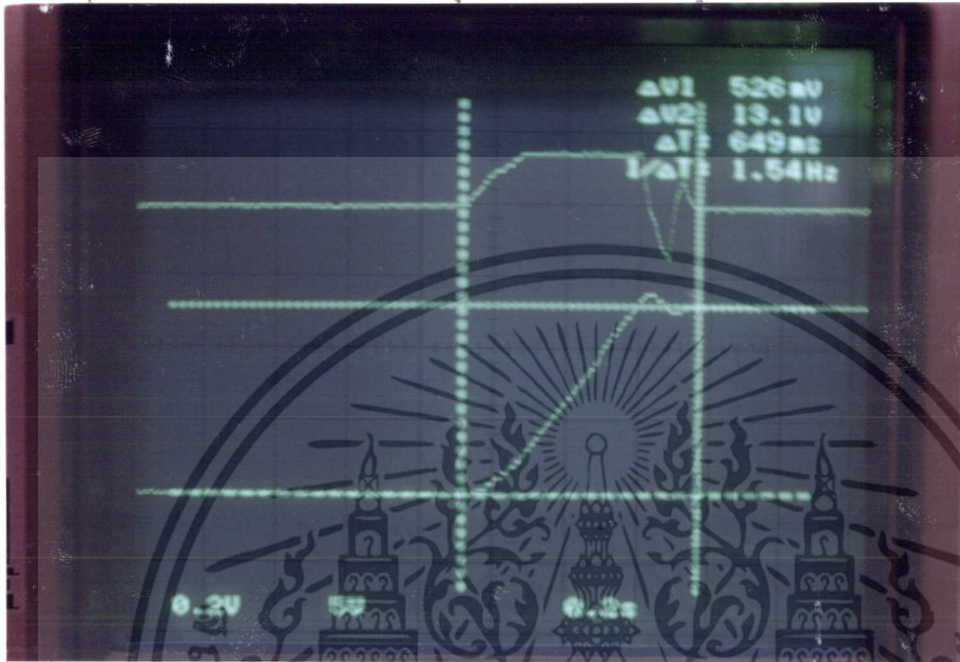


รูปที่ 6.13 การควบคุมตำแหน่ง $\theta_1 = 210^\circ$ เมื่อต่อโหลดแบบ (close) $K_p = 125$ $K_i = 124.5$ $K_d = 2.5$

เอกสารนี้เป็นเอกสารที่สงวนไว้สำหรับการใช้งานเพื่อการศึกษาเท่านั้น ไม่อนุญาตให้นำไปใช้ประโยชน์ด้านการค้า ไม่ว่าจะกรณีใดๆ ทั้งสิ้น อีกทั้งห้ามมิให้ดัดแปลงเนื้อหา และต้องอ้างอิงถึงเจ้าของเอกสารทุกครั้งที่มีการนำไปใช้

settling time = 649 ms rise time = 478 ms overshoot = 1.4 % V = 526 mV

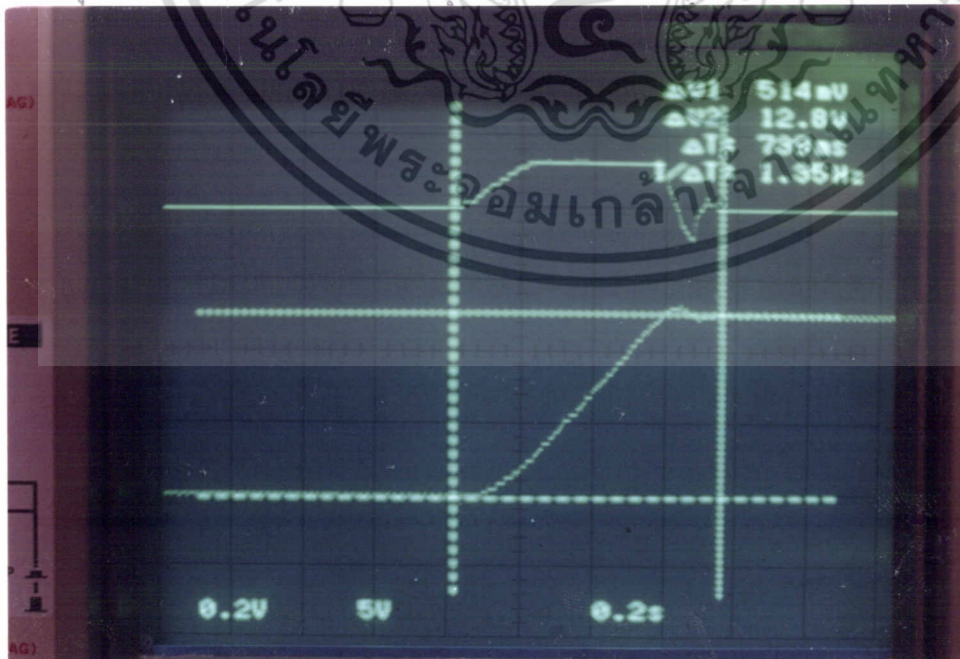
เอาที่พาด้านบนแสดงผลตอบสนองควบคุมความเร็ว เอาที่พาด้านล่างแสดงผลตอบสนองควบคุมตำแหน่ง



รูปที่ 6.14 การควบคุมตำแหน่งที่ $\theta_2 = 320^\circ$ เมื่อไม่ต่อโหลด $K_p = 125$ $K_v = 124.5$ $K_a = 2.5$

settling time = 739 ms rise time = 576 ms overshoot = 0.8 % V = 514 mV

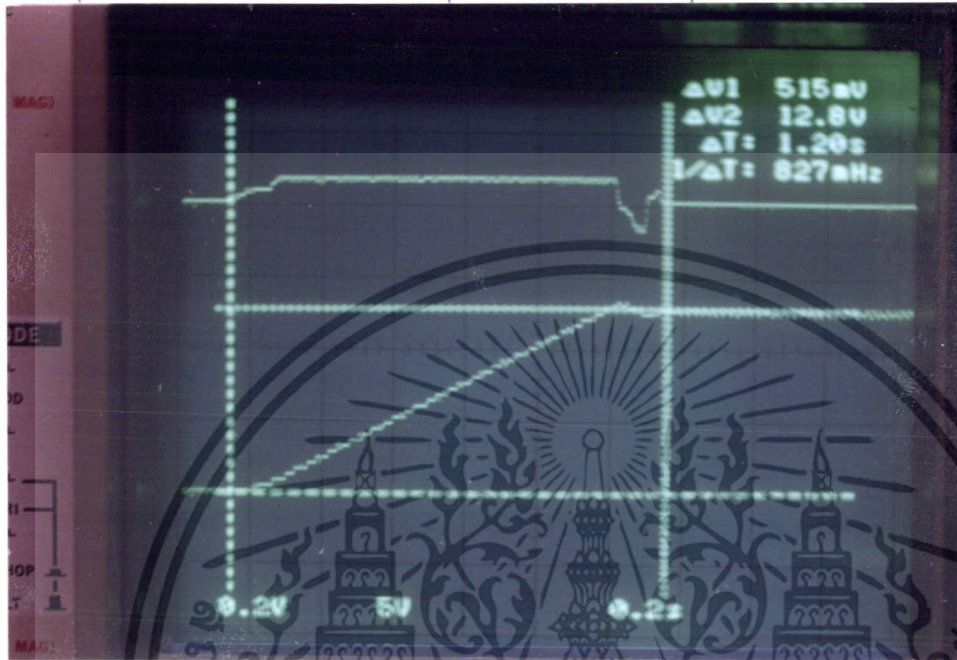
เอาที่พาด้านบนแสดงผลตอบสนองควบคุมความเร็ว เอาที่พาด้านล่างแสดงผลตอบสนองควบคุมตำแหน่ง



รูปที่ 6.15 การควบคุมตำแหน่ง $\theta_2 = 320^\circ$ เมื่อต่อโหลดแบบ (open) $K_p = 125$ $K_v = 124.5$ $K_a = 2.5$
เอกสารนี้เป็นเอกสารที่สงวนไว้สำหรับการใช้งานเพื่อการศึกษาเท่านั้น ไม่นิยมนำไปใช้ประโยชน์อื่นใด
ไม่ว่ากรณีใดๆ ทั้งสิ้น อีกทั้งห้ามมิให้ดัดแปลงเนื้อหา และต้องอ้างอิงถึงเจ้าของเอกสารทุกครั้งที่มีการนำไปใช้

settling time = 1.20 s rise time = 978 ms overshoot = 0.4 % V = 515 mV

เอาที่พาด้านบนแสดงผลตอบสนองควบคุมความเร็ว เอาที่พาด้านล่างแสดงผลตอบสนองควบคุมตำแหน่ง

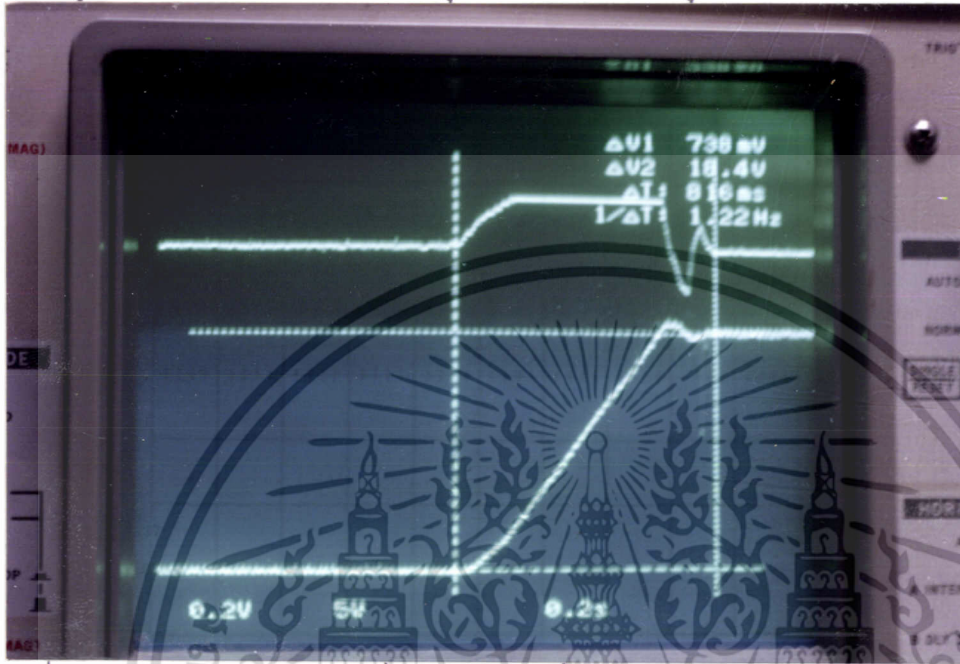


รูปที่ 6.16 การควบคุมตำแหน่ง $\theta_2 = 320^\circ$ เมื่อต่อโหลดแบบ (close) $K_p = 125$ $K_i = 124.5$ $K_d = 2.5$

เอกสารนี้เป็นเอกสารที่สงวนไว้สำหรับการใช้งานเพื่อการศึกษาเท่านั้น ไม่อนุญาตให้นำไปใช้ประโยชน์ด้านการค้า ไม่ว่าจะกรณีใดๆ ทั้งสิ้น อีกทั้งห้ามมิให้ดัดแปลงเนื้อหา และต้องอ้างอิงถึงเจ้าของเอกสารทุกครั้งที่มีการนำไปใช้

settling time = 816 ms rise time = 637 ms overshoot = 1.5 % V = 738 mV

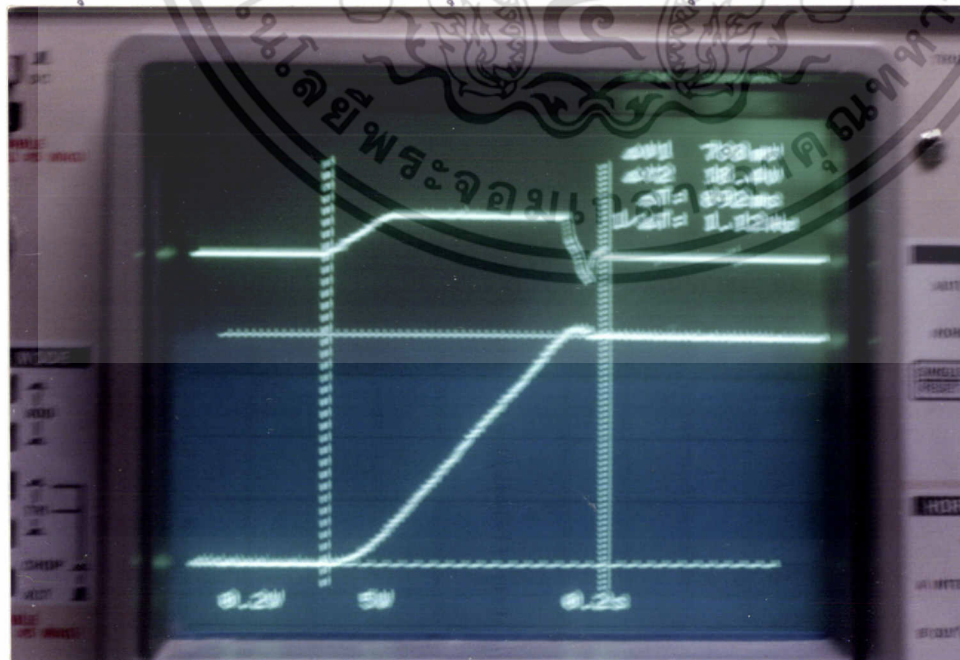
เอาที่พหุคูณบนแสดงผลตอบสนองควบคุมความเร็ว เอาที่พหุคูณล่างแสดงผลตอบสนองควบคุมตำแหน่ง



รูปที่ 6.17 การควบคุมตำแหน่งที่ $\theta_s = 460^\circ$ เมื่อไม่ต่อโหลด $K_p = 125$ $K_i = 124.5$ $K_d = 2.5$

settling time = 892 ms rise time = 784 ms overshoot = 0.6 % V = 738 mV

เอาที่พหุคูณบนแสดงผลตอบสนองควบคุมความเร็ว เอาที่พหุคูณล่างแสดงผลตอบสนองควบคุมตำแหน่ง



รูปที่ 6.18 การควบคุมตำแหน่ง $\theta = 460^\circ$ เมื่อต่อโหลดแบบ (open) $K_p = 125$ $K_i = 124.5$ $K_d = 2.5$
เอกสารนี้เป็นเอกสารที่สงวนไว้สำหรับบริการใช้งานเพื่อการศึกษาเท่านั้น ไม่อนุญาตให้นำไปใช้ประโยชน์ด้านการค้า
ไม่ว่ากรณีใดๆ ทั้งสิ้น อีกทั้งห้ามมิให้ดัดแปลงเนื้อหา และต้องอ้างอิงถึงเจ้าของเอกสารทุกครั้งที่มีการนำไปใช้

settling time = 1.14 s rise time = 976 ms overshoot = 0.5 % V = 738 mV

เอาที่พหุคูณบนแสดงผลตอบสนองควบคุมความเร็ว เอาที่พหุคูณล่างแสดงผลตอบสนองควบคุมตำแหน่ง



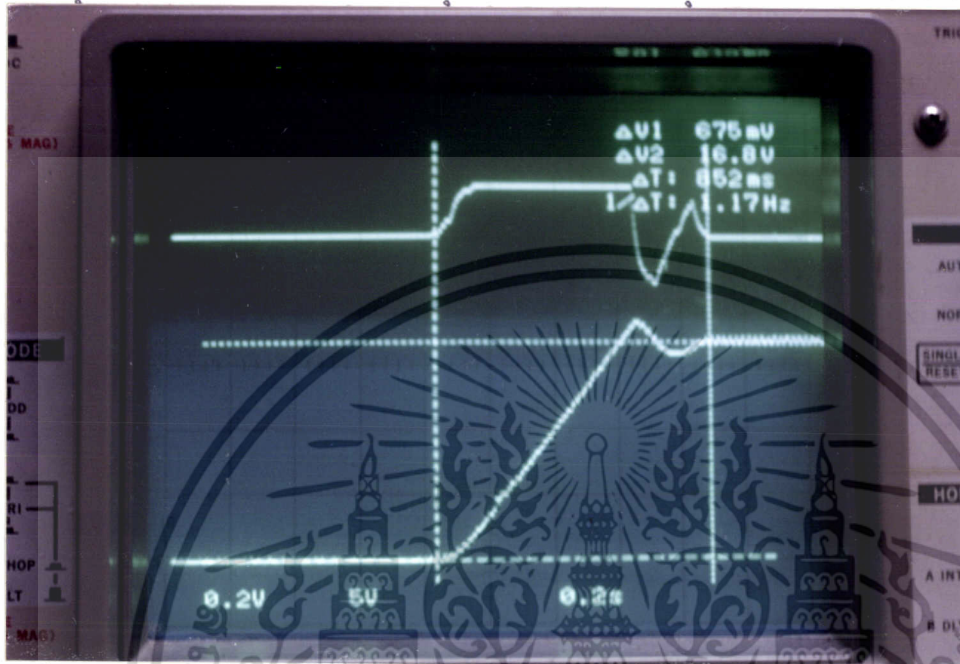
รูปที่ 6.19 การควบคุมตำแหน่ง $\theta_y = 460^\circ$ เมื่อต่อโหมดแบบ (close) $K_p = 125$ $K_i = 124.5$ $K_d = 2.5$

6.2.3 ผลตอบสนองการควบคุมตำแหน่งมอเตอร์ PD ($K_p = 125$ $K_d = 2.5$)

ในส่วนของผลการทดลองนี้จะมีการควบคุมตำแหน่งมอเตอร์ที่เราได้นำมาใช้ในการปรับแต่งการจูนค่าเกน PD ของระบบที่นำค่าเกนต่างๆ ที่ได้ โดยเราจะนำผลที่ได้จากการจำลองค่าต่างๆ จากการตั้งค่าเกน PID แบบที่ 2 ภายในซอฟต์แวร์ที่ได้จากวิธีของการโบดไดอะแกรมจากบทที่ 4 ระบบที่เราได้จากการปรับแต่งนี้เราสามารถนำมาใช้ปรับแต่งค่าเกนภายในระบบที่มีอยู่

settling time = 652 ms rise time = 521 ms overshoot = 2.4 % V = 675 mV

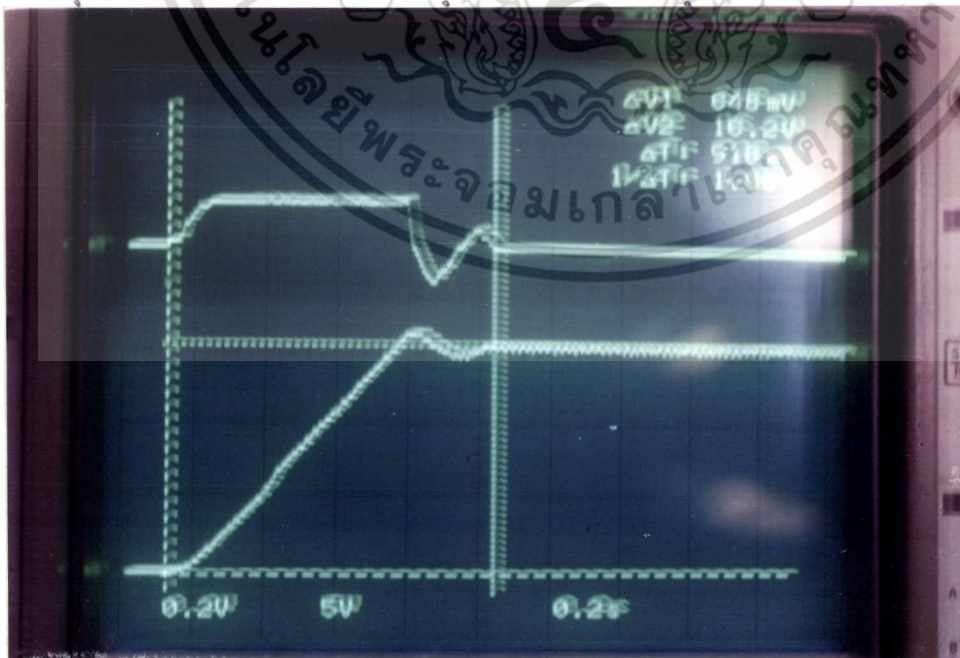
เอาที่พุด้านบนแสดงผลตอบสนองควบคุมความเร็ว เอาที่พุด้านล่างแสดงผลตอบสนองควบคุมตำแหน่ง



รูปที่ 6.20 การควบคุมตำแหน่งที่ $\theta = 410^\circ$ เมื่อไม่ต่อโหลด $K_p = 125$ $K_v = 2.5$

settling time = 910 ms rise time = 648 ms overshoot = 1.3 % V = 648 mV

เอาที่พุด้านบนแสดงผลตอบสนองควบคุมความเร็ว เอาที่พุด้านล่างแสดงผลตอบสนองควบคุมตำแหน่ง

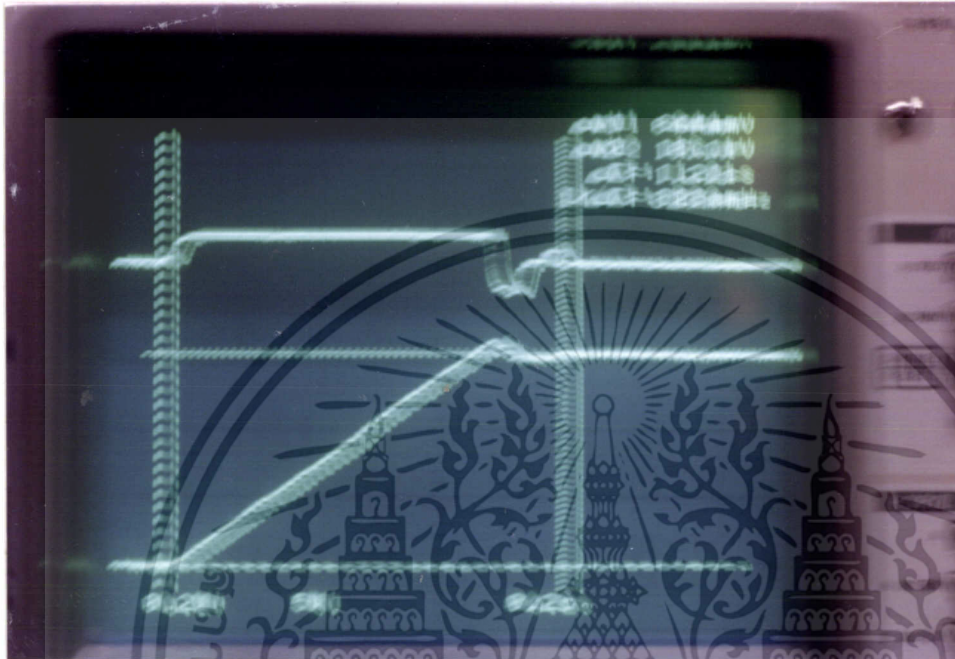


รูปที่ 6.21 การควบคุมตำแหน่ง $\theta = 410^\circ$ เมื่อต่อโหลดแบบ (open) $K_p = 125$ $K_v = 2.5$

เอกสารนี้เป็นเอกสารที่สงวนไว้สำหรับการใช้งานเพื่อการศึกษาเท่านั้น ไม่นิยมนำไปใช้ประโยชน์ด้านการค้า

ไม่ว่ากรณีใดๆ ทั้งสิ้น อีกทั้งห้ามมิให้ดัดแปลงเนื้อหา และต้องอ้างอิงถึงเจ้าของเอกสารทุกครั้งที่มีการนำไปใช้

settling time = 1.20 s rise time = 911 ms overshoot = 0.9 % V = 644 mV
เอาที่พิกัดด้านบนแสดงผลตอบสนองควบคุมความเร็ว เอาที่พิกัดด้านล่างแสดงผลตอบสนองควบคุมตำแหน่ง



รูปที่ 6.22 การควบคุมตำแหน่ง $\theta_p = 410^\circ$ เมื่อต่อโหลดแบบ (close) $K_p = 125$ $K_d = 2.5$

จากผลการทดลองในส่วนที่มีการควบคุมตำแหน่งมอเตอร์แบบ PID ทั้งแบบที่ 1 และ แบบที่ 2 พอที่จะนำมาสรุปได้ว่าการตั้งค่าเกน PID จะมีผลต่อการควบคุมตำแหน่งในส่วนของค่า overshoot = % : rise time = ms : และ settling time = ms จากผลที่ได้จากการทดลองที่ผ่านมาถ้าเรานำมาผลลัพท์ของเกน PID นำมาเปรียบเทียบผลเราพบว่าค่าเกน PID ในแบบที่ 1 จะมีเปอร์เซ็นต์ของส่วนโอเวอร์ชูทสูงกว่าการตั้งค่าเกน PID ในแบบที่ 2 ในส่วนของตำแหน่งต่างๆ ในค่าของมอเตอร์ที่ตั้งค่าเกนเดียวกันจะมีผลต่อเปอร์เซ็นต์การโอเวอร์ชูทน้อยมากหรืออาจกล่าวได้รวมๆ ว่าแทบจะไม่มีผลเลยแต่จากการเพิ่มโหลดของมอเตอร์เข้าไปเราจะพบว่าอัตราส่วนของเปอร์เซ็นต์การโอเวอร์ชูทจะยิ่งลดต่ำลง โดยที่โหลดหนักจะมีโอเวอร์ชูทต่ำกว่าโหลดเบา

ส่วนค่าของ settling time นั้นถ้าเรานำค่าที่ได้นำมาเปรียบเทียบดู เราจะพบว่าที่ตำแหน่งมอเตอร์หยุด ณ. ที่ตำแหน่งเดียวกันค่าเกน PID แบบที่ 2 จะเข้าสู่ค่า settling time ได้เร็วกว่าแบบการตั้งค่าเกนในแบบที่ 1 แต่ถ้ามีการเปลี่ยนตำแหน่งเกิดขึ้นค่า settling time จะแปรตามตำแหน่งที่มอเตอร์หยุดโดยที่ตำแหน่งมอเตอร์ยิ่งมากค่า settling time ก็จะมียิ่งนานขึ้นรวมทั้งเอกสารนี้เป็นเอกสารที่สงวนไว้สำหรับการใช้งานเพื่อการศึกษาเท่านั้น ไม่นิยมนำไปใช้ประโยชน์ด้านการค้าไม่ว่ากรณีใดๆ ทั้งสิ้น อีกทั้งห้ามมิให้ตัดแปลงเนื้อหา และต้องอ้างอิงถึงเจ้าของเอกสารทุกครั้งที่มีการนำไปใช้

การเพิ่มโหลดของมอเตอร์ก็จะมีผลต่อค่า settling time ด้วยโดยถ้าโหลดยิ่งเพิ่มขึ้นระยะเวลาในการเข้าสู่ settling time ก็จะมีนานขึ้น

ต่อไปเราจะนำส่วนของ rise time ที่เกิดขึ้นโดยการตั้งค่าเกน PID ในแบบที่ 1 จะมีค่าเข้าสู่ rise time ได้เร็วกว่าการตั้งค่าเกน PID ในแบบที่ 2 และในทำนองเดียวกันเราจะพบว่าถ้าเรามีการเพิ่มตำแหน่งและโหลดของมอเตอร์เข้าไปอัตราส่วนของ rise time จะเพิ่มสูงขึ้นไปตามลำดับ

จากรายละเอียดที่ได้กล่าวมาแล้วเราสามารถนำมาสรุปได้ดังตารางที่ 6.1 และ 6.2 เพื่อที่จะสะดวกต่อการเปรียบเทียบข้อมูลในการควบคุมตำแหน่ง PID ทั้งแบบที่ 1 และแบบที่ 2

ในส่วนสุดท้ายจะเป็นการเปรียบเทียบผลที่ได้จากการควบคุมตำแหน่ง PID แบบที่ 2 และ PD โดยเรานำส่วนการควบคุม PID แบบที่ 2 มุม θ มาใช้เป็นตัวแทนนำมาเปรียบเทียบผลที่ได้จากการทดลองในส่วนของการควบคุมตำแหน่ง PD ที่มุม θ เราจะสังเกตได้ว่าในช่วงการ no load ระยะเวลาในการควบคุมตำแหน่ง settling time ของ PD จะใช้เวลาที่สั้นกว่าแบบ PID แต่ถ้าเราได้มีการเพิ่มโหลดเข้าไปทั้งแบบ load (open) และ load (close) เข้าไปในมอเตอร์จะไม่มีผลทำให้ตำแหน่งของมอเตอร์เปลี่ยนแปลงไปจากเดิม

จากนั้นเราจะมาทำการตรวจสอบค่า rise time ของการควบคุมตำแหน่งมอเตอร์ทั้ง PID แบบที่ 2 ที่มุม θ และแบบ PD เราพบว่าในส่วนนี้ค่า rise time ในส่วนของ PD จะสั้นกว่าของ PID แบบที่ 2 ที่มุม θ ทั้งที่มีการต่อโหลดและที่ไม่มีการต่อโหลดทั้ง 3 แบบ

ต่อไปเราจะหันไปดูค่าเปอร์เซ็นต์ของการเกิด overshoot ถ้าเราจะทำการเปรียบเทียบค่าในนี้ โดยเราเอาส่วนของ no load เปรียบเทียบกับส่วนของ no load และส่วนของ load เปรียบเทียบกับส่วนของ load เราจะพบว่า การควบคุมตำแหน่งแบบ PID แบบที่ 2 จะมีเปอร์เซ็นต์ของการเกิด overshoot ต่ำกว่าส่วนของ การควบคุมตำแหน่งมอเตอร์แบบ PD

ในส่วนการเปรียบเทียบการควบคุมตำแหน่งมอเตอร์ทั้ง PID แบบที่ 2 และแบบ PD มุม θ เราสามารถนำมาสรุปผลของการเปรียบเทียบค่าต่างๆ ดังที่ได้กล่าวไว้แล้วดังแสดงในตารางที่ 6.3

ตารางที่ 6.1 แสดงการเปรียบเทียบการควบคุมตำแหน่ง PID แบบที่ 1									
	$K_p=32.5 \quad K_i=93.5 \quad K_d=2.5$								
	θ_1			θ_2			θ_3		
	no load	load open	load close	no load	load open	load close	no load	load open	load close
settling time (ms)	582	636	980	759	811	863	836	920	952
rise time (ms)	268	368	736	473	587	629	574	639	738
overshoot (%)	2.6	1.9	1.2	2.5	2.0	1.1	2.8	2.1	1.4

เอกสารนี้เป็นเอกสารที่สงวนไว้สำหรับการใช้งานเพื่อการศึกษาเท่านั้น ไม่อนุญาตให้นำไปใช้ประโยชน์ด้านการค้า
ไม่ว่ากรณีใดๆ ทั้งสิ้น อีกทั้งห้ามมิให้ดัดแปลงเนื้อหา และต้องอ้างอิงถึงเจ้าของเอกสารทุกครั้งที่มีการนำไปใช้

ตารางที่ 6.2 แสดงการเปรียบเทียบการควบคุมตำแหน่ง PID แบบที่ 2									
	$K_p=125 \quad K_i=124.5 \quad K_d=2.5$								
	θ_1			θ_2			θ_3		
	no load	load open	load close	no load	load open	load close	no load	load open	load close
settling time (ms)	498	590	826	649	739	1.20	816	892	1140
rise time (ms)	319	389	634	478	576	978	637	784	976
overshoot (%)	1.5	0.6	0.4	1.4	0.8	0.4	1.5	0.6	0.5

เอกสารนี้เป็นเอกสารที่สงวนไว้สำหรับการใช้งานเพื่อการศึกษาเท่านั้น ไม่อนุญาตให้นำไปใช้ประโยชน์ด้านการค้า
ไม่ว่ากรณีใดๆ ทั้งสิ้น อีกทั้งห้ามมิให้ดัดแปลงเนื้อหา และต้องอ้างอิงถึงเจ้าของเอกสารทุกครั้งที่มีการนำไปใช้

ตารางที่ 6.9 แสดงการเปรียบเทียบการควบคุมตำแหน่ง PID แบบที่ 2 และ PD ที่มุม θ_s						
	$K_p=125 \quad K_i=124.5 \quad K_d=2.5$			$K_p=125 \quad K_d=2.5$		
	θ_s			θ_s		
	no load	load open	load close	no load	load open	load close
settling time (ms)	816	892	1140	652	910	1200
rise time (ms)	637	784	976	472	648	911
overshoot (%)	1.5	0.6	0.5	2.4	1.3	0.9

เอกสารนี้เป็นเอกสารที่สงวนไว้สำหรับการใช้งานเพื่อการศึกษาเท่านั้น ไม่อนุญาตให้นำไปใช้ประโยชน์ด้านการค้า
ไม่ว่ากรณีใดๆ ทั้งสิ้น อีกทั้งห้ามมิให้ดัดแปลงเนื้อหา และต้องอ้างอิงถึงเจ้าของเอกสารทุกครั้งที่มีการนำไปใช้

6.5 บทสรุป

ในส่วนนี้เราจะทำการสรุปผลที่ได้จากการทำวิทยานิพนธ์ในการควบคุมตำแหน่งและทิศทางการหมุนของมอเตอร์ พร้อมทั้งสรุปได้ว่าการนำเอาไมโครโพรเซสเซอร์มาใช้ในการควบคุมตำแหน่งได้อย่างค่อนข้างแม่นยำและถูกต้องได้อย่างมาก โดยที่เราสามารถสรุปผลที่ได้จากการทำวิจัยได้ดังต่อไปนี้

- 1) ศึกษาวิธีการออกแบบตัวคอนโทรลเลอร์ระบบการควบคุมความเร็วและตำแหน่ง ด้วยวิธีโบดไคอะแกรม
- 2) ศึกษาการควบคุมความเร็วโดยวิธีการจำลองระบบเพื่อเปรียบเทียบกับระบบจริง
- 3) ศึกษาการควบคุมตำแหน่งโดยวิธีการจำลองระบบเพื่อเปรียบเทียบกับระบบจริง
- 4) ศึกษาตัวดิจิทัลคอนโทรลเลอร์แบบ PD และ PID
- 5) เปรียบเทียบการทำงานของระบบควบคุมตำแหน่งเป็นตัวคอนโทรลเลอร์แบบ PD และ PID
- 6) ศึกษาตัวอนุโลกคอนโทรลเลอร์แบบ PI

ในส่วนของการจำลองข้อมูลของระบบในส่วนของบทที่ 3 เป็นการจำลองของระบบข้อมูลในส่วนของการตั้งค่าพารามิเตอร์ในส่วนของการควบคุมความเร็วแบบ PI และในส่วนของการควบคุมตำแหน่งแบบ PD และ PID โดยในส่วนนี้เราจะสรุปวิธีการตั้งพารามิเตอร์ต่างๆ ได้ดังต่อไปนี้

วิธีการในการตั้งค่าพารามิเตอร์ในส่วนที่ควบคุมความเร็วแบบ PI โดยที่เราตั้งค่าพารามิเตอร์ของ PI ของระบบจะมีค่า Phase shift = -120 องศา dB ดังนั้นระบบที่เราต้องการจะต้องกำหนดค่าเฟสมาร์จินเท่ากับ 60 องศา

- 1) ตั้งค่าระบบของ Bode plot (phase) จากโปรแกรม
- 2) ทำการหาค่า phase ของ Bode plot (phase) โดยเราสามารถกำหนดค่าได้จาก
$$Y = -120 \text{ องศา dB}$$
$$X = ? \text{ rad/sec [ค่า X ที่ได้จะเป็นค่าความถี่ของ } \omega \text{]}$$
- 3) ตั้งค่าระบบของ Bode plot (gain) จากโปรแกรม

เอกสารนี้เป็นเอกสารที่สงวนไว้สำหรับการใช้งานเพื่อการศึกษาเท่านั้น ไม่อนุญาตให้นำไปใช้ประโยชน์ด้านการค้าไม่ว่ากรณีใดๆ ทั้งสิ้น อีกทั้งห้ามมิให้ตัดแปลงเนื้อหา และต้องอ้างอิงถึงเจ้าของเอกสารทุกครั้งที่มีการนำไปใช้

$$X = \omega \zeta \text{ rad/sec (หามาจากข้อที่ 2)}$$

$$Y = ? \text{ (เพื่อนำมาใช้หาค่าพารามิเตอร์ } K_p \text{ ต่อไป)}$$

4) นำค่า Y ที่ได้ (จากข้อที่ 3) เราจะนำมาหาค่าพารามิเตอร์ K_p ได้จากสูตร

$$20 \log A = Y$$

$$\log A = Y/20$$

$$A = 10^{Y/20}$$

$$A = ? \text{ (ค่าที่หาได้เป็นค่าพารามิเตอร์ในส่วนของ } K_p \text{)}$$

5) นำค่า $\omega \zeta$ (ที่หาได้จากข้อ 2) เพื่อที่เราจะสามารถนำมาหาค่าความถี่ของ ω_i ได้จากสูตร

$$\omega_i = 10\% \text{ ของ } \omega \zeta$$

6) นำค่าความถี่ ω_i (จากข้อที่ 5) เพื่อนำมาใช้หาค่า τ_c ได้จากสูตร

$$\tau_c = 1/\omega_i$$

7) นำค่าในส่วนของ τ_c ที่ได้ (จากข้อที่ 6) เพื่อนำมาหาค่าในส่วนของพารามิเตอร์ K_p

$$K_p = K_p / \tau_c$$

8) ระบบที่ได้ออกมาจะอยู่ในรูปของ $G(s)H(s)$ เพื่อนำมาใช้ในการตั้งค่าระบบของ Bode plot (gain) และ Bode plot (phase) ต่อไป

9) นำค่าสมการที่ได้จากข้อที่ 8 มาทำการทรานส์เฟอ์ฟังก์ชันที่ได้จากสูตร

$$\frac{G(s)}{1 + G(s)H(s)}$$

วิธีการในการตั้งค่าพารามิเตอร์ในส่วนควบคุมตำแหน่งแบบ PID และแบบ PD โดยที่เราตั้งค่าพารามิเตอร์ของ PID และ PD ของระบบจะมีค่า Phase shift = -120 องศา dB หรือทั้งนี้ระบบของเราจะต้องเพิ่มค่า Phase lead เข้าไปอีก 45 องศา dB ดังนั้นระบบของเราจะมีค่า Phase shift ทั้งหมด -165 องศา dB ดังนั้นระบบที่เราต้องการจะต้องกำหนดค่าเฟลสมาร์จินเท่ากับ 35 องศา

1) ตั้งค่าระบบของ Bode plot (phase) จากโปรแกรม

2) ทำการหาค่า phase ของ Bode plot (phase) โดยเราสามารถกำหนดค่าได้จาก

$$Y = -165 \text{ องศา dB}$$

เอกสารนี้เป็นเอกสารที่สงวนไว้สำหรับการใช้งานเพื่อการศึกษาเท่านั้น ไม่อนุญาตให้นำไปใช้ประโยชน์ด้านการค้า ไม่ว่าจะกรณีใดๆ ทั้งสิ้น อีกทั้งห้ามมิให้ดัดแปลงเนื้อหา และต้องอ้างอิงถึงเจ้าของเอกสารทุกครั้งที่มีการนำไปใช้

$$X = ? \text{ rad/sec [ค่า } X \text{ ที่ได้จะเป็นค่าความถี่ของ } \omega_g \text{]}$$

3) ตั้งค่าระบบของ Bode plot (gain) จากโปรแกรม

$$X = \omega_g \text{ rad/sec (หามาจากข้อที่ 2)}$$

$$Y = ? \text{ (เพื่อที่นำมาใช้หาค่านารามิเตอร์ } K_u \text{ ต่อไป)}$$

4) นำค่า Y ที่ได้ (จากข้อที่ 3) เราจะนำมาหาค่านารามิเตอร์ K_u ได้จากสูตร

$$20 \log A = Y$$

$$\log A = Y/20$$

$$A = 10^{Y/20}$$

$$A = ? \text{ (ค่าที่หาได้เป็นค่านารามิเตอร์ในส่วนของ } K_u \text{)}$$

5) นำค่า ω_g (ที่หาได้จากข้อ 2) เพื่อที่เราจะสามารถนำมาหาค่าความถี่ของ ω_i ได้จากสูตร

$$\omega_i = 10\% \text{ ของ } \omega_g$$

$$\omega_d = \omega_g$$

6) นำค่าความถี่ ω_i และ ω_d (จากข้อที่ 5) เพื่อที่จะนำมาใช้หาค่า τ_i และ τ_d ได้จากสูตร

$$\tau_i = 1/\omega_i$$

$$\tau_d = 1/\omega_d$$

7) นำค่าในส่วนของ τ_i และ τ_d ที่ได้ (จากข้อที่ 6) เพื่อที่นำมาหาค่าในส่วนของนารามิเตอร์

$$K_i \text{ และ } K_d \text{ จากสูตร}$$

$$K_i = K_u / \tau_i$$

$$K_d = K_u \tau_d$$

8) ระบบที่ได้ออกมาจะอยู่ในรูปของ $G(s)H(s)$ เพื่อที่จะนำมาใช้ในการตั้งค่าระบบของ Bode plot (gain) และ Bode plot (phase) ต่อไป

9) นำค่าสมการที่ได้จากข้อที่ 8 มาทำการทรานส์เฟอ์ฟังก์ชันที่ได้จากสูตร

$$\frac{G(s)}{1 + G(s)H(s)}$$

ในส่วนที่มีการสร้างในส่วนประกอบต่างๆ ทั้งวงจรการออกแบบชุดควบคุมในระบบ PI และส่วนประกอบของวงจรชนิด PWM คอนเวอร์เตอร์ ซึ่งประกอบด้วยวงจรสร้างสัญญาณสามเหลี่ยม วงจรเปรียบเทียบ

เอกสารนี้เป็นเอกสารที่สงวนไว้สำหรับการใช้งานเพื่อการศึกษาเท่านั้น ไม่อนุญาตให้นำไปใช้ประโยชน์ด้านการค้า ไม่ว่าจะกรณีใดๆ ทั้งสิ้น อีกทั้งห้ามมิให้ดัดแปลงเนื้อหา และต้องอ้างอิงถึงเจ้าของเอกสารทุกครั้งที่มีการนำไปใช้

เทียบ วงจรขับเบสและวงจรกำลังทั้งวงจรการป้อนกลับทั้งในส่วนของกระแส ทาโคเจนเนอเรเตอร์ และฟิลส์เจเนอเรเตอร์ ในส่วนการเชื่อมต่อระหว่างไมโครโพรเซสเซอร์และระบบควบคุมตำแหน่ง โดยการผ่านการอินเทอร์เฟส 8255 ที่เป็นตัวเชื่อมต่อเข้าด้วยกันพร้อมทั้งผ่านชุด D/A ที่ทำหน้าที่แปลง สัญญาณดิจิทัลเป็นอนาลอกที่เรานำมาใช้ในการควบคุมมอเตอร์ โดยที่เราสามารถตั้งค่าพารามิเตอร์ ในส่วนต่างๆสรุปได้ดังต่อไปนี้

- 1) เราสามารถนำค่าของพารามิเตอร์ที่ได้จากการจำลองในค่า PI เพื่อที่จะนำค่าต่างๆ ที่ได้นำมา เช้ทเกณฑ์ PI ทางอาร์ตแวร์ทางด้านวงจรอนาลอก (บทที่ 4)
- 2) เราสามารถนำค่าของพารามิเตอร์ที่ได้จากการจำลองในค่า PD และ PID เพื่อที่จะนำค่าต่าง ๆ ที่ได้นำมาเช้ทเกณฑ์ทั้งแบบ PD และ แบบ PID ที่สามารถนำมาใช้ในส่วนของการเช้ทค่าทางโปรแกรมไมโครโพรเซสเซอร์ (บทที่ 5)
- 3) การควบคุมตำแหน่ง PID ในแบบที่ 2 ที่ได้จากการตั้งค่าพารามิเตอร์โดยวิธีการของ Zeigler-Nichol มีผลตอบสนองต่อระบบดีกว่าการควบคุมตำแหน่ง PID ในแบบที่ 1 ที่ได้จากการตั้งค่าพารามิเตอร์ในส่วนของการจำลองข้อมูลในบทที่ 3 เนื่องมาจากค่าพารามิเตอร์ที่ได้จากการจำลอง ข้อมูลจะไม่ถูกต้อง 100 % รวมทั้งค่า time constant ของระบบเซอร์โว
- 4) เปอร์เซ็นต์ของการเกิดค่า overshoot แบบ no load จะสูงกว่าค่าการเกิด overshoot แบบ load (open) และในส่วนของค่า overshoot แบบ load (close) จะต่ำที่สุด เนื่องมาจากการต่อโหลดเพิ่มเข้าไปในส่วนของมอเตอร์จะมีการเพิ่มค่า inertid และระบบจะมีการเพิ่มอัตราการ damping จะมากขึ้น รวมทั้งในส่วนของการต่อโหลดแบบ load (open) จะมีส่วนของโหลด generator = 0 ส่วนของการต่อโหลดแบบ load (close) จะมีส่วนของโหลด generator ที่มีกระแสสูงสุด
- 5) ในส่วนของการควบคุมตำแหน่ง PID ในแบบที่ 2 และในส่วนของการควบคุมตำแหน่งแบบ PD ที่มีมธู ถ้าในส่วนที่ไม่มีการต่อโหลด no load การควบคุมตำแหน่ง PD จะดีกว่าการควบคุมแบบ PID แต่ถ้าใน ส่วนของระบบที่มีการต่อโหลดเพิ่มทั้งแบบ load (close) และแบบ load (close) การควบคุมตำแหน่งแบบ PID จะดีกว่าการควบคุมแบบ PD

ในส่วนที่มีการตั้งค่าระบบทั้งแบบการควบคุมตำแหน่งแบบ PD และในการควบคุมตำแหน่ง PID แบบที่ 1

เอกสารนี้เป็นเอกสารที่สงวนไว้สำหรับการใช้งานเพื่อการศึกษาเท่านั้น ไม่อนุญาตให้นำไปใช้ประโยชน์ด้านการค้า ไม่ว่ากรณีใดๆ ทั้งสิ้น อีกทั้งห้ามมิให้ดัดแปลงเนื้อหา และต้องอ้างอิงถึงเจ้าของเอกสารทุกครั้งที่มีการนำไปใช้

และ PID แบบที่ 2 ดังที่เราสามารถสรุปได้ดังตารางดังต่อไปนี้

ตารางการเปรียบเทียบการควบคุมตำแหน่ง PID แบบที่ 1 และแบบที่ 2 ทั้ง (θ_1 ; θ_2 ; θ_3)						
	no load		load(open)		load(close)	
	แบบที่ 1	แบบที่ 2	แบบที่ 1	แบบที่ 2	แบบที่ 1	แบบที่ 2
settling time (ms)	มาก	น้อย	มาก	น้อย	มาก	น้อย
rise time (ms)	น้อย	มาก	น้อย	มาก	น้อย	มาก
overshoot (%)	มาก	น้อย	มาก	น้อย	มาก	น้อย
overshoot (%)	มากที่สุด		มาก		น้อยที่สุด	

เอกสารนี้เป็นเอกสารที่สงวนไว้สำหรับการใช้งานเพื่อการศึกษาเท่านั้น ไม่อนุญาตให้นำไปใช้ประโยชน์ด้านการค้า ไม่ว่าจะกรณีใดๆ ทั้งสิ้น อีกทั้งห้ามมิให้ดัดแปลงเนื้อหา และต้องอ้างอิงถึงเจ้าของเอกสารทุกครั้งที่มีการนำไปใช้

ตารางการเปรียบเทียบการควบคุมตำแหน่ง PID แบบที่ 2 และ PD ที่มุม θ_2						
	noload		load(open)		load(close)	
	PID	PD	PID	PD	PID	PD
settling time (ms)	มาก	น้อย	น้อย	มาก	น้อย	มาก
rise time (ms)	มาก	น้อย	มาก	น้อย	มาก	น้อย
overshoot (%)	น้อย	มาก	น้อย	มาก	น้อย	มาก

ส่วนแนวทางในการปรับปรุงแก้ไขตัวควบคุมนั้นการแก้ไขขบวนการควบคุมตำแหน่งดีซีมอเตอร์เพื่อให้สามารถศึกษาการควบคุมและพฤติกรรมของการควบคุมได้อย่างชัดเจน อาจจะต้องตัดแปลงบางส่วนภายในกระบวนการให้เหมาะสม ในส่วนของวงจรชุดขับ เซอร์โวมอเตอร์จากสเปคฟิกต์มอเตอร์ 20V : 3.4 A : 68 W โดยเราจะเริ่มการออกแบบแรงดันที่มีการเพิ่มกระแส จากนั้นเราควรจะปรับปรุงไมโครโปรเซสเซอร์ที่เรานำมาใช้จาก 8 บิต เพิ่มความละเอียดมากขึ้นเป็นแบบ 16 บิต เพื่อให้เราสามารถเพิ่มระยะการควบคุมในช่วงตำแหน่งมอเตอร์ได้ละเอียดมากขึ้น แต่ขีดความสามารถของอุปกรณ์ในส่วนของ D/A ที่มีขายอยู่ในปัจจุบันมีอยู่เพียง 12 บิต แต่เราก็สามารถออกแบบขึ้นมาได้เอง

สุดท้ายเราจะนำเสนอแนวทางการปรับปรุงแก้ไขทางด้านฮาร์ดแวร์ ตัวควบคุมที่จัดทำขึ้นจัดว่าเป็นตัวควบคุมที่อยู่ในขั้นการทดลองใช้ปัจจัยที่ใช้ในการควบคุมยังมีประสิทธิภาพไม่มากนัก เช่น โปรแกรมและอัลกอริทึมที่ใช้ในการควบคุมอุปกรณ์การอินเตอร์เฟสต่างๆ ที่เป็นโครงสร้างของอัลกอริทึมและการแทนรูปแบบการแทนรูปแบบของกระบวนการ เป็นต้น ซึ่งรายละเอียดปลีกย่อยอาจจะต้องปรับปรุงเพื่อความเหมาะสมในการใช้งานต่างๆ ในมากขึ้น รวมถึงเทคนิคการเขียนโปรแกรมที่มีความสำคัญในการควบคุมกระบวนการมาก โดยเราควรจะต้องปรับปรุงโครงสร้างสำหรับในการทดลองเป็นการคว

เอกสารนี้เป็นเอกสารที่สงวนไว้สำหรับการใช้งานเพื่อการศึกษาเท่านั้น ไม่อนุญาตให้นำไปใช้ประโยชน์ด้านการค้าไม่ว่ากรณีใดๆ ทั้งสิ้น อีกทั้งห้ามมิให้ดัดแปลงเนื้อหา และต้องอ้างอิงถึงเจ้าของเอกสารทุกครั้งที่มีการนำไปใช้

คุมแบบหนึ่งถึงหกหนึ่งเอาก์พุก เป็นแบบโครงสร้างอัลกอริทึมที่แทนค่ากระบวนการแบบหลายอินพุทหลายเอาก์พุก ซึ่งการวัดแปลงไปรวมที่ใช้ในการควบคุมกระบวนการที่มีขนาดใหญ่จะทำได้ยากขึ้นต้องใช้เวลาในการออกแบบนาน ซึ่งในอนาคตจะสามารถนำมาประยุกต์ใช้ในงานควบคุมด้วยไมโครโปรเซสเซอร์ได้อย่างแน่นอน



เอกสารนี้เป็นเอกสารที่สงวนไว้สำหรับการใช้งานเพื่อการศึกษาเท่านั้น ไม่อนุญาตให้นำไปใช้ประโยชน์ด้านการค้าไม่ว่ากรณีใดๆ ทั้งสิ้น อีกทั้งห้ามมิให้ดัดแปลงเนื้อหา และต้องอ้างอิงถึงเจ้าของเอกสารทุกครั้งที่มีการนำไปใช้

กิติกรรมประกาศ

ขอขอบคุณ รศ.ดร.โยธิน เปรมปราณีรัตน์ ที่ให้ความช่วยเหลือในด้านต่างๆ และให้คำปรึกษาคำแนะนำเกี่ยวกับการทำวิทยานิพนธ์มาโดยตลอด และขอขอบพระคุณบุญคุณพ่อและแม่ที่ให้กำเนิดและทุนในการศึกษามาโดยตลอดรวมทั้งกำลังใจที่มีให้จนสามารถให้บ้านเจ้าประสบผลสำเร็จ และต้องขอขอบคุณเพื่อนๆ น้องๆ ห้อง 420 ทุกๆ คนที่ให้คำแนะนำและช่วยเหลือมาโดยตลอด ขอขอบคุณภาควิชาวิศวกรรมระบบควบคุมที่เอื้อเฟื้อสถานที่ทำวิทยานิพนธ์ และสุดท้ายต้องขอขอบคุณห้องสมุดคณะวิศวกรรมศาสตร์ ที่เป็นแหล่งสนับสนุนด้านตำราและเอกสารอ้างอิง

เอกสารนี้เป็นเอกสารที่สงวนไว้สำหรับการใช้งานเพื่อการศึกษาเท่านั้น ไม่อนุญาตให้นำไปใช้ประโยชน์ด้านการค้าไม่ว่ากรณีใดๆ ทั้งสิ้น อีกทั้งห้ามมิให้ดัดแปลงเนื้อหา และต้องอ้างอิงถึงเจ้าของเอกสารทุกครั้งที่มีการนำไปใช้

เอกสารอ้างอิง

- [1] Takashi Kenjo, "Power Electronics for the Microprocessor Age", Oxford university press 1990
- [2] T.Kenjo and S.Nagamori, "Permanent-Magnet and Brushless DC Motor", Clarendon press oxford 1985
- [3] Curtis D.Johnson, "Microprocessor-based process control", Prentice-Hall 1984
- [4] J.Michael Jacob, "Industrial control electronics applications and design", Praticce-Hall International Editions
- [5] รศ.ดร. โยธิน เปรมปราณีรัชต์, "ระบบเซอร์โวและอิเล็กทรอนิกส์คอนโทรลมอเตอร์", ตำราชุดวิศวกรรมศาสตร์ สถาบันเทคโนโลยีพระจอมเกล้าเจ้าคุณทหารลาดกระบัง 2533
- [6] Victor J.Bucek, "Control System Continuous and Discrete", Prentice-Hall 1989
- [7] Ramakant Gayakwad and Leonard Sokoloff, "Analog and Digital control systems" Prentice-Hall 1988
- [8] B.Yousefzadeh, "Basic control Engineerling" Morgan-Westley 1979
- [9] Noel M.Morris, "Control Engineering" Third Edition McGraw-Hill

เอกสารนี้เป็นเอกสารที่สงวนไว้สำหรับการใช้งานเพื่อการศึกษาเท่านั้น ไม่อนุญาตให้นำไปใช้ประโยชน์ด้านการค้า
ไม่ว่ากรณีใดๆ ทั้งสิ้น อีกทั้งห้ามมิให้ดัดแปลงเนื้อหา และต้องอ้างอิงถึงเจ้าของเอกสารทุกครั้งที่มีการนำไปใช้

[10] Katsuhiko Ogata, "Modern control engineering" Prentice-Hall 1983



เอกสารนี้เป็นเอกสารที่สงวนไว้สำหรับการใช้งานเพื่อการศึกษาเท่านั้น ไม่อนุญาตให้นำไปใช้ประโยชน์ด้านการค้า
ไม่ว่ากรณีใดๆ ทั้งสิ้น อีกทั้งห้ามมิให้ดัดแปลงเนื้อหา และต้องอ้างอิงถึงเจ้าของเอกสารทุกครั้งที่มีการนำไปใช้



เอกสารนี้เป็นเอกสารที่สงวนไว้สำหรับการใช้งานเพื่อการศึกษาเท่านั้น ไม่อนุญาตให้นำไปใช้ประโยชน์ด้านการค้า
ไม่ว่ากรณีใดๆ ทั้งสิ้น อีกทั้งห้ามมิให้ดัดแปลงเนื้อหา และต้องอ้างอิงถึงเจ้าของเอกสารทุกครั้งที่มีการนำไปใช้

ตัวอย่าง 1 รายละเอียดตัวอย่างในการออกแบบซีพแวลูจากผลการทดลองเรามีค่าตัวแปรอินพุท (DV) จาก 00H ถึง FFH ในส่วนของสัญญาณการป้อนกลับ (DSP) เพื่อที่เราจะนำมาสร้างค่าสัญญาณผิดพลาด (DE) สมมติว่าเรามีค่าตัวแปรอินพุท (DV) เป็น 00H 15H 3AH 42H 5AH 7BH 92H A7H C4H DEH A3H และ B5H และเราจะสมมติให้ (DSP) เป็น 85H จงหาค่าสัญญาณผิดพลาด (DE)

$$\begin{aligned} DV &= 00H \\ DSP &= 85H \\ DE &= DV - DSP \\ &= 00H - 85H \\ &= 85H \quad (\text{SGN} = -1) \quad (1) \end{aligned}$$

$$\begin{aligned} DV &= 15H \\ DSP &= 85H \\ DE &= DV - DSP \\ &= 15H - 85H \\ &= 70H \quad (\text{SGN} = -1) \quad (2) \end{aligned}$$

$$\begin{aligned} DV &= 3AH \\ DSP &= 85H \\ DE &= DV - DSP \\ &= 3AH - 85H \\ &= 4BH \quad (\text{SGN} = -1) \quad (3) \end{aligned}$$

$$\begin{aligned} DV &= 42H \\ DSP &= 85H \\ DE &= DV - DSP \end{aligned}$$

เอกสารนี้เป็นเอกสารที่สงวนไว้สำหรับการใช้งานเพื่อการศึกษาเท่านั้น ไม่อนุญาตให้นำไปใช้ประโยชน์ด้านการค้า ไม่ว่าจะกรณีใดๆ ทั้งสิ้น อีกทั้งห้ามมิให้ดัดแปลงเนื้อหา และต้องอ้างอิงถึงเจ้าของเอกสารทุกครั้งที่มีการนำไปใช้

$$\begin{aligned} &= 42H - 85H \\ &= 43H \quad (\text{SGN} = -1) \end{aligned} \quad (4)$$

$$\begin{aligned} DV &= 5AH \\ DSP &= 85H \\ DE &= DV - DSP \\ &= 5AH - 85H \\ &= 2BH \quad (\text{SGN} = -1) \end{aligned} \quad (5)$$

$$\begin{aligned} DV &= 7BH \\ DSP &= 85H \\ DE &= DV - DSP \\ &= 7BH - 85H \\ &= 0AH \quad (\text{SGN} = -1) \end{aligned} \quad (6)$$

$$\begin{aligned} DV &= 92H \\ DSP &= 85H \\ DE &= DV - DSP \\ &= 92H - 85H \\ &= 0DH \quad (\text{SGN} = 1) \end{aligned} \quad (7)$$

$$\begin{aligned} DV &= A7H \\ DSP &= 85H \\ DE &= DV - DSP \\ &= A7H - 85H \\ &= 22H \quad (\text{SGN} = 1) \end{aligned} \quad (8)$$

เอกสารนี้เป็นเอกสารที่สงวนไว้สำหรับการใช้งานเพื่อการศึกษาเท่านั้น ไม่อนุญาตให้นำไปใช้ประโยชน์ด้านการค้า
ไม่ว่ากรณีใดๆ ทั้งสิ้น อีกทั้งห้ามมิให้ดัดแปลงเนื้อหา และต้องอ้างอิงถึงเจ้าของเอกสารทุกครั้งที่มีการนำไปใช้

$$\begin{aligned} DV &= C4H \\ DSP &= 85H \\ DE &= DV - DSP \\ &= C4H - 85H \\ &= 3FH \quad (SGN = 1) \end{aligned} \quad (9)$$

$$\begin{aligned} DV &= DEH \\ DSP &= 85H \\ DE &= DV - DSP \\ &= DEH - 85H \\ &= 59H \quad (SGN = 1) \end{aligned} \quad (10)$$

$$\begin{aligned} DV &= B3H \\ DSP &= 85H \\ DE &= DV - DSP \\ &= B3H - 85H \\ &= 2EH \quad (SGN = 1) \end{aligned} \quad (11)$$

$$\begin{aligned} DV &= A5H \\ DSP &= 85H \\ DE &= DV - DSP \\ &= A5H - 85H \\ &= 20H \quad (SGN = 1) \end{aligned} \quad (12)$$

เราจะเห็นได้ว่าจะมีอยู่ทั้ง 2 กรณี ที่มีค่าเป็นได้ทั้งค่าเป็นบวก (SGN = 1) และในกรณีที่สองมีค่าเป็นลบ (SGN = -1) ดังที่เราสามารถดูได้จากส่วนของโปรแกรมการตรวจสอบเครื่องหมาย

เอกสารนี้เป็นเอกสารที่สงวนไว้สำหรับการใช้งานเพื่อการศึกษาเท่านั้น ไม่อนุญาตให้นำไปใช้ประโยชน์ด้านการค้าไม่ว่ากรณีใดๆ ทั้งสิ้น อีกทั้งห้ามมิให้ดัดแปลงเนื้อหา และต้องอ้างอิงถึงเจ้าของเอกสารทุกครั้งที่มีการนำไปใช้

ตัวอย่าง 2 เรานำสมการจากตัวอย่าง 1 นำมาหาผลลัพท์ในส่วนของโหมคปรีอพออร์ชั่นนัล โดยที่เราสมมุติว่าให้เกินของปรีอพออร์ชั่นนัล 1.42 และกำหนดให้เอาท์พุทค่าผิดพลาดศูนย์ (DCO) เป็น 15H จงหาเอาท์พุทในสมการควบคุมของโหมคปรีอพออร์ชั่นนัล (โดยนำค่าสัญญาณผิดพลาด (DE)) จากตัวอย่างที่ 1)

$$\begin{aligned}K_p &= 1.42 \\DCO &= 15H \\DCP &= K_p DE + DCO \\DCP &= 1.42 * 85H + 15H \\DCP &= 6CH \quad (13)\end{aligned}$$

$$\begin{aligned}K_p &= 1.42 \\DCO &= 15H \\DCP &= K_p DE + DCO \\DCP &= 1.42 * 70H + 15H \\DCP &= A1H \quad (14)\end{aligned}$$

$$\begin{aligned}K_p &= 1.42 \\DCO &= 15H \\DCP &= K_p DE + DCO \\DCP &= 1.42 * 48H + 15H \\DCP &= 73H \quad (15)\end{aligned}$$

$$\begin{aligned}K_p &= 1.42 \\DCO &= 15H \\DCP &= K_p DE + DCO\end{aligned}$$

เอกสารนี้เป็นเอกสารที่สงวนไว้สำหรับการใช้งานเพื่อการศึกษาเท่านั้น ไม่อนุญาตให้นำไปใช้ประโยชน์ด้านการค้า ไม่ว่าจะกรณีใดๆ ทั้งสิ้น อีกทั้งห้ามมิให้ดัดแปลงเนื้อหา และต้องอ้างอิงถึงเจ้าของเอกสารทุกครั้งที่มีการนำไปใช้

$$DCP = 1.42*43H + 15H$$

$$DCP = 69H \quad (16)$$

$$K_p = 1.42$$

$$DCO = 15H$$

$$DCP = K_p DE + DCO$$

$$DCP = 1.42*28H + 15H$$

$$DCP = 48H \quad (17)$$

$$K_p = 1.42$$

$$DCO = 15H$$

$$DCP = K_p DE + DCO$$

$$DCP = 1.42*0AH + 15H$$

$$DCP = 21H \quad (18)$$

$$K_p = 1.42$$

$$DCO = 15H$$

$$DCP = K_p DE + DCO$$

$$DCP = 1.42*0DH + 15H$$

$$DCP = 25H \quad (19)$$

$$K_p = 1.42$$

$$DCO = 15H$$

$$DCP = K_p DE + DCO$$

$$DCP = 1.42*22H + 15H$$

$$DCP = 3FH \quad (20)$$

เอกสารนี้เป็นเอกสารที่สงวนไว้สำหรับการใช้งานเพื่อการศึกษาเท่านั้น ไม่อนุญาตให้นำไปใช้ประโยชน์ด้านการค้า
ไม่ว่ากรณีใดๆ ทั้งสิ้น อีกทั้งห้ามมิให้ดัดแปลงเนื้อหา และต้องอ้างอิงถึงเจ้าของเอกสารทุกครั้งที่มีการนำไปใช้

$$K_p = 1.42$$

$$DCO = 15H$$

$$DCP = K_p DE + DCO$$

$$DCP = 1.42 * 35H + 15H$$

$$DCP = 64H \quad (21)$$

$$K_p = 1.42$$

$$DCO = 15H$$

$$DCP = K_p DE + DCO$$

$$DCP = 1.42 * 59H + 15H$$

$$DCP = 84H \quad (22)$$

$$K_p = 1.42$$

$$DCO = 15H$$

$$DCP = K_p DE + DCO$$

$$DCP = 1.42 * 28H + 15H$$

$$DCP = 45H \quad (23)$$

$$K_p = 1.42$$

$$DCO = 15H$$

$$DCP = K_p DE + DCO$$

$$DCP = 1.42 * 20H + 15H$$

$$DCP = 30H \quad (24)$$

เอกสารนี้เป็นเอกสารที่สงวนไว้สำหรับการใช้งานเพื่อการศึกษาเท่านั้น ไม่อนุญาตให้นำไปใช้ประโยชน์ด้านการค้า
ไม่ว่ากรณีใดๆ ทั้งสิ้น อีกทั้งห้ามมิให้ดัดแปลงเนื้อหา และต้องอ้างอิงถึงเจ้าของเอกสารทุกครั้งที่มีการนำไปใช้

ตัวอย่าง 3 จงหาโหมดอินติกรัลที่จะนำมาใช้กับระบบโดยนำผลลัพธ์ที่ได้จากตัวอย่าง 1 ตัวอย่าง 2 กำหนดให้เกนของอินติกรัล = 0.483 โดยนำมาสร้างสมการควบคุมภายในโหมดอินติกรัล สมมติให้ SUM ที่ค่าเริ่มต้นมีค่าเป็นศูนย์

$$\begin{aligned}K_1 &= 0.0625 \\ \text{SUM} &= 0000\text{H} \quad (\text{โดยกำหนดค่า SUM ในส่วนเริ่มต้น}) \\ \text{SUM} &= \text{SUM} + \text{DE} \\ &= 0000\text{H} + 85\text{H} \\ &= 0085\text{H} \\ \text{DCI} &= K_1 * \text{SUM} \\ &= 0.0625 * 0085\text{H} \\ &= 08\text{H} \quad (25)\end{aligned}$$

$$\begin{aligned}K_1 &= 0.0625 \\ \text{SUM} &= 0085\text{H} \quad (\text{โดยกำหนดค่า SUM ในส่วนเริ่มต้น}) \\ \text{SUM} &= \text{SUM} + \text{DE} \\ &= 0085\text{H} + 70\text{H} \\ &= 00F5\text{H} \\ \text{DCI} &= K_1 * \text{SUM} \\ &= 0.0625 * 00F5\text{H} \\ &= 0F\text{H} \quad (26)\end{aligned}$$

$$\begin{aligned}K_1 &= 0.0625 \\ \text{SUM} &= 00F5\text{H} \quad (\text{โดยกำหนดค่า SUM ในส่วนเริ่มต้น}) \\ \text{SUM} &= \text{SUM} + \text{DE} \\ &= 00F5\text{H} + 4B\text{H} \\ &= 0140\text{H}\end{aligned}$$

เอกสารนี้เป็นเอกสารที่สงวนไว้สำหรับการใช้งานเพื่อการศึกษาเท่านั้น ไม่อนุญาตให้นำไปใช้ประโยชน์ด้านการค้า ไม่ว่าจะกรณีใดๆ ทั้งสิ้น อีกทั้งห้ามมิให้ดัดแปลงเนื้อหา และต้องอ้างอิงถึงเจ้าของเอกสารทุกครั้งที่มีการนำไปใช้

$$\begin{aligned} DCI &= K_1 * SUM \\ &= 0.0625 * 0140H \\ &= 14H \end{aligned} \quad (27)$$

$$\begin{aligned} K_1 &= 0.0625 \\ SUM &= 0140H \quad (\text{โดยกำหนดค่า SUM ในส่วนเริ่มต้น}) \end{aligned}$$

$$\begin{aligned} SUM &= SUM + DE \\ &= 0140H + 43H \\ &= 0183H \\ DCI &= K_1 * SUM \\ &= 0.0625 * 0183H \\ &= 18H \end{aligned} \quad (28)$$

$$\begin{aligned} K_1 &= 0.0625 \\ SUM &= 0183H \quad (\text{โดยกำหนดค่า SUM ในส่วนเริ่มต้น}) \end{aligned}$$

$$\begin{aligned} SUM &= SUM + DE \\ &= 0183H + 2BH \\ &= 01AEH \\ DCI &= K_1 * SUM \\ &= 0.0625 * 01AEH \\ &= 1AH \end{aligned} \quad (29)$$

$$\begin{aligned} K_1 &= 0.0625 \\ SUM &= 01AEH \quad (\text{โดยกำหนดค่า SUM ในส่วนเริ่มต้น}) \end{aligned}$$

$$\begin{aligned} SUM &= SUM + DE \\ &= 01AEH + 0AH \\ &= 01B8H \end{aligned}$$

เอกสารนี้เป็นเอกสารที่สงวนไว้สำหรับการใช้งานเพื่อการศึกษาเท่านั้น ไม่อนุญาตให้นำไปใช้ประโยชน์ด้านการค้า
ไม่ว่ากรณีใดๆ ทั้งสิ้น อีกทั้งห้ามมิให้ดัดแปลงเนื้อหา และต้องอ้างอิงถึงเจ้าของเอกสารทุกครั้งที่มีการนำไปใช้

$$\begin{aligned} DCI &= K_1 * SUM \\ &= 0.0625 * 01B8H \\ &= 1BH \end{aligned} \quad (30)$$

$$\begin{aligned} K_1 &= 0.0625 \\ SUM &= 01B8H \quad (\text{โดยกำหนดค่า } SUM \text{ ในส่วนเริ่มต้น}) \end{aligned}$$

$$\begin{aligned} SUM &= SUM + DE \\ &= 01B8H + 0DH \\ &= 01ABH \\ DCI &= K_1 * SUM \\ &= 0.0625 * 01ABH \\ &= 1AH \end{aligned} \quad (31)$$

$$\begin{aligned} K_1 &= 0.0625 \\ SUM &= 01ABH \quad (\text{โดยกำหนดค่า } SUM \text{ ในส่วนเริ่มต้น}) \\ SUM &= SUM + DE \\ &= 01ABH + 22H \\ &= 189H \\ DCI &= K_1 * SUM \\ &= 0.0625 * 0189H \\ &= 18H \end{aligned} \quad (32)$$

$$\begin{aligned} K_1 &= 0.0625 \\ SUM &= 0189H \quad (\text{โดยกำหนดค่า } SUM \text{ ในส่วนเริ่มต้น}) \end{aligned}$$

$$\begin{aligned} SUM &= SUM + DE \\ &= 0189H + 3FH \\ &= 014AH \end{aligned}$$

เอกสารนี้เป็นเอกสารที่สงวนไว้สำหรับการใช้งานเพื่อการศึกษาเท่านั้น ไม่อนุญาตให้นำไปใช้ประโยชน์ด้านการค้า
ไม่ว่ากรณีใดๆ ทั้งสิ้น อีกทั้งห้ามมิให้ดัดแปลงเนื้อหา และต้องอ้างอิงถึงเจ้าของเอกสารทุกครั้งที่มีการนำไปใช้

$$\begin{aligned} DCI &= K_1 * SUM \\ &= 0.0625 * 014AH \\ &= 14H \end{aligned} \quad (33)$$

$$\begin{aligned} K_1 &= 0.0625 \\ SUM &= 14AH \quad (\text{โดยกำหนดค่า SUM ในส่วนเริ่มต้น}) \\ SUM &= SUM + DE \\ &= 014AH + 3FH \\ &= 00F1H \\ DCI &= K_1 * SUM \\ &= 0.0625 * 00F1H \\ &= 0FH \end{aligned} \quad (34)$$

$$\begin{aligned} K_1 &= 0.0625 \\ SUM &= 00F1H \quad (\text{โดยกำหนดค่า SUM ในส่วนเริ่มต้น}) \\ SUM &= SUM + DE \\ &= 00F1H + 59H \\ &= 00C3H \\ DCI &= K_1 * SUM \\ &= 0.0625 * 00C3H \\ &= 0CH \end{aligned} \quad (35)$$

$$\begin{aligned} K_1 &= 0.0625 \\ SUM &= 00C3H \quad (\text{โดยกำหนดค่า SUM ในส่วนเริ่มต้น}) \\ SUM &= SUM + DE \\ &= 00C3H + 2EH \\ &= 00A3H \end{aligned}$$

เอกสารนี้เป็นเอกสารที่สงวนไว้สำหรับการใช้งานเพื่อการศึกษาเท่านั้น ไม่อนุญาตให้นำไปใช้ประโยชน์ด้านการค้า
ไม่ว่ากรณีใดๆ ทั้งสิ้น อีกทั้งห้ามมิให้ดัดแปลงเนื้อหา และต้องอ้างอิงถึงเจ้าของเอกสารทุกครั้งที่มีการนำไปใช้

$$DCI = K_1 * SUM$$

$$= 0.0625 * 00A3H$$

$$= 0AH$$

(36)



เอกสารนี้เป็นเอกสารที่สงวนไว้สำหรับการใช้งานเพื่อการศึกษาเท่านั้น ไม่อนุญาตให้นำไปใช้ประโยชน์ด้านการค้า
ไม่ว่ากรณีใดๆ ทั้งสิ้น อีกทั้งห้ามมิให้ดัดแปลงเนื้อหา และต้องอ้างอิงถึงเจ้าของเอกสารทุกครั้งที่มีการนำไปใช้

ตัวอย่างที่ 4 จงหาสมการของภายในระบบปริ่อพอร์ชั้นนัลอินติกรัล (DCPI) ที่ได้จากการหาค่าของ โหมดปริ่อพอร์ชั้นนัล (DCP) และโหมดอินติกรัล (DCI) ตามดังตัวอย่างที่ 2 และ 3 เพื่อนำมาหาค่าในโหมดปริ่อพอร์ชั้นนัลอินติกรัลดังต่อไปนี้

$$\begin{aligned} \text{DCPI} &= \text{DCP} + \text{DCI} \\ &= 6\text{CH} + 08\text{H} \\ &= 74\text{H} \end{aligned} \tag{37}$$

$$\begin{aligned} \text{DCPI} &= \text{DCP} + \text{DCI} \\ &= \text{A1H} + 0\text{FH} \\ &= \text{B0H} \end{aligned} \tag{38}$$

$$\begin{aligned} \text{DCPI} &= \text{DCP} + \text{DCI} \\ &= 73\text{H} + 14\text{H} \\ &= 87\text{H} \end{aligned} \tag{39}$$

$$\begin{aligned} \text{DCPI} &= \text{DCP} + \text{DCI} \\ &= 69\text{H} + 18\text{H} \\ &= 81\text{H} \end{aligned} \tag{40}$$

$$\begin{aligned} \text{DCPI} &= \text{DCP} + \text{DCI} \\ &= 48\text{H} + 1\text{AH} \\ &= 65\text{H} \end{aligned} \tag{41}$$

$$\begin{aligned} \text{DCPI} &= \text{DCP} + \text{DCI} \\ &= 21\text{H} + 18\text{H} \\ &= 3\text{CH} \end{aligned} \tag{42}$$

เอกสารนี้เป็นเอกสารที่สงวนไว้สำหรับการใช้งานเพื่อการศึกษาเท่านั้น ไม่อนุญาตให้นำไปใช้ประโยชน์ด้านการค้า ไม่ว่าจะกรณีใดๆ ทั้งสิ้น อีกทั้งห้ามมิให้ดัดแปลงเนื้อหา และต้องอ้างอิงถึงเจ้าของเอกสารทุกครั้งที่มีการนำไปใช้

$$\begin{aligned} \text{DCPI} &= \text{DCP} + \text{DCI} \\ &= 25\text{H} + 1\text{AH} \\ &= 3\text{FH} \end{aligned} \quad (43)$$

$$\begin{aligned} \text{DCPI} &= \text{DCP} + \text{DCI} \\ &= 3\text{FH} + 18\text{H} \\ &= 57\text{H} \end{aligned} \quad (44)$$

$$\begin{aligned} \text{DCPI} &= \text{DCP} + \text{DCI} \\ &= 64\text{H} + 14\text{H} \\ &= 78\text{H} \end{aligned} \quad (45)$$

$$\begin{aligned} \text{DCPI} &= \text{DCP} + \text{DCI} \\ &= 84\text{H} + 0\text{FH} \\ &= 93\text{H} \end{aligned} \quad (46)$$

$$\begin{aligned} \text{DCPI} &= \text{DCP} + \text{DCI} \\ &= 4\text{EH} + 0\text{CH} \\ &= 5\text{AH} \end{aligned} \quad (47)$$

$$\begin{aligned} \text{DCPI} &= \text{DCP} + \text{DCI} \\ &= 3\text{DH} + 0\text{AH} \\ &= 47\text{H} \end{aligned} \quad (48)$$

เอกสารนี้เป็นเอกสารที่สงวนไว้สำหรับการใช้งานเพื่อการศึกษาเท่านั้น ไม่อนุญาตให้นำไปใช้ประโยชน์ด้านการค้า
ไม่ว่ากรณีใดๆ ทั้งสิ้น อีกทั้งห้ามมิให้ดัดแปลงเนื้อหา และต้องอ้างอิงถึงเจ้าของเอกสารทุกครั้งที่มีการนำไปใช้

ตัวอย่าง 5 จงหาค่าโหมดเอาต์พุตของโหมดตรีเวทไฟ (DCD) จากตัวอย่างที่ 1, 2 และ 3 โดยเรา กำหนดให้เกนตรีเวทไฟ $K_D = 1.68$

$$\begin{aligned} DDE &= DV - DVO \quad (DVO = \text{ค่าที่กำหนดมาก่อนได้จากตัวอย่าง 1}) \\ &= 70H - 85H \\ &= 15H \quad (SGN = -1) \\ DCD &= K_D * DDE \\ &= 1.68 * 15H \\ &= 10H \end{aligned} \quad (49)$$

$$\begin{aligned} DDE &= DV - DVO \quad (DVO = \text{ค่าที่กำหนดมาก่อนได้จากตัวอย่าง 1}) \\ &= 48H - 70H \\ &= 25H \quad (SGN = -1) \\ DCD &= K_D * DDE \\ &= 1.68 * 25H \\ &= 34H \end{aligned} \quad (50)$$

$$\begin{aligned} DDE &= DV - DVO \quad (DVO = \text{ค่าที่กำหนดมาก่อนได้จากตัวอย่าง 1}) \\ &= 43H - 48H \\ &= 08H \quad (SGN = -1) \\ DCD &= K_D * DDE \\ &= 1.68 * 08H \\ &= 08H \end{aligned} \quad (51)$$

$$\begin{aligned} DDE &= DV - DVO \quad (DVO = \text{ค่าที่กำหนดมาก่อนได้จากตัวอย่าง 1}) \\ &= 28H - 43H \\ &= 18H \quad (SGN = -1) \end{aligned}$$

เอกสารนี้เป็นเอกสารที่สงวนไว้สำหรับการใช้งานเพื่อการศึกษาเท่านั้น ไม่อนุญาตให้นำไปใช้ประโยชน์ด้านการค้า ไม่ว่ากรณีใดๆ ทั้งสิ้น อีกทั้งห้ามมิให้ดัดแปลงเนื้อหา และต้องอ้างอิงถึงเจ้าของเอกสารทุกครั้งที่มีการนำไปใช้

$$\begin{aligned} DCD &= K_D * DDE \\ &= 1.68 * 10H \\ &= 21H \end{aligned} \quad (52)$$

$$\begin{aligned} DDE &= DV - DVO \quad (DVO = \text{ค่าที่กำหนดมาก่อนได้จากตัวอย่าง 1}) \\ &= 0AH - 2BH \\ &= 21H \quad (SGN = -1) \end{aligned}$$

$$\begin{aligned} DCD &= K_D * DDE \\ &= 1.68 * 21H \\ &= 2EH \end{aligned} \quad (53)$$

$$\begin{aligned} DDE &= DV - DVO \quad (DVO = \text{ค่าที่กำหนดมาก่อนได้จากตัวอย่าง 1}) \\ &= 0DH - 0AH \\ &= 03H \quad (SGN = 1) \end{aligned}$$

$$\begin{aligned} DCD &= K_D * DDE \\ &= 1.68 * 03H \\ &= 04H \end{aligned} \quad (54)$$

$$\begin{aligned} DDE &= DV - DVO \quad (DVO = \text{ค่าที่กำหนดมาก่อนได้จากตัวอย่าง 1}) \\ &= 22H - 0DH \\ &= 15H \quad (SGN = 1) \end{aligned}$$

$$\begin{aligned} DCD &= K_D * DDE \\ &= 1.68 * 15H \\ &= 1DH \end{aligned} \quad (55)$$

$$DDE = DV - DVO \quad (DVO = \text{ค่าที่กำหนดมาก่อนได้จากตัวอย่าง 1})$$

เอกสารนี้เป็นเอกสารที่สงวนไว้สำหรับการใช้งานเพื่อการศึกษาเท่านั้น ไม่อนุญาตให้นำไปใช้ประโยชน์ด้านการค้า
ไม่ว่ากรณีใดๆ ทั้งสิ้น อีกทั้งห้ามมิให้ดัดแปลงเนื้อหา และต้องอ้างอิงถึงเจ้าของเอกสารทุกครั้งที่มีการนำไปใช้

$$\begin{aligned} &= 3FH - 22H \\ &= 0DH \quad (SGN = 1) \end{aligned}$$

$$\begin{aligned} DCD &= K_D * DDE \\ &= 1.68 * 0DH \\ &= 12H \end{aligned} \quad (56)$$

$$\begin{aligned} DDE &= DV - DVO \quad (DVO = \text{ค่าที่กำหนดมาก่อนได้จากตัวอย่าง 1}) \\ &= 59H - 3FH \\ &= 1AH \quad (SGN = 1) \end{aligned}$$

$$\begin{aligned} UCD &= K_D * DDE \\ &= 1.68 * 1AH \\ &= 24H \end{aligned} \quad (57)$$

$$\begin{aligned} DDE &= DV - DVO \quad (DVO = \text{ค่าที่กำหนดมาก่อนได้จากตัวอย่าง 1}) \\ &= 2EH - 59H \\ &= 2BH \quad (SGN = -1) \end{aligned}$$

$$\begin{aligned} DCD &= K_D * DDE \\ &= 1.68 * 2BH \\ &= 3CH \end{aligned} \quad (58)$$

$$\begin{aligned} DDE &= DV - DVO \quad (DVO = \text{ค่าที่กำหนดมาก่อนได้จากตัวอย่าง 1}) \\ &= 20H - 2EH \\ &= 0EH \quad (SGN = -1) \end{aligned}$$

$$\begin{aligned} DCD &= K_D * DDE \\ &= 1.68 * 0EH \\ &= 13H \end{aligned} \quad (59)$$

เอกสารนี้เป็นเอกสารที่สงวนไว้สำหรับการใช้งานเพื่อการศึกษาเท่านั้น ไม่อนุญาตให้นำไปใช้ประโยชน์ด้านการค้า ไม่ว่าจะกรณีใดๆ ทั้งสิ้น อีกทั้งห้ามมิให้ดัดแปลงเนื้อหา และต้องอ้างอิงถึงเจ้าของเอกสารทุกครั้งที่มีการนำไปใช้

$$\begin{aligned} DDE &= DV - DVO \quad (DVO = \text{ค่าที่กำหนดมาก่อนที่ได้จากตัวอย่าง 1}) \\ &= 03H - 20H \\ &= 1DH \quad (SGN = -1) \end{aligned}$$

$$\begin{aligned} DCD &= K_d * DDE \\ &= 1.68 * 1DH \\ &= 28H \end{aligned} \quad (60)$$



เอกสารนี้เป็นเอกสารที่สงวนไว้สำหรับการใช้งานเพื่อการศึกษาเท่านั้น ไม่อนุญาตให้นำไปใช้ประโยชน์ด้านการค้า
ไม่ว่ากรณีใดๆ ทั้งสิ้น อีกทั้งห้ามมิให้ดัดแปลงเนื้อหา และต้องอ้างอิงถึงเจ้าของเอกสารทุกครั้งที่มีการนำไปใช้

ตัวอย่างที่ 6 จงหาสมการของภายในระบบรีופןอร์ซึ้นนัลอินติกรัลเคริเวทึฟ (DCPID) ที่ไ้จากการหาค่าของโหมคปรีופןอร์ซึ้นนัล (DCPI) ตามตั้งตัวอย่างที่ 4 และโหมคเคริเวทึฟ (DCD) ตามตั้งตัวอย่างที่ 5 เพื่อนำมาหาค่าในโหมคปรีופןอร์ซึ้นนัลอินติกรัลเคริเวทึฟดังต่อไปนี้

$$\begin{aligned} \text{DCPID} &= \text{DCPI} + \text{DCD} \\ &= 74\text{H} + 1\text{DH} \\ &= 91\text{H} \end{aligned} \tag{61}$$

$$\begin{aligned} \text{DCPID} &= \text{DCPI} + \text{DCD} \\ &= \text{B0H} + 34\text{H} \\ &= \text{E4H} \end{aligned} \tag{62}$$

$$\begin{aligned} \text{DCPID} &= \text{DCPI} + \text{DCD} \\ &= \text{B7H} + 0\text{BH} \\ &= 92\text{H} \end{aligned} \tag{63}$$

$$\begin{aligned} \text{DCPID} &= \text{DCPI} + \text{DCD} \\ &= \text{81H} + 21\text{H} \\ &= \text{A2H} \end{aligned} \tag{64}$$

$$\begin{aligned} \text{DCPID} &= \text{DCPI} + \text{DCD} \\ &= 65\text{H} + 2\text{EH} \\ &= 93\text{H} \end{aligned} \tag{65}$$

$$\begin{aligned} \text{DCPID} &= \text{DCPI} + \text{DCD} \\ &= 3\text{CH} + 04\text{H} \\ &= 40\text{H} \end{aligned} \tag{66}$$

เอกสารนี้เป็นเอกสารที่สงวนไว้สำหรับการใช้งานเพื่อการศึกษาเท่านั้น ไม่อนุญาตให้นำไปใช้ประโยชน์ด้านการค้าไม่ว่ากรณีใดๆ ทั้งสิ้น อีกทั้งห้ามมิให้ดัดแปลงเนื้อหา และต้องอ้างอิงถึงเจ้าของเอกสารทุกครั้งที่มีการนำไปใช้

จากตัวอย่างที่เราได้กล่าวมาตั้งแต่ต้นเราพอที่จะสรุปออกมาเป็นตารางได้ดังต่อไปนี้

DV	DSP	DE	DCP	SUM	DCI	DCPI	DDE	DCD	DCPID
00H	85H	85H	6CH	0000H	08H	74H	15H	1DH	91H
15H	85H	70H	A1H	0085H	0FH	80H	25H	34H	E4H
3AH	85H	48H	73H	00F5H	14H	87H	08H	0BH	92H
42H	85H	43H	69H	0140H	18H	81H	18H	21H	A2H
5AH	85H	28H	4BH	0183H	1AH	65H	21H	2EH	93H
78H	85H	0AH	21H	01AEH	1BH	3CH	03H	04H	40H
92H	85H	0DH	25H	01B8H	1AH	3FH	15H	1DH	5CH
A7H	85H	22H	3FH	01ABH	18H	57H	0DH	12H	69H
C4H	85H	3FH	64H	0189H	14H	78H	1AH	24H	9CH
DEH	85H	59H	84H	014AH	0FH	93H	28H	3CH	CFH
B3H	85H	2EH	4EH	00F1H	0CH	5AH	0EH	13H	6DH
A5H	85H	20H	3DH	00C3H	0AH	47H	1DH	28H	6FH

เอกสารนี้เป็นเอกสารที่สงวนไว้สำหรับการใช้งานเพื่อการศึกษาเท่านั้น ไม่อนุญาตให้นำไปใช้ประโยชน์ด้านการค้า
ไม่ว่ากรณีใดๆ ทั้งสิ้น อีกทั้งห้ามมิให้ดัดแปลงเนื้อหา และต้องอ้างอิงถึงเจ้าของเอกสารทุกครั้งที่มีการนำไปใช้



เอกสารนี้เป็นเอกสารที่สงวนไว้สำหรับการใช้งานเพื่อการศึกษาเท่านั้น ไม่อนุญาตให้นำไปใช้ประโยชน์ด้านการค้า
ไม่ว่ากรณีใดๆ ทั้งสิ้น อีกทั้งห้ามมิให้ดัดแปลงเนื้อหา และต้องอ้างอิงถึงเจ้าของเอกสารทุกครั้งที่มีการนำไปใช้

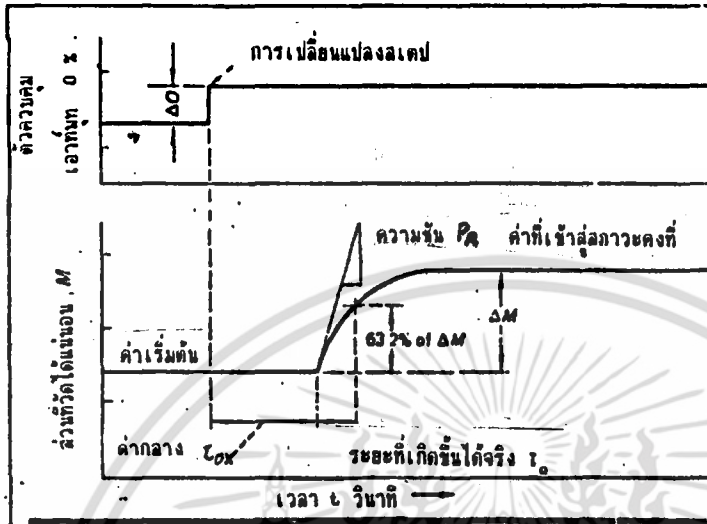
ในส่วนนี้จะเป็นการกล่าวโดยย่อที่จะสรุปการนำเสนอแนวความคิดการควบคุมตำแหน่งดีซีมอเตอร์ กระแสตรงด้วยวิธี PID และ PD โดยเริ่มนำไมโครโปรเซสเซอร์นำมาประยุกต์ใช้ภายในระบบการ ควบคุมตำแหน่ง ที่มีการออกแบบโมเดลอัลกอริทึมแบบ PID และ PD ที่มีการแปลงระบบที่ใช้การตั้ง ค่าพารามิเตอร์โดยใช้วิธีของ Ziegler and Nichols ที่เรานำมาใช้ในวิธีแบบลูปปิดโดยได้จากการ จำลองตัวควบคุมแบบ PID และ PD ซึ่งโดยปกติจะหาพารามิเตอร์ของระบบที่นิยมกันมีอยู่ 2 วิธี คือ การหาแบบ Reaction curve ของกระบวนการเพื่อหาค่า Time constant : Response rate และ Dead time กับอีกวิธีคือการหาแบบ Ultimate sensitivity method ซึ่งใช้หาเกนและ คาบของระบบ (Natural Time : τ_o) ในการจำลองการควบคุมตำแหน่งแบบ PID และ PD ใน ส่วนที่เราจะนำมาวิเคราะห์กระบวนการหาค่าพารามิเตอร์และการจูนค่าตามวิธีของ Ziegler and Nichols คือ การตั้งค่าระบบหลังจากที่ได้เลือกใช้นิตของตัวควบคุมจะต้องปรับค่าพารามิเตอร์ของ ตัวควบคุมให้ได้ค่าที่ดีที่สุดโดยทั่วๆ ไปจะมีอยู่ 3 วิธี คือ

1) ใช้ Criteria อย่างง่ายๆ เช่น one-quarter delay ratio : minimum settling time เป็นต้น วิธีนี้มีความสะดวกและง่ายแต่จะให้หลายค่าจึงไม่เป็นที่นิยมแต่อย่างใด

2) ใช้ time integral performance criteria เช่น ISE : IAE และ JTAE วิธีนี้ค่อนข้างใช้เวลาและขึ้นอยู่กับรูปแบบทางคณิตศาสตร์

3) ใช้ semiempirical rules ซึ่งได้พิสูจน์แล้วในทางปฏิบัติซึ่งเรานำมาใช้ในการทดลองภายใน ส่วนของวิทยานิพนธ์อยู่นี้ และเป็นที่นิยมใช้กันซึ่งแบ่งออกเป็น 2 วิธีคือ

3.1) วิธีการตอบสนองทรานเซียนลูปเปิดหรือที่เรียกกันว่า Process reaction curve method วิธีนี้เป็นวิธีที่ Ziegler and Nichols คิดขึ้นซึ่งมีวิธีการคือเปิดลูปของกระบวนการควบคุมออก เพื่อไม่ให้เกิด control action และกระทำได้โดยแยกตัวควบคุมออกจาก final control element เมื่อให้เอาท์พุทของตัวควบคุมเปลี่ยนแปลงเป็นแบบสเตปจากค่าคงที่หนึ่ง เช่น 5 % ถึง 10 % จะได้ผลตอบสนองดังรูปที่ 6.1 จากเส้นตรงผ่านจุด inflection ของเส้นโค้งไปสู่แกนเวลาจะได้



รูปที่ 6.1 การกระทำกระบวนกรทางกราฟ

$$L = \text{lag time (นาทึ)} \quad (1)$$

$$N = \frac{\Delta C_p}{T} \quad (2)$$

โดยที่

N = อัตราการตอบสนอง (% : นาทึ)

ΔC_p = การเปลี่ยนแปลงตัวแปร (%)

T = การเปลี่ยนแปลงเวลา (นาทึ)

สมการ (1) และ (2) ถูกใช้ร่วมกับตัวควบคุมที่มีการเปลี่ยนแปลงตัวแปร ΔP เพื่อในการปรับแต่งตัวควบคุม เนื้อหาต่อไปนี้จะให้นิยามของการควบคุมให้มีเสถียรภาพสำหรับโหมดต่างๆ ซึ่งถูกพัฒนาโดย

Ziegler and Nichols

เอกสารนี้เป็นเอกสารที่สงวนไว้สำหรับการใช้งานเพื่อการศึกษาเท่านั้น ไม่อนุญาตให้นำไปใช้ประโยชน์ด้านการค้า ไม่ว่ากรณีใดๆ ทั้งสิ้น อีกทั้งห้ามมิให้ดัดแปลงเนื้อหา และต้องอ้างอิงถึงเจ้าของเอกสารทุกครั้งที่มีการนำไปใช้

กรณีโหมคี่รอปพอร์ชั้นนัล

$$\text{Ziegler - Nichols} : K_p = \frac{\Delta P}{NL} \quad (3)$$

กรณีโหมคี่รอปพอร์ชั้นนัลอินติกรัล

$$\text{Ziegler - Nichols} : K_p = \frac{0.9\Delta P}{NL} \quad (4)$$

$$\text{Ziegler - Nichols} : \tau_i = 3.33 L \quad (5)$$

$$\text{Ziegler - Nichols} : K_p = \frac{1.2 \Delta P}{NL} \quad (6)$$

$$\text{Ziegler - Nichols} : \tau_i = 2L \quad (7)$$

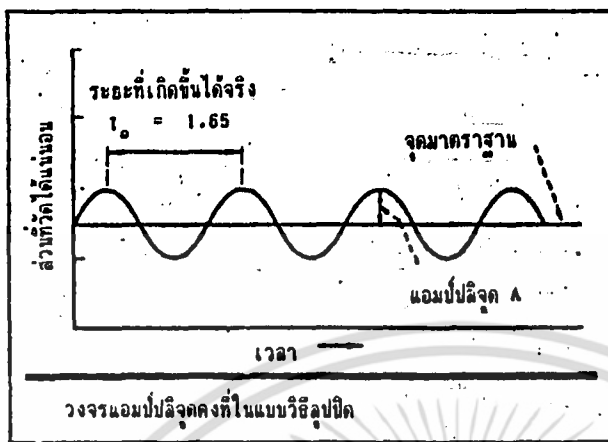
$$\text{Ziegler - Nichols} : \tau_D = 0.5L \quad (8)$$

3.2) วิธีการตอนสนองแบบลูปปิดหรือเรียกกันว่า Ultimate cycle method วิธีนี้เป็นอีกวิธีหนึ่งที่เกิดขึ้นโดย Ziegler and Nichols และเป็นวิธีที่นิยมใช้กัน เพราะว่าวัดพารามิเตอร์เพียงหนึ่งตัวเท่านั้น และนำมาใช้ในการทำการทดลองภายในวิทยานิพนธ์นี้ วิธีนี้มันค่อนข้างง่าย

1) ลดค่าอินติกรัลและดีริเวทีฟให้ต่ำที่สุด

2) ค่อยๆเพิ่มเกนรอปพอร์ชั้นนัล K_c จนกว่าจะเกิดการแกว่งที่มีแอมป์ปลิวจุดและระยะเวลาตามธรรมชาติ

เอกสารนี้เป็นเอกสารที่สงวนไว้สำหรับการใช้งานเพื่อการศึกษาเท่านั้น ไม่อนุญาตให้นำไปใช้ประโยชน์ด้านการค้าไม่ว่ากรณีใดๆ ทั้งสิ้น อีกทั้งห้ามมิให้ดัดแปลงเนื้อหา และต้องอ้างอิงถึงเจ้าของเอกสารทุกครั้งที่มีการนำไปใช้



รูปที่ 6.2 รูปคลื่นในส่วนของแอมป์ลิจูดคงที่ที่ใช้ในแบบวิธีการ close-loop

กรณีโหมคปรีอพออร์ชั่นแนล

Ziegler - Nichols : $K_p = 0.5 K_c$ (9)

กรณีโหมคปรีอพออร์ชั่นแนลอินติกรัล

Ziegler - Nichols : $K_p = 0.45 K_c$ (10)

Ziegler - Nichols : $\tau_i = \tau_o / 1.2$ (11)

กรณีโหมคปรีอพออร์ชั่นแนลอินติกรัลดิริเวทีฟ

Ziegler - Nichols : $K_p = 0.6 K_c$ (12)

Ziegler - Nichols : $\tau_i = 0.5 \tau_o$ (13)

Ziegler - Nichols : $\tau_o = \tau_o / 8$ (14)

เอกสารนี้เป็นเอกสารที่สงวนไว้สำหรับการใช้งานเพื่อการศึกษาเท่านั้น ไม่อนุญาตให้นำไปใช้ประโยชน์ด้านการค้า ไม่ว่าจะกรณีใดๆ ทั้งสิ้น อีกทั้งห้ามมิให้ดัดแปลงเนื้อหา และต้องอ้างอิงถึงเจ้าของเอกสารทุกครั้งที่มีการนำไปใช้

จากสมการที่ (12), (13) และ (14) นี้เราสามารถนำมาคำนวณหาค่าพารามิเตอร์ของค่า K_p , K_i และ K_d ได้เพื่อที่เราจะสามารถนำมาหาค่าแรงดันที่ได้จากการเคลื่อนที่ ในค่าตำแหน่งแรกเคลื่อนที่ไปยังตำแหน่งถัดไปเราจะนำค่าที่ได้มาใช้คำนวณมุม θ_1 เป็นระยะที่มอเตอร์สามารถเคลื่อนที่ได้จริง จากนั้นเราจะทำการค่าจากตารางภายในไมโครโปรเซสเซอร์ เพื่อที่เราจะสามารถกำหนดค่าใหม่ให้ตำแหน่งของมอเตอร์เปลี่ยนไปจากเดิมไปเป็น θ_2 โดยที่เกนของ K_p , K_i , K_d ยังคงเท่าเดิมพร้อมทั้งมีการเพิ่มโพลของมอเตอร์และมีการปรับแต่งตำแหน่งมอเตอร์เพื่อให้ระยะตำแหน่งที่มอเตอร์เคลื่อนที่ไปในตำแหน่งเดิม θ_1 ในส่วนของมุม θ_2 ก็จะทำแบบเดียวกันกับ θ_1 พร้อมทั้งมีการเพิ่มโพล

จากนั้นเราจะทำการปรับค่าพารามิเตอร์ K_p และ K_d เพื่อที่จะปรับแต่งค่าพารามิเตอร์แบบ PD พร้อมทั้งหาค่าตำแหน่งการเคลื่อนที่ ที่ได้มาจากการคำนวณมุม θ_2 จากนั้นเราจะทำการเพิ่มโพลมอเตอร์ที่นำมาใช้ในการเคลื่อนที่โดยที่เกนของ K_p , K_d ยังคงเดิม

การปรับแต่งค่าพารามิเตอร์ต่างๆ ที่นำมาใช้ในการควบคุมตำแหน่ง ในส่วนของการทดลองที่จะนำมากล่าวต่อไปนี้เป็นผลจากการวัดผลการตอบสนองของความเร็วชั่วขณะจากสัญญาณหาโคเจนเนอเรเตอร์ และทำการวัดผลการตอบสนองชั่วขณะของตำแหน่งจากสัญญาณพัลส์เจเนอเรเตอร์พร้อมกันโดยมีการควบคุมตำแหน่งในลักษณะแบบ PID และ PD ที่ได้จากการปรับแต่งค่าพารามิเตอร์ K_p , K_i , K_d เพื่อที่จะนำมาใช้แต่เฉพาะในส่วนการควบคุมตำแหน่ง เราจะทำการวัดเวลาที่สัญญาณเข้าสู่ระยะ steady-state ตามค่าเวลา settling time = T_s พร้อมทั้งวัดช่วงแรงดันจากช่วงตำแหน่งแรกที่มอเตอร์หยุดไปยังตำแหน่งที่สองที่มอเตอร์หยุด เพื่อที่จะนำมาใช้ในการคำนวณมุม θ_1 ที่มอเตอร์ได้เคลื่อนออกไป ต่อไปเราจะนำโพลมอเตอร์อีกตัวต่อเข้าไปโดยที่เราจะทำการต่อแบบ (open) จากนั้นเราจะนำโพลมอเตอร์ที่เราได้ต่อเข้าไปมาทำการลัดวงจรมอเตอร์ หรือที่เราเรียกว่าการต่อแบบ (close) จากนั้นเราจะทำการปรับมุม θ_2 และ θ_3

1) การตอบสนองตำแหน่งมอเตอร์ ($K_p=125$ $K_i=124.5$ $K_d=2.5$)

การตอบสนองการควบคุมตำแหน่งมอเตอร์ที่มีการปรับแต่งการจูน PID ของ Ziegler-Nichols ดังที่ได้เคยนำมากล่าวไว้แล้วในตอนต้นภายในระบบที่เราได้ทำการปรับแต่งอยู่นี้เราจะได้ $K_c=60$: $\zeta_o = 0.58$ เพื่อที่จะนำไปหาค่า K_p, K_i, K_d ที่ได้จากการคำนวณต่างๆจากสมการที่ (12), (13) และ (14) ดังนี้

ขั้นตอนการคำนวณหาค่าเกน K_p ที่ได้จากการคำนวณ

$$K_p = 0.6K_c$$

$$K_p = 0.6*60$$

$$K_p = 36$$

ขั้นตอนการคำนวณหาค่าเกน K_i ที่ได้จากการคำนวณ

$$\zeta_i = 0.5\zeta_o$$

$$\zeta_i = 0.5*0.58$$

$$\zeta_i = 0.29$$

$$K_i = \frac{K_p}{s\zeta_i}$$

เอกสารนี้เป็นเอกสารที่สงวนไว้สำหรับการใช้งานเพื่อการศึกษาเท่านั้น ไม่อนุญาตให้นำไปใช้ประโยชน์ด้านการค้าไม่ว่ากรณีใดๆ ทั้งสิ้น อีกทั้งห้ามมิให้ดัดแปลงเนื้อหา และต้องอ้างอิงถึงเจ้าของเอกสารทุกครั้งที่มีการนำไปใช้

$$K_1 = \frac{36}{s * 0.29}$$

$$K_1 = \frac{124.13}{s}$$

ขั้นตอนการคำนวณหาค่าเกณฑ์ K_D ที่ได้จากการคำนวณ

$$\tau_D = \tau_D / 8$$

$$\tau_D = 0.58 / 8$$

$$\tau_D = 0.0725$$

$$K_D = s \tau_D K_P$$

$$K_D = s * 0.0725 * 36$$

$$K_D = 2.61$$

เอกสารนี้เป็นเอกสารที่สงวนไว้สำหรับการใช้งานเพื่อการศึกษาเท่านั้น ไม่อนุญาตให้นำไปใช้ประโยชน์ด้านการค้า
ไม่ว่ากรณีใดๆ ทั้งสิ้น อีกทั้งห้ามมิให้ดัดแปลงเนื้อหา และต้องอ้างอิงถึงเจ้าของเอกสารทุกครั้งที่มีการนำไปใช้



เอกสารนี้เป็นเอกสารที่สงวนไว้สำหรับการใช้งานเพื่อการศึกษาเท่านั้น ไม่อนุญาตให้นำไปใช้ประโยชน์ด้านการค้า
ไม่ว่ากรณีใดๆ ทั้งสิ้น อีกทั้งห้ามมิให้ดัดแปลงเนื้อหา และต้องอ้างอิงถึงเจ้าของเอกสารทุกครั้งที่มีการนำไปใช้

```
*****
*
*      POSITION CONTROL PROPORTION INTEGRATE      *
*      DERIVATIVE USING FOR D.C. MOTOR METHOD    *
*
*****
;
;      CPU      "8085.TBL"      ;
;      HOF      "INT8"         ;
;
;
PORTA1: EQU    0F0H
PORTB1: EQU    0F1H
PORTC1: EQU    0F2H
CWR1:   EQU    0F3H           ; Control word 8255-1
CWR2:   EQU    0F7H           ; Control word 8255-2
STACK:  EQU    8FFFH
DSP:    EQU    66H
DSPD:   EQU    70H
DCO:    EQU    0A6H
PORT_NO: EQU    02H
RST7.5: EQU    0FF12H
TABLE_0: EQU    08E00H
TABLE_1: EQU    08E20H
TABLE_2: EQU    08E40H
TABLE_3: EQU    08E60H
TABLE_4: EQU    08E80H
TABLE_5: EQU    08EA0H
TABLE_6: EQU    08EC0H
TABLE_7: EQU    08EE0H
TABLE_8: EQU    08F00H
TABLE_9: EQU    08F20H
TABLE_A: EQU    08F40H
TABLE_B: EQU    08F60H
TABLE_C: EQU    08F80H
TABLE_D: EQU    08FA0H
TABLE_E: EQU    08FC0H
TABLE_F: EQU    08FE0H
WDATA:  EQU    08100H
;
;      ORG      8000H
;
START:  LXI    SP, STACK      ; Set stack pointer
        MVI    A, 90H        ; I/O port command data
        OUT    CWR1          ; Set I/O ports 8255-1
        MVI    A, 89H        ; I/O port command data
        OUT    CWR2          ; Set I/O ports 8255-2
;
        MVI    A, 04H
        OUT    PORTC1
        MVI    A, 0C3H
        STA    RST7.5+0
        LXI    H, INT7.5
        SHLD   RST7.5+1
;
        LXI    H, 0FFFFH
        SHLD   WDATA
```

เอกสารนี้เป็นเอกสารที่สงวนไว้สำหรับการใช้งานเพื่อการศึกษาเท่านั้น ไม่อนุญาตให้นำไปใช้ประโยชน์ด้านการค้า
ไม่ว่ากรณีใดๆ ทั้งสิ้น อีกทั้งห้ามมิให้ดัดแปลงเนื้อหา และต้องอ้างอิงถึงเจ้าของเอกสารทุกครั้งที่มีการนำไปใช้

```
;
LOOP1: MVI C,PORT_NO ;
      CALL ADCONV ;
      MOV C,A ;
;
      LXI D,TABLE_0 ; Load data position command
      MVI B,01FH ; Counter loop position command
LOOP2: LDAX D ;
      SUB C ;
;
IFSTOP: ORI 00H ; Logical OR IF=0 goto STOP
        JZ STOP ;
;
      LDAX D ; Input DV from position control
      SUB C ;
OUTPUT: CALL PID ; Go to PID SUBROUTINE
        INX D ; Increment address
        DCR B ; Decrement counter
        JNZ LOOP2 ; IF position command is not ERROR
;
      LXI D,TABLE_1 ; Load data position command
      MVI B,01FH ; Counter loop position command
LOOP2: LDAX D ;
      SUB C ;
;
IFSTOP: ORI 00H ; Logical OR IF=0 goto STOP
        JZ STOP ;
;
      LDAX D ; Input DV from position control
      SUB C ;
OUTPUT: CALL PID ; Go to PID SUBROUTINE
        INX D ; Increment address
        DCR B ; Decrement counter
        JNZ LOOP2 ; IF position command is not ERROR
;
      LXI D,TABLE_2 ; Load data position command
      MVI B,01FH ; Counter loop position command
LOOP2: LDAX D ;
      SUB C ;
;
IFSTOP: ORI 00H ; Logical OR IF=0 goto STOP
        JZ STOP ;
;
      LDAX D ; Input DV from position control
      SUB C ;
OUTPUT: CALL PID ; Go to PID SUBROUTINE
        INX D ; Increment address
        DCR B ; Decrement counter
        JNZ LOOP2 ; IF position command is not ERROR
;
      LXI D,TABLE_3 ; Load data position command
      MVI B,01FH ; Counter loop position command
LOOP2: LDAX D ;
      SUB C ;
;
IFSTOP: ORI 00H ; Logical OR IF=0 goto STOP
```

เอกสารนี้เป็นเอกสารที่สงวนไว้สำหรับการใช้งานเพื่อการศึกษาเท่านั้น ไม่อนุญาตให้นำไปใช้ประโยชน์ด้านการค้า

ไม่ว่ากรณีใดๆ ทั้งสิ้น อีกทั้งห้ามมิให้ดัดแปลงเนื้อหา และต้องอ้างอิงถึงเจ้าของเอกสารทุกครั้งที่มีการนำไปใช้

```

;
; JZ STOP ;
;
; LDAX D ; Input DV from position control
; SUB C ;
OUTPUT: CALL PID ; Go to PID SUBROUTINE
; INX D ; Increment address
; DCR B ; Decrement counter
; JNZ LOOP2 ; IF position command is not ERROR
;
; LXI D, TABLE_4 ; Load data position command
; MVI B, 01FH ; Counter loop position command
LOOP2: LDAX D ;
; SUB C ;
;
; IFSTOP: ORI OOH ; Logical OR IF=0 goto STOP
; JZ STOP ;
;
; LDAX D ; Input DV from position control
; SUB C ;
OUTPUT: CALL PID ; Go to PID SUBROUTINE
; INX D ; Increment address
; DCR B ; Decrement counter
; JNZ LOOP2 ; IF position command is not ERROR
;
; LXI D, TABLE_5 ; Load data position command
; MVI B, 01FH ; Counter loop position command
LOOP2: LDAX D ;
; SUB C ;
;
; IFSTOP: ORI OOH ; Logical OR IF=0 goto STOP
; JZ STOP ;
;
; LDAX D ; Input DV from position control
; SUB C ;
OUTPUT: CALL PID ; Go to PID SUBROUTINE
; INX D ; Increment address
; DCR B ; Decrement counter
; JNZ LOOP2 ; IF position command is not ERROR
;
; LXI D, TABLE_6 ; Load data position command
; MVI B, 01FH ; Counter loop position command
LOOP2: LDAX D ;
; SUB C ;
;
; IFSTOP: ORI OOH ; Logical OR IF=0 goto STOP
; JZ STOP ;
;
; LDAX D ; Input DV from position control
; SUB C ;
OUTPUT: CALL PID ; Go to PID SUBROUTINE
; INX D ; Increment address
; DCR B ; Decrement counter
; JNZ LOOP2 ; IF position command is not ERROR
;
; LXI D, TABLE_7 ; Load data position command
; MVI B, 01FH ; Counter loop position command

```

เอกสารนี้เป็นเอกสารที่สงวนไว้สำหรับการใช้งานเพื่อการศึกษาเท่านั้น ไม่อนุญาตให้นำไปใช้ประโยชน์ด้านการค้า
ไม่ว่ากรณีใดๆ ทั้งสิ้น อีกทั้งห้ามมิให้ดัดแปลงเนื้อหา และต้องอ้างอิงถึงเจ้าของเอกสารทุกครั้งที่มีการนำไปใช้

```
LOOP2: LDAX D ;
      SUB C ;
;
IFSTOP: ORI OOH ; Logical OR IF=0 goto STOP
      JZ STOP ;
;
      LDAX D ; Input DV from position control
      SUB C ;
OUTPUT: CALL PID ; Go to PID SUBROUTINE
      INX D ; Increment address
      DCR B ; Decrement counter
      JNZ LOOP2 ; IF position command is not ERROR
;
      LXI D, TABLE_B ; Load data position command
      MVI B, 01FH ; Counter loop position command
LOOP2: LDAX D ;
      SUB C ;
;
IFSTOP: ORI OOH ; Logical OR IF=0 goto STOP
      JZ STOP ;
;
      LDAX D ; Input DV from position control
      SUB C ;
OUTPUT: CALL PID ; Go to PID SUBROUTINE
      INX D ; Increment address
      DCR B ; Decrement counter
      JNZ LOOP2 ; IF position command is not ERROR
;
      LXI D, TABLE_9 ; Load data position command
      MVI B, 01FH ; Counter loop position command
LOOP2: LDAX D ;
      SUB C ;
;
IFSTOP: ORI OOH ; Logical OR IF=0 goto STOP
      JZ STOP ;
;
      LDAX D ; Input DV from position control
      SUB C ;
OUTPUT: CALL PID ; Go to PID SUBROUTINE
      INX D ; Increment address
      DCR B ; Decrement counter
      JNZ LOOP2 ; IF position command is not ERROR
;
      LXI D, TABLE_A ; Load data position command
      MVI B, 01FH ; Counter loop position command
LOOP2: LDAX D ;
      SUB C ;
;
IFSTOP: ORI OOH ; Logical OR IF=0 goto STOP
      JZ STOP ;
;
      LDAX D ; Input DV from position control
      SUB C ;
OUTPUT: CALL PID ; Go to PID SUBROUTINE
      INX D ; Increment address
      DCR B ; Decrement counter
```

เอกสารนี้เป็นเอกสารที่สงวนไว้สำหรับการใช้งานเพื่อการศึกษาเท่านั้น ไม่อนุญาตให้นำไปใช้ประโยชน์ด้านการค้า
ไม่ว่ากรณีใดๆ ทั้งสิ้น อีกทั้งห้ามมิให้ดัดแปลงเนื้อหา และต้องอ้างอิงถึงเจ้าของเอกสารทุกครั้งที่มีการนำไปใช้

```

;       JNZ     LOOP2           ; IF position command is not ERROR
;
;       LXI     D, TABLE_B     ; Load data position command
;       MVI     B, 01FH         ; Counter loop position command
LOOP2:  LDAX   D                 ;
;       SUB     C                 ;
;
; IFSTOP: ORI   00H             ; Logical OR IF=0 goto STOP
;       JZ     STOP             ;
;
;       LDAX   D                 ; Input DV from position control
;       SUB     C                 ;
OUTPUT: CALL   PID              ; Go to PID SUBROUTINE
;       INX    D                 ; Increment address
;       DCR    B                 ; Decrement counter
;       JNZ    LOOP2           ; IF position command is not ERROR
;
;       LXI     D, TABLE_C     ; Load data position command
;       MVI     B, 01FH         ; Counter loop position command
LOOP2:  LDAX   D                 ;
;       SUB     C                 ;
;
; IFSTOP: ORI   00H             ; Logical OR IF=0 goto STOP
;       JZ     STOP             ;
;
;       LDAX   D                 ; Input DV from position control
;       SUB     C                 ;
OUTPUT: CALL   PID              ; Go to PID SUBROUTINE
;       INX    D                 ; Increment address
;       DCR    B                 ; Decrement counter
;       JNZ    LOOP2           ; IF position command is not ERROR
;
;       LXI     D, TABLE_D     ; Load data position command
;       MVI     B, 01FH         ; Counter loop position command
LOOP2:  LDAX   D                 ;
;       SUB     C                 ;
;
; IFSTOP: ORI   00H             ; Logical OR IF=0 goto STOP
;       JZ     STOP             ;
;
;       LDAX   D                 ; Input DV from position control
;       SUB     C                 ;
OUTPUT: CALL   PID              ; Go to PID SUBROUTINE
;       INX    D                 ; Increment address
;       DCR    B                 ; Decrement counter
;       JNZ    LOOP2           ; IF position command is not ERROR
;
;       LXI     D, TABLE_E     ; Load data position command
;       MVI     B, 01FH         ; Counter loop position command
LOOP2:  LDAX   D                 ;
;       SUB     C                 ;
;
; IFSTOP: ORI   00H             ; Logical OR IF=0 goto STOP
;       JZ     STOP             ;
;
;       LDAX   D                 ; Input DV from position control
```

เอกสารนี้เป็นเอกสารที่สงวนไว้สำหรับการใช้งานเพื่อการศึกษาเท่านั้น ไม่อนุญาตให้นำไปใช้ประโยชน์ด้านการค้า
ไม่ว่ากรณีใดๆ ทั้งสิ้น อีกทั้งห้ามมิให้ดัดแปลงเนื้อหา และต้องอ้างอิงถึงเจ้าของเอกสารทุกครั้งที่มีการนำไปใช้

```

;
OUTPUT: SUB C ;
CALL PID ; Go to PID SUBROUTINE
INX D ; Increment address
DCR B ; Decrement counter
JNZ LOOP2 ; IF position command is not ERROR
;
LXI D, TABLE_F ; Load data position command
MVI B, 01FH ; Counter loop position command
LOOP2: LDAX D ;
SUB C ;
;
IFSTOP: ORI 00H ; Logical OR IF=0 goto STOP
JZ STOP ;
;
LDAX D ; Input DV from position control
SUB C ;
OUTPUT: CALL PID ; Go to PID SUBROUTINE
INX D ; Increment address
DCR B ; Decrement counter
JNZ LOOP2 ; IF position command is not ERROR
;
JMP LOOP1 ; then go to LOOP2
;
; *****
; *
; * RST7.5 POSITION ERROR COUNTER ROUTINE DIRECTION *
; *
; * *****
;
INT7.5: PUSH PSW ; Push flag state down to stack
IN PORTB2 ; Fetch encoder signal
ANI 01H ; If zero
JZ CCW ; Go to CCW
;
CW: INX H ; Increment HL
POP PSW ; Retrieve flag state
EI ; Enable interrupts
RET ; Return to main routine
;
CCW: DCX H ; Decrement HL
POP PSW ; Retrieve flag state
EI ; Enable interrupts
RET ; Return to main routine
;
; *****
; *
; * STOP COMMAND EXECUTION *
; *
; * *****
;
STOP: MVI A, 80H ; Load A=80H
OUT PORTB1 ; Output to PORTB1
DI ; Disable interrupt
HLT ; Halt CPU
;
DELAY: OUT PORTB1 ;
```

เอกสารนี้เป็นเอกสารที่สงวนไว้สำหรับการใช้งานเพื่อการศึกษาเท่านั้น ไม่อนุญาตให้นำไปใช้ประโยชน์ด้านการค้า
ไม่ว่ากรณีใดๆ ทั้งสิ้น อีกทั้งห้ามมิให้ดัดแปลงเนื้อหา และต้องอ้างอิงถึงเจ้าของเอกสารทุกครั้งที่มีการนำไปใช้

```

WAIT:  LHLD  WDATA
       DCR  H
       MOV  A,H
       ORA  L
       JNZ  WAIT
       RET

```

```

*****
*
*   CONVERT DIRECTION ERROR
*
*****

```

```

ORG  9000H

ADCONV:  PUSH  B
         PUSH  D
         MOV  A,C
         ANI  03H
         MOV  C,A
         IN   PORTC1
         ANI  0F0H      Send munber port go to A/D
         ORA  C
         XRI  04H      CS="H"
         OUT  PORTC1
         XRI  04H      CS="L"
         OUT  PORTC1
         MVI  C,09H

ADC1:    LXI  D,0706H
         MOV  A,D      CLK="H"
         OUT  CWR1
         MOV  A,E      CLK="L"
         OUT  CWR1
         IN   PORTA1
         RAL
         MOV  A,B
         RAL
         MOV  B,A
         DCR  C
         JNZ  ADC1
         MVI  A,05H
         OUT  CWR1
         MOV  A,B
         POP  D
         POP  B
         RET

```

```

*****
*
*   CALCULATE THE ABSOLUTE ERROR AND SIGN DE
*
*****

```

```

PID:    PUSH  D
         PUSH  B

```

เอกสารนี้เป็นเอกสารที่สงวนไว้สำหรับการใช้งานเพื่อการศึกษาเท่านั้น ไม่อนุญาตให้นำไปใช้ประโยชน์ด้านการค้า
ไม่ว่ากรณีใดๆ ทั้งสิ้น อีกทั้งห้ามมิให้ดัดแปลงเนื้อหา และต้องอ้างอิงถึงเจ้าของเอกสารทุกครั้งที่มีการนำไปใช้

```

MOV    E,A          ;
MVI    C,00H       ;
MOV    A,E          ; Calculate value ERROR DE=DV-DSP
JNC    KI          ; B=DE
CMA    A            ; (-)DE
ADI    01H         ; (-)DE+1
MVI    C,OFFH      ; SGN=1 input from PORTC1

```

```

; *****
; *
; * THIS SECTION CALCULATES INTEGRAL KI*DE=0.375*DE *
; *
; *****
;

```

```

KI:    MOV    B,A          ; E=0.375*DE
        MOV    A,C          ; SGN
        ANA    A            ;
        LDA    DCI         ;
        JZ     SUBI        ;
        ADD    B            ; DCI1=DCI1+KI*DE
        JNC    DCI         ;
        MVI    A,OFFH      ;
        JMP    DCI         ;
SUBI:   SUB    B            ; DCI1=DCI1-KI*DE
        JNC    DCI         ;
        MVI    A,00H       ;
DCI:    MOV    D,A          ;

```

```

; *****
; *
; * THE OUTPUT IS CALCULATE DCI1=DCI1+KI*DE *
; *
; *****
;

```

```

MOV    A,D          ; A=DE
RAR    A            ; 0.5*DE
RAR    A            ; 0.25*DE
MOV    E,A          ; E=0.25*DE
RAR    A            ;
ADD    E            ; E=0.125*DE+0.25*DE=0.375*DE
JC     OVR1        ;
MOV    E,A          ;
RAR    A            ;
ADD    E            ;
JNC    OUTI        ;
OVR1:  MVI    A,OFFH      ;
OUTI:  MOV    E,A          ;

```

```

; *****
; *
; * THIS SECTION CALCULATES PROPORTIONAL KP*DE=3.5*DE *
; *
; *****
;

```

```

KP:    MOV    A,B          ; A=DE
        ADD    B            ; B=2*DE

```

เอกสารนี้เป็นเอกสารที่สงวนไว้สำหรับการใช้งานเพื่อการศึกษาเท่านั้น ไม่อนุญาตให้นำไปใช้ประโยชน์ด้านการค้า
 ไม่ว่ากรณีใดๆ ทั้งสิ้น อีกทั้งห้ามมิให้ดัดแปลงเนื้อหา และต้องอ้างอิงถึงเจ้าของเอกสารทุกครั้งที่มีการนำไปใช้

```

JC      OVR2      ;
MOV     D,A       ; D=2*DE
MOV     A,B       ; A=DE
ADD     D         ; A=DE+2*DE=3*DE
JC      OVR2      ;
MOV     D,A       ; D=3*DE
MOV     A,B       ; A=DE
RAR     ;         ; 0.5*DE
ADD     D         ; A=3*DE+0.5*DE=3.5*DE
JNC     DCP       ;
OVR2:   MOV     A,C ;
ANA     A         ;
JZ      MINP      ;
MINP:   MVI     A,OFFH ;
JMP     DCP       ;
DCP:    MOV     D,A ;
;
; *****
; *
; *   THE OUTPUT IS CALCULATE DCP=DCO+KP*DE
; *
; * *****
;
MOV     A,C       ; SGN
ANA     A         ;
MVI     A,DCO     ; A=DCO
JZ      SUBP      ;
ADD     D         ; DCO+KP*DE
JNC     OUTP      ;
MVI     A,OFFH    ;
JMP     OUTP      ;
SUBP:   SUB     D  ; DCO-KP*DE
JNC     OUTP      ;
MVI     A,OOH     ;
OUTP:   MOV     D,A ;
;
; *****
; *
; *   THIS SECTION PROPORTIONAL INTEGRAL DCFI=DCP+DCI
; *
; * *****
;
DCFPI:  MOV     A,C ; SGN
ANA     A         ;
MOV     A,E       ; A=DCI
JZ      SUBPI     ;
ADD     D         ; DCFI=DCI+DCP
JNC     OUTPI     ;
MVI     A,OFFH    ;
JMP     OUTPI     ;
SUBPI:  SUB     D  ; DCFI=DCI-DCP
JNC     OUTPI     ;
MVI     A,OOH     ;
OUTPI:  MOV     D,A ;
;

```

เอกสารนี้เป็นเอกสารที่สงวนไว้สำหรับการใช้งานเพื่อการศึกษาเท่านั้น ไม่อนุญาตให้นำไปใช้ประโยชน์ด้านการค้า
 ไม่ว่ากรณีใดๆ ทั้งสิ้น อีกทั้งห้ามมิให้ดัดแปลงเนื้อหา และต้องอ้างอิงถึงเจ้าของเอกสารทุกครั้งที่มีการนำไปใช้

```

*****
*
*      CALCULATE THE ABSOLUTE ERROR AND SIGN DDE
*
*****
;
MOV     A,B           ; Input DE
MVI     C,00H        ;
SUI     DSPD         ; DDE=DE-DSPD
JNC     KD           ;
CMA     ;            ; (-)DDE
ADI     01H          ; (-)DDE+1
MVI     C,0FFH       ; SGND=1
;
*****
;
;      THIS SECTION CALCULATE DERIVATIVE KD*DDE=1.625*DDE
;
*****
;
KD:     MOV     B,A    ; Input DDE
        MOV     A,B    ; A=DDE
        RAR     ;      ; 0.5*DDE
        MOV     E,A    ; E=0.5*DDE
        MOV     A,E    ;
        RAR     ;      ; 0.25*DDE
        RAR     ;      ; 0.125*DDE
        ADD     E      ; A=0.125*DDE+0.5*DDE=0.625*DE
        JC     OVR3    ;
        ADD     B      ; A=0.625*DE+DE=1.625*DE
        JNC     DCD    ;
OVR3:   MVI     A,0FFH ;
DCD:    MOV     E,A    ; E=1.625*DE
;
;
;      THE OUTPUT IS CALCULATE DCPID=DCPI+DCD
;
*****
;
DCPID:  MOV     A,C    ; SGND
        ANA     A      ;
        MOV     A,D    ;
        JZ     SUBPID  ;
        ADD     E      ; DCPID=DCPI+DCD
        JNC     OUTPID ;
        MVI     A,0FFH ;
        JMP     OUTPID ;
SUBPID: SUB     E      ; DCPID=DCPI-DCD
        JNC     OUTPID ;
        MVI     A,00H  ;
OUTPID: CALL    DELAY ;
        POP     B      ;
        POP     D      ;
        RET           ;
;

```

เอกสารนี้เป็นเอกสารที่สงวนไว้สำหรับการใช้งานเพื่อการศึกษาเท่านั้น ไม่อนุญาตให้นำไปใช้ประโยชน์ด้านการค้า
 ไม่ว่ากรณีใดๆ ทั้งสิ้น อีกทั้งห้ามมิให้ดัดแปลงเนื้อหา และต้องอ้างอิงถึงเจ้าของเอกสารทุกครั้งที่มีการนำไปใช้

```
*****
*
*          POSITION COMMAND DATA          *
*
*****
;
;          ORG          BE00H          ;
;
TABLE_0: DFB          00FH, 00FH, 00EH, 00EH, 00DH, 00DH, 00CH, 00CH
          DFB          00BH, 00BH, 00AH, 00AH, 009H, 009H, 008H, 008H
          DFB          007H, 007H, 006H, 006H, 005H, 005H, 004H, 004H
          DFB          003H, 003H, 002H, 002H, 001H, 001H, 000H, 000H
;
TABLE_1: DFB          0FFH, 0FFH, 0FEH, 0FEH, 0FDH, 0FDH, 0FCH, 0FCH
          DFB          0FBH, 0FBH, 0FAH, 0FAH, 0F9H, 0F9H, 0F8H, 0F8H
          DFB          0F7H, 0F7H, 0F6H, 0F6H, 0F5H, 0F5H, 0F4H, 0F4H
          DFB          0F3H, 0F3H, 0F2H, 0F2H, 0F1H, 0F1H, 0F0H, 0F0H
;
TABLE_2: DFB          0EFH, 0EFH, 0EEH, 0EEH, 0EDH, 0EDH, 0ECH, 0ECH
          DFB          0EBH, 0EBH, 0EAH, 0EAH, 0E9H, 0E9H, 0E8H, 0E8H
          DFB          0E7H, 0E7H, 0E6H, 0E6H, 0E5H, 0E5H, 0E4H, 0E4H
          DFB          0E3H, 0E3H, 0E2H, 0E2H, 0E1H, 0E1H, 0E0H, 0E0H
;
TABLE_3: DFB          0DFH, 0DFH, 0DEH, 0DEH, 0DDH, 0DDH, 0DCH, 0DCH
          DFB          0DBH, 0DBH, 0DAH, 0DAH, 0D9H, 0D9H, 0D8H, 0D8H
          DFB          0D7H, 0D7H, 0D6H, 0D6H, 0D5H, 0D5H, 0D4H, 0D4H
          DFB          0D3H, 0D3H, 0D2H, 0D2H, 0D1H, 0D1H, 0D0H, 0D0H
;
TABLE_4: DFB          0CFH, 0CFH, 0CEH, 0CEH, 0CDH, 0CDH, 0CCH, 0CCH
          DFB          0CBH, 0CBH, 0CAH, 0CAH, 0C9H, 0C9H, 0C8H, 0C8H
          DFB          0C7H, 0C7H, 0C6H, 0C6H, 0C5H, 0C5H, 0C4H, 0C4H
          DFB          0C3H, 0C3H, 0C2H, 0C2H, 0C1H, 0C1H, 0C0H, 0C0H
;
TABLE_5: DFB          0BFH, 0BFH, 0BEH, 0BEH, 0BDH, 0BDH, 0BCH, 0BCH
          DFB          0BBH, 0BBH, 0BAH, 0BAH, 0B9H, 0B9H, 0B8H, 0B8H
          DFB          0B7H, 0B7H, 0B6H, 0B6H, 0B5H, 0B5H, 0B4H, 0B4H
          DFB          0B3H, 0B3H, 0B2H, 0B2H, 0B1H, 0B1H, 0B0H, 0B0H
;
TABLE_6: DFB          0AFH, 0AFH, 0AEH, 0AEH, 0ADH, 0ADH, 0ACH, 0ACH
          DFB          0ABH, 0ABH, 0AAH, 0AAH, 0A9H, 0A9H, 0A8H, 0A8H
          DFB          0A7H, 0A7H, 0A6H, 0A6H, 0A5H, 0A5H, 0A4H, 0A4H
          DFB          0A3H, 0A3H, 0A2H, 0A2H, 0A1H, 0A1H, 0A0H, 0A0H
;
TABLE_7: DFB          09FH, 09FH, 09EH, 09EH, 09DH, 09DH, 09CH, 09CH
          DFB          09BH, 09BH, 09AH, 09AH, 099H, 099H, 098H, 098H
          DFB          097H, 097H, 096H, 096H, 095H, 095H, 094H, 094H
          DFB          093H, 093H, 092H, 092H, 091H, 091H, 090H, 090H
;
TABLE_8: DFB          08FH, 08FH, 08EH, 08EH, 08DH, 08DH, 08CH, 08CH
          DFB          08BH, 08BH, 08AH, 08AH, 089H, 089H, 088H, 088H
          DFB          087H, 087H, 086H, 086H, 085H, 085H, 084H, 084H
          DFB          083H, 083H, 082H, 082H, 081H, 081H, 080H, 080H
;
TABLE_9: DFB          07FH, 07FH, 07EH, 07EH, 07DH, 07DH, 07CH, 07CH
          DFB          07BH, 07BH, 07AH, 07AH, 079H, 079H, 078H, 078H
          DFB          077H, 077H, 076H, 076H, 075H, 075H, 074H, 074H
```

เอกสารนี้เป็นเอกสารที่สงวนไว้สำหรับการใช้งานเพื่อการศึกษาเท่านั้น ไม่อนุญาตให้นำไปใช้ประโยชน์ด้านการค้า
ไม่ว่ากรณีใดๆ ทั้งสิ้น อีกทั้งห้ามมิให้ดัดแปลงเนื้อหา และต้องอ้างอิงถึงเจ้าของเอกสารทุกครั้งที่มีการนำไปใช้

```
DFB 073H,073H,072H,072H,071H,071H,070H,070H
;
TABLE_A: DFB 06FH,06FH,06EH,06EH,06DH,06DH,06CH,06CH
DFB 06BH,06BH,06AH,06AH,069H,069H,068H,068H
DFB 067H,067H,066H,066H,065H,065H,064H,064H
DFB 063H,063H,062H,062H,061H,061H,060H,060H
;
TABLE_B: DFB 05FH,05FH,05EH,05EH,05DH,05DH,05CH,05CH
DFB 05BH,05BH,05AH,05AH,059H,059H,058H,058H
DFB 057H,057H,056H,056H,055H,055H,054H,054H
DFB 053H,053H,052H,052H,051H,051H,050H,050H
;
TABLE_C: DFB 04FH,04FH,04EH,04EH,04DH,04DH,04CH,04CH
DFB 04BH,04BH,04AH,04AH,049H,049H,048H,048H
DFB 047H,047H,046H,046H,045H,045H,044H,044H
DFB 043H,043H,042H,042H,041H,041H,040H,040H
;
TABLE_D: DFB 03FH,03FH,03EH,03EH,03DH,03DH,03CH,03CH
DFB 03BH,03BH,03AH,03AH,039H,039H,038H,038H
DFB 037H,037H,036H,036H,035H,035H,034H,034H
DFB 033H,033H,032H,032H,031H,031H,030H,030H
;
TABLE_E: DFB 02FH,02FH,02EH,02EH,02DH,02DH,02CH,02CH
DFB 02BH,02BH,02AH,02AH,029H,029H,028H,028H
DFB 027H,027H,026H,026H,025H,025H,024H,024H
DFB 023H,023H,022H,022H,021H,021H,020H,020H
;
TABLE_F: DFB 01FH,01FH,01EH,01EH,01DH,01DH,01CH,01CH
DFB 01BH,01BH,01AH,01AH,019H,019H,018H,018H
DFB 017H,017H,016H,016H,015H,015H,014H,014H
DFB 013H,013H,012H,012H,011H,011H,010H,010H
;
ENDM
```

เอกสารนี้เป็นเอกสารที่สงวนไว้สำหรับการใช้งานเพื่อการศึกษาเท่านั้น ไม่อนุญาตให้นำไปใช้ประโยชน์ด้านการค้า
ไม่ว่ากรณีใดๆ ทั้งสิ้น อีกทั้งห้ามมิให้ดัดแปลงเนื้อหา และต้องอ้างอิงถึงเจ้าของเอกสารทุกครั้งที่มีการนำไปใช้

1
2
3
4
5
6
7
8
9
10
11
12
13
14
15
16
17
18
19
20
21
22
23
24
25
26
27
28
29
30
31
32
33
34
35
36
37
38
39
40
41
42
43
44
45
46
47
48
49
50
51
52
53
54
55
56
57

```

*****
*
* "MP-85 mkII" MONITOR PROGRAM REV 1
*
*****

      .8085
      TITLE MON.MAC
      SUBTTL 1987,10,20

      MONSTR EQU 0000H
      WRKSTR EQU 0F00H
      MONSTK EQU 0000H ;MONITOR STACK
      INITPC EQU 8000H ;INITIAL PC

      DT8279 EQU 0080H ;I8279 DATA PORT
      CM8279 EQU 0081H ;I8279 COMMAND PORT

      PA8255 EQU 007CH ;I8255 PORT A
      PB8255 EQU 007DH ;I8255 PORT B
      PC8255 EQU 007EH ;I8255 PORT C
      CT8255 EQU 007FH ;I8255 CONTROL PORT

      USARTD EQU 0064H ;I8251 DATA PORT
      USARTC EQU 0065H ;I8251 COMMAND PORT

      PITCT0 EQU 0068H ;I8253 COUNTER 0 PORT
      PITCT1 EQU 0069H ;I8253 COUNTER 1 PORT
      PITCT2 EQU 006AH ;I8253 COUNTER 2 PORT
      PITCTM EQU 006BH ;I8253 COMMAND PORT

      EWPPIA EQU 00E0H ;ROM WRITER DATA PORT
      EWPPIB EQU 00E1H ;ROM WRITER ADDR (HIGH) PORT
      EWPPIC EQU 00E2H ;ROM WRITER PULSE PORT
      EWPPIM EQU 00E3H ;ROM WRITER CONTROL PORT
      EWPPID EQU 00E4H ;ROM WRITER ADDR (LOW) PORT

      ASEG
      ORG MONSTR

*****
*
* RESET AND INTERRUPT JUMP VECTOR
*
*****

      ---- RESET ----

      XRA A ;TIME DELAY
      INTMDL: DCR A
              JNZ INTMDL

```

เอกสารนี้เป็นเอกสารที่สงวนไว้สำหรับการใช้งานเพื่อการศึกษาเท่านั้น ไม่อนุญาตให้นำไปใช้ประโยชน์ด้านการค้า
ไม่ว่ากรณีใดๆ ทั้งสิ้น อีกทั้งห้ามมิให้ดัดแปลงเนื้อหา และต้องอ้างอิงถึงเจ้าของเอกสารทุกครั้งที่มีการนำไปใช้

```
58      :
59 0005 C3 00AC      :      JMP    RESET
60      :
61      :----- RST 1 -----
62      :
63 0008 C3 FF00      :      JMP    RST1      ;RST 1 INTERRUPT
64 000B      :      DS    5
65      :
66      :----- RST 2 -----
67      :
68 0010 C3 FF03      :      JMP    RST2      ;RST 2 INTERRUPT
69 0013      :      DS    5
70      :
71      :----- RST 3 -----
72      :
73 0018 C3 FF06      :      JMP    RST3      ;RST 3 INTERRUPT
74 001B      :      DS    5
75      :
76      :----- RST 4 -----
77      :
78 0020 C3 FF09      :      JMP    RST4      ;RST 4 INTERRUPT
79 0023      :      DS    1
80      :
81      :----- TRAP -----
82      :
83 0024 C3 FF0C      :      JMP    TRAP      ;TRAP INTERRUPT
84 0027      :      DS    1
85      :
86      :----- RST 5 -----
87      :
88 0028 C3 FF0F      :      JMP    RST5      ;RST 5 INTERRUPT
89 002B      :      DS    1
90      :
91      :----- RST 5.5 -----
92      :
93 002C C3 FF12      :      JMP    RST55     ;RST 5.5 INTERRUPT
94 002F      :      DS    1
95      :
96      :----- RST 6 -----
97      :
98 0030 C3 FF15      :      JMP    RST6      ;RST 6 INTERRUPT
99 0033      :      DS    1
100     :
101     :----- RST 6.5 -----
102     :
103 0034 C3 04AD      :      JMP    RST65P     ;RST 6.5 INTERRUPT
104 0037      :      DS    1
105     :
106     :----- RST 7 -----
107     :
108 0038 C3 FF1B      :      JMP    RST7      ;RST 7 INTERRUPT
109 003B      :      DS    1
110     :
111     :----- RST 7.5 -----
112     :
113 003C C3 04BD      :      JMP    RST75P     ;RST 7.5 INTERRUPT
114 003F      :      DS    1
115     ;
```

เอกสารนี้เป็นเอกสารที่สงวนไว้สำหรับการใช้งานเพื่อการศึกษาเท่านั้น ไม่อนุญาตให้นำไปใช้ประโยชน์ด้านการค้า
ไม่ว่ากรณีใดๆ ทั้งสิ้น อีกทั้งห้ามมิให้ดัดแปลงเนื้อหา และต้องอ้างอิงถึงเจ้าของเอกสารทุกครั้งที่มีการนำไปใช้

```
116 ;*****
117 ;*
118 ;*      MONITOR SUBROUTINE ENTRY      ;*
119 ;*
120 ;*****
121
122 0040 C3 0621      JMP      DISP      ;LED DISPLAY
123 0043 C3 0663      JMP      DHEX1
124 0046 C3 0654      JMP      DHEX2
125 0049 C3 0649      JMP      DHEX4
126 004C C3 068D      JMP      DSFT
127
128 004F C3 0574      JMP      KEYIN     ;KEYBOARD
129 0052 C3 058C      JMP      KEYINP
130 0055 C3 061C      JMP      CHKMIK
131
132 0058 C3 0825      JMP      MTRON     ;CASSETTE INTERFACE
133 005B C3 081F      JMP      MTROFF
134 005E C3 0798      JMP      LEADER
135 0061 C3 0789      JMP      BYTOTO
136 0064 C3 08ED      JMP      LEADIN
137 0067 C3 089F      JMP      BYTEIN
138
139 006A C3 0912      JMP      PRTINI    ;PRINTER
140 006D C3 0939      JMP      PRTPUT
141 0070 C3 0919      JMP      PRTLFI
142 0073 C3 0921      JMP      PRTLFN
143 0076 C3 0A77      JMP      PRTSTR
144 0079 C3 0A53      JMP      PRTHX1
145 007C C3 0A44      JMP      PRTHX2
146 007F C3 0A39      JMP      PRTHX4
147
148 0082 C3 0B7B      JMP      RAMSET    ;RAM FILL
149 0085 C3 0BB2      JMP      RAMTST    ;RAM TEST
150 0088 C3 0BE1      JMP      RAMMOV    ;RAM MOVE
151
152 008B C3 0D07      JMP      ROMWRT    ;ROM WRITER
153
154 008E C3 0C18      JMP      SIINIT    ;SIO (RS-232C)
155 0091 C3 0C6F      JMP      SIINTE
156 0094 C3 0C7C      JMP      SIINTD
157 0097 C3 0C89      JMP      SETSIM
158
159 009A C3 0C96      JMP      TMINIT    ;TIMER
160 009D C3 0CCA      JMP      TMINTE
161 00A0 C3 0CD7      JMP      TMINTD
162 00A3 C3 0CE4      JMP      SETTMM
163
164 00A6 C3 0CF8      JMP      SETUPR    ;USER PROGRAM
165
166 00A9 C3 00CD      JMP      MONINI    ;MONITOR ENTRANCE
167
168 ;*****
169 ;*
170 ;*      INITIALIZE                      ;*
171 ;*
172 ;*****
173
```

เอกสารนี้เป็นเอกสารที่สงวนไว้สำหรับการใช้งานเพื่อการศึกษาเท่านั้น ไม่อนุญาตให้นำไปใช้ประโยชน์ด้านการค้า
ไม่ว่ากรณีใดๆ ทั้งสิ้น อีกทั้งห้ามมิให้ดัดแปลงเนื้อหา. และต้องอ้างอิงถึงเจ้าของเอกสารทุกครั้งที่มีการนำไปใช้

```
174 RESET: ;MONITOR COLD START
175 00AC 31 0000 LXI SP,MONSTK ;SET STACK POINTER
176 ;
177 00AF CD 0505 CALL INITHW ;INITIALIZE HARD WARE
178 ;
179 ;----- USER BRANCH -----
180 ;
181 00B2 DB 7D IN PB8255
182 00B4 E6 04 ANI 04H ;IF DIP-SW-8 OFF
183 00B6 CA 00CD JZ MONINI ; THEN GO TO USER PROGRAM
184 ;
185 00B9 2A FF6A LHLD USRPRG ;GET USER PROGRAM ADDRESS
186 00BC FB XCHG
187 00BD 2A FF6C LHLD USRPRP ;PARITY
188 ;
189 00C0 7C MOV A,H
190 00C1 2F CMA
191 00C2 67 MOV H,A
192 00C3 7D MOV A,L
193 00C4 2F CMA
194 00C5 6F MOV L,A
195 ;
196 00C6 CD 1043 CALL CPILDE ;IF PARITY ERROR
197 00C9 C2 00CD JNZ MONINI ; THEN MONITOR
198 ;
199 00CC E9 PCHL ;GO TO USER PROGRAM
200 ;
201 ;*****
202 ;* INITIALIZE MONITOR *
203 ;*
204 ;*
205 ;*****
206 ;
207 MONINI:
208 00CD CD 052C CALL INITWA ;INITIALIZE WORK AREA
209 ;
210 ;
211 00D0 22 FF5B DMEM: SHLD ADRG ;SET ADDRESS REGISTER
212 ;
213 ;
214 MONHS:
215 00D3 CD 068B CALL DMEMS ;MONITOR HOT START
216 ; ;DISPLAY ADDRESS AND DATA
217 00D6 AF CLFC: XRA A ;CLEAR FUNCTION FLAG
218 00D7 32 FF60 STA FCFLG
219 ;
220 00DA AF CLWR: XRA A ;CLEAR WRITE FLAG
221 00DB 32 FF62 STA WRFLG
222 ;
223 00DE 3E 01 CLIN: MVI A,1
224 00E0 32 FF63 STA CLFLG ;SET CLEAR FLAG
225 ;
226 00E3 3E C2 MVI A,0C2H ;RESET FIFO
227 00E5 D3 81 OUT CM8279
228 ;
229 ;*****
230 ;* DISPLAY AND KEYIN *
231 ;*
```

เอกสารนี้เป็นเอกสารที่สงวนไว้สำหรับการใช้งานเพื่อการศึกษาเท่านั้น ไม่อนุญาตให้นำไปใช้ประโยชน์ด้านการค้า
ไม่ว่ากรณีใดๆ ทั้งสิ้น อีกทั้งห้ามมิให้ดัดแปลงเนื้อหา และต้องอ้างอิงถึงเจ้าของเอกสารทุกครั้งที่มีการนำไปใช้

```
232 ;*
233 ;*****
234 ;
235 00E7 CD 06FA LOOP: CALL DISTRP ;DISABLE TRAP
236 00EA CD 0621 CALL DISP ;DISPLAY
237 ;
238 00ED CD 058C LOOPK: CALL KEYINP ;KEYBOARD INPUT
239 00F0 D2 00ED JNC LOOPK ;IF NO KEY THEN WAIT
240 ;
241 00F3 FE 10 CPI 16 ;CHECK 0,1,...,F
242 00F5 D2 0132 JNC CNTKEY
243 ;
244 00F8 21 FF60 LXI H,FCFLG ;CHECK FUNCTION FLAG
245 00FB 34 INR M
246 00FC 35 DCR M ;0?
247 00FD C2 0241 JNZ DIGFNC
248 ;
249 ;*****
250 ;*
251 ;* DIGIT KEY PROCESS *
252 ;*
253 ;*****
254 ;
255 0100 F5 PUSH PSW ;SAVE KEY CODE
256 0101 3A FF63 LDA CLFLG ;CHECK CLEAR FLAG
257 0104 A7 ANA A ;IF CLFLG = 1
258 0105 CA 0112 JZ INSFT ; THEN CLFLG:=0 , INRG:=0
259 ;
260 0108 AF XRA A
261 0109 32 FF63 STA CLFLG
262 010C 21 0000 LXI H,0
263 010F 22 FF5D SHLD INRG
264 ;
265 0112 F1 INSFT: POP PSW ;RESTORE KEY CODE
266 ;
267 0113 2A FF5D LHLD INRG
268 0116 29 DAD H ;SHIFT 1 DIGIT
269 0117 29 DAD H
270 0118 29 DAD H
271 0119 29 DAD H
272 011A 85 ADD L
273 011B 6F MOV L,A ;INSERT INKEY DATA
274 011C 22 FF5D SHLD INRG
275 ;
276 011F 0E 05 MVI C,5
277 0121 CD 0649 CALL DHEX4
278 ;
279 0124 21 0000 LXI H,0 ;CLEAR LED 0,1
280 0127 22 FF4E SHLD DISPM
281 012A 3E 14 MVI A,14H ;DOT := 88.88.
282 012C 32 FF4D STA DOTM
283 012F C3 00E7 JMP LOOP
284 ;
285 ;*****
286 ;*
287 ;* CONTROL KEY PROCESS *
288 ;*
289 ;*****
```

เอกสารนี้เป็นเอกสารที่สงวนไว้สำหรับการใช้งานเพื่อการศึกษาเท่านั้น ไม่อนุญาตให้นำไปใช้ประโยชน์ด้านการค้า
ไม่ว่ากรณีใดๆ ทั้งสิ้น อีกทั้งห้ามมิให้ดัดแปลงเนื้อหา และต้องอ้างอิงถึงเจ้าของเอกสารทุกครั้งที่มีการนำไปใช้

```
290 ;
291 0132 E6 0F CNTKEY: ANI OFH ;JUMP EACH PROCESS
292 0134 CD 070B CALL CASE
293 ;
294 0137 0147 DW ADSET ;ADDRESS SET
295 0139 0140 DW INCRD ;INCREMENT READ
296 013B 0154 DW DECRD ;DECREMENT READ
297 013D 0158 DW WRINC ;WRITE INCREMENT
298 013F 03A9 DW RUN ;RUN
299 0141 03CD DW STEP ;STEP
300 0143 00F7 DW LOOP ;NO KEY
301 0145 022F DW FUNC ;FUNCTION
302 ;
303 *****
304 ;
305 ADDRESS SET, INCREMENT READ *
306 DECREMENT READ, WRITE INCREMENT *
307 ;
308 KEY PROCESS *
309 ;
310 *****
311 ;
312 0147 2A FF5D ADSET: LHLD INRG ;LOAD INRG
313 014A C3 00D0 JMP DMEM
314 ;
315 014D 2A FF5B INCRD: LHLD ADRG ;INCREMENT ADRG
316 0150 23 INX H
317 0151 C3 00D0 JMP DMEM
318 ;
319 0154 2A FF5B DECRD: LHLD ADRG ;DECREMENT ADRG
320 0157 2B DCX H
321 0158 C3 00D0 JMP DMEM
322 ;
323 015B 3A FF62 WRINC: LDA WRFLG ;CHECK WRFLG
324 015E A7 ANA A
325 015F C2 0188 JNZ NMWR
326 ;
327 0162 2A FF5B LHLD ADRG
328 0165 3A FF5D LDA INRG
329 0168 77 MOV M,A ;WRITE IN MEMORY
330 0169 BE CMP M ;VERIFY MEMORY
331 016A 3E 01 MVI A,1 ;ERROR NUMBER = 1
332 016C C2 04EE JNZ ERRDSP ; CANNOT WRITE
333 ;
334 016F CD 06BB CALL DMEMS ;DISPLAY ADDRESS AND DATA
335 ;
336 0172 CD 05C5 WRINCL: CALL KEYCHK
337 0175 D2 014D JNC INCRD
338 0178 CD 058C CALL KEYINP
339 017B D2 0172 JNC WRINCL
340 ;
341 017E 3A FF4B LDA KYRPCT ;(REPEAT COUNTER)-1
342 0181 3D DCR A
343 0182 32 FF4B STA KYRPCT
344 ;
345 0185 C3 014D JMP INCRD
346 ;
347 0188 FE 09 NMWR: CPI 9 ;1,2,...,8 ?
```

เอกสารนี้เป็นเอกสารที่สงวนไว้สำหรับการใช้งานเพื่อการศึกษาเท่านั้น ไม่อนุญาตให้นำไปใช้ประโยชน์ด้านการค้า
ไม่ว่ากรณีใดๆ ทั้งสิ้น อีกทั้งห้ามมิให้ดัดแปลงเนื้อหา และต้องอ้างอิงถึงเจ้าของเอกสารทุกครั้งที่มีการนำไปใช้

```
348 018A D2 019E      .JNC      NRWR
349
350 *****
351 *
352 * REGISTER WRITE *
353 *
354 *****
355
356 018D 21 FF2B      LXI      H,PCREG-2
357 0190 CD 0701      CALL     ADHLAA
358 0193 EB           XCHG
359 0194 2A FF5D      LHL D    INRG
360 0197 EB           XCHG
361 0198 73           MOV      M,E
362 0199 23           INX     H
363 019A 72           MOV      M,D
364 019B C3 024F      JMP      DSREG
365
366 *****
367 *
368 * FUNCTION WRITE *
369 *
370 *****
371
372 019E D6 09      NRWR:   SUI      9           ;CHECK WRFLG
373 01A0 CD 070B      CALL     CASE
374
375 01A3 0201      DW      PFWR           ;SET PRINT FLAG
376 01A5 01C1      DW      STREG1        ;SET TREG1
377 01A7 01C1      DW      STREG1        ;SET TREG1
378 01A9 01C1      DW      STREG1        ;SET TREG1
379 01AB 00E7      DW      LOOP          ;
380 01AD 01C1      DW      STREG1        ;SET TREG1
381 01AF 0365      DW      INEX          ;IN EXECUTE
382 01B1 01C1      DW      STREG1        ;SET TREG1
383 01B3 01F0      DW      STREG2        ;SET TREG2
384 01B5 04DE      DW      VFEX          ;VERIFY EXECUTE
385 01B7 04D9      DW      LDEX          ;LOAD EXECUTE
386 01B9 04CD      DW      SVEX          ;SAVE EXECUTE
387 01BB 0212      DW      PMEX          ;PRINT MEMORY EXECUTE
388 01BD 00E7      DW      LOOP          ;
389 01BF 0389      DW      OUTEX         ;OUT EXECUTE
390
391 01C1 2A FF5D      STREG1: LHL D    INRG           ;TREG1 := INRG
392 01C4 22 FF46      SHLD   TREG1
393 01C7 3A FF62      LDA    WRFLG          ;WRFLG := WRFLG+7
394 01CA C6 07      ADI    7
395 01CC 32 FF62      STA    WRFLG
396
397 01CF CD 06A1      CALL   DREST          ;RESTORE DISP
398 01D2 FE 15      CPI    21
399 01D4 CA 01E2      JZ     WRD2
400
401 01D7 3A FF46      LDA    TREG1          ;DISPLAY 1 BYTE
402 01DA 0E 03      MVI    C,3
403 01DC CD 0654      CALL   DHEX2
404 01DF C3 01EA      JMP    EDSAVE
405
```

เอกสารนี้เป็นเอกสารที่สงวนไว้สำหรับการใช้งานเพื่อการศึกษาเท่านั้น ไม่อนุญาตให้นำไปใช้ประโยชน์ด้านการค้า
ไม่ว่ากรณีใดๆ ทั้งสิ้น อีกทั้งห้ามมิให้ดัดแปลงเนื้อหา และต้องอ้างอิงถึงเจ้าของเอกสารทุกครั้งที่มีการนำไปใช้

```
406 01E2 2A FF46 WRD2: LHL TREG1 ;DISPALY 2 BYTES
407 01E5 0E 03 EDSAV: MVI C,3
408 01E7 CD 0649 ; CALL DHEX4
409 ;
410 01EA CD 06A0 EDSAVE: CALL DSAVE
411 01ED C3 00DE ; JMP CLIN
412 ;
413 01F0 2A FF5D STREG2: LHL INRG ;TREG2 := INREG
414 01F3 22 FF48 ; SHLD TREG2
415 01F6 3E 14 ; MVI A,20 ;WRFLG := 20
416 01F8 32 FF62 ; STA WRFLG
417 01FB CD 06A4 ; CALL DREST ;RESTORE DISP
418 01FE C3 01E5 ; JMP EDSAV
419 ;
420 ;*****
421 ;* PRFLG WRITE AND MEMORY DUMP *
422 ;* ;
423 ;* ;
424 ;*****
425 ;
426 0201 CD 06A4 PFWR: CALL DREST ;RESTORE DISP.
427 0204 0E 03 ; MVI C,3 ;DISPLAY DATA
428 0206 3A FF5D ; LDA INRG
429 0209 CD 0654 ; CALL DHEX2
430 020C 32 FF41 ; STA PRFLG ;WRITE PRFLG
431 020F C3 00DE ; JMP CLIN
432 ;
433 0212 CD 06A4 PMEX: CALL DREST ;RESTORE DISP.
434 0215 2A FF46 ; LHL TREG1 ;SET TOP ADDRESS
435 0218 22 FF42 ; SHLD MDTOP
436 021B 2A FF5D ; LHL INRG ;SET END ADDRESS
437 021E 22 FF44 ; SHLD MDEND
438 0221 0E 03 ; MVI C,3
439 0223 CD 0649 ; CALL DHEX4 ;DISPLAY END ADDRESS
440 0226 CD 0621 ; CALL DISP
441 0229 CD 0963 ; CALL PRTDMP ;MEMORY DUMP
442 022C C3 032E ; JMP ENDDSP
443 ;
444 ;*****
445 ;* FUNCTION KEY PROCESS *
446 ;* ;
447 ;* ;
448 ;*****
449 ;
450 022F 3E 01 FUNC: MVI A,1 ;SET FCFLG
451 0231 32 FF60 ; STA FCFLG
452 0234 CD 068D ; CALL DSET ;DISPLAY 'FUNC.'
453 0237 04 ; DB 04H ; DOT INFORMATION
454 0238 00 00 58 ; DB 00H,00H,58H ; 'FUNC' PATTERN
455 023B 54 1C 71 ; DB 54H,1CH,71H
456 ;
457 023E C3 00DE ; JMP CLIN
458 ;
459 0241 FE 08 DIGFNC: CPI 8 ;0,1,...,7 ?
460 0243 D2 02C4 ; JNC DIGMOD
461 ;
462 ;*****
463 ;*
```

เอกสารนี้เป็นเอกสารที่สงวนไว้สำหรับการใช้งานเพื่อการศึกษาเท่านั้น ไม่อนุญาตให้นำไปใช้ประโยชน์ด้านการค้า, ไม่ว่าจะกรณีใดๆ ทั้งสิ้น อีกทั้งห้ามมิให้ดัดแปลงเนื้อหา และต้องอ้างอิงถึงเจ้าของเอกสารทุกครั้งที่มีการนำไปใช้

```
464                                     ;* REGISTER KEY PROCESS *
465                                     ;*
466                                     ;*****
467                                     ;
468 0246 AF XRA A ;CLEAR FCFLG
469 0247 32 FF60 STA FCFLG
470 024A 78 MOV A,B
471 024B 3C INR A
472 024C 32 FF62 STA WRFLG
473
474 024F 21 02B2 DSREG: LXI H,REGNM-2
475 0252 CD 0701 CALL ADHLAA
476
477 0255 11 FF52 LXI D,DISPM+4
478 0258 EB XCHG ;DISPLAY REGISTER NAME
479 0259 0E 02 MVI C,2
480 025B CD 0714 CALL MMOVE
481
482 025E 3A FF62 LDA WRFLG
483 0261 3D DCR A
484 0262 21 FF2D LXI H,PCREG
485 0265 CD 0701 CALL ADHLAA ;READ REGISTER
486
487 0268 5E MOV E,M
488 0269 23 INX H
489 026A 56 MOV D,M
490
491 026B EB XCHG
492 026C 22 FF5B SHLD ADRG ;SET ADDRESS
493 026F 22 FF5D SHLD INRG ;SET INRG
494 0272 0E 03 MVI C,3 ;DISP. REGISTER
495 0274 CD 0649 CALL DHEX4
496
497 0277 06 10 MVI B,10H ;INITIALIZE DOT
498 0279 3A FF62 LDA WRFLG ;CHECK REG = AF
499 027C FE 05 CPI 5
500 027E C2 02AD JNZ DSREGE
501
502
503 0281 21 FF35 LXI H,AFREG ;SET FLAG INTO DOT
504 0284 06 00 MVI B,0
505
506 0286 7E MOV A,M
507 0287 EG 01 ANI 01H
508 0289 B0 ORA B ;0000001B
509 028A 47 MOV B,A ;CY FLAG
510
511 028B 7E MOV A,M
512 028C E6 04 ANI 4
513 028E 0F RRC
514 028F B0 ORA B ;0000010B
515 0290 47 MOV B,A ;P FLAG
516
517 0291 7E MOV A,M
518 0292 E6 10 ANI 10H
519 0294 0F RRC
520 0295 0F RRC
521 0296 B0 ORA B ;00000100B
```

เอกสารนี้เป็นเอกสารที่สงวนไว้สำหรับการใช้งานเพื่อการศึกษาเท่านั้น ไม่อนุญาตให้นำไปใช้ประโยชน์ด้านการค้า
ไม่ว่ากรณีใดๆ ทั้งสิ้น อีกทั้งห้ามมิให้ดัดแปลงเนื้อหา และต้องอ้างอิงถึงเจ้าของเอกสารทุกครั้งที่มีการนำไปใช้

```
522 0297 47          MOV      B,A          ;AC FLAG
523                ;
524 0298 7E          MOV      A,M
525 0299 E6 40        ANI      40H
526 029B 0F          RRC
527 029C 0F          RRC
528 029D 0F          RRC
529 029E B0          ORA      B          ;00001000B
530 029F 47          MOV      B,A          ;Z FLAG
531                ;
532 02A0 7E          MOV      A,M
533 02A1 E6 80        ANI      80H
534 02A3 0F          RRC
535 02A4 0F          RRC
536 02A5 B0          ORA      B          ;00100000B
537 02A6 47          MOV      B,A          ;S FLAG
538                ;
539 02A7 3A FF3D      LDA      IEFLG
540 02AA 07          RLC
541 02AB B0          ORA      B          ;00010000B
542 02AC 47          MOV      B,A          ;INTERRUPT ENABLE FLAG
543                ;
544                ;
545 02AD 78          DSREGE: MOV     A,B
546 02AE 32 FF4D      STA     DOTM
547 02B1 C3 00DE      JMP     CLIN
548                ;
549                ;
550 02B4 7339        REGNM:  DW     7339H    ;PC
551 02B6 6D73        DW     6D73H    ;SP
552 02B8 7C77        DW     7C77H    ;BA
553 02BA 7C38        DW     7C38H    ;BL
554 02BC 7771        DW     7771H    ;AF
555 02BE 7C39        DW     7C39H    ;BC
556 02C0 5E79        DW     5E79H    ;DE
557 02C2 7638        DW     7638H    ;HL
558                ;
559                ;*****
560                ;*
561                ;*   MODE FUNCTION
562                ;*
563                ;*****
564                ;
565 02C4 AF          DIGMOD: XRA     A          ;CLEAR FCFLG
566 02C5 32 FF60      STA     FCFLG
567 02C8 78          MOV     A,B          ;WRFLG = 9,10,....
568 02C9 3C          INR
569 02CA 32 FF62      STA     WRFLG
570 02CD D6 09        SUI     9          ;DECODE WRFLG
571 02CF CD 070B      CALL   CASE
572                ;
573 02D2 02E2        DW     FCPF          ;FUNCTION PF
574 02D4 02F7        DW     FCSAVE        ;FUNCTION SAVE
575 02D6 0304        DW     FCVFY        ;FUNCTION VERIFY
576 02D8 0311        DW     FCLOAD        ;FUNCTION LOAD
577 02DA 031E        DW     FCPDR        ;FUNCTION PRINT REGISTERS
578 02DC 033B        DW     FCPDM        ;FUNCTION PRINT DUMP MEMORY
579 02DE 0348        DW     FCIN          ;FUNCTION INPUT
```

เอกสารนี้เป็นเอกสารที่สงวนไว้สำหรับการใช้งานเพื่อการศึกษาเท่านั้น ไม่อนุญาตให้นำไปใช้ประโยชน์ด้านการค้า
ไม่ว่ากรณีใดๆ ทั้งสิ้น อีกทั้งห้ามมิให้ดัดแปลงเนื้อหา และต้องอ้างอิงถึงเจ้าของเอกสารทุกครั้งที่มีการนำไปใช้

```
580 02E0 0355          DW      FCOUT          ;FUNCTION OUTPUT
581
582          ;*****
583          ;
584          ;      FUNCTION PF          ;
585          ;
586          ;*****
587
588 02F2 CD 068D      FCPF:  CALL      DSET          ;DISP 'PF.
589 0315 11          DB      11H
590 02E6 00 00 00      DB      00H,00H,00H
591 02E9 00 71 73      DB      00H,71H,73H
592
593 02EC 0E 03          MVI      C,3
594 02EE 3A FF41      LDA      PRFLG
595 02F1 CD 0654      CALL     DHEX2
596 02F4 C3 035F      JMP      ENDFC
597
598          ;*****
599          ;
600          ;      FUNCTION SAVE          ;
601          ;
602          ;*****
603
604 02F7 CD 068D      FCSAVE: CALL     DSET          ;DISP 'SA.
605 02FA 11          DB      11H
606 02FB 00 00 00      DB      00H,00H,00H
607 02FE 00 77 6D      DB      00H,77H,6DH
608
609 0301 C3 035F      JMP      ENDFC
610
611          ;*****
612          ;
613          ;      FUNCTION VERIFY          ;
614          ;
615          ;*****
616
617 0304 CD 068D      FCFVY:  CALL     DSET          ;DISP 'VE.
618 0307 11          DB      11H
619 0308 00 00 00      DB      00H,00H,00H
620 030B 00 79 3E      DB      00H,79H,3EH
621
622 030E C3 035F      JMP      ENDFC
623
624          ;*****
625          ;
626          ;      FUNCTION LOAD          ;
627          ;
628          ;*****
629
630 0311 CD 068D      FCLOAD: CALL     DSET          ;DISP 'LO.
631 0314 11          DB      11H
632 0315 00 00 00      DB      00H,00H,00H
633 0318 00 3F 38      DB      00H,3FH,38H
634
635 031B C3 035F      JMP      ENDFC
636
637          ;*****
```

เอกสารนี้เป็นเอกสารที่สงวนไว้สำหรับการใช้งานเพื่อการศึกษาเท่านั้น ไม่อนุญาตให้นำไปใช้ประโยชน์ด้านการค้า
ไม่ว่ากรณีใดๆ ทั้งสิ้น อีกทั้งห้ามมิให้ดัดแปลงเนื้อหา และต้องอ้างอิงถึงเจ้าของเอกสารทุกครั้งที่มีการนำไปใช้

```
638                                     ;*
639                                     ;*      FUNCTION PRINT REGISTERS      ;*
640                                     ;*
641                                     ;*
642                                     ;*
643 031E CD 068D FCPDR: CALL DSET ;DISP 'PR.'
644 0321 10 DB 10H
645 0322 00 00 00 DB 00H,00H,00H
646 0325 00 50 73 DB 00H,50H,73H
647 ;
648 0328 CD 0621 ; CALL DISP
649 ;
650 032B CD 0A88 ; CALL PRTREG
651 ;
652 ; DISPLAY END MESSAGE
653 ;
654 032E CD 068D ENDDSP: CALL DSET
655 0331 24 DB 24H ;DISPLAY 'END.'
656 0332 00 00 5E DB 00H,00H,5EH
657 0335 54 79 00 DB 54H,79H,00H
658 ;
659 0338 C3 00D6 ; JMP CLFC
660 ;
661 ;*
662 ;*      FUNCTION PRINT MEMORY      ;*
663 ;*
664 ;*
665 ;*
666 ;*
667 033B CD 068D FCPDM: CALL DSET ;DISP 'PD.'
668 033E 11 DB 11H
669 033F 00 00 00 DB 00H,00H,00H
670 0342 00 5E 73 DB 00H,5EH,73H
671 ;
672 0345 C3 035F ; JMP ENDFC
673 ;
674 ;*
675 ;*      FUNCTION INPUT      ;*
676 ;*
677 ;*
678 ;*
679 ;*
680 0348 CD 068D FCIN: CALL DSET ;DISP 'IN.'
681 034B 14 DB 14H
682 034C 00 00 00 DB 00H,00H,00H
683 034F 00 54 06 DB 00H,54H,06H
684 ;
685 ; CALL MTRON ;MOTOR ON
686 ;
687 0352 C3 035F ; JMP ENDFC
688 ;
689 ;*
690 ;*      FUNCTION OUTPUT      ;*
691 ;*
692 ;*
693 ;*
694 ;*
695 0355 CD 068D FCOUT: CALL DSET ;DISP 'OU. . .'
```

เอกสารนี้เป็นเอกสารที่สงวนไว้สำหรับการใช้งานเพื่อการศึกษาเท่านั้น ไม่อนุญาตให้นำไปใช้ประโยชน์ด้านการค้า
ไม่ว่ากรณีใดๆ ทั้งสิ้น อีกทั้งห้ามมิให้ดัดแปลงเนื้อหา และต้องอ้างอิงถึงเจ้าของเอกสารทุกครั้งที่มีการนำไปใช้

```
696 0358 15          DB      15H
697 0359 00 00 00    DB      00H,00H,00H
698 035C 00 3E 3F    DB      00H,3EH,3FH
699
700                :CALL  MTROFF          ;MOTOR OFF
701
702
703 035F CD 06A0      ENDFC: CALL  DSAVE
704 0362 C3 00DE      JMP    CLIN
705
706                :*****
707                :*
708                :*      INPUT AND OUTPUT PROCESS
709                :*
710                :*****
711
712 0365 CD 06A4      INEX:  CALL  DREST          ;RESTORE DISP
713 0368 0E 03        MVI    C,3
714 036A 21 FF3E      LXI    H,IOINST
715 036D 11 03A3      LXI    D,ININS
716 0370 CD 0714      CALL  MMOVE          ;SET IN INSTRUCTION
717 0373 3A FF5D      LDA    INRG          ;LOAD PORT NUMBER
718 0376 0E 03        MVI    C,3
719 0378 CD 0654      CALL  DHEX2         ;DISPLAY PORT NUMBER
720 037B 32 FF3F      STA    IOINST+1
721
722 037E CD FF3E      IOEX:  CALL  IOINST     ;IN/OUT EXECUTE
723 0381 0E 01        MVI    C,1          ;DISP. I/O DATA
724 0383 CD 0654      CALL  DHEX2
725 0386 C3 00DE      JMP    CLIN
726
727 0389 CD 06A4      OUTEX: CALL  DREST          ;RESTORE DISP
728 038C 0E 03        MVI    C,3
729 038E 21 FF3E      LXI    H,IOINST
730 0391 11 03A8      LXI    D,OUTINS     ;SET OUT INSTRUCTION
731 0394 CD 0714      CALL  MMOVE
732 0397 3A FF46      LDA    TREG1        ;LOAD PORT NUMBER
733 039A 32 FF3F      STA    IOINST+1     ;SET PORT NUMBER
734 039D 3A FF5D      LDA    INRG         ;LOAD OUT DATA
735 03A0 C3 037E      JMP    IOEX
736
737 03A3 08 00 C9      ININS: DB      0DBH,00H,0C9H ;IN XX , RET
738 03A6 03 00 C9      OUTINS: DB     0D3H,00H,0C9H ;OUT XX , RET
739
740                :*****
741                :*
742                :*      RUN AND STEP KEY PROCESS
743                :*
744                :*      STEP KEY ON ... STEP MODE
745                :*      RUN KEY ON ... IF BP=0 OR BL=0
746                :*      THEN RUN MODE
747                :*      ELSE GO MODE
748                :*
749                :*****
750
751 03A9 CD 068D      RUN:   CALL  DSET          ;DISP 'RUN.'
752 03AC 08
753 03AD 00 00 00    DB      00H,00H,00H
```

เอกสารนี้เป็นเอกสารที่สงวนไว้สำหรับการใช้งานเพื่อการศึกษาเท่านั้น ไม่อนุญาตให้นำไปใช้ประโยชน์ด้านการค้า
ไม่ว่ากรณีใดๆ ทั้งสิ้น อีกทั้งห้ามมิให้ดัดแปลงเนื้อหา และต้องอ้างอิงถึงเจ้าของเอกสารทุกครั้งที่มีการนำไปใช้

754	03B0	54	1C	50	:	DB	54H,1CH,50H		
755					:				
756	03B3	CD	0G	21	:	CALL	DISP		
757					:				
758	03B6	2A	FF	31	:	LHLD	BAREG	;CHECK BAREG	
759	03B9	7D			:	MOV	A,L		
760	03BA	B4			:	ORA	H		
761	03BB	CA	03	E8	:	JZ	RUNMD		
762					:				
763	03BE	2A	FF	33	:	LHLD	BLREG	;CHECK BLREG	
764	03C1	7D			:	MOV	A,L		
765	03C2	B4			:	ORA	H		
766	03C3	CA	03	E8	:	JZ	RUNMD		
767					:				
768					:				
769	03C6	22	FF	64	:	COMD:	SHLD	BLTEMP	;SET LOOP COUNT
770	03C9	AF			:	COMD1:	XRA	A	;EXFLG = 0
771	03CA	C3	03	CF	:	JMP	STEXF		
772					:				
773	03CD	3E	01		:	STEP:	MVI	A,1	;EXFLG = 1
774	03CF	32	FF	5F	:	STEXF:	STA	EXFLG	
775	03D2	2A	FF	2D	:	LHLD	PCREG		;LOAD NEXT INST.
776	03D5	22	FF	5B	:	SHLD	ADRG		;SET ADRG
777	03D8	7E			:	MOV	A,M		
778	03D9	FE	76		:	CPI	76H		;HALT INST.
779	03DB	C2	03	E3	:	JNZ	ENATR		
780					:				
781	03DE	3E	01		:	MVI	A,1		
782	03E0	32	FF	5F	:	STA	EXFLG		;EXFLG = 1
783					:				
784	03E3	3E	80		:	ENATR:	MVI	A,80H	;ENABLE AUTO TRAP
785	03E5	C3	03	EF	:	JMP	EXEC		
786					:				
787					:				
788	03E8	3E	02		:	RUNMD:	MVI	A,2	;EXFLG = 2
789	03EA	32	FF	5F	:	STA	EXFLG		
790	03ED	3E	40		:	MVI	A,40H		;DISABLE AUTO TRAP
791					:				
792					:				
793	03EF	47			:	EXEC:	MOV	B,A	;OUT PC7,6
794	03F0	DB	7E		:	IN	PC8255		
795	03F2	F6	C0		:	ORI	1100000B		;RESET F/F
796	03F4	D3	7E		:	OUT	PC8255		
797	03F6	E6	3F		:	ANI	0011111B		
798	03F8	80			:	ORA	B		
799	03F9	D3	7E		:	OUT	PC8255		
800					:				
801	03FB	2A	FF	2F	:	LHLD	SPREG		;RESTORE SP
802	03FE	F9			:	SPHL			
803					:				
804	03FF	2A	FF	2D	:	LHLD	PCREG		;PUSH PC
805	0402	E5			:	PUSH	H		
806					:				
807	0403	2A	FF	35	:	LHLD	AFREG		;PUSH AREG AND FLAGS
808	0406	E5			:	PUSH	H		
809					:				
810	0407	2A	FF	37	:	LHLD	BCREG		;PUSH BC
811	040A	E5			:	PUSH	H		

เอกสารนี้เป็นเอกสารที่สงวนไว้สำหรับการใช้งานเพื่อการศึกษาเท่านั้น ไม่อนุญาตให้นำไปใช้ประโยชน์ด้านการค้า
ไม่ว่ากรณีใดๆ ทั้งสิ้น อีกทั้งห้ามมิให้ดัดแปลงเนื้อหา และต้องอ้างอิงถึงเจ้าของเอกสารทุกครั้งที่มีการนำไปใช้

```
812
813 040B 2A FF39      :      LHLD  DEREK      ;RESTORE DE
814 040E EB          :      XCHG
815
816 040F 2A FF3B      :      LHLD  HLREG      ;RESTORE HL
817
818 0412 C1          :      POP   B          ;RESTORE BC
819
820 0413 3A FF3D      :      LDA   IEFLG      ;CHECK IE FLAG
821 0416 B7          :      ORA   A
822 0417 C2 041C      :      JNZ   EIRET
823
824 041A F1          :      POP   PSW        ;RESTORE AREG AND FLAGS
825 041B C9          :      RET              ;DISABLE INTERRUPT
826
827 041C F1          :      EIRET: POP   PSW  ;RESTORE AREG AND FLAGS
828 041D FB          :      EI              ;ENABLE INTERRUPT
829 041E C9          :      RET              ;GO TO USER PROGRAM
830
831
832 *****
833 *
834 *      MONITOR CALL PROCESS
835 *
836 *      (RST 7 = OFFH)
837 *
838 *****
839 041F CD 0484      RST7PR: CALL  SVREG
840
841 0422 2A FF2D      :      LHLD  PCREG      ;ADRG = PC-1
842 0425 2B          :      DCX   H
843 0426 22 FF5B      :      SHLD  ADRG      ;DISPLAY ADDRESS AND INSTRUCTION
844
845 0429 CD 06BB      :      CALL  DMEMS
846 042C CD 06E7      :      CALL  PRTRM      ;IF PRFLG = 3
847 042F 03          :      DB    3          ; PRINT REGISTER AND MEMORY
848 0430 C3 047A      :      JMP   MONENT
849
850 *****
851 *
852 *      TRAP PROCESS
853 *
854 *****
855
856 0433 F5          TRAPPR: PUSH  PSW
857 0434 DB 7D          :      IN   PB8255
858 0436 E6 20          :      ANI  20H
859 0438 C2 043F      :      JNZ  TRAPM
860
861 043B F1          :      POP  PSW
862 043C C3 FF21      :      JMP  USTRAP     ;USER TRAP
863
864
865 043F F1          TRAPM: POP   PSW
866 0440 CD 0484      :      CALL SVREG
867
868 0443 CD 06E7      :      CALL PRTRM      ;IF PRFLG = 3
869 0446 03          :      DB    3          ; THEN PRINT REGISTER AND MEMORY
```

เอกสารนี้เป็นเอกสารที่สงวนไว้สำหรับการใช้งานเพื่อการศึกษาเท่านั้น ไม่อนุญาตให้นำไปใช้ประโยชน์ด้านการค้า
ไม่ว่ากรณีใดๆ ทั้งสิ้น อีกทั้งห้ามมิให้ดัดแปลงเนื้อหา และต้องอ้างอิงถึงเจ้าของเอกสารทุกครั้งที่มีการนำไปใช้

```
870 ;
871 0447 3A FF5F LDA EXFLG ;CHECK EXFLAG
872 044A CD 070B CALL CASE
873 ;
874 044D 0453 DW GOTR ;GO MODE
875 044F 047A DW MOMENT ;STEP MODE
876 0451 03CD DW STEP ;RUN MODE
877 ;
878 0453 2A FF5B GOTR: LHLD ADRG ;ADDRESS = BAREG
879 0456 EB XCHG
880 0457 2A FF31 LHLD BAREG
881 045A 7C MOV A,H
882 045B 8A CMP D
883 045C C2 0474 JNZ STOPCH
884 ;
885 045F 7D MOV A,L
886 0460 8B CMP E
887 0461 C2 0474 JNZ STOPCH
888 ;
889 0464 CD 06E7 CALL PRTRM ;IF PRFLG = 2
890 0467 02 DB 2 ; THEN PRINT REGISTER AND MEMORY
891 0468 2A FF64 LHLD BLTEMP ;DECREMENT LOOP COUNTER
892 046B 2B DCX H
893 046C 22 FF64 SHLD BLTEMP
894 046F 7D MOV A,L
895 0470 84 ORA H ;CHECK LOOP END
896 0471 CA 047A JZ MOMENT
897 ;
898 0474 CD 061C STOPCH: CALL CHKMIK ;CHECK MONI-IN KEY
899 0477 D2 03C9 JNC GOMDI
900 ;
901 047A CD 06BB MOMENT: CALL DMEMS
902 047D CD 06E7 CALL PRTRM ;IF PRFLG = 1
903 0480 01 DB 1 ; THEN PRINT REGISTER AND MEMORY
904 0481 C3 00D6 JMP CLFC
905 ;
906 *****
907 *
908 * SAVE ALL REGISTERS
909 *
910 *****
911 ;
912 0484 22 FF3B SVREG: SHLD HLREG ;SAVE HL
913 ;
914 0487 F5 PUSH PSW
915 0488 E1 POP H
916 0489 22 FF35 SHLD AFREG ;SAVE AREG AND FLAGS
917 ;
918 048C 20 RIM
919 048D E6 08 ANI 08H
920 048F 32 FF3D STA IEFLG ;SAVE INTERRUPT ENABLE FLAG
921 0492 F3 DI ;DISABLE INTERRUPT
922 ;
923 0493 C5 PUSH B
924 0494 E1 POP H
925 0495 22 FF37 SHLD BCREG ;SAVE BC
926 ;
927 0498 EB XCHG
```

เอกสารนี้เป็นเอกสารที่สงวนไว้สำหรับการใช้งานเพื่อการศึกษาเท่านั้น ไม่อนุญาตให้นำไปใช้ประโยชน์ด้านการค้า
ไม่ว่ากรณีใดๆ ทั้งสิ้น อีกทั้งห้ามมิให้ดัดแปลงเนื้อหา และต้องอ้างอิงถึงเจ้าของเอกสารทุกครั้งที่มีการนำไปใช้

```
928 0499 22 FF39      SHLD  DEREK      ;SAVE DE
929
930 049C D1          POP   D          ;RETURN ADDRESS
931 049D E1          POP   H          ;POP PC
932 049E 22 FF2D      SHLD  PCREG     ;SAVE PC
933
934 04A1 21 0000      LXI   H,0
935 04A4 39          DAD   SP
936 04A5 22 FF2F      SHLD  SPREG     ;SAVE SP
937
938 04A8 31 FFFE      LXI   SP,MONSTK-2
939 04AB D5          PUSH  D
940 04AC C9          RET
941
942
943
944
945
946
947
948 04AD F5          RST65P: PUSH   PSW      ;PUSH AREG AND FLAGS
949 04AE DB 7D        IN    PB8255
950 04B0 E6 08        ANI   08H
951 04B2 C2 04B9      JNZ   RST65M
952
953 04B5 F1          POP   PSW
954 04B6 C3 FF18      JMP   RST65      ;USER RST6.5
955
956 04B9 F1          RST65M: POP   PSW
957 04BA C3 FF24      JMP   STINT     ;8251 RX-READY
958
959
960
961
962
963
964
965 04BD F5          RST75P: PUSH   PSW      ;PUSH AREG AND FLAGS
966 04BE DB 7D        IN    PB8255
967 04C0 E6 10        ANI   10H
968 04C2 C2 04C9      JNZ   RST75M
969
970 04C5 F1          POP   PSW
971 04C6 C3 FF1E      JMP   RST75     ;USER RST7.5
972
973 04C9 F1          RST75M: POP   PSW
974 04CA C3 FF27      JMP   TMINT    ;8253 TIMER
975
976
977
978
979
980
981
982
983
984
985
```

เอกสารนี้เป็นเอกสารที่สงวนไว้สำหรับการใช้งานเพื่อการศึกษาเท่านั้น ไม่อนุญาตให้นำไปใช้ประโยชน์ด้านการค้า
ไม่ว่ากรณีใดๆ ทั้งสิ้น อีกทั้งห้ามมิให้ดัดแปลงเนื้อหา และต้องอ้างอิงถึงเจ้าของเอกสารทุกครั้งที่มีการนำไปใช้

```

986                                     ;*
987                                     ;*****
988                                     ;
989 04CD CD 071D SVEX: CALL CHADR ;CHECK ADDRESS
990 04D0 CD 06CF CALL DFNO ;DISPLAY FILE NUMBER
991 0403 CD 073A CALL SAVE
992 04D6 C3 04E8 JMP SLVEND
993
994                                     ;*****
995                                     ;
996 LOAD ;
997 ;
998 ;*****
999
1000 04D9 3E 01 LDEX: MVI A,1 ;LOAD FLAG = 1
1001 04D8 C3 04DF JMP LDVFEX
1002
1003 04DE AF VFEX: XRA A ;LOAD FLAG = 0
1004
1005 04DF 32 FF61 LDVFEX: STA LDFLG
1006 04E2 CD 06CF CALL DFNO ;DISPLAY FILE NUMBER
1007 04E5 CD 082C CALL LDVFY
1008
1009
1010 04E8 CD 081F SLVEND: CALL MTROFF ;MOTOR OFF
1011 04E8 C3 032E JMP ENDDSP
1012
1013 DISPLAY ERROR MESSAGE
1014
1015 04EE 31 0000 ERRDSP: LXI SP,MONSTK ;RESTORE SP
1016 04F1 F5 PUSH PSW ;SAVE ERROR NUMBER
1017 04F2 CD 068D CALL DSET
1018 04F5 02 DB 02H ;DISPLAY 'ERROR.N'
1019 04F6 00 50 5C DB 00H,50H,5CH
1020 04F9 50 50 79 DB 50H,50H,79H
1021 04FC F1 POP PSW
1022 04FD 0E 00 MVI C,0 ;DISPLAY ERROR NUMBER
1023 04FF CD 0663 CALL DHEX1
1024 0502 C3 00D6 JMP CLFC
1025
1026 ;*****
1027 ;
1028 INITIALIZE HARDWARE ;
1029 ;
1030 ;*****
1031
1032 INITHW:
1033
1034 ----- 18255 MODE SET -----
1035
1036 0505 3E 82 MVI A,82H ;PA,PC : OUTPUT
1037 0507 03 7F OUT CT8255 ;PB : INPUT
1038
1039 ----- 18279 INIT. -----
1040
1041 0509 3E 04 MVI A,04H ;DD: 0 , KKK: 000
1042 0508 D3 81 OUT CM8279
1043 050D 3E 34 MVI A,52 ;CLOCK: 1/20

```

เอกสารนี้เป็นเอกสารที่สงวนไว้สำหรับการใช้งานเพื่อการศึกษาเท่านั้น ไม่อนุญาตให้นำไปใช้ประโยชน์ด้านการค้า
ไม่ว่ากรณีใดๆ ทั้งสิ้น อีกทั้งห้ามมิให้ดัดแปลงเนื้อหา และต้องอ้างอิงถึงเจ้าของเอกสารทุกครั้งที่มีการนำไปใช้

```

1044 050F 03 81      OUT      CM8279
1045 0511 3E A0      MVI      A,0A0H      ;RESET IW AND BL
1046 0513 03 81      OUT      CM8279
1047 0515 3E CD      MVI      A,0CDH      ;CLEAR
1048 0517 03 81      OUT      CM8279
1049
1050      ;----- PRINTER INIT. -----
1051
1052 0519 CD 06FA     CALL     DISTRP
1053 051C CD 0912     CALL     PRTINI
1054
1055      ;----- RS-232C INIT. -----
1056
1057 051F CD 0C7C     CALL     SIINTD
1058 0522 CD 0C18     CALL     SIINIT
1059
1060      ;----- TIMER INIT. -----
1061
1062 0525 CD 0CD7     CALL     TMINTD
1063 0528 CD 0C96     CALL     TMINIT
1064
1065 052B C9          RET
1066
1067      ;*****
1068      ;*
1069      ;*      INITIALIZE WORK AREA
1070      ;*
1071      ;*****
1072
1073      INITWA:
1074 052C 21 FF00     LXI     H,RST1
1075 052F 0E 0E      MVI     C,(PRTERR-RST1)/3
1076
1077 0531 36 C9      INIWA2: MVI     M,0C9H      ;0C9H IS "RET" INSTRUCTION
1078 0533 23        INX     H
1079 0534 23        INX     H
1080 0535 23        INX     H
1081 0536 0D        DCR     C
1082 0537 C2 0531   JNZ     INIWA2
1083
1084 053A 3E C3      MVI     A,0C3H      ;SET TRAP / RST 7 JUMP TABLE
1085 053C 32 FF0C   STA     TRAP        ;0C3H IS "JMP" INSTRUCTION
1086 053F 32 FF1B   STA     RST7
1087 0542 32 FF2A   STA     PRTERR      ;PRINTER ERROR
1088 0545 21 0433   LXI     H,TRAPPR
1089 0548 22 FF0D   SHLD   TRAP+1
1090 054B 21 041F   LXI     H,RST7PR
1091 054E 22 FF1C   SHLD   RST7+1
1092 0551 21 00D3   LXI     H,MONHS     ;MONITOR HOT START
1093 0554 22 FF2B   SHLD   PRTERR+1
1094
1095
1096 0557 21 FF31   LXI     H,BAREG     ;CLEAR USER REGISTERS
1097 055A 0E 12      MVI     C,18
1098 055C AF        XRA     A           ;0
1099
1100 055D 77        INIWA3: MOV     M,A
1101 055E 23        INX     H

```

เอกสารนี้เป็นเอกสารที่สงวนไว้สำหรับการใช้งานเพื่อการศึกษาเท่านั้น ไม่อนุญาตให้นำไปใช้ประโยชน์ด้านการค้า
ไม่ว่ากรณีใดๆ ทั้งสิ้น อีกทั้งห้ามมิให้ดัดแปลงเนื้อหา และต้องอ้างอิงถึงเจ้าของเอกสารทุกครั้งที่มีการนำไปใช้

```
1102 055F 0D          DCR    C
1103 0560 C2 055D    JNZ    INIWA3
1104
1105 0563 3C          INR    A          ;BLREG := 1
1106 0564 32 FF33    STA    BLREG+0
1107
1108 0567 21 FD00    LXI    H,USSP    ;SET USER STACK
1109 056A 22 FF2F    SHLD  SPREG
1110 056D 21 8000    LXI    H,INITPC  ;SET USER PC
1111 0570 22 FF2D    SHLD  PCREG
1112
1113 0573 C9          RET
1114
1115 *****
1116 *
1117 *      KEYBOARD INPUT      *
1118 *
1119 *****
1120
1121 0574 CD 05C5    KEYIN: CALL  KEYCHK
1122 0577 D2 0586    JNC    KEYIN2
1123
1124 057A 3A FF4A    LDA    KEYENB
1125 057D B7          ORA    A          ;0?
1126 057E C8          RZ          ;CF = 0
1127
1128 057F AF          XRA    A          ;0
1129 0580 32 FF4A    STA    KEYENB
1130 0583 78          MOV    A,B
1131 0584 37          STC
1132 0585 C9          RET          ;CF = 1
1133
1134 0586 3E 01    KEYIN2: MVI   A,1  ;SET ENABLE FLAG
1135 0588 32 FF4A    STA    KEYENB
1136 058B C9          RET          ;CF = 0
1137
1138 *      KEYBOARD INPUT (REPEAT)
1139
1140          O0C8    KYRPST EQU   200  ;REPEAT START TIME
1141          O00A    KYRPSP EQU   10   ;REPEAT SPEED
1142
1143
1144 058C CD 0612    KEYINP: CALL  KEYWAT  ;WAIT
1145 058F CD 05C5    CALL  KEYCHK  ;SCAN KEYBOARD
1146 0592 DA 059A    JC    KEYIP1
1147
1148 0595 97          SUB    A
1149 0596 32 FF4B    STA    KYRPCT
1150 0599 C9          RET          ;CF = 0
1151
1152 KEYIP1:
1153 059A 3A FF4B    LDA    KYRPCT  ;KEYBOARD REPEAT COUNTER
1154 059D FE C8    CPI    KYRPST  ;REPEAT?
1155 059F D2 05B2    JNC    KEYIP2
1156
1157 05A2 3C          INR    A
1158 05A3 32 FF4B    STA    KYRPCT
1159 05A6 FE 01    CPI    1          ;FIRST TIME?
```

เอกสารนี้เป็นเอกสารที่สงวนไว้สำหรับการใช้งานเพื่อการศึกษาเท่านั้น ไม่อนุญาตให้นำไปใช้ประโยชน์ด้านการค้า
ไม่ว่ากรณีใดๆ ทั้งสิ้น อีกทั้งห้ามมิให้ดัดแปลงเนื้อหา และต้องอ้างอิงถึงเจ้าของเอกสารทุกครั้งที่มีการนำไปใช้

```
1160 05A8 CA 05C2          JZ      KEYIP4
1161 05AB FE C8            CPI     KYRPST          ;REPEAT START?
1162 05AD CA 05C2          JZ      KEYIP4
1163                      :
1164 05B0 B7              :      ORA     A
1165 05B1 C9              :      RET
1166                      :
1167                      :      KEYIP2:
1168 05B2 3C              :      INR     A
1169 05B3 32 FF4B         :      STA     KYRPCT
1170 05B6 FE D2          :      CPI     KYRPST+KYRPSP ;REPEAT?
1171 05B8 CA 05B0         :      JZ      KEYIP3
1172                      :
1173 05BB B7              :      ORA     A
1174 05BC C9              :      RET
1175                      :
1176 05BD 3E C8          :      KEYIP3: MVI   A,KYRPST
1177 05BF 32 FF4B         :      STA     KYRPCT
1178                      :
1179 05C2 78              :      KEYIP4: MOV   A,B          ;A = KEY CODE
1180 05C3 37              :      STC
1181 05C4 C9              :      RET
1182                      :
1183                      :      CHECK KEYBOARD INPUT
1184                      :
1185 05C5 CD 05E4         :      KEYCHK: CALL  KEYSCN
1186 05C8 DA 05CD         :      JC      KEYCH1
1187 05CB 3E FF          :      MVI   A,OFFH      ;NO KEY
1188 05CD 47              :      KEYCH1: MOV   B,A
1189 05CE 3A FF4C         :      LDA     KEYBFR     ;BEFORE KEY CODE
1190 05D1 B8              :      CMP   B
1191 05D2 CA 05DF         :      JZ      KEYCH2
1192                      :
1193 05D5 78              :      MOV   A,B
1194 05D6 32 FF4C         :      STA     KEYBFR
1195 05D9 CD 0612         :      CALL  KEYWAT     ;WAIT (CHATTERING CANCEL)
1196 05DC C3 05C5         :      JMP   KEYCHK
1197                      :
1198 05DF D6 FF          :      KEYCH2: SUI   OFFH
1199 05E1 C8              :      RZ
1200 05E2 78              :      MOV   A,B
1201 05E3 C9              :      RET
1202                      :
1203                      :      SCAN KEYBOARD
1204                      :
1205 05E4 3E 50          :      KEYSCN: MVI   A,50H      ;SET SENSOR
1206 05E6 D3 81          :      OUT   C88279     ;-RAM ADDRESS
1207 05E8 01 FF00         :      LXI   B,OFF00H   ;B = OFFH , C = 00H
1208                      :
1209 05EB DB 80          :      KEYSC1: IN   D8279   ;READ S-RAM
1210 05ED E6 0F          :      ANI   0FH
1211 05EF C2 0601         :      JNZ   KEYSC2
1212                      :
1213 05F2 0C              :      INR   C
1214 05F3 79              :      MOV   A,C
1215 05F4 FE 06          :      CPI   6
1216 05F6 DA 05EB         :      JC      KEYSC1
1217                      :
```

เอกสารนี้เป็นเอกสารที่สงวนไว้สำหรับการใช้งานเพื่อการศึกษาเท่านั้น ไม่อนุญาตให้นำไปใช้ประโยชน์ด้านการค้า
ไม่ว่ากรณีใดๆ ทั้งสิ้น อีกทั้งห้ามมิให้ดัดแปลงเนื้อหา และต้องอ้างอิงถึงเจ้าของเอกสารทุกครั้งที่มีการนำไปใช้

```
1218 05F9 CD 061C          CALL   CHKMIK          ;SET/RESET CF
1219 05FC 3E 16          MVI   A,16H
1220 05FE C3 0608          JMP   KEYS3
1221                      ;
1222 0601 04          KEYSC2: INR   B          ;ENCODE KEY
1223 0602 0F          RRC
1224 0603 02 0601        JNC   KEYS2
1225                      ;
1226 0606 79          MOV   A,C
1227 0607 87          ADD   A          ;A*4
1228 0608 87          ADD   A          ;
1229 0609 80          ADD   B
1230 060A 37          STC          ;CF = 1
1231                      ;
1232 0608 F5          KEYS3: PUSH  PSW
1233 060C 3E E0        MVI   A,0E0H
1234 060E D3 81        OUT  C8279
1235 0610 F1          POP  PSW
1236 0611 C9          RET
1237                      ;
1238                      ;
1239                      ;
1240 0612 01 0190        KEYWAT: LXI   B,400
1241 0615 08          KEYWT2: DCX  B
1242 0616 78          MOV   A,B
1243 0617 81          ORA  C
1244 0618 C2 0615        JNZ  KEYWT2
1245 0618 C9          RET
1246                      ;
1247                      ;
1248                      ;
1249                      ;
1250 061C DB 7D          CHKMIK: IN    PB8255
1251 061E 07          RLC
1252 061F 3F          CMC
1253 0620 C9          RET          ;CY=1 : MONI IN KEY PUSHED
1254                      ;
1255                      ;
1256                      ;
1257                      ;
1258                      ;
1259                      ;
1260                      ;
1261 0621 F5          DISP:  PUSH  PSW
1262 0622 C5          PUSH  B
1263 0623 05          PUSH  D
1264 0624 E5          PUSH  H
1265                      ;
1266 0625 DB 81        DISPW: IN    C8279        ;CHECK DISPLAY
1267 0627 07          RLC          ; UNAVAILABLE
1268 0628 DA 0625        JC    DISPW
1269                      ;
1270 062B 3E 90          MVI   A,90H          ;WRITE DISPLAY RAM
1271 062D D3 81          OUT  C8279
1272 062F 3A FF4D        LDA  DOTM
1273 0632 47          MOV  B,A
1274 0633 21 FF4E        LXI  H,DISPM
1275 0636 0E 06          MVI  C,6
```

เอกสารนี้เป็นเอกสารที่สงวนไว้สำหรับการใช้งานเพื่อการศึกษาเท่านั้น ไม่อนุญาตให้นำไปใช้ประโยชน์ด้านการค้า
ไม่ว่ากรณีใดๆ ทั้งสิ้น อีกทั้งห้ามมิให้ดัดแปลงเนื้อหา และต้องอ้างอิงถึงเจ้าของเอกสารทุกครั้งที่มีการนำไปใช้

```
1276 ;
1277 0638 78 DISPL: MOV A,B
1278 0639 0F RRC
1279 063A 47 MOV B,A
1280 063B E6 80 ANI 80H
1281 063D 86 ADD M
1282 063E 2F CMA
1283 063F D3 80 OUT DT8279
1284 0641 23 INX H
1285 0642 0D DCR C
1286 0643 C2 0638 JNZ DISPL
1287 ;
1288 0646 C3 07EB JMP POPRET
1289 ;
1290 *****
1291 ;*
1292 ;* DISPLAY HEXADECIMAL 4 DIGITS *
1293 ;*
1294 ;* HL : 16 BITS DATA *
1295 ;* C : LED POINTER (C=C-4) *
1296 ;*
1297 *****
1298 ;
1299 0649 F5 DHEX4: PUSH PSW
1300 064A 7C MOV A,H
1301 064B CD 0654 CALL DHEX2
1302 064E 7D MOV A,L
1303 064F CD 0654 CALL DHEX2
1304 0652 F1 POP PSW
1305 0653 C9 RET
1306 ;
1307 *****
1308 ;*
1309 ;* DISPLAY HEXADECIMAL 2 DIGITS *
1310 ;*
1311 ;* A : 8 BITS DATA *
1312 ;* C : LED POINTER (C=C-2) *
1313 ;*
1314 *****
1315 ;
1316 0654 0F DHEX2: RRC
1317 0655 0F RRC
1318 0656 0F RRC
1319 0657 0F RRC
1320 0658 CD 0663 CALL DHEX1
1321 065B 0F RRC
1322 065C 0F RRC
1323 065D 0F RRC
1324 065E 0F RRC
1325 065F CD 0663 CALL DHEX1
1326 0662 C9 RET
1327 ;
1328 *****
1329 ;*
1330 ;* DISPLAY HEXADECIMAL 1 DIGIT *
1331 ;*
1332 ;* A : 4 BITS DATA (LOW 4 BITS) *
1333 ;* C : LED POINTER (C=C-1) *

```

เอกสารนี้เป็นเอกสารที่สงวนไว้สำหรับการใช้งานเพื่อการศึกษาเท่านั้น ไม่อนุญาตให้นำไปใช้ประโยชน์ด้านการค้า
ไม่ว่ากรณีใดๆ ทั้งสิ้น อีกทั้งห้ามมิให้ดัดแปลงเนื้อหา และต้องอ้างอิงถึงเจ้าของเอกสารทุกครั้งที่มีการนำไปใช้

```

1334                                     ;*
1335                                     ;*****
1336                                     ;
1337 0663 E5      DHEX1:  PUSH   H
1338 0664 D5                PUSH   D
1339 0665 F5                PUSH   PSW
1340                                     ;
1341 0666 E6 0F                ANI    0FH      ;CLEAR HIGH 4 BITS
1342 0668 5F                MOV    E,A
1343 0669 16 00              MVI    D,0
1344 066B 21 067D            LXI    H,LEDTBL      ;CONVERT TO 7 SEG. CODE
1345 066E 19                DAD    D
1346 066F E5                PUSH   H
1347 0670 59                MOV    E,C
1348 0671 21 FF4E            LXI    H,DISPM
1349 0674 19                DAD    D
1350 0675 01                POP    D
1351 0676 1A                LDAX  D
1352 0677 77                MOV    M,A      ;SET DISPLAY MEMORY
1353                                     ;
1354 0678 F1                POP    PSW
1355 0679 D1                POP    D
1356 067A E1                POP    H
1357 067B 0D                DCR   C      ;DECREMENT LED POINTER
1358 067C C9                RET
1359                                     ;
1360                                     ;*****
1361                                     ;*
1362                                     ;*   LED CODE (0,1,2,....E,F)
1363                                     ;*
1364                                     ;*****
1365                                     ;
1366 067D 3F 06 5B 4F  LEDTBL: DB    3FH,06H,5BH,4FH ;0,1,2,3
1367 0681 66 6D 7D 27  DB    66H,6DH,7DH,27H ;4,5,6,7
1368 0685 7F 6F 77 7C  DB    7FH,6FH,77H,7CH ;8,9,A,B
1369 0689 39 5E 79 71  DB    39H,5EH,79H,71H ;C,D,E,F
1370                                     ;
1371                                     ;*****
1372                                     ;*
1373                                     ;*   DISPLAY MEMORY SET
1374                                     ;*
1375                                     ;*   CALL DSET
1376                                     ;*   DB (DOT INF) 1 BYTE
1377                                     ;*   DB (IMAGE) 6 BYTES
1378                                     ;*
1379                                     ;*****
1380                                     ;
1381 068D 11 0007      DSET:  LXI    D,7
1382 0690 E1                POP    H
1383 0691 19                DAD    D      ;PC = PC+7
1384 0692 E5                PUSH   H
1385 0693 11 FFF9        LXI    D,-7
1386 0696 19                DAD    D
1387 0697 11 FF4D        LXI    D,DOTM
1388 069A EB                XCHG
1389 069B 0E 07          MVI    C,7
1390 069D C3 0714        JMP    MMOVE
1391                                     ;

```

เอกสารนี้เป็นเอกสารที่สงวนไว้สำหรับการใช้งานเพื่อการศึกษาเท่านั้น ไม่อนุญาตให้นำไปใช้ประโยชน์ด้านการค้า ไม่ว่ากรณีใดๆ ทั้งสิ้น อีกทั้งห้ามมิให้ดัดแปลงเนื้อหา และต้องอ้างอิงถึงเจ้าของเอกสารทุกครั้งที่มีการนำไปใช้

```
1392 *****
1393 *
1394 *      DISPLAY DATA SAVE AND RESTORE *
1395 *
1396 *****
1397
1398 06A0 37      DSAVE:  STC          ;SET CF
1399 06A1 C3 06A5 JMP      DREST1
1400
1401 06A4 B7      DREST:  ORA      A          ;RESET CF
1402 06A5 F5      DREST1: PUSH   PSW
1403 06A6 C5          PUSH   B
1404 06A7 D5          PUSH   D
1405 06A8 E5          PUSH   H
1406
1407 06A9 21 FF54 LXI    H,DSMEM
1408 06AC 11 FF4D LXI    D,DOTM
1409 06AF DA 06B3 JC     DSREND
1410
1411 06B2 EB          XCHG
1412
1413 06B3 0E 07      DSREND: MVI    C,7
1414 06B5 CD 0714 CALL  MMOVE
1415 06B8 C3 07EB JMP    POPRET
1416
1417 *****
1418 *
1419 *      DISPLAY ADDRESS AND MEMORY DATA *
1420 *
1421 *****
1422
1423 06BB 2A FF5B      DMEMS:  LHLD   ADRG          ;LOAD ADRG
1424 06BE 0E 05          MVI    C,5
1425 06C0 CD 0649      CALL  DHEX4
1426 06C3 7E          MOV   A,M          ;LOAD MEMORY DATA
1427 06C4 CD 0654      CALL  DHEX2
1428 06C7 3E 04          MVI    A,4
1429 06C9 32 FF4D      STA   DOTM          ;DOT INFORMATION
1430 06CC C3 0621      JMP   DISP          ;DISPLAY AND RETURN
1431
1432 *****
1433 *
1434 *      DISPLAY FILE NUMBER *
1435 *
1436 *****
1437
1438 06CF CD 068D      DFNO:  CALL   DSET          ;DISPLAY 'NO.XX. '
1439 06D2 14          DB    14H
1440 06D3 00 00 00      DB    00H,00H,00H
1441 06D6 00 5C 54      DB    00H,5CH,54H
1442 06D9 0E 03          MVI    C,3
1443 06DB 3A FF46      LDA   TREG1          ;DISPLAY FILE NUMBER
1444 06DE CD 0654      CALL  DHEX2
1445 06E1 CD 0621      CALL  DISP
1446
1447 06E4 C3 0825          JMP   MTRON          ;MOTOR ON
1448
1449 *****
```

เอกสารนี้เป็นเอกสารที่สงวนไว้สำหรับการใช้งานเพื่อการศึกษาเท่านั้น ไม่อนุญาตให้นำไปใช้ประโยชน์ด้านการค้า
ไม่ว่ากรณีใดๆ ทั้งสิ้น อีกทั้งห้ามมิให้ดัดแปลงเนื้อหา และต้องอ้างอิงถึงเจ้าของเอกสารทุกครั้งที่มีการนำไปใช้

```
1450
1451
1452
1453
1454
1455 06E7 CD 06FA
1456 06EA E1
1457 06EB 46
1458 06EC 23
1459 06ED E5
1460 06EE 3A FF41
1461 06F1 B8
1462 06F2 C0
1463
1464 06F3 CD 0A88
1465 06F6 CD 0963
1466 06F9 C9
1467
1468
1469
1470
1471
1472
1473
1474 06FA DB 7E
1475 06FC F6 C0
1476 06FE D3 7E
1477 0700 C9
1478
1479
1480
1481
1482
1483
1484
1485 0701 F5
1486 0702 D5
1487
1488 0703 16 00
1489 0705 5F
1490 0706 19
1491 0707 19
1492
1493 0708 D1
1494 0709 F1
1495 070A C9
1496
1497
1498
1499
1500
1501
1502
1503
1504
1505
1506
1507 070B E1
```

```

;*
;* PRINTER ROUTINE
;*
*****
PRTRM: CALL DISTRP
        POP H
        MOV B,M
        INX H
        PUSH H
        LDA PRFLG
        CMP B
        RNZ
        CALL PRTREG
        CALL PRDMP
        RET
*****
;*
;* DISABLE TRAP
;*
*****
DISTRP: IN PC8255
        ORI OCOH
        OUT PC8255
        RET
*****
;*
;* HL = A*2+HL
;*
*****
ADHLAA: PUSH PSW
        PUSH D
        MVI D,0
        MOV E,A
        DAD D
        DAD D
        POP D
        POP PSW
        RET
*****
;*
;* JUMP CASE
;*
        CALL CASE
        DW XXXX .... IF A=0
        DW YYYY .... IF A=1
*****
CASE: POP H
```

เอกสารนี้เป็นเอกสารที่สงวนไว้สำหรับการใช้งานเพื่อการศึกษาเท่านั้น ไม่อนุญาตให้นำไปใช้ประโยชน์ด้านการค้า
ไม่ว่ากรณีใดๆ ทั้งสิ้น อีกทั้งห้ามมิให้ดัดแปลงเนื้อหา และต้องอ้างอิงถึงเจ้าของเอกสารทุกครั้งที่มีการนำไปใช้

```
1508 070C CD 0701          CALL   ADHLAA
1509 070F 5E              MOV    E,M
1510 0710 23              INX   H
1511 0711 56              MOV    D,M
1512 0712 EB              XCHG
1513 0713 E9              PCHL
1514
1515
1516
1517
1518
1519
1520
1521
1522
1523
1524
1525 0714 1A              MMOVE: LDAX  D
1526 0715 77              MOV    M,A
1527 0716 23              INX   H
1528 0717 13              INX   D
1529 0718 0D              DCR   C
1530 0719 C2 0714         JNZ   MMOVE
1531 071C C9              RET
1532
1533
1534
1535
1536
1537
1538
1539
1540
1541
1542
1543
1544
1545 071D F5              CHADR: PUSH  PSW
1546 071E D5              PUSH  D
1547 071F E5              PUSH  H
1548 0720 2A FF48         LHLD  TREG2          ;LOAD TREG2 TO DE
1549 0723 EB              XCHG
1550 0724 2A FF5D         LHLD  INRG           ;LOAD INRG TO HL
1551 0727 C3 072D         JMP   CHADRE
1552
1553 072A F5              CHADR1: PUSH PSW
1554 072B D5              PUSH  D
1555 072C E5              PUSH  H
1556
1557 072D 7D              CHADRE: MOV  A,L          ;COMPARE DE AND HL
1558 072E 93              SUB   E
1559 072F 7C              MOV  A,H
1560 0730 9A              SBB  D
1561 0731 3E 02          MVI  A,2          ;ERROR NUMBER = 2
1562 0733 DA 04EE         JC   ERRDSP
1563
1564 0736 E1              POP   H
1565 0737 D1              POP   D
```

เอกสารนี้เป็นเอกสารที่สงวนไว้สำหรับการใช้งานเพื่อการศึกษาเท่านั้น ไม่อนุญาตให้นำไปใช้ประโยชน์ด้านการค้า
ไม่ว่ากรณีใดๆ ทั้งสิ้น อีกทั้งห้ามมิให้ดัดแปลงเนื้อหา และต้องอ้างอิงถึงเจ้าของเอกสารทุกครั้งที่มีการนำไปใช้

1566 0738 F1
1567 0739 C9
1568
1569
1570

POP PSW
RET
PAGE



เอกสารนี้เป็นเอกสารที่สงวนไว้สำหรับการใช้งานเพื่อการศึกษาเท่านั้น ไม่อนุญาตให้นำไปใช้ประโยชน์ด้านการค้า
ไม่ว่ากรณีใดๆ ทั้งสิ้น อีกทั้งห้ามมิให้ดัดแปลงเนื้อหา และต้องอ้างอิงถึงเจ้าของเอกสารทุกครั้งที่มีการนำไปใช้

```
1571
1572
1573
1574
1575
1576
1577
1578
1579
1580
1581
1582
1583
1584 073A CD 0798 SAVE: CALL LEADER ;OUTPUT LEADER
1585 073D 3E 55 MVI A,55H ;SET KEYWORD
1586 073F 0E 34 MVI C,52
1587 0741 CD 0789 CALL BYTOTO
1588 0744 06 00 MVI B,0 ;CHECK_SUM = 0
1589 0746 3A FF46 LDA TREG1
1590 0749 0E 32 MVI C,50
1591 074B CD 0785 CALL BYTOUT ;STORE FILE NUMBER
1592
1593 074E 2A FF48 LHL TREG2 ;STORE START ADDRESS
1594 0751 7C MOV A,H
1595 0752 0E 32 MVI C,50
1596 0754 CD 0785 CALL BYTOUT
1597 0757 7D MOV A,L
1598 0758 0E 33 MVI C,51
1599 075A CD 0785 CALL BYTOUT
1600
1601 075D EB XCHG
1602 075E 2A FF5D LHL INRG ;STORE END ADDRESS
1603 0761 EB XCHG
1604 0762 7A MOV A,D
1605 0763 0E 32 MVI C,50
1606 0765 CD 0785 CALL BYTOUT
1607 0768 7B MOV A,E
1608 0769 0E 33 MVI C,51
1609 076B CD 0785 CALL BYTOUT
1610
1611 076E AF XRA A ;STORE CHECK_SUM
1612 076F 90 SUB B
1613 0770 0E 33 MVI C,51
1614 0772 CD 0785 CALL BYTOUT
1615
1616 0775 0E 02 MVI C,2
1617 0777 CD 0817 CALL DELAY
1618
1619 077A 7E SAVEDT: MOV A,M
1620 077B 0E 2D MVI C,45
1621 077D CD 0785 CALL BYTOUT ;STORE DATA
1622 0780 23 INX H ;ADDRESS INCREMENT
1623 0781 CD 078F CALL CKDEHL ;CHECK END ADDRESS
1624 0784 D2 077A JNC SAVEDT
1625
1626 0787 AF XRA A
1627 0788 90 SUB B
```

เอกสารนี้เป็นเอกสารที่สงวนไว้สำหรับการใช้งานเพื่อการศึกษาเท่านั้น ไม่อนุญาตให้นำไปใช้ประโยชน์ด้านการค้า
ไม่ว่ากรณีใดๆ ทั้งสิ้น อีกทั้งห้ามมิให้ดัดแปลงเนื้อหา และต้องอ้างอิงถึงเจ้าของเอกสารทุกครั้งที่มีการนำไปใช้

```
1628 0789 0E 2D          MVI    C,45
1629 0788 CD 07B5        CALL   BYTOUT          ;STORE CHECK_SUM
1630 078E C9                    RET
1631
1632 *****
1633 *
1634 *      CHECK DE < HL
1635 *
1636 *****
1637
1638 078F 2B          CKDEHL: DCX    H
1639 0790 1B          DCX    D
1640 0791 7B          MOV    A,E            ;IF DE < HL
1641 0792 95          SUB    L              ; THEN SET CF
1642 0793 7A          MOV    A,D
1643 0794 9C          SBB   H
1644 0795 23          INX   H
1645 0796 13          INX   D
1646 0797 C9          RET
1647
1648 *****
1649 *
1650 *      OUTPUT LEADER
1651 *
1652 *****
1653
1654 0798 F5          LEADER: PUSH   PSW          ;SAVE REGISTER
1655 0799 3E 0B        MVI    A,0BH
1656 079B D3 7F          OUT   CT8255            ;SET PC5
1657 079D F1          POP   PSW              ;DUMMY
1658 079E F5          PUSH  PSW              ;DUMMY
1659 079F C5          PUSH  B
1660 07A0 E5          PUSH  H
1661 07A1 21 1770      LXI   H,6000            ;HL = COUNTER
1662
1663 07A4 E5          LEADR: PUSH   H          ;OUTPUT 5 SEC
1664 07A5 0E 17        MVI    C,23
1665 07A7 CD 07F0      CALL   ONEOUT
1666 07AA E1          POP   H
1667 07AB 2B          DCX   H
1668 07AC 7C          MOV   A,H
1669 07AD B5          ORA   L
1670 07AE C2 07A4      JNZ   LEADR
1671
1672 07B1 E1          POP   H                ;LOAD REGISTERS
1673 07B2 C1          POP   B
1674 07B3 F1          POP   PSW
1675 07B4 C9          RET
1676
1677 *****
1678 *
1679 *      ONE BYTE OUTPUT
1680 *
1681 *****
1682
1683 07B5 F5          BYTOUT: PUSH   PSW          ;SAVE DATA
1684 07B6 80          ADD   B                ;MAKE CHECK_SUM
1685 07B7 47          MOV   B,A
```

เอกสารนี้เป็นเอกสารที่สงวนไว้สำหรับการใช้งานเพื่อการศึกษาเท่านั้น ไม่อนุญาตให้นำไปใช้ประโยชน์ด้านการค้า
ไม่ว่ากรณีใดๆ ทั้งสิ้น อีกทั้งห้ามมิให้ดัดแปลงเนื้อหา และต้องอ้างอิงถึงเจ้าของเอกสารทุกครั้งที่มีการนำไปใช้

```
1686 07B8 F1          POP      PSW
1687
1688 07B9 F5          ;BYTOT0: PUSH  PSW      ;SAVE REGISTERS
1689 07BA C5          PUSH    B
1690 07BB D5          PUSH    D
1691 07BC E5          PUSH    H
1692
1693 07BD 57          ;      MOV    D,A      ;SAVE DATA
1694 07BE 2E 08      MVI    L,8      ;BIT COUNTER
1695 07C0 CD 07FF    CALL   ZEROUT   ;OUTPUT START_BIT
1696 07C3 F5          PUSH    PSW     ;DUMMY
1697 07C4 F1          POP     PSW     ;DUMMY
1698
1699 07C5 7A          ;BYTOT1: MOV    A,D      ;LOAD DATA
1700 07C6 0F          RRC     ;SHIFT 1 BIT
1701 07C7 57          MOV     D,A
1702 07C8 DA 07D3    JC     BYTOT2
1703
1704 07C8 0E 3C      ;      MVI    C,60
1705 07CD CD 07FF    CALL   ZEROUT   ;OUTPUT '0'
1706 07D0 C3 07DC      JMP    BYTOT3
1707
1708 07D3 00          ;BYTOT2: NOP          ;DUMMY
1709 07D4 0E 17      MVI    C,23
1710 07D6 CD 07F0    CALL   ONEOUT   ;OUTPUT '1'
1711 07D9 C3 07DC      JMP    BYTOT3
1712
1713 07DC 2D          ;BYTOT3: DCR    L      ;DECREMENT BIT COUNTER
1714 07DD C2 07C5      JNZ    BYTOT1
1715
1716 07E0 0E 19      ;      MVI    C,25
1717 07E2 CD 07F0    CALL   ONEOUT   ;OUTPUT STOP_BIT
1718 07E5 03          INX    B        ;DUMMY
1719 07E6 0E 1A      MVI    C,28
1720 07E8 CD 07F0    CALL   ONEOUT
1721
1722 07EB E1          ;POPRET: POP    H
1723 07EC D1          POP    D
1724 07ED C1          POP    B
1725 07EE F1          POP    PSW
1726 07EF C9          RET
1727
1728
1729
1730
1731
1732
1733
1734 07F0 3E 0A      ;ONEOUT: MVI    A,0AH  ;SET PC5
1735 07F2 CD 080E    CALL   CHG2     ;HIGH OUT
1736 07F5 CD 080C    CALL   CHG1     ;LOW OUT
1737 07F8 CD 080C    CALL   CHG1     ;HIGH OUT
1738 07FB CD 080C    CALL   CHG1     ;LOW OUT
1739 07FE C9          RET
1740
1741 07FF 3E 0A      ;ZEROUT: MVI    A,0AH  ;SET PC5
1742 0801 CD 080E    CALL   CHG2     ;HIGH OUT
1743 0804 0E 41      MVI    C,65     ;DUMMY
```

เอกสารนี้เป็นเอกสารที่สงวนไว้สำหรับการใช้งานเพื่อการศึกษาเท่านั้น ไม่อนุญาตให้นำไปใช้ประโยชน์ด้านการค้า
ไม่ว่ากรณีใดๆ ทั้งสิ้น อีกทั้งห้ามมิให้ดัดแปลงเนื้อหา และต้องอ้างอิงถึงเจ้าของเอกสารทุกครั้งที่มีการนำไปใช้

```
1744 0806 0E 41          MVI    C,65          ;SET DELAY COUNT
1745 0808 CD 080E        CALL   CHG2          ;LOW OUT
1746 080B C9              RET
1747                      ;
1748 080C 0E 1D          CHG1: MVI    C,29          ;SET DELAY COUNT
1749 080E CD 0817        CHG2: CALL   DELAY        ;TIME DELAY
1750 0811 24              INR    H              ;DUMMY
1751 0812 EE 01          XRI    01H           ;INVERT BIT 0
1752 0814 D3 7F          OUT    CT8255        ;SET/RESET PC5
1753 0816 C9              RET
1754                      ;
1755                      ;*****
1756                      ;*
1757                      ;*      DELAY
1758                      ;*
1759                      ;*****
1760                      ;
1761 0817 C5              DELAY: PUSH   B          ;SAVE BC
1762                      ;
1763 0818 0D              DELY: DCR    C          ;DECREMENT COUNTER
1764 0819 C2 0818        JNZ    DELY
1765                      ;
1766 081C 00              NOP
1767 081D C1              POP    B              ;DUMMY
1768 081E C9              RET
1769                      ;
1770                      ;*****
1771                      ;*
1772                      ;*      CASSETTE MOTOR CONTROL
1773                      ;*
1774                      ;*****
1775                      ;
1776 081F F5              MTROFF: PUSH  PSW
1777 0820 3E 08          MVI    A,08H         ;BIT RESET PC4
1778 0822 C3 0828        JMP    OUTCT
1779                      ;
1780 0825 F5              MTRON:  PUSH  PSW
1781 0826 3E 09          MVI    A,09H         ;BIT SET PC4
1782                      ;
1783 0828 D3 7F          OUTCT:  OUT    CT8255  ;SET/RESET PC4
1784 082A F1              POP    PSW
1785 082B C9              RET
1786                      ;
1787                      ;*****
1788                      ;*
1789                      ;*      CASSETTE LOAD AND VERIFY
1790                      ;*
1791                      ;*****
1792                      ;
1793                      ;LDVfy:
1794 082C CD 08ED        FILEIN: CALL  LEADIN
1795 082F CD 089F        CALL  BYTEIN
1796 0832 EE 55          XRI    55H           ;CHECK KEY WORD
1797 0834 47              MOV    B,A           ;CLEAR CHECK SUM
1798 0835 00              NOP
1799 0836 00              NOP
1800 0837 C2 082C        JNZ    FILEIN        ;KEY_WORD ERROR
1801                      ;
```

เอกสารนี้เป็นเอกสารที่สงวนไว้สำหรับการใช้งานเพื่อการศึกษาเท่านั้น ไม่อนุญาตให้นำไปใช้ประโยชน์ด้านการค้า
ไม่ว่ากรณีใดๆ ทั้งสิ้น อีกทั้งห้ามมิให้ดัดแปลงเนื้อหา และต้องอ้างอิงถึงเจ้าของเอกสารทุกครั้งที่มีการนำไปใช้

```
1802 083A CD 08C8 CALL BYTCHS ;INPUT FILE NUMBER
1803 083D 57 MOV D,A
1804 083E 0E 01 MVI C,1
1805 0840 CD 0654 CALL DHEX2 ;DISPLAY FILE NUMBER
1806 0843 CD 0621 CALL DISP
1807 0846 3A FF46 LDA TREGI
1808 0849 BA CMP D ;CHECK FILE NUMBER
1809 084A C2 082C JNZ FILEIN
1810 ;
1811 084D CD 08C8 CALL BYTCHS ;START ADDRESS INPUT
1812 0850 67 MOV H,A
1813 0851 CD 08C8 CALL BYTCHS
1814 0854 6F MOV L,A
1815 0855 CD 08C8 CALL BYTCHS ;END ADDRESS INPUT
1816 0858 57 MOV D,A
1817 0859 CD 08C8 CALL BYTCHS
1818 085C 5F MOV E,A
1819 ;
1820 085D CD 08C8 CALL BYTCHS ;CHECK_SUM INPUT
1821 0860 3E 04 MVI A,4 ;ERROR_NUMBER = 4
1822 0862 C2 04EE JNZ ERRDSP ;CHECK_SUM ERROR OF ADDRESS
1823 ;
1824 0865 E5 PUSH H
1825 0866 2A FF5D LHLD INRG
1826 0869 7D MOV A,L
1827 086A B4 ORA H
1828 086B CA 087B JZ TPADD
1829 ;
1830 086E E1 POP H
1831 086F CD 0908 CALL SUBRGP
1832 0872 2A FF5D LHLD INRG ;HL = START ADDRESS
1833 0875 CD 0907 CALL ADDRGP ;DE = END ADDRESS
1834 0878 C3 087C JMP DATAIN
1835 ;
1836 087B E1 TPADD: POP H
1837 ;
1838 087C CD 08C8 DATAIN: CALL BYTCHS ;INPUT DATA
1839 087F 4F MOV C,A ;SET DATA
1840 0880 3A FF61 LDA LDFLG
1841 0883 A7 ANA A
1842 0884 79 MOV A,C
1843 0885 CA 0889 JZ CMPDT
1844 ;
1845 0888 77 MOV M,A
1846 ;
1847 0889 BE CMPDT: CMP M ;COMPARE DATA
1848 088A 3E 06 MVI A,6 ;ERROR_NUMBER = 6
1849 088C C2 04EE JNZ ERRDSP
1850 ;
1851 088F 23 INX H
1852 0890 CD 078F CALL CKDEHL ;? DE < HL
1853 0893 D2 087C JNC DATAIN
1854 ;
1855 0896 CD 08C8 CALL BYTCHS ;CHECK_SUM DATA
1856 0899 3E 05 MVI A,5 ;ERROR_NUMBER = 5
1857 089B C2 04EE JNZ ERRDSP
1858 ;
1859 089E C9 RET
```

เอกสารนี้เป็นเอกสารที่สงวนไว้สำหรับการใช้งานเพื่อการศึกษาเท่านั้น ไม่อนุญาตให้นำไปใช้ประโยชน์ด้านการค้า
ไม่ว่ากรณีใดๆ ทั้งสิ้น อีกทั้งห้ามมิให้ดัดแปลงเนื้อหา และต้องอ้างอิงถึงเจ้าของเอกสารทุกครั้งที่มีการนำไปใช้

```
1860
1861
1862
1863
1864
1865
1866
1867 089F C5      BYTEIN: PUSH  B      ;SAVE REGISTERS
1868 08A0 D5      PUSH  D
1869 08A1 E5      PUSH  H
1870
1871 08A2 0E 00    ;      MVI  C,0
1872
1873 08A4 CD 08DF  BYTINI: CALL  WSCAO
1874 08A7 3E 16    MVI  A,22
1875 08A9 B9      CMP  C      ;SEARCH START_BIT
1876 08AA D2 08A4  ;      INC  BYTINI
1877
1878 08AD 0E 2B    ;      MVI  C,43
1879 08AF CD 0817  ;      CALL DELAY
1880 08B2 2E 08    ;      MVI  L,8      ;SET BIT COUNTER
1881
1882 08B4 CD 08D0  BYTIN2: CALL  BITIN  ;INPUT ONE BIT
1883
1884 08B7 7C      MOV  A,H
1885 08B8 1F      RAR
1886 08B9 67      MOV  H,A
1887
1888 08BA 0E 0F    ;      MVI  C,15
1889 08BC CD 0817  ;      CALL DELAY
1890
1891 08BF 2D      DCR  L
1892 08C0 C2 08B4  ;      JNZ  BYTIN2
1893
1894 08C3 7C      MOV  A,H
1895 08C4 E1      POP  H
1896 08C5 D1      POP  D
1897 08C6 C1      POP  B
1898 08C7 C9      RET
1899
1900
1901
1902
1903
1904
1905
1906 08C8 CD 089F  BYTCHS: CALL  BYTEIN
1907 08CB 4F      MOV  C,A
1908 08CC 80      ADD  B
1909 08CD 47      MOV  B,A
1910 08CE 79      MOV  A,C
1911 08CF C9      RET
1912
1913
1914
1915
1916
1917
```

เอกสารนี้เป็นเอกสารที่สงวนไว้สำหรับการใช้งานเพื่อการศึกษาเท่านั้น ไม่อนุญาตให้นำไปใช้ประโยชน์ด้านการค้า
ไม่ว่ากรณีใดๆ ทั้งสิ้น อีกทั้งห้ามมิให้ดัดแปลงเนื้อหา และต้องอ้างอิงถึงเจ้าของเอกสารทุกครั้งที่มีการนำไปใช้

```

1918
1919 08D0 CD 08E1      BITIN: CALL   WVSCAN
1920 08D3 OE 54        MVI   C,84
1921 08D5 CD 0817      CALL  DELAY
1922 08D8 CD 08DF      CALL  WVSCAO
1923 08DB 3E 01        MVI   A,1          ;IF C > 1
1924 08DD B9           CMP   C            ; THEN SET CF
1925 08DE C9           RET
1926
1927
1928
1929
1930
1931
1932
1933 08DF OE 00        WVSCAO: MVI   C,0
1934 08E1 DB 7D        WVSCAN: IN   PB8255 ;INPUT PB6
1935 08E3 E6 40        ANI   40H
1936 08E5 OC          INR   C
1937 08E6 AA          XRA   D
1938 08E7 CA 08E1      JZ    WVSCAN      ;SCAN PB6
1939
1940 08EA AA          XRA   D            ;SAVE INPUT DATA
1941 08EB 57          MOV   D,A
1942 08EC C9          RET
1943
1944
1945
1946
1947
1948
1949
1950 08ED C5          LEADIN: PUSH  B
1951 08EE D5          PUSH  D
1952
1953 08EF 1E 00        LEADR1: MVI   E,0
1954 08F1 CD 08DF      LEADR2: CALL  WVSCAO
1955 08F4 3E 16        MVI   A,22        ;SET MAX COUNT
1956 08F6 B9           CMP   C
1957 08F7 DA 08EF      JC    LEADR1
1958
1959 08FA 3E 07        MVI   A,7          ;SET MIN COUNT
1960 08FC B9           CMP   C
1961 08FD D2 08EF      JNC  LEADR1
1962
1963 0900 1D           DCR   E
1964 0901 C2 08F1      JNZ  LEADR2
1965
1966 0904 D1           POP   D
1967 0905 C1           POP   B
1968 0906 C9          RET
1969
1970
1971
1972
1973
1974
1975

```

เอกสารนี้เป็นเอกสารที่สงวนไว้สำหรับการใช้งานเพื่อการศึกษาเท่านั้น ไม่อนุญาตให้นำไปใช้ประโยชน์ด้านการค้า
ไม่ว่ากรณีใดๆ ทั้งสิ้น อีกทั้งห้ามมิให้ดัดแปลงเนื้อหา และต้องอ้างอิงถึงเจ้าของเอกสารทุกครั้งที่มีการนำไปใช้

1976 0907 EB
1977 0908 19
1978 0909 EB
1979 090A C9
1980
1981
1982
1983
1984
1985
1986
1987 090B 7B
1988 090C 95
1989 090D 5F
1990 090E 7A
1991 090F 9C
1992 0910 57
1993 0911 C9
1994
1995
1996

ADDRGP: XCHG
DAD D
XCHG
RET

*
* DE = DE - HL *
*

SUBRGP: MOV A,E
SUB L
MOV E,A
MOV A,D
SBB H
MOV D,A
RET

PAGE



เอกสารนี้เป็นเอกสารที่สงวนไว้สำหรับการใช้งานเพื่อการศึกษาเท่านั้น ไม่อนุญาตให้นำไปใช้ประโยชน์ด้านการค้า
ไม่ว่ากรณีใดๆ ทั้งสิ้น อีกทั้งห้ามมิให้ดัดแปลงเนื้อหา และต้องอ้างอิงถึงเจ้าของเอกสารทุกครั้งที่มีการนำไปใช้

```

1997
1998
1999
2000
2001
2002
2003
2004
2005
2006
2007
2008
2009
2010
2011
2012
2013
2014
2015
2016
2017
2018
2019
2020
2021
2022
2023
2024
2025
2026
2027
2028
2029
2030
2031
2032
2033
2034
2035
2036
2037
2038
2039
2040
2041
2042
2043
2044
2045
2046
2047
2048
2049
2050
2051
2052
2053

```

```

*****
*
* PRINTER CONTROL ROUTINES
*
*****
*****
*
* PRINTER INITIALIZE
*
*****
PRTINI EQU $
PRTINO: IN PC8255
ORL 04H ;STROBE="H"
OUT PC8255
RET
*****
*
* CR,LF ONE LINE
*
*****
PRTLFI EQU $
PRTLFA: PUSH PSW ;SAVE REG
MVI A,I
CALL PRTLFI
POP PSW ;RESTRE REG
RET
*****
*
* CR,LF N LINES
*
*****
PRTLFI EQU $
PRTLFA: PUSH PSW ;SAVE REG
PRTLFB: PUSH B
ORA A
JZ PRTLFC
PRTLFB: MOV C,A ;N LINES FEED
MVI A,ODH
CALL PRTLFB
MVI A,DAH
CALL PRTLFB
DCR C ;DCR COUNTER
JNZ PRTLFB
PRTLFC: POP B ;RESTORE REG
POP PSW
RET
;

```

เอกสารนี้เป็นเอกสารที่สงวนไว้สำหรับการใช้งานเพื่อการศึกษาเท่านั้น ไม่อนุญาตให้นำไปใช้ประโยชน์ด้านการค้า
ไม่ว่ากรณีใดๆ ทั้งสิ้น อีกทั้งห้ามมิให้ดัดแปลงเนื้อหา และต้องอ้างอิงถึงเจ้าของเอกสารทุกครั้งที่มีการนำไปใช้

```
2054 :*****
2055 :*
2056 :* PRINT CHARACTER *
2057 :* *
2058 :* <IN> A: CHARACTER DATA *
2059 :* *
2060 :*****
2061 :
2062 0939 PRTPUT EQU $
2063 0939 F5 PRTPUO: PUSH PSW ;SAVE REG
2064 093A C5 PUSH B
2065 :
2066 093B 47 MOV B,A
2067 093C DB 7D PRTPUI: IN PBB255 ;CHECK BUSY
2068 093E 07 RLC ;MONI IN KEY ?
2069 093F D2 FF2A JNC PRterr ;BREAK PRINT OUT
2070 0942 0F RRC
2071 0943 0F RRC
2072 0944 DA 093C JC PRTPUI ;BUSY ?
2073 :
2074 0947 0E 01 MVI C,1 ;TIME DELAY 30USEC
2075 0949 CD 0817 CALL DELAY
2076 :
2077 094C 78 MOV A,B
2078 094D D3 7C OUT PAB255 ;SET 8 BIT DATA
2079 :
2080 094F 3E 04 MVI A,4 ;WRITE STROBE
2081 0951 D3 7F OUT CT8255 ;STROBE="L"
2082 :
2083 0953 0E 02 MVI C,2 ;DELAY
2084 0955 CD 0817 CALL DELAY
2085 :
2086 0958 3C INR A
2087 0959 D3 7F OUT CT8255 ;STROBE="H"
2088 :
2089 095B 0E 01 MVI C,1 ;TIME DELAY 30U
2090 095D CD 0817 CALL DELAY
2091 :
2092 0960 C1 POP B ;RESTOR REG
2093 0961 F1 POP PSW
2094 0962 C9 RET
2095 :
2096 :*****
2097 :*
2098 :* MEMORY DUMP *
2099 :* *
2100 :*****
2101 :
2102 0963 PRTDMP EQU $
2103 0963 F5 PRTDMO: PUSH PSW ;SAVE REG
2104 0964 C5 PUSH B
2105 0965 D5 PUSH D
2106 0966 E5 PUSH H
2107 :
2108 0967 2A FF44 LHLD MDEND
2109 096A 7C MOV A,H
2110 096B B5 ORA L ;IF END.ADDR=0
2111 096C CA 0A31 JZ PRTDMC ; THEN NO DUMP
```

เอกสารนี้เป็นเอกสารที่สงวนไว้สำหรับการใช้งานเพื่อการศึกษาเท่านั้น ไม่อนุญาตให้นำไปใช้ประโยชน์ด้านการค้า
ไม่ว่ากรณีใดๆ ทั้งสิ้น อีกทั้งห้ามมิให้ดัดแปลงเนื้อหา และต้องอ้างอิงถึงเจ้าของเอกสารทุกครั้งที่มีการนำไปใช้

```
2112 ;
2113 096F 2A FF42 ; LHL D MDTOP ;CHECK ADDR
2114 0972 EB XCHG
2115 0973 2A FF44 LHL D MDEND
2116 0976 70 MOV A,L
2117 0977 93 SUB E
2118 0978 7C MOV A,H
2119 0979 9A SBB D
2120 097A 3E 02 MVI A,2
2121 097C DA 04EE JC ERRDSP
2122 ;
2123 097F CD 0919 ; CALL PRTLF1
2124 0982 3E 3C ; MVI A,'<' ;PR.DUMP AREA
2125 0984 CD 0939 ; CALL PRTPUT
2126 0987 EB XCHG
2127 0988 CD 0A39 ; CALL PRTHX4 ;PR.TOP ADDR
2128 0988 3E 2D ; MVI A,'>'
2129 098D CD 0939 ; CALL PRTPUT
2130 0990 EB XCHG ;PR.END ADDR
2131 0991 CD 0A39 ; CALL PRTHX4
2132 0994 3E 3E ; MVI A,'>'
2133 0996 CD 0939 ; CALL PRTPUT
2134 0999 44 ; MOV B,H ;SET END ADDR
2135 099A 4D ; MOV C,L
2136 ;
2137 099B CD 09CA ; CALL PRTDMS ;PRINT LOW ADDR
2138 ;
2139 099E CD 0919 ; PRTDMS1: CALL PRTLF1 ;CR,LF
2140 09A1 62 ; MOV H,D ;PRINT ADDR
2141 09A2 7B ; MOV A,E
2142 09A3 E6 F0 ; ANI OF0H
2143 09A5 6F ; MOV L,A
2144 09A6 CD 0A39 ; CALL PRTHX4
2145 09A9 21 0A36 ; LXI H,PRTDMS ;PRINT ' : '
2146 09AC CD 0A77 ; CALL PRTSTR
2147 ;
2148 09AF 7B ; PRTDMS2: MOV A,E
2149 09B0 E6 0F ; ANI 0FH ;TAB
2150 09B2 CA 09F5 ; PRTDMS3: JZ PRTDMS8
2151 09B5 CD 09C2 ; CALL PRTDMS4
2152 09B8 CD 09C2 ; CALL PRTDMS4
2153 09BB CD 09C2 ; CALL PRTDMS4
2154 09BE 3D ; DCR A
2155 09BF C3 09B2 ; JMP PRTDMS3
2156 ;
2157 09C2 F5 ; PRTDMS4: PUSH PSW
2158 09C3 3E 20 ; MVI A,' '
2159 09C5 CD 0939 ; CALL PRTPUT
2160 09C8 F1 ; POP PSW
2161 09C9 C9 ; RET
2162 ;
2163 09CA 3E 02 ; PRTDMS5: MVI A,2
2164 09CC CD 0921 ; CALL PRTL FN
2165 09CF 3E 20 ; MVI A,' '
2166 09D1 2E 05 ; MVI L,5
2167 09D3 CD 0939 ; PRTDMS6: CALL PRTPUT
2168 09D6 2D ; DCR L
2169 09D7 C2 09D3 ; JNZ PRTDMS6
```

เอกสารนี้เป็นเอกสารที่สงวนไว้สำหรับการใช้งานเพื่อการศึกษาเท่านั้น ไม่อนุญาตให้นำไปใช้ประโยชน์ด้านการค้า
ไม่ว่ากรณีใดๆ ทั้งสิ้น อีกทั้งห้ามมิให้ดัดแปลงเนื้อหา และต้องอ้างอิงถึงเจ้าของเอกสารทุกครั้งที่มีการนำไปใช้

```
2170 090A 26 00          MVI    H,0
2171 090C 7C          PRTDM7: MOV    A,H
2172 090D E6 03          ANI    3
2173 090F 3E 20          MVI    A,' '
2174 09E1 CC 0939        CZ     PRTPUT
2175 09E4 CD 0939        CALL   PRTPUT
2176 09E7 CD 0939        CALL   PRTPUT
2177 09EA 7C          MOV    A,H
2178 09EB CD 0A53        CALL   PRTHX1
2179 09EE 24          INR    H
2180 09EF FE 0F        CPI    0FH
2181 09F1 C2 09DC        JNZ    PRTDM7
2182 09F4 C9          RET
2183
2184 09F5 7B          PRTDM8: MOV    A,E
2185 09F6 0F          RRC
2186 09F7 0F          RRC
2187 09F8 E6 03          ANI    3
2188 09FA CA 0A04        PRTDM9: JZ     PRTDM4
2189 09FD CD 09C2        CALL   PRTDM4
2190 0A00 3D          DCR    A
2191 0A01 C3 09FA        JMP    PRTDM9
2192
2193 0A04 CD 09C2        PRTDMA: CALL   PRTDM4      ;PRINT MEM DATA
2194 0A07 1A          LDAX   D
2195 0A08 CD 0A44        CALL   PRTHX2
2196 0A0B 79          MOV    A,C
2197 0A0C 13          INX    D
2198 0A0D 93          SUB    E
2199 0A0E 78          MOV    A,B
2200 0A0F 9A          SBB    D      ;DE > BC ?
2201 0A10 DA 0A2C        JC     PRTDMB
2202 0A13 7A          MOV    A,D
2203 0A14 B3          ORA    E
2204 0A15 CA 0A2C        JZ     PRTDMB
2205 0A18 7B          MOV    A,E
2206 0A19 E6 03          ANI    3      ;LOW 2 BIT=0 ?
2207 0A1B CC 09C2        CZ     PRTDM4
2208
2209 0A1E 7B          MOV    A,E
2210 0A1F A7          ANA    A      ;LOW 8 BIT=0 ?
2211 0A20 CC 09CA        CZ     PRTDM5
2212 0A23 7B          MOV    A,E
2213 0A24 E6 0F          ANI    0FH    ;LOW 4 BIT=0 ?
2214 0A26 CA 099E        JZ     PRTDM1
2215 0A29 C3 0A04        JMP    PRTDMA
2216
2217 0A2C 3E 02          PRTDMB: MVI    A,2
2218 0A2E CD 0921        CALL   PRTLFN
2219
2220 0A31 E1          PRTDMC: POP    H      ;RESTORE REC
2221 0A32 D1          POP    D
2222 0A33 C1          POP    B
2223 0A34 F1          POP    PSW
2224 0A35 C9          RET
2225
2226 0A36 20 3A 00        PRTDMD: DB    ' : ',0
2227
```

เอกสารนี้เป็นเอกสารที่สงวนไว้สำหรับการใช้งานเพื่อการศึกษาเท่านั้น ไม่อนุญาตให้นำไปใช้ประโยชน์ด้านการค้า
ไม่ว่ากรณีใดๆ ทั้งสิ้น อีกทั้งห้ามมิให้ดัดแปลงเนื้อหา และต้องอ้างอิงถึงเจ้าของเอกสารทุกครั้งที่มีการนำไปใช้

```
2228 ;*****  
2229 ;*  
2230 ;* PRINT HEX 4 DIGITS *  
2231 ;*  
2232 ;*****  
2233  
2234 0A39 PRTHX4 EQU $  
2235 0A39 F5 PRTH40: PUSH PSW  
2236 0A3A 7C MOV A,H  
2237 0A38 CD 0A44 CALL PRTHX2  
2238 0A3E 7D MOV A,L  
2239 0A3F CD 0A44 CALL PRTHX2  
2240 0A42 F1 POP PSW  
2241 0A43 C9 RET  
2242 ;  
2243 ;*****  
2244 ;*  
2245 ;* PRINT HEX 2 DIGITS *  
2246 ;*  
2247 ;*****  
2248  
2249 0A44 PRTHX2 EQU $  
2250 0A44 OF PRTH20: RRC  
2251 0A45 OF RRC  
2252 0A46 OF RRC  
2253 0A47 OF RRC  
2254 0A48 CD 0A53 CALL PRTHX1  
2255 0A4B OF RRC  
2256 0A4C OF RRC  
2257 0A4D OF RRC  
2258 0A4E OF RRC  
2259 0A4F CD 0A53 CALL PRTHX1  
2260 0A52 C9 RET  
2261 ;  
2262 ;*****  
2263 ;*  
2264 ;* PRINT HEX ONE DIGIT *  
2265 ;*  
2266 ;*****  
2267  
2268 0A53 PRTHX1 EQU $  
2269 0A53 E5 PRTH10: PUSH H  
2270 0A54 D5 PUSH D  
2271 0A55 F5 PUSH PSW  
2272 ;  
2273 0A56 E6 OF ANI OFH  
2274 0A58 5F MOV E,A  
2275 0A59 16 00 MVI D,0  
2276 0A5R 21 0A67 LXI H,HEXASC  
2277 0A5E 19 DAD D  
2278 0A5F 7E MOV A,M  
2279 0A60 CD 0939 CALL PRTPUT  
2280 ;  
2281 0A63 F1 POP PSW  
2282 0A64 D1 POP D  
2283 0A65 E1 POP H  
2284 0A66 C9 RET  
2285 ;
```

เอกสารนี้เป็นเอกสารที่สงวนไว้สำหรับการใช้งานเพื่อการศึกษาเท่านั้น ไม่อนุญาตให้นำไปใช้ประโยชน์ด้านการค้า
ไม่ว่ากรณีใดๆ ทั้งสิ้น อีกทั้งห้ามมิให้ดัดแปลงเนื้อหา และต้องอ้างอิงถึงเจ้าของเอกสารทุกครั้งที่มีการนำไปใช้

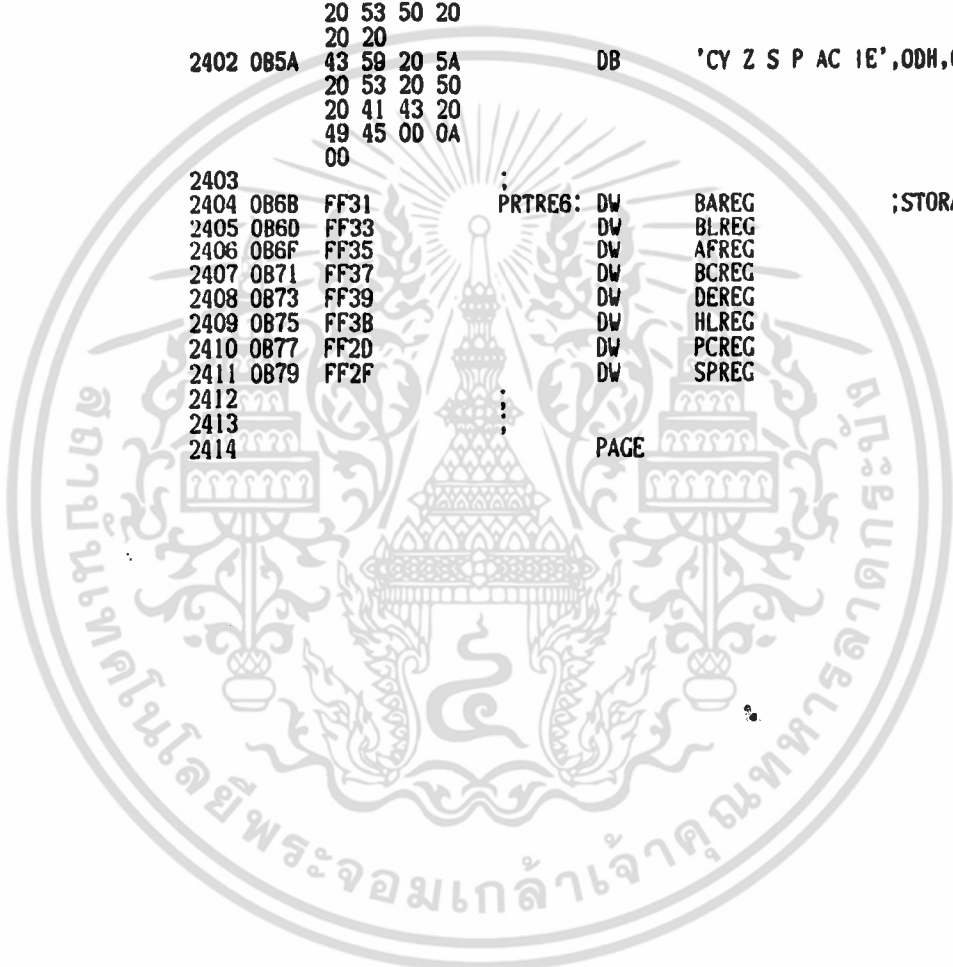
```
2286 0A67 30 31 32 33 HEXASC: DB '01234567'
      34 35 36 37
2287 0A6F 38 39 41 42 DB '89ABCDEF'
      43 44 45 46
2288
2289
2290 *****
2291 * PRINT STRINGS *
2292 *
2293 *****
2294
2295 OA77 PRTSTR EQU $
2296 0A77 E5 PRTSTO: PUSH H
2297 0A78 F5 PUSH PSW
2298
2299 OA79 7E PRTST1: MOV A,M
2300 0A7A B7 ORA A
2301 0A7B CA 0A85 JZ PRTST2
2302 0A7E CD 0939 CALL PRTPUT
2303 0A81 23 INX H
2304 0A82 C3 0A79 JMP PRTST1
2305
2306 0A85 F1 PRTST2: POP PSW
2307 0A86 E1 POP H
2308 0A87 C9 RET
2309
2310 *****
2311 * PRINT REGISTERS *
2312 *
2313 *
2314 *****
2315
2316 OA88 PRTREG EQU $
2317 0A88 F5 PRTREG: PUSH PSW ;SAVE REG
2318 0A89 C5 PUSH B
2319 0A8A D5 PUSH D
2320 0A8B E5 PUSH H
2321
2322 0A8C CD 0919 CALL PRTLF1 ;CR,LF
2323 0A8F 21 0B25 LXI H,PRTRE5
2324 0A92 CD 0A77 CALL PRTSTR ;PRINT REG.NAME
2325
2326 0A95 2A FF5B LHLD ADRG ;PRINT ADRG
2327 0A98 CD 0A39 CALL PRTHX4
2328 0A9B 3E 20 MVI A,' '
2329 0A9D CD 0939 CALL PRTPUT
2330 0AA0 7E MOV A,M ;PRINT INSTR
2331 0AA1 CD 0A44 CALL PRTHX2
2332 0AA4 21 0A36 LXI H,PRTDMD ;PRINT ' :'
2333 0AA7 CD 0A77 CALL PRTSTR
2334
2335 0AAA 21 0B6B LXI H,PRTREG ;SET REG.LOC.
2336 0AAD 0E 02 MVI C,2
2337 0AAF CD 0AFC CALL PRTRE1 ;PRINT
2338 0AB2 3E 20 MVI A,' ' ; BPA,BLC
2339 0AB4 CD 0939 CALL PRTPUT
2340 0AB7 CD 0939 CALL PRTPUT
2341
```

เอกสารนี้เป็นเอกสารที่สงวนไว้สำหรับการใช้งานเพื่อการศึกษาเท่านั้น ไม่อนุญาตให้นำไปใช้ประโยชน์ด้านการค้า
ไม่ว่ากรณีใดๆ ทั้งสิ้น อีกทั้งห้ามมิให้ดัดแปลงเนื้อหา และต้องอ้างอิงถึงเจ้าของเอกสารทุกครั้งที่มีการนำไปใช้

```
2342 OABA 0E 06          MVI    C,6          ;PRINT
2343 OABC 0D 0AFC       CALL   PRTRE1      ; AF,BC,DE,HL
2344 OABF 3E 20          MVI    A,' '       ; PC,SP
2345 OAC1 0D 0939       CALL   PRTPUT
2346 OAC4 0D 0939       CALL   PRTPUT
2347 OAC7 0D 0939       CALL   PRTPUT
2348
2349 OACA 3A FF35          LDA    AFREG        ;PRINT
2350 OACD 47             MOV    B,A          ; CY,Z,S,P,AC
2351 OACE 3E 01          MVI    A,01H
2352 OADO 0D 0B14       CALL   PRTRE2
2353 OAD3 3E 40          MVI    A,40H
2354 OAD5 0D 0B14       CALL   PRTRE2
2355 OAD8 3E 80          MVI    A,80H
2356 OADA 0D 0B14       CALL   PRTRE2
2357 OADD 3E 04          MVI    A,04H
2358 OADF 0D 0B14       CALL   PRTRE2
2359 OAE2 3E 10          MVI    A,10H
2360 OAE4 0D 0B14       CALL   PRTRE2
2361 OAE7 3E 20          MVI    A,' '
2362 OAE9 0D 0939       CALL   PRTPUT
2363 OAEC 3A FF3D          LDA    IEFLG        ;PRT IE FLAG
2364 OAEF 0F             RRC
2365 OAF0 0F             RRC
2366 OAF1 0F             RRC
2367 OAF2 E6 01          ANI    1
2368 OAF4 C6 30          ADI    '0'
2369 OAF6 0D 0939       CALL   PRTPUT
2370 OAF9 C3 0A2C        JMP    PRTOMB        ;PRINT AND RET
2371
2372 OAFC 5E             PRTRE1: MOV    E,M
2373 OAFD 23             INX    H
2374 OAFE 56             MOV    D,M
2375 OAFF 23             INX    H
2376 OBO0 EB             XCHG
2377 OBO1 3E 20          MVI    A,' '
2378 OBO3 0D 0939       CALL   PRTPUT
2379 OBO6 05             PUSH   D
2380 OBO7 5E             MOV    E,M          ;LD-PRINT DATA
2381 OBO8 23             INX    H
2382 OBO9 56             MOV    D,M
2383 OBOA EB             XCHG
2384 OBOB 0D 0A39       CALL   PRTHX4        ;PRINT REG
2385 OBOE E1             POP
2386 OBOF 00             DCR    C
2387 OB10 C2 0AFC       JNZ    PRTRE1
2388 OB13 C9             RET
2389
2390 OB14 A0             PRTRE2: AND    B
2391 OB15 CA 0B1A        JZ     PRTRE3        ;PRINT 1 BIT
2392 OB18 3E 01          MVI    A,1
2393
2394 OB1A C6 30          PRTRE3: ADI    '0'
2395 OB1C 0D 0939       CALL   PRTPUT
2396 OB1F 3E 20          MVI    A,' '
2397 OB21 0D 0939       CALL   PRTPUT
2398 OB24 C9             RET
2399
```

เอกสารนี้เป็นเอกสารที่สงวนไว้สำหรับการใช้งานเพื่อการศึกษาเท่านั้น ไม่อนุญาตให้นำไปใช้ประโยชน์ด้านการค้า
ไม่ว่ากรณีใดๆ ทั้งสิ้น อีกทั้งห้ามมิให้ตัดแปลงเนื้อหา และต้องอ้างอิงถึงเจ้าของเอกสารทุกครั้งที่มีการนำไปใช้

```
2400 0B25 41 44 52 53 PRTRE5: DB 'ADRS INS BPA BLC '
          20 49 4E 53
          20 20 20 42
          50 41 20 20
          42 4C 43 20
          20 20 20
2401 0B3C 41 46 20 20 DB 'AF BC DE HL PC SP '
          20 42 43 20
          20 20 44 45
          20 20 20 48
          4C 20 20 20
          50 43 20 20
          20 53 50 20
          20 20
2402 0B5A 43 58 20 5A DB 'CY Z S P AC IE',ODH,0AH,0
          20 53 20 50
          20 41 43 20
          49 45 0D 0A
          00
2403
2404 0B6B FF31 PRTRE6: DW BAREG ;STORAGE LOC.
2405 0B6D FF33 DW BLREG
2406 0B6F FF35 DW AFREG
2407 0B71 FF37 DW BCREG
2408 0B73 FF39 DW DEREG
2409 0B75 FF3B DW HLREG
2410 0B77 FF2D DW PCREC
2411 0B79 FF2F DW SPREG
2412
2413
2414 PAGE
```



```

2415
2416
2417
2418
2419
2420
2421
2422
2423
2424
2425
2426
2427
2428
2429
2430
2431
2432
2433
2434
2435
2436
2437
2438
2439
2440
2441
2442
2443
2444
2445
2446
2447
2448
2449
2450
2451
2452
2453
2454
2455
2456
2457
2458
2459
2460
2461
2462
2463
2464
2465
2466
2467
2468
2469
2470
2471

```

```

*****
*
*      RAM SET/TEST ROUTINES
*
*****
*****
*
*      RAM DATA SET
*
*      SET DATA = A REG.
*      TOP ADDR = DE REG.
*      END ADDR = HL REG.
*
*****
RAMSET EQU $
RAMST: CALL CHADR1 ;ADDRESS CHECK
        MOV B,A
        MVI A,4
        STA DOTM
        XCHG
RAMST1: MVI C,5 ;DISP ADDR
        CALL DHEX4
        MOV M,B ;DATA STRE
        MOV A,M
        CALL DHEX2 ;DISP MEM DATE
        CALL DISP
        CMP B ;READ CHECK
        MVI A,1 ;ERR.NO.=1
        JNZ RAMST3
        MOV A,D
        CMP H
        JNZ RAMST2
        MOV A,E
        CMP L
        JZ RAMST4
        INX H
        JMP RAMST1
RAMST2:
RAMST3: SHLD DEREGR ;SAVE ERR.ADR
        JMP ERRDSP
RAMST4: LXI SP,MONSTK ;SET STACK P.
        JMP ENDOSP
*****
*
*      RAM DATA TEST
*
*      TOP ADDR = DE REG.
*      END ADDR = HL REG.
*
*****

```

เอกสารนี้เป็นเอกสารที่สงวนไว้สำหรับการใช้งานเพื่อการศึกษาเท่านั้น ไม่อนุญาตให้นำไปใช้ประโยชน์ด้านการค้า
ไม่ว่ากรณีใดๆ ทั้งสิ้น อีกทั้งห้ามมิให้ดัดแปลงเนื้อหา และต้องอ้างอิงถึงเจ้าของเอกสารทุกครั้งที่มีการนำไปใช้

```
2472          OBB2          RAMTST EQU $
2473 OBB2 CD 072A          RAMTS: CALL CHADR1 ;CHECK ADDRESS
2474 OBB5 3E 04           MVI A,4
2475 OBB7 32 FF4D          STA DOTM
2476 OBB8 EB             XCHG
2477
2478 OBBB 0E 05          RAMTS1: MVI C,5 ;DISP ADDR
2479 OBBD CD 0649          CALL DHEX4
2480 OBC0 CD 0621          CALL DISP
2481 OBC3 06 00           MVI B,0 ;PRESET TEST DATA
2482 OBC5 4E             RAMTS2: MOV C,M ;SAVE DATA
2483 OBC6 70             MOV M,B ;WRITE DATA
2484 OBC7 7E             MOV A,M ;READ DATA
2485 OBC8 71             MOV M,C ;RESTRE DATA
2486 OBC9 B8             CMP B ;CHECK DATA
2487 OBCA 3E 07          MVI A,7 ;ERR.NO.=7
2488 OBCC C2 0BA6          JNZ RAMT3 ;ERR.DSP.
2489
2490 OBCF 04             INR B ;INCR TEST DATA
2491 OBDO C2 0BC5          JNZ RAMTS2
2492 OBD3 7A             MOV A,D
2493 OBD4 BC             CMP H
2494 OBD5 C2 0BDD          JNZ RAMTS3
2495 OBD8 7B             MOV A,E
2496 OBD9 BD             CMP L
2497 OBDA CA 0BAC          JZ RAMST4 ;END DSP.
2498 OBDD 23             RAMTS3: INX H ;INCR TEST ADDR
2499 OBDE C3 0BBB          JMP RAMTS1
2500
2501 *****
2502 *
2503 * RAM DATA MOVE *
2504 *
2505 * SRC TOP ADDR = BC REG. *
2506 * SRC END ADDR = DE REG. *
2507 * DST TOP ADDR = HL REG. *
2508 *
2509 *****
2510
2511 OBE1 7B             RAMMOV: MOV A,E ;IF DE < BC
2512 OBE2 91             SUB C ; THEN ERROR
2513 OBE3 7A             MOV A,D
2514 OBE4 98             SBB B
2515 OBE5 3E 02          MVI A,2
2516 OBE7 DA 04EE          JC ERRDSP
2517
2518 OBEA 7B             MOV A,E ;DE = BC
2519 OBEB 91             SUB C ; (SRC TOP ADDR)
2520 OBEC 59             MOV E,C ;BC = (DE-BC)+1
2521 OBED 4F             MOV C,A ; (MOVE LENGTH)
2522 OBEE 7A             MOV A,D
2523 OBEB 98             SBB B
2524 OBFO 50             MOV D,B
2525 OBF1 47             MOV B,A
2526 OBF2 03             INX B
2527
2528 OBF3 7D             MOV A,L
2529 OBF4 93             SUB E
```

เอกสารนี้เป็นเอกสารที่สงวนไว้สำหรับการใช้งานเพื่อการศึกษาเท่านั้น ไม่อนุญาตให้นำไปใช้ประโยชน์ด้านการค้า
ไม่ว่ากรณีใดๆ ทั้งสิ้น อีกทั้งห้ามมิให้ดัดแปลงเนื้อหา และต้องอ้างอิงถึงเจ้าของเอกสารทุกครั้งที่มีการนำไปใช้

```
2530 0BF5 7C          MOV    A,H          ;IF DST-TOP > SRC-TOP
2531 0BF6 9A          SBB    D            ; THEN MOVE TAIL FIRST
2532 0BF7 DA 0COB     JC     RAMMV2       ; ELSE MOVE HEAD FIRST
2533
2534                :----- MEMORY MOVE TAIL FIRST -----
2535
2536 0BFA 09          DAD    B            ;HL = DST TAIL
2537 0BFB EB          XCHG
2538 0BFC 09          DAD    B            ;DE = SRC TAIL
2539 0BFD EB          XCHG
RAMMV1: 2540 0BFE 1B     DCX    D
2541 0BFF 2B     DCX    H
2542 0C00 1A     LDAX   D
2543 0C01 77     MOV    M,A
2544 0C02 0B     DCX    B
2545 0C03 78     MOV    A,B
2546 0C04 B1     ORA    C
2547 0C05 C2 0BFE JNZ    RAMMV1
2548 0C08 C3 032E JMP    ENDDSP
2549
2550                :----- MEMORY MOVE HEAD FIRST -----
2551
2552 0COB 1A          RAMMV2: LDAX   D
2553 0C0C 77          MOV    M,A
2554 0COD 23          INX   H
2555 0COE 13          INX   D
2556 0COF 0B          DCX   B
2557 0C10 78          MOV    A,B
2558 0C11 B1          ORA    C
2559 0C12 C2 0COB   JNZ    RAMMV2
2560 0C15 C3 032E   JMP    ENDDSP
2561
2562                :
2563                PAGE
```

เอกสารนี้เป็นเอกสารที่สงวนไว้สำหรับการใช้งานเพื่อการศึกษาเท่านั้น ไม่อนุญาตให้นำไปใช้ประโยชน์ด้านการค้า
ไม่ว่ากรณีใดๆ ทั้งสิ้น อีกทั้งห้ามมิให้ดัดแปลงเนื้อหา และต้องอ้างอิงถึงเจ้าของเอกสารทุกครั้งที่มีการนำไปใช้


```
2621 OC54 78          MOV    A,B          ;I8251 MODE SET
2622 OC55 D3 85       OUT    USARTC
2623 OC57 3E 37      MVI    A,37H        ;I8251 COMMAND SET
2624 OC59 D3 85       OUT    USARTC        ; (RX/TX ENABLE,CTS/DTR ON,ERROR RESET)
2625 ;
2626 OC5B E1         POP    H
2627 OC5C C1         POP    B
2628 OC5D F1         POP    PSW
2629 OC5E C9         RET
2630 ;
2631 OC5F 0200        SIINITA: DW 512      ; 150BPS
2632 OC81 0100        DW 256             ; 300BPS
2633 OC63 0080        DW 128             ; 600BPS
2634 OC65 0040        DW 64              ; 1200BPS
2635 OC87 0020        DW 32              ; 2400BPS
2636 OC69 0010        DW 16              ; 4800BPS
2637 OC6B 0008        DW 8               ; 9600BPS
2638 OC6D 0004        DW 4               ; 19200BPS
2639 ;
2640 *****
2641 *
2642 *      ENABLE RS-232C INTERRUPT      *
2643 *
2644 *****
2645 ;
2646 OC6F F5          SIINTE: PUSH  PSW
2647 ;
2648 OC70 20          RIM
2649 OC71 E6 05       ANI    05H          ;RESET RST6.5 INT MASK
2650 OC73 F8 08       ORI    08H
2651 OC75 30          SIM
2652 ;
2653 OC76 3E 03       MVI    A,03H        ;RESET RX-READY MASK
2654 OC78 D3 7F       OUT    CT8255       ; (PC1 ON)
2655 ;
2656 OC7A F1         POP    PSW
2657 OC7B C9         RET
2658 ;
2659 *****
2660 *
2661 *      DISABLE RS-232C INTERRUPT      *
2662 *
2663 *****
2664 ;
2665 OC7C F5          SIINTD: PUSH  PSW
2666 ;
2667 OC7D 3E 02       MVI    A,02H        ;RX-READY MASK ON
2668 OC7F D3 7F       OUT    CT8255       ; (PC1 OFF)
2669 ;
2670 OC81 20          RIM
2671 OC82 E6 07       ANI    07H          ;RST6.5 INT MASK
2672 OC84 F8 0A       ORI    0AH
2673 OC86 30          SIM
2674 ;
2675 OC87 F1         POP    PSW
2676 OC88 C9         RET
2677 ;
2678 *****
```

เอกสารนี้เป็นเอกสารที่สงวนไว้สำหรับการใช้งานเพื่อการศึกษาเท่านั้น ไม่อนุญาตให้นำไปใช้ประโยชน์ด้านการค้า
ไม่ว่ากรณีใดๆ ทั้งสิ้น อีกทั้งห้ามมิให้ตัดแปลงเนื้อหา และต้องอ้างอิงถึงเจ้าของเอกสารทุกครั้งที่มีการนำไปใช้

```
2679          ;*
2680          ;*      SET RS-232C MODE      ;*
2681          ;*
2682          ;*
2683          ;*
2684 0C89 F5          SETSIM: PUSH      PSW
2685
2686 0C8A 32 FF66      STA      SIMODE      ;SET MODE DATA
2687 0C8D 2F          CMA      ;MAKE PARITY
2688 0C8E 32 FF67      STA      SIMODP      ;SET PARITY
2689
2690 0C91 CD 0C18      CALL     SIINIT      ;INIT RS-232C
2691
2692 0C94 F1          POP      PSW
2693 0C95 C9          RET
2694
2695          ;*
2696          ;*
2697          ;*      TIMER INITIALIZE      ;*
2698          ;*
2699          ;*
2700
2701 0C96 F5          TMINIT: PUSH     PSW
2702 0C97 C5          PUSH     B
2703 0C98 E5          PUSH     H
2704
2705 0C99 3A FF68      LDA      TMMODE      ;GET TIMER MODE DATA
2706 0C9C 47          MOV      B,A
2707 0C9D 3A FF69      LDA      TMMODP      ;TEST PARITY
2708 0CA0 2F          CMA
2709 0CA1 B8          CMP      B           ;IF PARITY ERROR
2710 0CA2 CA 0CA7      JZ      TINIT1      ; THEN DEFAULT MODE
2711
2712 0CA5 06 02      MVI     B,02H      ; (10MSEC INTERVAL)
2713
2714 0CA7 78          TINIT1: MOV     A,B
2715 0CA8 3D          DCR     A           ;TEST MODE DATA
2716 0CA9 FE 14      CPI     20         ;IF OUT OF RANGE
2717 0CAB DA 0C80      JC      TINIT2      ; THEN DEFAULT MODE
2718 0CAE 06 02      MVI     B,02H      ; (10MSEC INTERVAL)
2719
2720 0CB0 78          TINIT2: MOV     A,B ;GET TIMER COUNT DATA
2721 0CB1 21 0000     LXI     H,0         ; COUNT = (MODE DATA) * 3072
2722 0CB4 01 0C00     LXI     B,3072      ; (5MSEC * 2.4576MHZ/4 = 3072)
2723 0CB7 09          TINIT3: DAD     B
2724 0CB8 3D          DCR     A
2725 0CB9 C2 0CB7     JNZ     TINIT3
2726
2727 0CBC 3E 76      MVI     A,76H      ;INIT 18253 CNT1
2728 0CBE D3 68      OUT     PITCTM     ; MODE-3,BINARY-COUNT,16BIT
2729 OCC0 7D          MOV     A,L
2730 OCC1 D3 69      OUT     PITCT1     ;SET LSB
2731 OCC3 7C          MOV     A,H
2732 OCC4 D3 69      OUT     PITCT1     ;SET MSB
2733
2734 OCC6 E1          POP     H
2735 OCC7 C1          POP     B
2736 OCC8 F1          POP     PSW
```

เอกสารนี้เป็นเอกสารที่สงวนไว้สำหรับการใช้งานเพื่อการศึกษาเท่านั้น ไม่อนุญาตให้นำไปใช้ประโยชน์ด้านการค้า
ไม่ว่ากรณีใดๆ ทั้งสิ้น อีกทั้งห้ามมิให้ดัดแปลงเนื้อหา และต้องอ้างอิงถึงเจ้าของเอกสารทุกครั้งที่มีการนำไปใช้

```
2737 OCC9 C9          RET
2738
2739 *****
2740 *
2741 *   ENABLE TIMER INTERRUPT   *
2742 *
2743 *****
2744
2745 OCCA F5          TMINTE: PUSH   PSW
2746
2747 OCCB 20          RIM
2748 OCCC E6 03       ANI   03H          ;RESET RST7.5 INT MASK
2749 OCCE F6 08       ORI   08H
2750 OCD0 30          SIM
2751
2752 OCD1 3E 01       MVI   A,01H          ;CNT1 GATE ON
2753 OCD3 03 7F       OUT   CT8255      ; (PCO ON)
2754
2755 OCD5 F1          POP   PSW
2756 OCD6 C9          RET
2757
2758 *****
2759 *
2760 *   DISABLE TIMER INTERRUPT   *
2761 *
2762 *****
2763
2764 OCD7 F5          TMINTD: PUSH   PSW
2765
2766 OCD8 3E 00       MVI   A,00H          ;CNT1 GATE OFF
2767 OCDA D3 7F       OUT   CT8255      ; (PCO OFF)
2768
2769 OCDC 20          RIM
2770 OCDD E6 07       ANI   07H          ;RST7.5 INT MASK
2771 OCDF F6 0C       ORI   0CH
2772 OCE1 30          SIM
2773
2774 OCE2 F1          POP   PSW
2775 OCE3 C9          RET
2776
2777 *****
2778 *
2779 *   SET TIMER MODE           *
2780 *
2781 *****
2782
2783 OCE4 F5          SETTMM: PUSH   PSW
2784
2785 OCE5 FE 15       CPI   20+1          ;IF OUT OF RANGE
2786 OCE7 DA 0CEC     JC    STTMM1      ; THEN DEFAULT MODE
2787
2788 OCEA 3E 02       MVI   A,2          ; (10MSEC INTERVAL)
2789
2790 OCEC 32 FF68     STTMM1: STA   TMMODE      ;SET MODE DATA
2791 OCEF 2F          CMA
2792 OCFO 32 FF69     STA   TMMODP     ;MAKE PARITY
2793
2794 OCF3 CD 0C96     CALL  TMINIT      ;INIT TIMER
```

เอกสารนี้เป็นเอกสารที่สงวนไว้สำหรับการใช้งานเพื่อการศึกษาเท่านั้น ไม่อนุญาตให้นำไปใช้ประโยชน์ด้านการค้า
ไม่ว่ากรณีใดๆ ทั้งสิ้น อีกทั้งห้ามมิให้ดัดแปลงเนื้อหา และต้องอ้างอิงถึงเจ้าของเอกสารทุกครั้งที่มีการนำไปใช้

2795							
2796	OCF6	F1		POP	PSW		
2797	OCF7	C9		RET			
2798							
2799							
2800							
2801							
2802							
2803							
2804							
2805	OCF8	F5		SETUPR: PUSH	PSW		
2806							
2807	OCF9	22	FF6A	SHLD	USRPRG		;SET ADDRESS
2808	OCFC	7C		MOV	A,H		;MAKE PARITY
2809	OCFD	2F		CMA			
2810	OCFE	67		MOV	H,A		
2811	OCFF	7D		MOV	A,L		
2812	OD00	2F		CMA			
2813	OD01	6F		MOV	L,A		
2814	OD02	22	FF6C	SHLD	USRPRP		;SET PARITY
2815							
2816	OD05	F1		POP	PSW		
2817	OD06	C9		RET			
2818							
2819							
2820				PAGE			



เอกสารนี้เป็นเอกสารที่สงวนไว้สำหรับการใช้งานเพื่อการศึกษาเท่านั้น ไม่อนุญาตให้นำไปใช้ประโยชน์ด้านการค้า
ไม่ว่ากรณีใดๆ ทั้งสิ้น อีกทั้งห้ามมิให้ดัดแปลงเนื้อหา และต้องอ้างอิงถึงเจ้าของเอกสารทุกครั้งที่มีการนำไปใช้



เอกสารนี้เป็นเอกสารที่สงวนไว้สำหรับการใช้งานเพื่อการศึกษาเท่านั้น ไม่อนุญาตให้นำไปใช้ประโยชน์ด้านการค้า
ไม่ว่ากรณีใดๆ ทั้งสิ้น อีกทั้งห้ามมิให้ดัดแปลงเนื้อหา และต้องอ้างอิงถึงเจ้าของเอกสารทุกครั้งที่มีการนำไปใช้

MOTOR	SPECT	UNIT	
Rated Output	180 6V	W	Pr
Rated Armature Voltage	20	V	Er
Rated Torque	6	kg-cm	Tr
Rated Armature Current	3.4	A	Ir
Rated Speed	3000	rpm	Nr
Constant Stall Torque	7	kg-cm	Ts
Peak Maximum Torque	43	kg-cm	Tps
Armature Current (Stall)	3.6	A	Is
Peak Armature Current	24	A	Ip
Maximum Speed	5000	rpm	Nmax
Static Friction Torque	0.55	kg-cm	Tf
Power Rate	1.68	KW/sec	Q
Peak Acceleration	21×10^3	rad/sec ²	ps
Torque Ripple	5	%	Tr
Torque Constant	2.24	kgcm/A	Kt
Voltage Constant	23	V/Krpm	Ke
Raguration Constant	0.32	kgcm/rpm	Ki
Rotor Inertia	2.1	g-cm-sec ²	
Armature Resistance	3.1	Ω	Rs
Inductance	4.7	mH	Ls
Mechanical Time Constant	12	msec	tm
Electrical Time Constant	1.52	msec	te

เอกสารนี้เป็นเอกสารที่สงวนไว้สำหรับการใช้งานเพื่อการศึกษาเท่านั้น ไม่อนุญาตให้นำไปใช้ประโยชน์ด้านการค้า
ไม่ว่ากรณีใดๆ ทั้งสิ้น อีกทั้งห้ามมิให้ดัดแปลงเนื้อหา และต้องอ้างอิงถึงเจ้าของเอกสารทุกครั้งที่มีการนำไปใช้

Therm Constant	25	min	Tth
Therm Resistance	1.4	C/W	Rth
Armature Winding Temp Rise	130	deg	
Weight	2	kg	W



เอกสารนี้เป็นเอกสารที่สงวนไว้สำหรับการใช้งานเพื่อการศึกษาเท่านั้น ไม่อนุญาตให้นำไปใช้ประโยชน์ด้านการค้า
ไม่ว่ากรณีใดๆ ทั้งสิ้น อีกทั้งห้ามมิให้ดัดแปลงเนื้อหา และต้องอ้างอิงถึงเจ้าของเอกสารทุกครั้งที่มีการนำไปใช้



เอกสารนี้เป็นเอกสารที่สงวนไว้สำหรับการใช้งานเพื่อการศึกษาเท่านั้น ไม่อนุญาตให้นำไปใช้ประโยชน์ด้านการค้า
ไม่ว่ากรณีใดๆ ทั้งสิ้น อีกทั้งห้ามมิให้ดัดแปลงเนื้อหา และต้องอ้างอิงถึงเจ้าของเอกสารทุกครั้งที่มีการนำไปใช้

การควบคุมความเร็วแบบสี่ควอดแรนต์ด้วยไมโครโปรเซสเซอร์

Four quadrant speed control of DC motor based on microprocessor

อชิชาติ มุจนะมลกุล (*)

โยธิน เปรมปราณีรัตน์ (**)

บทคัดย่อ

ผลงานวิจัยนี้เป็นการพัฒนาระบบควบคุมความเร็วดีซีมอเตอร์แบบสี่ควอดแรนต์ที่ใช้ไมโครโปรเซสเซอร์ Z-80 เป็นตัวควบคุมซึ่งสามารถควบคุมความเร็ว ทิศทางการหมุน การออกตัวและการหยุดได้อย่างมีประสิทธิภาพ และมีความอ่อนตัวในการควบคุมด้วยโปรแกรมภาษาแอสเซมบลี นอกจากนี้ระบบยังมีอุปกรณ์กลับของกระแสเพื่อให้สามารถควบคุมกระแสของมอเตอร์ได้โดยตรงจากไมโครโปรเซสเซอร์ผ่าน D/A คอนเวอร์เตอร์ ผลการทดลองแสดงการควบคุมความเร็วของดีซีมอเตอร์ในรูปของ velocity profile ในการเปลี่ยนความเร็วระหว่างควอดแรนต์ 1-2, 3-1, 3-4, และ 3-1-2-delay-3 ซึ่งแสดงให้เห็นว่า ไมโครโปรเซสเซอร์เป็นตัวควบคุมที่มีประสิทธิภาพและความอ่อนตัว

Abstract

This research paper presents the development of a four quadrants speed control of D.C. motor by using microprocessor as a controller of the speed level, direction, and start-stop operation with high efficiency and flexibility of control with assembly language. In addition, the system consists of current feedback, thus since the D.C. motor current is directly controlled by microprocessor through D/A converter. The experimental results of the speed control of D.C. motor are shown in velocity profile of a speed changing between the different quadrant such as 1-2, 1-3, 3-4, and 3-1-2-delay-3. Which are shown that microprocessor is a high efficiency and flexibility of controller.

(**) รองศาสตราจารย์ ภาควิชาวิศวกรรมระบบควบคุม สถาบันเทคโนโลยีพระจอมเกล้าเจ้าคุณทหารลาดกระบัง

(*) นักศึกษาปริญญาโท ภาควิชาวิศวกรรมระบบควบคุม สถาบันเทคโนโลยีพระจอมเกล้าเจ้าคุณทหารลาดกระบัง

1 บทนำ

ในปัจจุบันไมโครโปรเซสเซอร์ได้รับความนิยมนำมาใช้เป็นตัวควบคุมระบบที่ใช้ในงานอุตสาหกรรมต่างๆ อย่างกว้างขวาง เช่นระบบใน Factory automation ซึ่งจะมีส่วนประกอบของระบบ ควบคุมตำแหน่ง และความเร็วยู่อด้วย [1][2]

ผลงานวิจัยนี้เป็นการพัฒนาระบบควบคุมความเร็วของดีซีมอเตอร์แบบลิควอตแดนท์โดยใช้ไมโครโปรเซสเซอร์ Z-80 เป็นตัวควบคุมที่สามารถควบคุมระดับความเร็วทิศทางการหมุน การออกตัวและการหยุดได้อย่างมีประสิทธิภาพ และมีความอ่อนตัวในการควบคุมด้วยโปรแกรมภาษาแอสเซมบลี [3][4] นอกจากนี้ระบบยังมีอุปกรณ์กลับของกระแสเพื่อให้สามารถควบคุมกระแสได้โดยตรงจากสัญญาณอินพุต [5] ผลการทดลองแสดงการควบคุมความเร็วของดีซีมอเตอร์ ในรูปของดีซีมอเตอร์ velocity profile ในการเปลี่ยนความเร็วระหว่าง ควอตแดนท์ 1-2, 3-1, 3-4 และ 3-1-2-delay-3 ซึ่งแสดงให้เห็นถึงประสิทธิภาพและความอ่อนตัวในการควบคุมระบบด้วยไมโครโปรเซสเซอร์

2 ระบบควบคุมความเร็วของดีซีมอเตอร์

2.1 หน้าที่ระบบควบคุมความเร็วแบบลิควอตแดนท์

ในดีซีมอเตอร์ แรงบิดที่เกิดขึ้นจะเป็นสัดส่วนกับกระแส i_m และแสดงได้ด้วยสมการ

$$T = K_T i_m \dots \dots \dots (1)$$

เมื่อ K_T คือ ค่าแรงบิดคงที่ของมอเตอร์

i_m คือ กระแสของมอเตอร์

T คือ แรงบิด

เซอร์โวแอมพลิไฟเออร์ที่ใช้ในงานทั่วไปมักจะไม่ได้รับการออกแบบในลักษณะที่สัญญาณอินพุตสามารถควบคุมกระแสของมอเตอร์มากกว่าจะควบคุมโวลต์เตจของมอเตอร์ การควบคุมกระแสของมอเตอร์กระทำได้ด้วยการเพิ่มตัวดีทีเคกระแสและฮอนป์เข้าไปในระบบก็จะทำให้เราสามารถกำหนดค่ากระแสของมอเตอร์ได้จากอินพุตโวลต์เตจ [5]

$$i_m = -K_m v_t \dots \dots \dots (2)$$

เมื่อ K_m คือ ค่าคงที่ของการดีทีเคกระแส

v_t คือ อินพุตโวลต์เตจ

เมื่อแรงบิดของมอเตอร์ป้อนกลับให้โรเตอร์ ความสัมพันธ์ระหว่าง T และ ω หาได้จากสมการพลวัต Newtonian

$$(J_m + J_L) \frac{d\omega}{dt} + D\omega = T \dots \dots \dots (3)$$

เอกสารนี้เป็นเอกสารที่สงวนไว้สำหรับการใช้งานเพื่อการศึกษาเท่านั้น ไม่อนุญาตให้นำไปใช้ประโยชน์ด้านการค้าไม่ว่ากรณีใดๆ ทั้งสิ้น อีกทั้งห้ามมิให้ดัดแปลงเนื้อหา และต้องอ้างอิงถึงเจ้าของเอกสารทุกครั้งที่มีการนำไปใช้

- เมื่อ J_M เป็นโมเมนต์แรงเฉื่อยของโรเตอร์
- J_L เป็นโมเมนต์แรงเฉื่อยของโหลด
- D เป็นค่าสัมประสิทธิ์การต้านของแรงฉนวน
- T เป็นแรงบิดที่เกิดขึ้นโดยมอเตอร์

จากสมการ (3) หมายความว่า การควบคุมความเร็วในการออกตัวหรือหยุดเราต้องควบคุมแรงบิด และเราพิจารณาในรายละเอียดดังต่อไปนี้

(1) การออกตัว (การลดความเร็วในควอเตอร์ที่ หนึ่ง หรือ สาม) ตามปกติมอเตอร์จะออกตัวด้วยแรงบิดคงที่ T ซึ่งเกิดขึ้นด้วยค่ากระแสจำกัดสูงสุด เราจะหาค่าอัตราเร่งของความเร็วได้จากสมการที่ 3

$$\omega_{\dot{}} = \frac{T}{D} [1 - \exp(\frac{-Dt}{J_M + J_L})] \dots \dots \dots (4)$$

(2) การหยุด (การเบรคในควอเตอร์ที่ สอง หรือ สี่) ด้วยการกลับกระแสเพื่อให้แรงบิดเป็นลบสูงสุด มอเตอร์ก็จะลดความเร็วลงตามปกติในช่วงเวลาการหยุดหรือเบรคค่าทางเทอม $D\omega$ มีค่าน้อยมากและตัดทิ้งได้และสมการผลรวบในการหยุดเขียนได้เป็น

$$(J_M + J_L) \frac{d\omega}{dt} = -T \dots \dots \dots (5)$$

จากสมการที่ 5 เราจะหาค่าอัตราการลดความเร็วลงได้เป็น

$$\omega_{\dot{}} = \omega_{\dot{}} - \frac{T}{J_M + J_L} t \dots \dots \dots (6)$$

เมื่อ $\omega_{\dot{}}$ เป็นค่าความเร็วคงที่

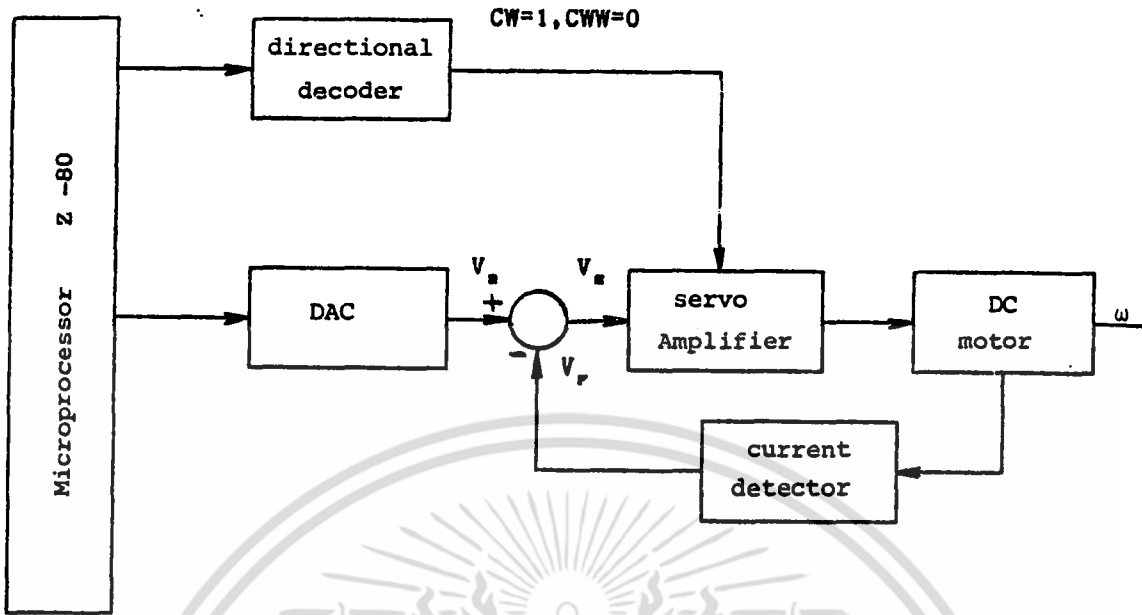
(3) ความเร็วคงที่ เมื่อมอเตอร์มีความเร็วคงที่เทอมของโทรม์ดิฟเฟอเรนเชียลจะมีค่าเป็นศูนย์ ดังนั้นเราจะหาค่าของความเร็วคงที่ได้

$$\omega_{\dot{}} = \frac{T}{D} \dots \dots \dots (7)$$

เนื่องจาก D มีค่าน้อยมากในการประยุกต์ใช้งานทั่วไป แรงบิดในช่วงที่ความเร็วคงที่จะมีค่าน้อยมาก

2.2 ระบบควบคุมความเร็วด้วยไมโครโปรเซสเซอร์

จากโครงสร้างบล็อกไดอะแกรมดังรูปที่ 1 เป็นระบบดิจิทัลควบคุมทิศทางและความเร็วมอเตอร์ โดยเราจะเริ่มจากการเขียนโปรแกรมควบคุมความเร็วและทิศทางของมอเตอร์ เราจะเริ่มโหลดข้อมูลเข้าไปในส่วนไมโครโปรเซสเซอร์ z-80 จากข้อมูลที่นำมาโหลดในส่วนที่ควบคุมความเร็วมอเตอร์ ที่นำโปรแกรมภาษาแอสเซมบลี z-80 ผ่านเข้าไปในส่วนที่มีการแปลงดิจิทัลเป็นอนาลอก (DAC) จะถูกแปลงค่าเข้าสู่ค่าความต่างศักย์ที่จะได้เป็น $V_{\dot{}}$ ส่วนของมอเตอร์ จะมีตัว current detector กระแสที่ได้จากการ



รูปที่ 1 บล็อกไดอะแกรมระบบควบคุมความเร็วมอเตอร์ด้วยไมโครโปรเซสเซอร์
 ที่นี้จะถูกป้อนกลับมาเป็นค่าความต่างศักย์ V_n ค่าความต่างศักย์ V_n และ V_r ทั้งสองค่าที่ได้เราจะนำ
 ค่ามาเปรียบเทียบได้ โดยการความต่างศักย์เอาท์พุทเป็น V_e คือ

$$V_e = (V_n - V_r) \dots \dots \dots (8)$$

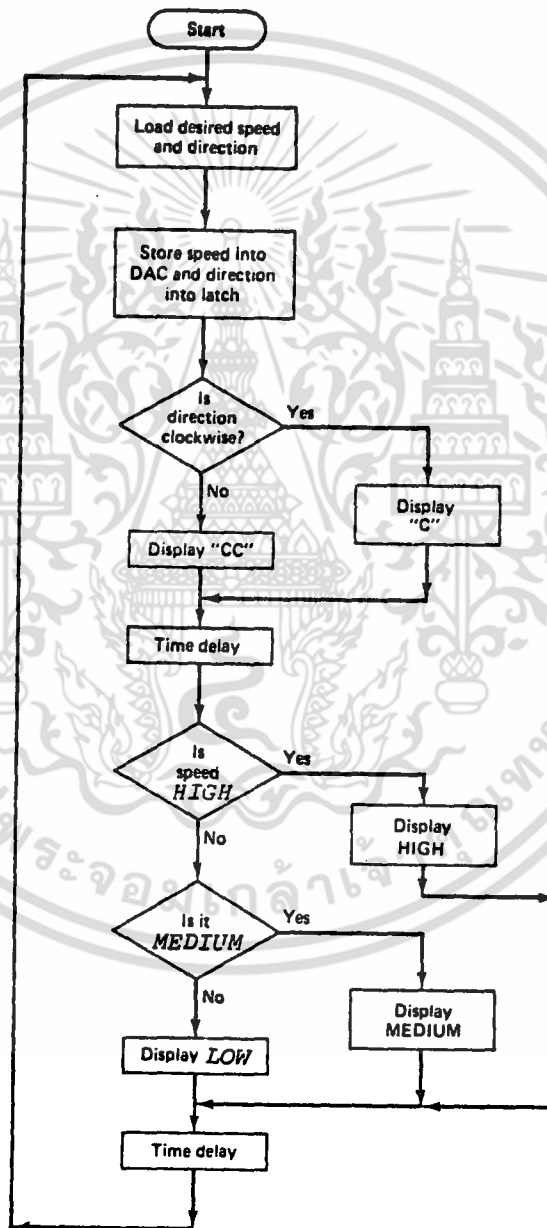
- V_n = ค่าความต่างศักย์เอาท์พุทที่ได้จากการแปลงดิจิตอลเป็นอนาลอก
- V_r = ความต่างศักย์ป้อนกลับ เป็นสัดส่วนค่ากระแสของมอเตอร์
- V_e = ความต่างศักย์ error

ในส่วนของการไหลคีย์ข้อมูลเข้าไปในส่วนไมโครโปรเซสเซอร์ Z-80 จากข้อมูลที่น่ามาไหลในส่วนที่ควบคุม
 ทิศทางมอเตอร์ ที่นำโปรแกรมภาษาแอสเซมบลี Z-80 ผ่านเข้าไปในส่วนที่มีการกำหนดทิศทาง โดยเรา
 ใช้ค่า D latch เป็นตัวควบคุมทิศทาง โดยเรากำหนดให้ค่าลอจิก 1 ควบคุมทิศทางตามเข็มนาฬิกา(cw)
 และลอจิก 0 จะใช้ควบคุมทิศทางทวนเข็มนาฬิกา(ccw) โดยค่าของลอจิกที่ได้จะนำเข้าสู่ส่วนของวงจรถ่าย
 ในการขับมอเตอร์(driver) จากนั้นจะนำเข้าไปในส่วนของมอเตอร์ พร้อมกับนำกระแสที่ได้จากมอเตอร์
 ป้อนกลับเข้าไปในส่วนของการเปรียบเทียบค่าความต่างศักย์

3 โปรแกรมที่ให้ควบคุมทิศทางและความเร็วมอเตอร์

จากรูปที่ 2 จะเป็น flowchart ที่ใช้ในการเขียนโปรแกรมภาษาแอสเซมบลี Z-80 ที่ใช้ในการ
 ควบคุมทิศทางและความเร็วมอเตอร์ จากส่วนของ flowchart เราจะเริ่มจากการไหลคีย์ข้อมูลค่าเริ่มต้น
 ของทิศทางและความเร็วเข้าไปในส่วนของโปรแกรม จากนั้นนำข้อมูลที่ได้ผ่านเข้าไปในส่วน D latch
 และ DAC ตามลำดับ จากส่วนที่ควบคุมทิศทางโปรแกรมจะมีการตรวจสอบทิศทางที่ได้ว่า เป็นการควบคุม

ทิศทางตามเข็มนาฬิกา(cw) หรือทวนเข็มนาฬิกา(ccw) ส่วนโปรแกรมที่ควบคุมความเร็วมอเตอร์จะมีส่วนที่ควบคุมความเร็วได้ 3 ระดับ เริ่มจากระดับ HIGH MEDIUM และ LOW ตามลำดับ เราจะนำข้อมูลที่ได้มาตรวจสอบว่าเป็นระดับใด จากนั้นเราก็จะรู้ความเร็วตามต้องการ จากนั้นเราก็จะเริ่มไหลคข้อมูลเข้ามาใหม่อีกโดยที่เรามีการเลื่อนข้อมูลต่างไปจากเดิม แล้วนำข้อใหม่ที่ได้นำมาเปรียบเทียบกับก่อนว่าเราจะรู้ความเร็วทั้ง 3 ระดับตามต้องการ



รูปที่ 2 แสดง flowchart การควบคุมทิศทางและความเร็วติมอเตอร์

เอกสารนี้เป็นเอกสารที่สงวนไว้สำหรับการใช้งานเพื่อการศึกษาเท่านั้น ไม่อนุญาตให้นำไปใช้ประโยชน์ด้านการค้า ไม่ว่าจะกรณีใดๆ ทั้งสิ้น อีกทั้งห้ามมิให้ดัดแปลงเนื้อหา และต้องอ้างอิงถึงเจ้าของเอกสารทุกครั้งที่มีการนำไปใช้

4 ผลการทดลอง

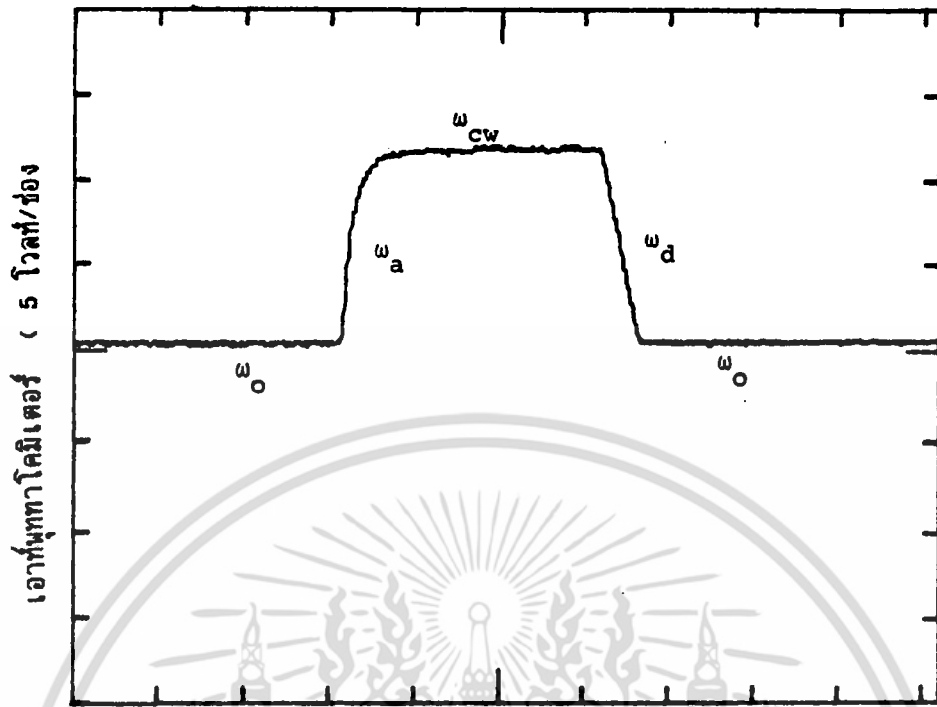
การทดลองควบคุมความเร็วของดีซีมอเตอร์ด้วยไมโครโปรเซสเซอร์ Z-80 เราสามารถโปรแกรมควบคุมความเร็วของดีซีมอเตอร์ให้ทำงานได้ทั้ง 4 ควอดแรนท์ ผลการทดลองแสดงถึงลักษณะของค่า velocity profile ในการเปลี่ยนความเร็วระหว่างควอดแรนท์ที่หนึ่งกับสอง ดังในรูปที่ 3 ระหว่างควอดแรนท์ที่สามกับหนึ่งดังในรูปที่ 4 ระหว่างควอดแรนท์ที่สามกับสี่ดังในรูปที่ 5 และรูปที่ 6 เป็น velocity profile ที่แสดงถึงการเปลี่ยนความเร็วทั้ง 4 ควอดแรนท์ คือจากควอดแรนท์ที่สามเปลี่ยนไปควอดแรนท์ที่หนึ่งจากหนึ่งเปลี่ยนไปควอดแรนท์ที่สอง ซึ่งเป็นการหยุดมอเตอร์เมื่อความเร็วเป็นศูนย์แล้วเราดีเลย์ให้มอเตอร์มีความเร็วเป็นศูนย์อยู่ระยะเวลาหนึ่ง แล้วจึงเปลี่ยนไปยังควอดแรนท์ที่สามอีกครั้งหนึ่งเป็นการครบรอบของการเปลี่ยนแปลงทั้งสี่ควอดแรนท์ ซึ่งการควบคุมลักษณะนี้จะกระทำได้ด้วยตัวควบคุมที่เป็นไมโครโปรเซสเซอร์เท่านั้น

5 สรุป

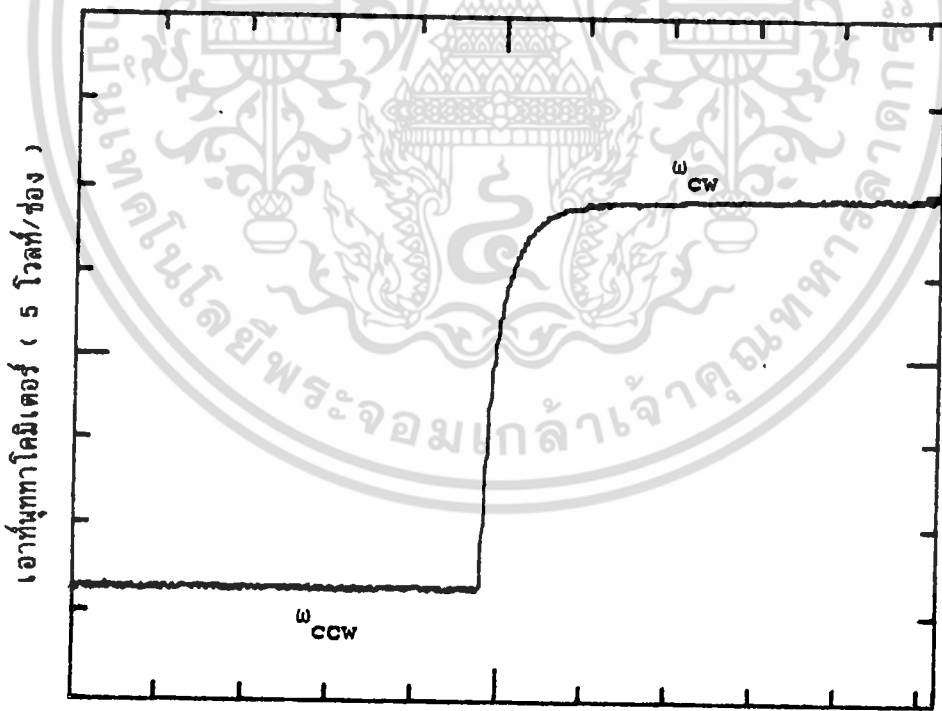
จากผลการทดลองแสดงให้เห็นได้ว่าเราสามารถจะโปรแกรมให้ไมโครโปรเซสเซอร์ควบคุมความเร็วของดีซีมอเตอร์ให้เป็นไปตามที่เราต้องการโดยได้ง่ายทั้ง 4 ควอดแรนท์ เช่นเปลี่ยนทิศทางหมุนเปลี่ยนความเร็ว การออกตัวหรือการหยุด เป็นต้น เราสามารถจะตั้งโปรแกรมให้ระบบมีความเร็วเป็นไปตาม velocity profile ที่เราต้องการได้ซึ่งแสดงให้เห็นถึงสมรรถนะและความอ่อนตัวในการนำไปประยุกต์ใช้ในงานอุตสาหกรรมต่างๆ ที่ต้องการปรับความเร็วให้ได้ 4 ควอดแรนท์

6 เอกสารอ้างอิง

- [1] รศ.ดร.โยธิน เปรมปราณีรัชต์, ระบบเซอร์โวและอิเล็กทรอนิกส์คอนโทรลมอเตอร์ คณะวิศวกรรมศาสตร์ สถาบันเทคโนโลยีพระจอมเกล้าเจ้าคุณทหาร ลาดกระบัง 2533
- [2] B.C.Kuo and Jacob Tal, DC Motor and Control System, SRL Publishing Co.1978
- [3] Lance A.Leventhal, Z-80 Assembly Language Subroutines, Brakelay University press.1982
- [4] James Bignell, Z-80 Microprocessor Technology, Delmar Publishs Inc.,1986
- [5] Takashi Kenjo, Power Electronics for the Microprocessor Age, Oxford Unive-rsity press. 1990

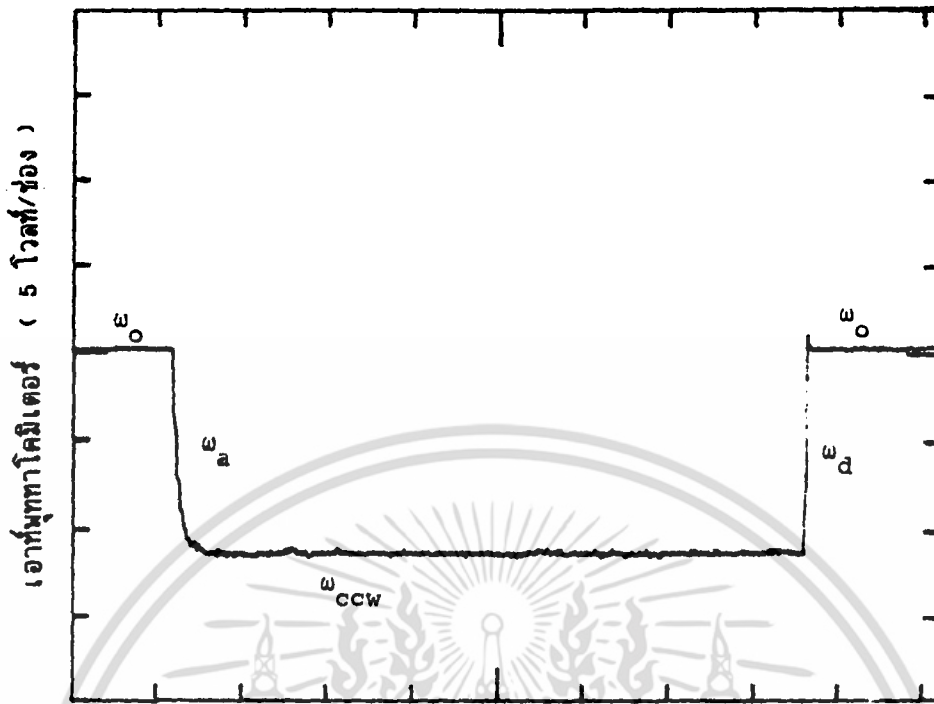


รูปที่ 3 แสดง velocity profile ในการเปลี่ยนความเร็วจากควอเตอร์แรนจ์ที่หนึ่งไปยังควอเตอร์แรนจ์ที่สอง

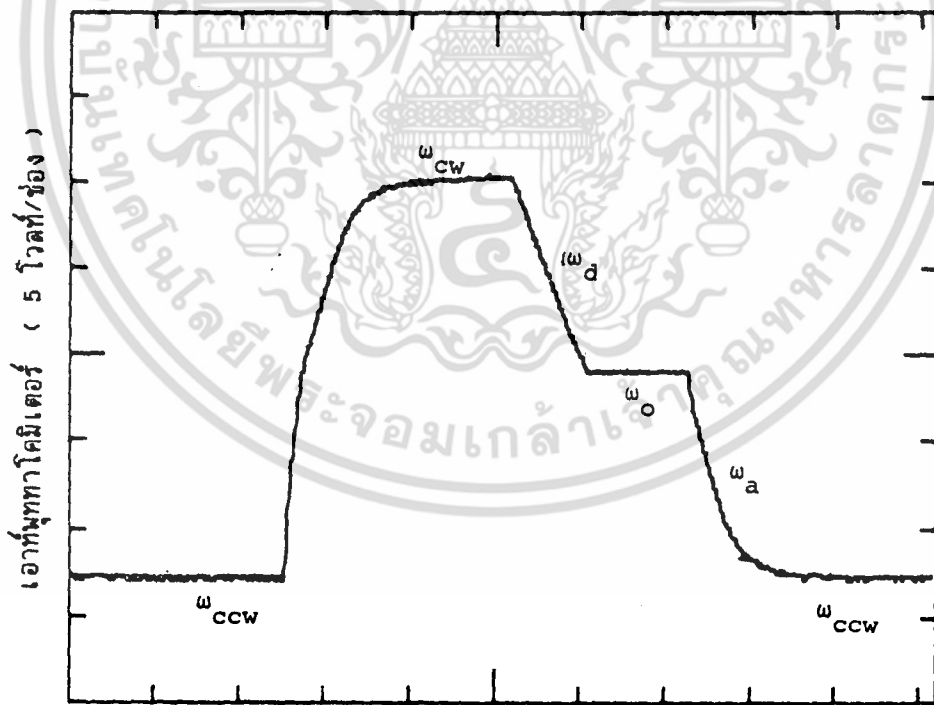


รูปที่ 4 แสดง velocity profile ในการเปลี่ยนความเร็วจากควอเตอร์แรนจ์ที่สามไปยังควอเตอร์แรนจ์ที่หนึ่ง

เอกสารนี้เป็นเอกสารที่สงวนไว้สำหรับการใช้งานเพื่อการศึกษาเท่านั้น ไม่อนุญาตให้นำไปใช้ประโยชน์ด้านการค้า ไม่ว่าจะกรณีใดๆ ทั้งสิ้น อีกทั้งห้ามมิให้ดัดแปลงเนื้อหา และต้องอ้างอิงถึงเจ้าของเอกสารทุกครั้งที่มีการนำไปใช้



รูปที่ 5 แสดง velocity profile ในการเปลี่ยนความเร็วจากควอตแรนท์ที่สามไปยังควอตแรนท์ที่สี่



รูปที่ 6 แสดง velocity profile ในการควบคุมความเร็วให้เปลี่ยนไปได้ทั้ง 4 ควอตแรนท์ด้วยไมโครคอมพิวเตอร์

เอกสารนี้เป็นเอกสารที่สงวนไว้สำหรับการใช้งานเพื่อการศึกษาเท่านั้น ไม่อนุญาตให้นำไปใช้ประโยชน์ด้านการค้า ไม่ว่าจะกรณีใดๆ ทั้งสิ้น อีกทั้งห้ามมิให้ดัดแปลงเนื้อหา และต้องอ้างอิงถึงเจ้าของเอกสารทุกครั้งที่มีการนำไปใช้